

UNIVERSIDAD NACIONAL “HERMILIO VALDIZÁN”

FACULTAD DE INGENIERÍA CIVIL Y ARQUITECTURA

**ESCUELA PROFESIONAL DE INGENIERÍA CIVIL
CARRERA PROFESIONAL DE INGENIERÍA CIVIL**



“ESTUDIO DE PENDIENTE GEOMÉTRICA VERTICAL EN DAÑOS DE CAMINOS VECINALES AFIRMADOS A NIVEL DE PLATAFORMA, REGIÓN HUÁNUCO-2019”

TESIS PARA OPTAR EL TÍTULO DE

INGENIERO CIVIL

TESISTA:

NEHEMÍAS FIDEL, VILLAR VILLANUEVA

ASESOR:

ING. JORGE, ZEVALLOS HUARANGA

HUÁNUCO – PERÚ

2021

Dedicatoria

A Dios altísimo, omnipotente, alfa y omega por bendecirme y guiar me en cada etapa de mi vida, con humildad dedico la presente investigación al Dios Rey de Reyes.

A mi madre Florencia Villanueva Simón, por ser padre y madre para sus 6 hijos, por cuidarnos y educarnos con valores humanos, por brindarme su amor incondicional, por apoyarme y enseñarme que todo es posible en la vida con esfuerzo, perseverancia y constancia. A mi padre Fidel Villar Rivera.

A mis princesas; Kajol Betzabe y Yarlee Xiumey, por ser mis amores mis engreídas y mis bendiciones, por darme las fuerzas necesarias para continuar hacia adelante.

A mis hermanos; Ronald Constantino, Lenden Orlando, Judith Ayde, Betzaida Keyla y Diana Lourdes, por apoyarme y brindarme su cariño y amor fraternal en todo momento.

A mis sobrinas y sobrinos; Flor Karina, Daniel Alejandro, Ruth Ester Floriza, Sheyla Nicoli, Jhorch Ffredery, Robert Deivid, Ailish, Mariana, Matias, Shantal, Churritos y Perlita quienes son la bendición y huayruros de la familia Villar Villanueva.

A mis amigos y colegas de la vida por brindarme su amistad y apoyo incondicional.

Agradecimiento

A mi familia, por su apoyo, comprensión y confraternización constante.

A mi asesor, ing. Jorge Zevallos Huaranga, por guiarme con su conocimiento y experiencia, valiosas durante el proceso de elaboración de la presente tesis.

A mis amistades de la vida, gracias totales por compartir experiencias varias durante nuestra formación académica y social.

A la plana de docentes y administrativos de la Escuela Académico Profesional de Ingeniería Civil de nuestra Alma Mater Universidad Nacional Hermilio Valdizan, quienes condujeron mi formación profesional.



UNIVERSIDAD NACIONAL HERMILIO VALDIZAN – HUÁNUCO FACULTAD DE INGENIERIA CIVIL Y
ARQUITECTURA E.A.P. INGENIERIA CIVIL

**“ESTUDIO DE PENDIENTE GEOMÉTRICA VERTICAL EN DAÑOS DE CAMINOS VECINALES AFIRMADOS A
NIVEL DE PLATAFORMA, REGIÓN HUÁNUCO-2019”**

Tesista: Villar Villaueva, Nehemias Fidel



Resumen

En la presente investigación se estudia la pendiente geométrica vertical en daños de caminos vecinales afirmados a nivel de plataforma en la región de Huánuco en datos agrupados.

Para lograr una investigación adecuada se seleccionaron 15 caminos vecinales de las cuales se extraen una longitud de 5 km de cada uno aproximadamente, elaborando y procesando a la vez 15 Inventarios de Condición Vial con sus correspondientes diseños geométricos.

El estudio se desarrolló en tres etapas: etapa primera que corresponde a indagación y compilación de antecedentes y consideraciones teóricas que sustentan nuestra investigación, donde hemos usado técnicas de análisis de contenido, fichajes, apuntes y publicaciones anteriores; etapa segunda consistió en elaboración del inventario de condición vial desarrolladas *in situ* y basados en el Manual de Inventarios Viales IV relacionado directamente con daños a nivel de plataforma y el correspondiente procesamiento y digitalización del diseño geométrico basadas en el Manual de Carreteras Diseño Geométrico DG 2018 relacionados directamente con la pendiente geométrica vertical para la verificación de las hipótesis; finalmente en la etapa tercera se compara, contrasta y discute los resultados obtenidos y se sustenta los hallazgos, a partir de tablas y figuras de los procedimientos estadísticos desarrollados utilizando el software Microsoft Office Excel 2019 e IBM SPSS statistics 26.00.

La presente investigación se ajusta a un nivel de estudio cuantitativo, la hipótesis se validó mediante la prueba de chi cuadrado. Finalmente se concluye que la pendiente geométrica vertical se relaciona significativamente con daños de caminos vecinales afirmados a nivel de plataforma, región Huánuco - 2019., en región sierra y selva a un nivel de 85% de confiabilidad y valor de significancia de 0.15.



Índice General

Capítulo I: Marco Teórico.....	1
1.1. Antecedentes	1
1.2. Formulación del Problema	6
1.2.1. Problema General.....	6
1.2.2. Problemas Específicos	6
1.3. Justificación e Importancia.....	6
1.4. Limitaciones	7
1.5. Objetivos	7
1.5.1. Objetivo General	7
1.5.2. Objetivos Específicos.....	8
1.6. Hipótesis.....	8
1.6.1. Hipótesis Nula.....	8
1.6.2. Hipótesis Alterna.....	8
1.6.3. Hipótesis Específicas	8
1.7. Variables.....	9
1.7.1. Variables Independientes	9
1.7.2. Variables Dependientes.....	10
1.7.3. Variables Intervinientes	11
1.8. Operacionalización de Variables.....	11
1.9. Universo/Población y Muestra:	12
1.9.1. Determinación del Universo/Población:	12
1.9.2. Selección del tamaño de muestra:	12
1.10. Revisión de Estudios Realizados:	14
1.11. Definición de Términos Básicos:.....	20
Capítulo II: Marco Metodológico	23
2.1. Tipo y Nivel de Investigación:	23
2.2. Diseño de la Investigación:	24
2.3. Técnicas de Recolección y Tratamiento de Datos:	24
2.4. Medición de Daños y Digitalización del Diseño geométrico:	25
2.4.1. Medición de Daños	28
Autodesk Civil 3D 2020.2 x64.....	30



2.4.2. Digitalización del diseño geométrico.	36
2.4.3. Especificaciones del Manual de Carreteras Diseño Geométrico DG-2018, el cual indica los siguientes:	44
2.4.4. Digitalización del Diseño Geométrico.....	49
2.4.5. Tratamiento de datos de pendiente geométrica vertical en daños de quince caminos vecinales, determinados en la sección 1.9, respecto a población y muestra.....	54
Capítulo III: Discusión de Resultados.....	98
3.1. Análisis Estadístico	98
3.2. Análisis Estadístico – Pendiente geométrica vertical y daños en caminos vecinales afirmados a nivel de plataforma.....	102
3.3. Análisis inferencial.....	185
Conclusiones	225
Recomendaciones.....	229
Referencias Bibliográficas	230



Índice de Tabla

Tabla 1	Operacionalización de Variables	11
Tabla 2	Tamaño de Muestra.....	14
Tabla 3	Técnicas e Instrumentos de Recolección de Datos	25
Tabla 4	Muestra del Estudio por Provincias, Código de Rutas y Progresivas.....	26
Tabla 5	Equipos e Instrumentos para Medición de Daños.....	29
Tabla 6	Digitalización del Camino Vecinal Tramo: Tunya -Pampa Esperanza - Gorgor – Goshay de Longitud 5+000 Kilómetros.	36
Tabla 7	Puntos de control Geo Referencial (Detalles). Fuente: Elaboración propia (Equipo Técnico).....	38
Tabla 8	Puntos de Control Georeferencial (Coordenadas). Fuente: Elaboración propia (Equipo técnico).....	40
Tabla 9	Puntos de Control Geo Referencial (Coordenadas Detalladas). Fuente: Elaboración Propia (Equipo Técnico).....	41
Tabla 10	Registro de Daños y Pendiente Geométrica Vertical del Tramo: Tunya - Pampa Esperanza -Gorgor - Goshay	54
Tabla 11	Registro de Daños y Pendiente Geométrica Vertical del Tramo: Mariscal Castilla - Irma Chico	57
Tabla 12	Registro de Daños y Pendiente Geométrica Vertical del Tramo: Mariscal Castilla - Irma Chico	60
Tabla 13	Registro de Daños y Pendiente Geométrica Vertical del Tramo:Naranjal - Huamuco.	62
Tabla 14	Registro de Daños y Pendiente Geométrica Vertical del Tramo:Naranjal – La Morada	64
Tabla 15	Registro de Daños y Pendiente Geométrica Vertical del Tramo: San Juan de Culebra - Paraiso - Puerto Huallaga.	66
Tabla 16	Registro de Daños y Pendiente Geométrica Vertical del Tramo: Paraiso - Santa Rosa de Megote - Puerto Rio Huallaga.	68
Tabla 17	Registro de Daños y Pendiente Geométrica Vertical del Tramo:Puente frijol-Paraiso- Tres de Mayo- Nuevo Canaan.	69



Tabla 18 Registro de Daños y Pendiente Geométrica Vertical del Tramo: Ogoro-Huachumay.	72
Tabla 19 Registro de Daños y Pendiente Geométrica Vertical del Tramo: Huacrachuco- Marcopata - Quillabamba – Cajapa – Fin de Camino.	76
Tabla 20 Registro de Daños y Pendiente Geométrica Vertical del Tramo: Mollepampa- El Progreso – Huaychao.	80
Tabla 21 Registro de Daños y Pendiente Geométrica Vertical del Tramo: Pinquiray - Challhuayog - Carancho – Panao.	84
Tabla 22 Registro de Daños y Pendiente Geométrica Vertical del Tramo: Huarichaca - Pucajaga -Shihuapampa.	87
Tabla 23 Registro de Daños y Pendiente Geométrica Vertical del Tramo: Purupampa - Tunapuco - Huascapampa.	90
Tabla 24 Registro de Daños y Pendiente Geométrica Vertical del Tramo: Huaman – Tipsa - Tipsa Alta.	94
Tabla 25 Registro de Datos Estadísticos de Inicialización. Fuente: (Elaboración Propia).	102
Tabla 26 Registro de Tabla de Distribución de Frecuencias. Fuente: (Elaboración Propia).	102
Tabla 27 Registro Medidas de Tendencia Central. Fuente: (Elaboración Propia)..	104
Tabla 28 Frecuencia Relativa Porcentual de Pendiente Geométrica Vertical. Fuente: (Elaboración Propia).	104
Tabla 29 Frecuencia Relativa Porcentual de Daños en Camino Vecinal Afirmado. Fuente: (Elaboración Propia).	105
Tabla 30 Registro de Datos Estadísticos de Inicialización. Fuente: (Elaboración Propia).	107
Tabla 31 Registro de Tabla de Distribución de Frecuencias. Fuente: (Elaboración Propia).	107
Tabla 32 Registro Medidas de Tendencia Central. Fuente: (Elaboración Propia)..	109
Tabla 33 Frecuencia Relativa Porcentual de Pendiente Geométrica Vertical. Fuente: (Elaboración Propia).	109
Tabla 34 Frecuencia Relativa Porcentual de Daños en Camino Vecinal Afirmado. Fuente: (Elaboración Propia).	110
Tabla 35 Registro de Datos Estadísticos de Inicialización. Fuente: (Elaboración Propia).	112
Tabla 36 Registro de Tabla de Distribución de Frecuencias. Fuente: (Elaboración Propia).	112
Tabla 37 Registro Medidas de Tendencia Central. Fuente: (Elaboración Propia)..	113



Tabla 38 Frecuencia Relativa Porcentual de Pendiente Geométrica Vertical. Fuente: (Elaboración Propia).	113
Tabla 39 Frecuencia Relativa Porcentual de Daños en Camino Vecinal Afirmado. Fuente: (Elaboración Propia).	114
Tabla 40 Registro de Datos Estadísticos de Inicialización. Fuente: (Elaboración Propia).	116
Tabla 41 Registro de Tabla de Distribución de Frecuencias. Fuente: (Elaboración Propia).	116
Tabla 42 Registro Medidas de Tendencia Central. Fuente: (Elaboración Propia)..	117
Tabla 43.....	117
Frecuencia Relativa Porcentual de Pendiente Geométrica Vertical. Fuente: (Elaboración Propia).	117
Tabla 44 Frecuencia Relativa Porcentual de Daños en Camino Vecinal Afirmado. Fuente: (Elaboración Propia).	118
Tabla 45 Registro de Datos Estadísticos de Inicialización. Fuente: (Elaboración Propia).	120
Tabla 46 Registro de Tabla de Distribución de Frecuencias. Fuente: (Elaboración Propia).	120
Tabla 47 Registro Medidas de Tendencia Central. Fuente: (Elaboración Propia)..	121
Tabla 48 Frecuencia Relativa Porcentual de Pendiente Geométrica Vertical. Fuente: (Elaboración Propia).	121
Tabla 49 Frecuencia Relativa Porcentual de Daños en Camino Vecinal Afirmado. Fuente: (Elaboración Propia).	122
Tabla 50 Registro de Datos Estadísticos de Inicialización. Fuente: (Elaboración Propia).	124
Tabla 51 Registro de Tabla de Distribución de Frecuencias. Fuente: (Elaboración Propia).	124
Tabla 52 Registro Medidas de Tendencia Central. Fuente: (Elaboración Propia)..	125
Tabla 53 Frecuencia Relativa Porcentual de Pendiente Geométrica Vertical. Fuente: (Elaboración Propia).	125
Tabla 54 Frecuencia Relativa Porcentual de Daños en Camino Vecinal Afirmado. Fuente: (Elaboración Propia).	126
Tabla 55 Registro de Datos Estadísticos de Inicialización. Fuente: (Elaboración Propia).	128
Tabla 56 Registro de Tabla de Distribución de Frecuencias. Fuente: (Elaboración Propia).	128



Tabla 57 Registro Medidas de Tendencia Central. Fuente: (Elaboración Propia)..	129
Tabla 58 Frecuencia Relativa Porcentual de Pendiente Geométrica Vertical. Fuente: (Elaboración Propia).	129
Tabla 59 Frecuencia Relativa Porcentual de Daños en Camino Vecinal Afirmado. Fuente: (Elaboración Propia).	130
Tabla 60 Registro de Datos Estadísticos de Inicialización. Fuente: (Elaboración Propia).....	132
Tabla 61 Registro de Tabla de Distribución de Frecuencias. Fuente: (Elaboración Propia).....	132
Tabla 62 Registro Medidas de Tendencia Central. Fuente: (Elaboración Propia)..	134
Tabla 63 Frecuencia Relativa Porcentual de Pendiente Geométrica Vertical. Fuente: (Elaboración Propia).	134
Tabla 64 Frecuencia Relativa Porcentual de Daños en Camino Vecinal Afirmado. Fuente: (Elaboración Propia).	135
Tabla 65 Registro de Datos Estadísticos de Inicialización. Fuente: (Elaboración Propia).....	137
Tabla 66 Registro de Tabla de Distribución de Frecuencias. Fuente: (Elaboración Propia).....	137
Tabla 67 Registro Medidas de Tendencia Central. Fuente: (Elaboración Propia)..	138
Tabla 68 Frecuencia Relativa Porcentual de Pendiente Geométrica Vertical. Fuente: (Elaboración Propia).	139
Tabla 69 Frecuencia Relativa Porcentual de Daños en Camino Vecinal Afirmado. Fuente: (Elaboración Propia).	140
Tabla 70 Registro de Datos Estadísticos de Inicialización. Fuente: (Elaboración Propia).....	141
Tabla 71 Registro de tabla de distribución de frecuencias. Fuente: (Elaboración propia).....	141
Tabla 72 Registro Medidas de Tendencia Central. Fuente: (Elaboración Propia)..	143
Tabla 73 Frecuencia Relativa Porcentual de Pendiente Geométrica Vertical. Fuente: (Elaboración Propia).	143
Tabla 74 Frecuencia Relativa Porcentual de Daños en Camino Vecinal Afirmado. Fuente: (Elaboración Propia).	144
Tabla 75 Registro de Datos Estadísticos de Inicialización. Fuente: (Elaboración Propia).....	146
Tabla 76 Registro de Tabla de Distribución de Frecuencias. Fuente: (Elaboración Propia).....	146



Tabla 77 Registro Medidas de Tendencia Central. Fuente: (Elaboración Propia)..	147
Tabla 78.....	148
Frecuencia Relativa Porcentual de Pendiente Geométrica Vertical. Fuente: (Elaboración Propia).	148
Tabla 79 Frecuencia Relativa Porcentual de Daños en Camino Vecinal Afirmado. Fuente: (Elaboración Propia).	148
Tabla 80 Registro de Datos Estadísticos de Inicialización. Fuente: (Elaboración Propia).....	150
Tabla 81 Registro de Tabla de Distribución de Frecuencias. Fuente: (Elaboración Propia).....	150
Tabla 82 Registro Medidas de Tendencia Central. Fuente: (Elaboración Propia)..	152
Tabla 83 Frecuencia Relativa Porcentual de Pendiente Geométrica Vertical. Fuente: (Elaboración Propia).	152
Tabla 84 Frecuencia Relativa Porcentual de Daños en Camino Vecinal Afirmado. Fuente: (Elaboración Propia).	153
Tabla 85 Registro de Datos Estadísticos de Inicialización. Fuente: (Elaboración Propia).....	155
Tabla 86 Registro de Tabla de Distribución de Frecuencias. Fuente: (Elaboración Propia).....	155
Tabla 87 Registro Medidas de Tendencia Central. Fuente: (Elaboración Propia)..	156
Tabla 88 Frecuencia Relativa Porcentual de Pendiente Geométrica Vertical. Fuente: (Elaboración Propia).	157
Tabla 89 Frecuencia Relativa Porcentual de Daños en Camino Vecinal Afirmado. Fuente: (Elaboración Propia).	157
Tabla 90 Registro de Datos Estadísticos de Inicialización. Fuente: (Elaboración Propia).....	159
Tabla 91 Registro de Tabla de Distribución de Frecuencias. Fuente: (Elaboración Propia).....	159
Tabla 92 Frecuencia Relativa Porcentual de Pendiente Geométrica Vertical. Fuente: (Elaboración Propia).	160
Tabla 93 Registro Medidas de Tendencia Central. Fuente: (Elaboración Propia)..	161
Tabla 94 Frecuencia Relativa Porcentual de Daños en Camino Vecinal Afirmado. Fuente: (Elaboración Propia).	162
Tabla 95 Registro de Datos Estadísticos de Inicialización. Fuente: (Elaboración Propia	164



Tabla 96 Registro de Tabla de Distribución de Frecuencias. Fuente: (Elaboración Propia).....	164
Tabla 97 Registro Medidas de Tendencia Central. Fuente: (Elaboración Propia)..	166
Tabla 98.....	166
Frecuencia Relativa Porcentual de Pendiente Geométrica Vertical. Fuente: (Elaboración Propia).	166
Tabla 99 Frecuencia Relativa Porcentual de Daños en Camino Vecinal Afirmado. Fuente: (Elaboración Propia).	167
Tabla 100 Registro de Datos Estadísticos de Inicialización. Fuente: (Elaboración Propia).....	169
Tabla 101 Registro de Tabla de Distribución de Frecuencias. Fuente: (Elaboración Propia).....	169
Tabla 102 Registro Medidas de Tendencia Central. Fuente: (Elaboración Propia).	170
Tabla 103 Registro de tabla de distribución de frecuencias. Fuente: (Elaboración propia).	170
Tabla 104.....	173
Frecuencia Relativa Porcentual de Pendiente Geométrica Vertical. Fuente: (Elaboración Propia).	173
Tabla 105 Frecuencia Relativa Porcentual de Daños en Camino Vecinal Afirmado. Fuente: (Elaboración Propia).	174
Tabla 106 Registro de Datos Estadísticos de Inicialización. Fuente: (Elaboración Propia).....	175
Tabla 107 Registro de Tabla de Distribución de Frecuencias. Fuente: (Elaboración Propia).....	175
Tabla 108 Registro Medidas de Tendencia Central. Fuente: (Elaboración Propia).	177
Tabla 109.....	177
Registro de Datos Estadísticos de Inicialización. Fuente: (Elaboración Propia).	177
Tabla 110 Registro de Tabla de Distribución de Frecuencias. Fuente: (Elaboración Propia).....	177
Tabla 111.....	180
Frecuencia Relativa Porcentual de Pendiente Geométrica Vertical. Fuente: (Elaboración Propia).	180
Tabla 112 Frecuencia Relativa Porcentual de Daños en Camino Vecinal Afirmado. Fuente: (Elaboración Propia).	181



Tabla 113 Relación Porcentual de Variables Dependientes e Independientes Ordinales Observadas y Esperadas. Fuente: Procesamiento en IBM SPSS (Elaboración Propia).	185
Tabla 114 Registro Numérico de Prueba de Hipótesis con el Método del Chi Cuadrado para Análisis, Contraste y Validación de Hipótesis Planteada. Procesamiento en IBM SPSS (Elaboración Propia).....	186
Tabla 115 Registro de Coeficiente de Contingencia para Validad el Grado de Relación que Existe Entre las Variables Planteadas. Procesamiento en IBM SPSS (Elaboración Propia).	187
Tabla 116 Relación Porcentual de Variables Dependientes e Independientes Ordinales Observadas y Esperadas. Fuente: Procesamiento en IBM SPSS (Elaboración Propia).	187
Tabla 117 Registro Numérico de Prueba de Hipótesis con el Método del Chi Cuadrado para Análisis, Contraste y Validación de Hipótesis Planteada. Procesamiento en IBM SPSS (Elaboración Propia).....	188
Tabla 118 Registro de Coeficiente de Contingencia para Validad el Grado de Relación que Existe Entre las Variables Planteadas. Procesamiento en IBM SPSS (Elaboración Propia).	189
Tabla 119 Relación Porcentual de Variables Dependientes e Independientes Ordinales Observadas y Esperadas. Fuente: Procesamiento en IBM SPSS (Elaboración Propia).	189
Tabla 120 Registro Numérico de Prueba de Hipótesis con el Método del Chi Cuadrado para Análisis, Contraste y Validación de Hipótesis Planteada. Procesamiento en IBM SPSS (Elaboración Propia).....	190
Tabla 121 Registro de Coeficiente de Contingencia para Validad el Grado de Relación que Existe Entre las Variables Planteadas. Procesamiento en IBM SPSS (Elaboración Propia).	191
Tabla 122 Relación Porcentual de Variables Dependientes e Independientes Ordinales Observadas y Esperadas. Fuente: Procesamiento en IBM SPSS (Elaboración Propia).	191
Tabla 123 Registro Numérico de Prueba de Hipótesis con el Método del Chi Cuadrado para Análisis, Contraste y Validación de Hipótesis Planteada. Procesamiento en IBM SPSS (Elaboración Propia).....	192
Tabla 124 Registro de Coeficiente de Contingencia para Validad el Grado de Relación que Existe Entre las Variables Planteadas. Procesamiento en IBM SPSS (Elaboración Propia).	193
Tabla 125 Relación Porcentual de Variables Dependientes e Independientes Ordinales Observadas y Esperadas. Fuente: Procesamiento en IBM SPSS (Elaboración Propia).	194



Tabla 126 Registro Numérico de Prueba de Hipótesis con el Método del Chi Cuadrado para Análisis, Contraste y Validación de Hipótesis Planteada. Procesamiento en IBM SPSS (Elaboración Propia).....	194
Tabla 127 Registro de Coeficiente de Contingencia para Validar el Grado de Relación que Existe Entre las Variables Planteadas. Procesamiento en IBM SPSS (Elaboración Propia).	195
Tabla 128 Relación Porcentual de Variables Dependientes e Independientes Ordinales Observadas y Esperadas. Fuente: Procesamiento en IBM SPSS (Elaboración Propia).	196
Tabla 129 Registro Numérico de Prueba de Hipótesis con el Método del Chi Cuadrado para Análisis, Contraste y Validación de Hipótesis Planteada. Procesamiento en IBM SPSS (Elaboración Propia).....	196
Tabla 130 Registro de Coeficiente de Contingencia para Validar el Grado de Relación que Existe Entre las Variables Planteadas. Procesamiento en IBM SPSS (Elaboración Propia).	198
Tabla 131 Relación Porcentual de Variables Dependientes e Independientes Ordinales Observadas y Esperadas. Fuente: Procesamiento en IBM SPSS (Elaboración Propia).	198
Tabla 132 Registro Numérico de Prueba de Hipótesis con el Método del Chi Cuadrado para Análisis, Contraste y Validación de Hipótesis Planteada. Procesamiento en IBM SPSS (Elaboración Propia).....	199
Tabla 133 Registro de Coeficiente de Contingencia para Validar el Grado de Relación que Existe Entre las Variables Planteadas. Procesamiento en IBM SPSS (Elaboración Propia).	200
Tabla 134 Relación Porcentual de Variables Dependientes e Independientes Ordinales Observadas y Esperadas. Fuente: Procesamiento en IBM SPSS (Elaboración Propia).	200
Tabla 135 Registro Numérico de Prueba de Hipótesis con el Método del Chi Cuadrado para Análisis, Contraste y Validación de Hipótesis Planteada. Procesamiento en IBM SPSS (Elaboración Propia).....	201
Tabla 136 Registro de Coeficiente de Contingencia para Validar el Grado de Relación que Existe Entre las Variables Planteadas. Procesamiento en IBM SPSS (Elaboración Propia).	202
Tabla 137 Relación Porcentual de Variables Dependientes e Independientes Ordinales Observadas y Esperadas. Fuente: Procesamiento en IBM SPSS (Elaboración Propia).	202
Tabla 138 Registro Numérico de Prueba de Hipótesis con el Método del Chi Cuadrado para Análisis, Contraste y Validación de Hipótesis Planteada. Procesamiento en IBM SPSS (Elaboración Propia).....	203



Tabla 139 Registro de Coeficiente de Contingencia para Validad el Grado de Relación que Existe Entre las Variables Planteadas. Procesamiento en IBM SPSS (Elaboración Propia).	204
Tabla 140 Relación Porcentual de Variables Dependientes e Independientes Ordinales Observadas y Esperadas. Fuente: Procesamiento en IBM SPSS (Elaboración Propia).	205
Tabla 141 Registro Numérico de Prueba de Hipótesis con el Método del Chi Cuadrado para Análisis, Contraste y Validación de Hipótesis Planteada. Procesamiento en IBM SPSS (Elaboración Propia).....	205
Tabla 142 Registro de Coeficiente de Contingencia para Validad el Grado de Relación que Existe Entre las Variables Planteadas. Procesamiento en IBM SPSS (Elaboración Propia).	206
Tabla 143 Relación Porcentual de Variables Dependientes e Independientes Ordinales Observadas y Esperadas. Fuente: Procesamiento en IBM SPSS (Elaboración Propia).	207
Tabla 144 Registro Numérico de Prueba de Hipótesis con el Método del Chi Cuadrado para Análisis, Contraste y Validación de Hipótesis Planteada. Procesamiento en IBM SPSS (Elaboración Propia).....	208
Tabla 145 Registro de Coeficiente de Contingencia para Validad el Grado de Relación que Existe Entre las Variables Planteadas. Procesamiento en IBM SPSS (Elaboración Propia).	209
Tabla 146 Relación Porcentual de Variables Dependientes e Independientes Ordinales Observadas y Esperadas. Fuente: Procesamiento en IBM SPSS (Elaboración Propia).	209
Tabla 147 Registro Numérico de Prueba de Hipótesis con el Método del Chi Cuadrado para Análisis, Contraste y Validación de Hipótesis Planteada. Procesamiento en IBM SPSS (Elaboración Propia).....	210
Tabla 148 Registro de Coeficiente de Contingencia para Validad el Grado de Relación que Existe Entre las Variables Planteadas. Procesamiento en IBM SPSS (Elaboración Propia).	211
Tabla 149 Relación Porcentual de Variables Dependientes e Independientes Ordinales Observadas y Esperadas. Fuente: Procesamiento en IBM SPSS (Elaboración Propia).	211
Tabla 150 Registro Numérico de Prueba de Hipótesis con el Método del Chi Cuadrado para Análisis, Contraste y Validación de Hipótesis Planteada. Procesamiento en IBM SPSS (Elaboración Propia).....	212
Tabla 151 Registro de Coeficiente de Contingencia para Validad el Grado de Relación que Existe Entre las Variables Planteadas. Procesamiento en IBM SPSS (Elaboración Propia).	213



Tabla 152 Relación Porcentual de Variables Dependientes e Independientes Ordinales Observadas y Esperadas. Fuente: Procesamiento en IBM SPSS (Elaboración Propia).	214
Tabla 153 Registro Numérico de Prueba de Hipótesis con el Método del Chi Cuadrado para Análisis, Contraste y Validación de Hipótesis Planteada. Procesamiento en IBM SPSS (Elaboración Propia).....	214
Tabla 154 Registro de Coeficiente de Contingencia para Validad el Grado de Relación que Existe Entre las Variables Planteadas. Procesamiento en IBM SPSS (Elaboración Propia).	215
Tabla 155 Relación Porcentual de Variables Dependientes e Independientes Ordinales Observadas y Esperadas. Fuente: Procesamiento en IBM SPSS (Elaboración Propia).	216
Tabla 156 Registro Numérico de Prueba de Hipótesis con el Método del Chi Cuadrado para Análisis, Contraste y Validación de Hipótesis Planteada. Procesamiento en IBM SPSS (Elaboración Propia).....	216
Tabla 157 Registro de Coeficiente de Contingencia para Validad el Grado de Relación que Existe Entre las Variables Planteadas. Procesamiento en IBM SPSS (Elaboración Propia).	217
Tabla 158 Relación Porcentual de Variables Dependientes e Independientes Ordinales Observadas y Esperadas. Fuente: Procesamiento en IBM SPSS (Elaboración Propia).	218
Tabla 159 Registro Numérico de Prueba de Hipótesis con el Método del Chi Cuadrado para Análisis, Contraste y Validación de Hipótesis Planteada. Procesamiento en IBM SPSS (Elaboración Propia).....	219
Tabla 160 Registro de Coeficiente de Contingencia para Validad el Grado de Relación que Existe Entre las Variables Planteadas. Procesamiento en IBM SPSS (Elaboración Propia).	220
Tabla 161 Relación Porcentual de Variables Dependientes e Independientes Ordinales Observadas y Esperadas. Fuente: Procesamiento en IBM SPSS (Elaboración Propia).	221
Tabla 162 Registro Numérico de Prueba de Hipótesis con el Método del Chi Cuadrado para Análisis, Contraste y Validación de Hipótesis Planteada. Procesamiento en IBM SPSS (Elaboración Propia).....	222
Tabla 163 Registro de Coeficiente de Contingencia para Validad el Grado de Relación que Existe Entre las Variables Planteadas. Procesamiento en IBM SPSS (Elaboración Propia).	223



Índice de Figuras

Figura 1. Medición de pendiente geométrica vertical con el método directo, tramo: Tunya.....	10
Figura 2. Digitalización de pendiente geométrica vertical	10
Figura 3. Medición de bache con nivel de gravedad=2.	11
Figura 4. Foto de erosión con nivel de gravedad=1.....	11
Figura 5. Registro de deformación en invierno, G=3.	11
Figura 6. Registro de bacheo en invierno, G=2.	11
Figura 7. Identificacion de bache en region selva.....	32
Figura 8. Identificacion de bache en region sierra	32
Figura 9. Medición de bache en región selva.	32
Figura 10. Medición de bache en región sierra.....	32
Figura 11. Identificacion de erosión.	34
Figura 12. Identificación de erosión.	34
Figura 13. Medición de erosión.	34
Figura 14. Medición de erosión.	34
Figura 11. Identificacion de deformación.	36
Figura 16. Identificacion de deformación.	36
Figura 17. Medición de deformación.....	36
Figura 18. Medición de deformación.....	36
Figura 19. Punto de inicio del camino vecinal (Caserio de Tunya).....	37
Figura 20. Hito de Concreto de Medidas 40 X 40 Cm y 50 Cm de altura, Sobresalido 15 Cm. Del nivel del suelo, con Placa de Bronce de Diam. 70 mm Ubicada en la Parte Superior de la Carretera Central Huánuco la Unión, al Frente de la Progresiva 0+000 Km.	37
Figura 21. Pintado de hito para puntos de control georreferenciado.	39
Figura 22. Placa de bronce de 07 cm de diámetro en el puntos de control georreferenciado.....	39



Figura 23. Punto PCG 04 se encuentra ubicado al margen derecho de la vía Tunya – Goshay (donde termina el tramo de la carretera.), sobre hito de concreto con placa de bronce de 07 cm de diámetro.	40
Figura 24. Punto PCG 03 se encuentra ubicado al margen izquierdo de la vía Tunya – Goshay (donde termina el tramo de la carretera.), sobre hito de concreto con placa de bronce de 07 cm de diámetro.	40
Figura 25. Poligonal de base en aplicacion Google Earth.	42
Figura 26. Poligonal base en software Autodesk Civil 3D 2020.2 x64.....	42
Figura 27. Datos de campo de los been march (bm) alternos en aplicacion Google Earth.	43
Figura 28. Datos de campo de los been march (bm) alternos en software Autodesk Civil 3D 2020.2 x64.....	43
Figura 29. Diario de observacion del GPS diferencial.....	44
Figura 30. Georeferenciación por métodos globales de posicionamiento por satélites.	44
Figura 31. Tabla de pendientes máximas. Fuente DG-2018.....	48
Figura 32. Digitalización del diseño geometrico del camino vecinal tramo: Tunya - Pampa Esperanza - Gorgor – Goshay de longitud 5+000 kilómetros en software Autodesk Civil 3D 2020.2 x64.	50
Figura 35. Generación de superficies en software Autodesk AutoCAD Civil 3D 2020 x64.....	51
Figura 36. Generación de curvas de nivel en software Autodesk AutoCAD Civil 3D 2020 x64.....	52
Figura 37. Generación de perfil longitudinal a nivel de rasante (Pendiente geometrica vertical) en software Autodesk AutoCAD Civil 3D 2020 x64.	53
Figura 39. Digitalizacion de pendiente geometrica vertical -11.33%. Progresiva: 0+064.82 km.	57
Figura 40. Medición de daño EROSIÓN, G=3. Progresiva: 14+687.33 km.....	60
Figura 41. Digitalizacion de pendiente geometrica vertical 8.45%. Progresiva: 14+687.33 km.	60
Figura 42. Medición de daño BACHES, G=2. Progresiva: 4+300.00 km.....	61
Figura 43. Digitalizacion de pendiente geometrica vertical 1.95%. Progresiva: 4+300.00 km.	61
Figura 44. Medición de daño BACHES, G=2. Progresiva: 11+715.53 km.....	63
Figura 45. Digitalizacion de pendiente geometrica vertical 1.61 %. Progresiva: 11+715.53 km.	63



Figura 46. Medición de daño BACHES, G=3. Progresiva: 62+200.00 km.....	65
Figura 47. Digitalizacion de pendiente geometrica vertical -0.38%. Progresiva: 62+200.00 km.	65
Figura 48. Medición de daño BACHES, G=3. Progresiva: 3+100.00 km.....	67
Figura 49. Digitalizacion de pendiente geometrica vertical -0.24%. Progresiva: 3+100.00 km.	67
Figura 53. Digitalizacion de pendiente geometrica vertical 0.30%. Progresiva: 12+294.38 km.	72
Figura 54. Medición de daño EROSIÓN, G=3. Progresiva: 3+141.64 km.....	76
Figura 55. Digitalizacion de pendiente geometrica vertical 14.58%. Progresiva: 3+141.64 km.	76
Figura 56. Medición de daño EROSIÓN, G=3. Progresiva: 0+335.13 km.....	80
Figura 57. Digitalizacion de pendiente geometrica vertical 12.56%. Progresiva: 0+335.13 km.	80
Figura 58. Medición de daño EROSIÓN, G=3. Progresiva: 4+045.95 km.....	83
Figura 59. Digitalizacion de pendiente geometrica vertical 12.08%. Progresiva: 4+045.95 km.	83
Figura 60. Medición de daño EROSIÓN, G=3. Progresiva: 6+311.87 km.....	87
Figura 61. Digitalizacion de pendiente geometrica vertical 17.65%. Progresiva: 6+311.87 km.	87
Figura 62. Medición de daño DEFORMACIÓN, G=2. Progresiva: 0+287.54 km.	90
Figura 63. Digitalizacion de pendiente geometrica vertical -4.97 %. Progresiva: 0+287.54 km.	90
Figura 67. Digitalizacion de pendiente geometrica vertical 18.02%. Progresiva: 10+071.65 km.	94
Figura 68. Medición de daño EROSIÓN, G=3. Progresiva: 4+263.84 km.....	97
Figura 69. Digitalizacion de pendiente geometrica vertical 13.85%. Progresiva: 4+263.84 km.	97
Figura 70 . Diagrama de barras de distribución de frecuencias porcentual, relacion de daño porcentual en rango de pendiente geometrica vertical. Fuente: (Elaboración propia).	104
Figura 71. Diagrama circular de pendiente geometrica vertical. Fuente: (Elaboración propia).	105
Figura 72. Diagrama circular de daños en caminos vecinales. Fuente: (Elaboración propia).	106



Figura 73. Relación porcentual de variables dependientes e independientes ordinales observadas y esperadas en diagrama de barras. Fuente: Procesamiento en IBM SPSS (Elaboración propia).....	107
Figura 74. Diagrama de barras de distribución de frecuencias porcentual, relacion de daño porcentual en rango de pendiente geometrica vertical. Fuente: (Elaboración propia).	109
Figura 75. Diagrama circular de pendiente geometrica vertical. Fuente: (Elaboración propia).	110
Figura 76. Diagrama circular de daños en caminos vecinales. Fuente: (Elaboración propia).	111
Figura 77. Relación porcentual de variables dependientes e independientes ordinales observadas y esperadas en diagrama de barras. Fuente: Procesamiento en IBM SPSS (Elaboración propia).	111
Figura 78. Diagrama de barras de distribución de frecuencias porcentual, relacion de daño porcentual en rango de pendiente geometrica vertical. Fuente: (Elaboración propia).	113
Figura 79. Diagrama circular de pendiente geometrica vertical. Fuente: (Elaboración propia).	114
Figura 80. Diagrama circular de daños en caminos vecinales. Fuente: (Elaboración propia).	115
Figura 81. Relación porcentual de variables dependientes e independientes ordinales observadas y esperadas en diagrama de barras. Fuente: Procesamiento en IBM SPSS (Elaboración propia).....	115
Figura 82. Diagrama de barras de distribución de frecuencias porcentual, relacion de daño porcentual en rango de pendiente geometrica vertical. Fuente: (Elaboración propia).	117
Figura 83. Diagrama circular de pendiente geometrica vertical. Fuente: (Elaboración propia).	118
Figura 84. Diagrama circular de daños en caminos vecinales. Fuente: (Elaboración propia).	119
Figura 85. Relación porcentual de variables dependientes e independientes ordinales observadas y esperadas en diagrama de barras. Fuente: Procesamiento en IBM SPSS (Elaboración propia).....	119
Figura 86. Diagrama de barras de distribución de frecuencias porcentual, relacion de daño porcentual en rango de pendiente geometrica vertical. Fuente: (Elaboración propia).	121
Figura 87. Diagrama circular de pendiente geometrica vertical. Fuente: (Elaboración propia).	122



Figura 88. Diagrama circular de daños en caminos vecinales. Fuente: (Elaboración propia)	123
Figura 89. Relación porcentual de variables dependientes e independientes ordinales observadas y esperadas en diagrama de barras. Fuente: Procesamiento en IBM SPSS (Elaboración propia).....	123
Figura 90. Diagrama de barras de distribución de frecuencias porcentual, relacion de daño porcentual en rango de pendiente geometrica vertical. Fuente: (Elaboración propia)	125
Figura 91. Diagrama circular de pendiente geometrica vertical. Fuente: (Elaboración propia)	126
Figura 92. Diagrama circular de daños en caminos vecinales. Fuente: (Elaboración propia)	127
Figura 93. Relación porcentual de variables dependientes e independientes ordinales observadas y esperadas en diagrama de barras. Fuente: Procesamiento en IBM SPSS (Elaboración propia).....	127
Figura 94. Diagrama de barras de distribución de frecuencias porcentual, relacion de daño porcentual en rango de pendiente geometrica vertical. Fuente: (Elaboración propia)	129
Figura 95. Diagrama circular de pendiente geometrica vertical. Fuente: (Elaboración propia)	130
Figura 96. Diagrama circular de daños en caminos vecinales. Fuente: (Elaboración propia)	131
Figura 97. Relación porcentual de variables dependientes e independientes ordinales observadas y esperadas en diagrama de barras. Fuente: Procesamiento en IBM SPSS (Elaboración propia).....	132
Figura 98. Diagrama de barras de distribución de frecuencias porcentual, relacion de daño porcentual en rango de pendiente geometrica vertical. Fuente: (Elaboración propia)	134
Figura 99. Diagrama circular de pendiente geometrica vertical. Fuente: (Elaboración propia)	135
Figura 100. Diagrama circular de daños en caminos vecinales. Fuente: (Elaboración propia)	136
Figura 101. Relación porcentual de variables dependientes e independientes ordinales observadas y esperadas en diagrama de barras. Fuente: Procesamiento en IBM SPSS (Elaboración propia)	136
Figura 102. Diagrama de barras de distribución de frecuencias porcentual, relacion de daño porcentual en rango de pendiente geometrica vertical. Fuente: (Elaboración propia).	138



Figura 103. Diagrama circular de pendiente geometrica vertical. Fuente: (Elaboración propia).....	139
Figura 104. Diagrama circular de daños en caminos vecinales. Fuente: (Elaboración propia)	140
Figura 105. Relación porcentual de variables dependientes e independientes ordinales observadas y esperadas en diagrama de barras. Fuente: Procesamiento en IBM SPSS (Elaboración propia).	141
Figura 106. Diagrama de barras de distribución de frecuencias porcentual, relacion de daño porcentual en rango de pendiente geometrica vertical. Fuente: (Elaboración propia).	143
Figura 107. Diagrama circular de pendiente geometrica vertical. Fuente: (Elaboración propia).....	144
Figura 108. Diagrama circular de daños en caminos vecinales. Fuente: (Elaboración propia).	145
Figura 109. Relación porcentual de variables dependientes e independientes ordinales observadas y esperadas en diagrama de barras. Fuente: Procesamiento en IBM SPSS (Elaboración propia).	145
Figura 110. Diagrama de barras de distribución de frecuencias porcentual, relacion de daño porcentual en rango de pendiente geometrica vertical. Fuente: (Elaboración propia).	147
Figura 111. Diagrama circular de pendiente geometrica vertical. Fuente: (Elaboración propia).....	148
Figura 112. Diagrama circular de daños en caminos vecinales. Fuente: (Elaboración propia).	149
Figura 113. Relación porcentual de variables dependientes e independientes ordinales observadas y esperadas en diagrama de barras. Fuente: Procesamiento en IBM SPSS (Elaboración propia).	150
Figura 114. Diagrama de barras de distribución de frecuencias porcentual, relacion de daño porcentual en rango de pendiente geometrica vertical. Fuente: (Elaboración propia).	152
Figura 115. Diagrama circular de pendiente geometrica vertical. Fuente: (Elaboración propia).....	153
Figura 116. Diagrama circular de daños en caminos vecinales. Fuente: (Elaboración propia).	154
Figura 117. Relación porcentual de variables dependientes e independientes ordinales observadas y esperadas en diagrama de barras. Fuente: Procesamiento en IBM SPSS (Elaboración propia).	154



Figura 118. Diagrama de barras de distribución de frecuencias porcentual, relacion de daño porcentual en rango de pendiente geometrica vertical. Fuente: (Elaboración propia).	156
Figura 119. Diagrama circular de pendiente geometrica vertical. Fuente: (Elaboración propia).....	157
Figura 120. Diagrama circular de daños en caminos vecinales. Fuente: (Elaboración propia).	158
Figura 121. Relación porcentual de variables dependientes e independientes ordinales observadas y esperadas en diagrama de barras. Fuente: Procesamiento en IBM SPSS (Elaboración propia).	159
Figura 122. Diagrama de barras de distribución de frecuencias porcentual, relacion de daño porcentual en rango de pendiente geometrica vertical. Fuente: (Elaboración propia).	161
Figura 123. Diagrama circular de pendiente geometrica vertical. Fuente: (Elaboración propia).....	162
Figura 124. Diagrama circular de daños en caminos vecinales. Fuente: (Elaboración propia).	163
Figura 125. Relación porcentual de variables dependientes e independientes ordinales observadas y esperadas en diagrama de barras. Fuente: Procesamiento en IBM SPSS (Elaboración propia).	163
Figura 126. Diagrama de barras de distribución de frecuencias porcentual, relacion de daño porcentual en rango de pendiente geometrica vertical. Fuente: (Elaboración propia).	166
Figura 127. Diagrama circular de pendiente geometrica vertical. Fuente: (Elaboración propia).....	167
Figura 128. Diagrama circular de daños en caminos vecinales. Fuente: (Elaboración propia).	168
Figura 129. Relación porcentual de variables dependientes e independientes ordinales observadas y esperadas en diagrama de barras. Fuente: Procesamiento en IBM SPSS (Elaboración propia).	168
Figura 130. Diagrama de barras de distribución de frecuencias porcentual, relacion de daño porcentual en rango de pendiente geometrica vertical. Fuente: (Elaboración propia).	170
Figura 131. Diagrama de barras de distribución de frecuencias porcentual, relacion de daño porcentual en rango de pendiente geometrica vertical. Fuente: (Elaboración propia).	172



- Figura 132.** Relación porcentual de variables dependientes e independientes ordinales observadas y esperadas en diagrama de barras. Fuente: Procesamiento en IBM SPSS (Elaboración propia). 173
- Figura 133.** Diagrama circular de pendiente geometrica vertical. Fuente: (Elaboración propia)..... 174
- Figura 134.** Diagrama circular de daños en caminos vecinales. Fuente: (Elaboración propia). 175
- Figura 135.** Diagrama de barras de distribución de frecuencias porcentual, relacion de daño porcentual en rango de pendiente geometrica vertical. Fuente: (Elaboración propia). 176
- Figura 136.** Diagrama de barras de distribución de frecuencias porcentual, relacion de daño porcentual en rango de pendiente geometrica vertical. Fuente: (Elaboración propia). 179
- Figura 137.** Relación porcentual de variables dependientes e independientes ordinales observadas y esperadas en diagrama de barras. Fuente: Procesamiento en IBM SPSS (Elaboración propia). 180
- Figura 138.** Diagrama circular de pendiente geometrica vertical. Fuente: (Elaboración propia)..... 181
- Figura 139.** Diagrama circular de daños en caminos vecinales. Fuente: (Elaboración propia). 182



Introducción

Los daños en caminos vecinales afirmados a nivel de plataforma existentes en la región Huánuco son producidos debido a la dotación ineficiente de la pendiente geométrica vertical establecida *in situ*, los mismos que perjudican la infraestructura vial con desgaste y perdidas de material en las capas del afirmado dejándolo finalmente intransitable.

La presente investigación denominada “Estudio de pendiente geométrica vertical en daños de caminos vecinales afirmados a nivel de plataforma, región Huánuco-2019”, tiene como objetivo analizar y comparar en qué medida la correcta aplicación de la pendiente geométrica vertical de acuerdo al Manual de Carreteras Diseño Geométrico DG 2018 ayudara a reducir los daños en los caminos vecinales de las 11 provincias del departamento de Huánuco, el mismo que se reflejara en su grado de transitabilidad, seguridad de viaje tiempo de viaje, costo de viaje y confort de usuarios.

El presente estudio consta de tres capítulos: Marco teórico donde se delimita teóricamente los problemas, objetivos, hipótesis, variables y muestra de la investigación; marco metodológico donde aplicamos los niveles, métodos, técnicas y tratamiento de datos utilizadas para el correspondiente análisis de nuestro problema en estudio mediante



la medición en campo de daños y digitalización de pendiente geométrica vertical y finalmente se analizan y discuten los resultados obtenidos para validación de hipótesis y especificar las conclusiones y recomendaciones sobre el estudio de pendiente geométrica vertical en daños de caminos vecinales afirmados a nivel de plataforma, región Huánuco-2019.



UNIVERSIDAD NACIONAL HERMILIO VALDIZAN – HUÁNUCO FACULTAD DE INGENIERIA CIVIL Y
ARQUITECTURA E.A.P. INGENIERIA CIVIL
“ESTUDIO DE PENDIENTE GEOMÉTRICA VERTICAL EN DAÑOS DE CAMINOS VECINALES AFIRMADOS A NIVEL DE PLATAFORMA, REGIÓN HUÁNUCO-2019”

Tesista: Villar Villaueva, Nehemias Fidel



Capítulo I: Marco Teórico

Los daños son conocidos como baches y huecos literalmente por la población usuaria de los caminos vecinales afirmados dentro de las provincias de Huánuco.

La pendiente geométrica vertical viene a ser la inclinación del eje de la carretera en el sentido de avance de la superficie de rodadura y es por donde ruedan los neumáticos de los vehículos.

1.1. Antecedentes

En los últimos años la red vial de caminos vecinales se ha incrementado debido al desarrollo económico del país, lo cual ha requerido llevar grandes inversiones en la construcción de carreteras, para comunicar diferentes sectores y pueblos, es por ello la importancia de cumplir la norma del diseño geométrico durante la formulación del proyecto, ejecución y posterior mantenimiento de dichos caminos. **Alegría, Ayala & Fuentes (2006)** estudiaron la propuesta de un manual de diseño geométrico de carreteras donde concluyeron que:

Las condiciones topográficas, de la zona por la cual transcurre el proyecto caracterizadas principalmente por ser del tipo montañoso, provocan un condicionamiento a los parámetros de diseño tanto en lo horizontal como en el vertical, provocando como en éste caso que se acepten valores de pendientes superiores a lo normado para el tipo de carretera, para evitar movimientos de tierra desmesurados con respecto a la magnitud del proyecto; dichas condiciones justifican el por qué los proyectos superan en la mayoría de las curvas verticales las pendientes de entrada y



salida de los valores normados (p. 338).

Los caminos vecinales luego de concluidos la ejecución, inician la fase de operación y mantenimiento a nivel de sus componentes de infraestructura vial, siendo el mismo que se ve afectado por cambios constantes hasta llegar a la condición de intransitable o fatal, siendo este ciclo compuesto por cuatro fases: A, B, C, y D.

Campos (2019). Es importante identificar los tipos de daños y en qué fase se encuentran a nivel de la plataforma en los caminos vecinales de la región Huánuco, para evitar la descomposición total de la infraestructura vial, con intervenciones de gestión de mantenimiento vial.

En el ámbito de la investigación de caminos vecinales respecto al diseño geométrico. **Choque (2013)** estudio el comportamiento de caminos rurales utilizando métodos informativos, donde recomienda que: Para el diseño de caminos rurales, se debe tener conocimientos básicos de los principales parámetros para el diseño como: la mecánica de suelos, altimetría, planimetría y la hidrología, (...). Donde resalta la importancia del diseño del eje longitudinal, ya que constituye la base para el diseño de la rasante.

Concluyendo que la herramienta AutoCAD Civil 3D es eficiente en tiempo con precisión de trabajos de diseños de caminos rurales (pp. 95-97).

Recientemente se estudió la propuesta del diseño geométrico y señalización del tramo 5 de la red vial vecinal empalme ruta AN-11 – Tingo Chico, provincias de Huamalies y Dos de Mayo, departamento de Huánuco donde se comenta que:



A partir del eje definido se realizan los estudios o verificaciones de otras especialidades, como la geología, geotecnia, hidrología, hidráulica e impacto ambiental, los mismos que deben guardar relación y concordancia con el eje, siendo el trazo la mejor alternativa en cuanto a emplazamiento sobre el terreno y su configuración geométrica (**Delzo 2018**). Aclarando que si se agregan conceptos de diversas especialidades al diseño geométrico y se toman en cuenta las necesidades que surgen de cada una de ellas, es posible que el trazo, ya sea horizontal o vertical, tenga algunas restricciones.

Recientemente **Alvarado (2017)** estudio la “Evaluación y alcances técnicos en el diseño, construcción y mantenimiento de caminos vecinales en el distrito de José crespo y castillo, con la finalidad de evaluar los trazos empíricos realizados por apoyos municipales los cuales inciden negativamente en costos de diseño” (p. 5)

La necesidad de tener en buenas condiciones los caminos de baja intensidad de tránsito, se vuelve cada día más indispensable para el desarrollo social y económico de las comunidades. El poco o nada de interés por plantear soluciones técnicas y económicamente viables al tratamiento de este tipo de caminos ha obstaculizado en gran manera dicho desarrollo y una conservación de los existentes.

Las condiciones físicas en las que se encuentran los caminos en las zonas rurales en Huánuco, son deficientes, distinguiéndose por su fragilidad y desequilibrio. Con solo recorrer algunos de los caminos de baja intensidad de tránsito, se puede tener una idea de las grandes dificultades que tiene que afrontar la población para acceder a otros



núcleos urbanos o vías principales, por ejemplo grandes capas de polvo en verano, estancamiento de agua, escorrentías superficiales, elevadas pendientes. (**Alvarado, 2017, p.7.**)

En el ámbito local **Aquino (2015)** estudio la seguridad vial para caminos vecinales de la provincia de Huánuco donde concluyo que:

La mayoría de los caminos vecinales de la provincia de Huánuco, en un mayor porcentaje cumplen satisfactoriamente con los valores límites establecidos por la norma; no obstante, se deduce que en un menor porcentaje incumplen y se comportan de modo insatisfactorio, por lo que los conductores en su recorrido van a encontrar elementos geométricos (como curvas de radio pequeño, calzadas angostas o fuertes pendientes) que los obligan a disminuir su velocidad de circulación, provocando situaciones de inseguridad (p. 93).

Recientemente **Villanueva (2018)**. Estudio el procedimiento para el diseño geométrico de camino vecinal utilizando el software AutoCAD civil 3D donde concluyo que:

Al realizar la propuesta de diseño geométrico en carreteras de camino vecinal utilizando software AutoCAD Civil 3D se puede realizar un diseño eficiente y dinámico es decir si efectuamos alguna modificación en la digitalización en planos de planta, perfil y/o sección transversal, estas permiten una actualización automática de los parámetros del diseño (p. 77).



Respecto a daños en caminos vecinales afirmados a nivel local, no se encontró estudio alguno que pueda contribuir a la investigación.

De los antecedentes expuestos nuestra investigación se concentra en evaluar la pendiente geométrica vertical a nivel de rasante y su influencia en daños en caminos vecinales afirmados existentes en la región Huánuco referidas a nivel de plataforma, desarrollados a partir del inventario de condición vial del camino y su correspondiente diseño geométrico.



1.2. Formulación del Problema

1.2.1. Problema General

¿En cuánto reducirán los daños si se aplica adecuadamente la pendiente geométrica vertical cumpliendo estrictamente los parámetros del Manual de Carreteras Diseño Geométrico DG 2018 en los caminos vecinales de las 11 Provincias de la Región Huánuco?

1.2.2. Problemas Específicos

- a) ¿Qué porcentaje alcanza la pendiente geométrica vertical a nivel de rasante en caminos vecinales de la región Huánuco?
- b) ¿Qué valores y tipos de daños se presentan en los caminos vecinales a nivel de plataforma de la región Huánuco?
- c) ¿Cuál es la relación de la pendiente geométrica vertical existente y propuesto de acuerdo al Manual de Carretas Diseño Geométrico DG 2018?
- d) ¿Cuál es la relación e influencia de daños en la pendiente geométrica vertical existente en caminos vecinales de la región Huánuco?

1.3. Justificación e Importancia

La razón de la presente investigación es estudiar la pendiente geométrica vertical en los daños producidos en los caminos vecinales afirmados de la región Huánuco a nivel de plataforma, con la finalidad de verificar la aplicación del diseño geométrico.

La pendiente geométrica vertical superior a lo permitido por la norma Diseño



Geométrico genera daños de erosión con nivel de gravedad alto y cuando es inferior a lo señalado por la norma en mención produce daños de baches con nivel de gravedad alto.

1.4. Limitaciones

El estudio se centrara en evaluar y medir daños solo en función de la pendiente geométrica vertical en carreteras afirmadas es decir no pavimentadas a nivel de la plataforma.

Escasa información del tema de investigación respecto a daños en caminos vecinales.

Abundancia de datos que demanda alta cuantía de tiempo programado para registro, procesamiento, tratamiento y validación estadístico de hipótesis, así mismo caminos dispersos en diferentes provincias que demanda alta cuantía de presupuesto.

La investigación se desarrolla solo para caminos vecinales afirmadas en las 11 provincias de la Región Huánuco, mas no para caminos departamentales y nacionales.

1.5. Objetivos

1.5.1. Objetivo General

Analizar y comparar en qué medida la correcta aplicación de la pendiente geométrica vertical de acuerdo al Manual de Carreteras Diseño Geométrico DG 2018 coadyuvara a reducir los daños en los caminos vecinales de las 11 provincias del Departamento de Huánuco.



1.5.2. Objetivos Específicos

- a) ¿Qué porcentaje alcanza la pendiente geométrica vertical a nivel de rasante en caminos vecinales de la región Huánuco?
- b) ¿Qué valores y tipos de daños se presentes en los caminos vecinales a nivel de plataforma de la región Huánuco?
- c) ¿Cuál es la relación de la pendiente geométrica vertical existente y propuesto de acuerdo al Manual de Carretas Diseño Geométrico DG 2018?
- d) ¿Cuál es la relación e influencia de daños en la pendiente geométrica vertical existente en caminos vecinales de la región Huánuco?

1.6. Hipótesis

1.6.1. Hipótesis Nula

H_0 : La pendiente geométrica vertical no se relaciona significativamente con daños de caminos vecinales afirmados a nivel de plataforma, región Huánuco - 2019.

1.6.2. Hipótesis Alterna

H_a : La pendiente geométrica vertical se relaciona significativamente con daños de caminos vecinales afirmados a nivel de plataforma, región Huánuco - 2019.

1.6.3. Hipótesis Específicas

H_{01} : La pendiente geométrica vertical cuyos valores son menores al 3% no se relaciona significativamente con daños de bacheo en caminos vecinales afirmados a nivel de plataforma, región Huánuco - 2019.

H_{a1} : La pendiente geométrica vertical cuyos valores son menores al 3% se relaciona



significativamente con daños de bacheo en caminos vecinales afirmados a nivel de plataforma, región Huánuco - 2019.

H_{02} : La pendiente geométrica vertical cuyos valores se encuentran entre 3% y 6% no se relaciona significativamente con daños de deformación en caminos vecinales afirmados a nivel de plataforma, región Huánuco - 2019.

H_{a2} : La pendiente geométrica vertical cuyos valores se encuentran entre 3% y 6% se relaciona significativamente con daños de deformación en caminos vecinales afirmados a nivel de plataforma, región Huánuco - 2019.

H_{03} : La pendiente geométrica vertical cuyos valores son mayores a 6% no se relaciona significativamente con daños de erosión en caminos vecinales afirmados a nivel de plataforma, región Huánuco - 2019.

H_{a3} : La pendiente geométrica vertical cuyos valores son mayores a 6% se relaciona significativamente con daños de erosión en caminos vecinales afirmados a nivel de plataforma, región Huánuco - 2019.

1.7. Variables

Una variable es una propiedad cuyo contenido puede variar y cuya variación es susceptible de medirse y observarse en forma directa o indirecta. (Hernandez et al, 2014, 6ta, p. 105).

1.7.1. Variables Independientes

Los valores de este tipo de variables no dependen del valor de otras. Se conceptualiza como la causa o el fenómeno a investigar y se identifica como causa o antecedente. Esta variable puede ser manipulada o cambiada por el investigador



(Mejía, 2008).

Nuestra variable independiente será: Pendiente geométrica vertical (rasante).



Figura 1. Medición de pendiente geométrica vertical con el método directo, tramo: Tunya.

1.7.2. Variables Dependientes

Las variables dependientes son las que se miden, en ellas se enfoca la observación para ver la respuesta ante el cambio de la variable independiente. Son el resultado del fenómeno que se intenta investigar (Mejía, 2008).

La variable dependiente de nuestra investigación será: Daños en caminos vecinales afirmados (Erosión, deformación, baches, lodazal y cruce de agua).

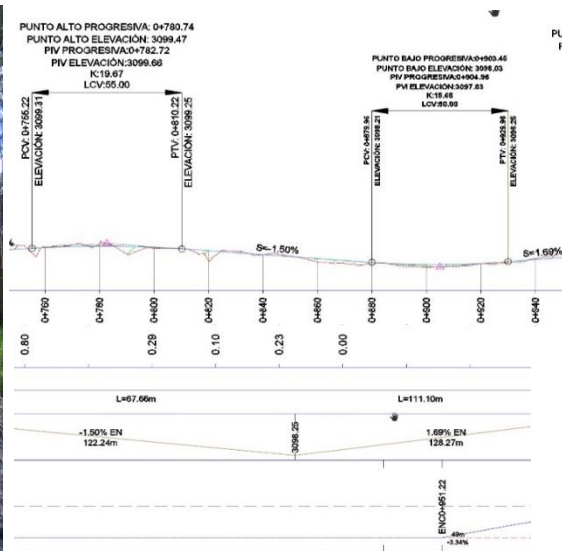


Figura 2. Digitalización de pendiente geométrica vertical





Figura 3. Medición de bache con nivel de gravedad=2.



Figura 4. Foto de erosión con nivel de gravedad=1.

1.7.3. Variables Intervinientes

Es aquella que participa con la variable independiente condicionando a la dependiente.

- Estacionalidad (época seca y época de lluvia)



Figura 5. Registro de deformación en invierno, G=3.



Figura 6. Registro de bacheo en invierno, G=2.

1.8. Operacionalización de Variables

Tabla 1
Operacionalización de Variables

Variables	Tipo de Variables	Dimensiones	Indicadores	Unidad
-----------	-------------------	-------------	-------------	--------



		Erosión	E	Cm.
Daños en caminos vecinales afirmados	Dependiente	Deformación Baches Lodazal y cruce de agua	D B L,CA	Cm. Und. Transitabilidad
Pendiente geométrica vertical.	Independiente	Análisis Comparativo	Rasante	%
Estacionalidad	Variable interviniente	Épocas anuales	V(D.LL),I(A.LL)	meses

Nota. Las expresiones V, I indican estación de verano (seca) e invierno (húmeda), Elaboración propia; D.LL=Después de lluvias, A.LL (Antes de lluvias).

1.9. Universo/Población y Muestra:

1.9.1. Determinación del Universo/Población:

El universo y población de la presente investigación es limitado (población menor a 100,000), conformadas por todos los caminos vecinales comprendidos dentro del departamento de Huánuco integrada por los seiscientos sesenta y siete (667) caminos vecinales identificados con el prefijo HU, reconocidos en el SINAC clasificador de rutas en concordancia con el D.S.N° 011-2016/MTC.21, el mismo que está dividido en sus once (11) provincias. Borja (2016) afirma: “Existen dos casos para determinar el tamaño de la muestra dependiendo de la población, si ésta es finita o infinita” (pp.31-32). A continuación, se explica la manera de calcular el tamaño de muestra cuando la población es finita, que se aplica a este caso.

1.9.2. Selección del tamaño de muestra:

Utilizaremos la expresión algebraica el mismo que depende la precisión que se



requiera para una población finita, con un error de estimación relativa de 0.05 ($e=0.05$), nivel de confianza al 95% es decir $Z=1.96$ y los valores de p se encuentran comprendidos en un intervalo entre cero y uno, pero la fórmula es simétrica alrededor del 0.5 (reflejada en la expresión pq , donde $q=1-p$). Por ende, basta analizar la función para valores de p entre 0 y 0.5 (Reinoso et al., 2016, pp 45-47):

$$n = \left(\frac{Z * p * q * N}{d^2 * (N - 1)} \right) + Z * p * q$$

Donde:

n : Tamaño de la muestra.

N : Tamaño de la población.

Z : Nivel de confianza.

p : Posibilidad de ocurrencia de un evento.

q : Posibilidad de no ocurrencia de un evento, $q=1-p$.

d : Error de la estimación relativa.

Reemplazando valores en la expresión algebraica obtenemos:

$$n = \left(\frac{1.96 * 0.5 * 0.5 * 667}{0.05^2 * (667 - 1)} \right) + 1.96 * 0.5 * 0.5 = 196.78$$

Redondeando el tamaño de la muestra calculada resulta 196 el mismo que representa un valor grande que influye directamente en costos y tiempo de ejecución de la presente investigación, por lo que recalculamos el tamaño de la muestra inicial



con un nivel de confianza al 90% y un error de estimación al 0.10.

$$n = \left(\frac{Z^2 * p * q * N}{d^2 * (N-1)} \right) + Z * p * q = \left(\frac{1.65^2 * 0.5 * 0.5 * 667}{0.10^2 * (667-1)} \right) + 1.65 * 0.5 * 0.5 = 49.56$$

Del valor de la muestra reajustada se obtiene como resultado tamaño de muestra equivalente a 50. El cual sigue siendo grande y representa mayor costo y tiempo de ejecución en la investigación, por ello se procede a reajustar el tamaño de la muestra inicial con un nivel de confianza al 85% y un error de estimación de 0.15.

$$n = \left(\frac{Z^2 * p * q * N}{d^2 * (N-1)} \right) + Z * p * q = \left(\frac{1.44^2 * 0.5 * 0.5 * 667}{0.15^2 * (667-1)} \right) + 1.44 * 0.5 * 0.5 = 16.384$$

Finalmente del valor de la muestra reajustada por segunda vez resulta igual a 16.384, por lo tanto asumiremos el tamaño de muestra equivalente a **15**, caminos vecinales a ser estudiadas.

Tabla 2
Tamaño de Muestra

Variable Independiente		Variables Dependientes	Muestras
No Modificable	Modificable	Daños en el camino vecinal afirmado	n
% Normativo	Pendiente geométrica vertical Var. < % < Var.	Daños a nivel de plataforma	15

Nota: La tabla muestra la cantidad de muestras equivalentes a pendientes parametrizados. Nota: la expresión % Normativo hace referencia a la pendiente geométrica vertical reguladora indicada en el Manual de carreteras Diseño Geométrico DG 2018, las pendientes geométricas verticales modificables varían de (-% a +%), los mismos que obedecen a la pendiente existente in situ.

1.10. Revisión de Estudios Realizados:

Los daños son conocidos como baches y huecos literalmente por la población



usuaria de los caminos vecinales afirmados dentro de las provincias de Huánuco.

Desde la apertura o construcción de los primeros caminos rurales, la preocupación permanente de las autoridades ha sido el mantenimiento de la transitabilidad de las vías y el logro de la integración territorial, tomando en consideración aspectos como la diversidad geográfica de nuestro territorio, factores climáticos y los altos costos de las intervenciones viales. Para el año 2013, por ejemplo, los caminos vecinales presentan una extensión de aproximadamente 107,263.00 kilómetros (69% del total del sistema vial nacional), mientras que los caminos de herradura o peatonales superan esta cifra; siendo la gestión de ambos tipos de vías de competencia de las municipalidades (**Guía para el cumplimiento de la meta 40, 2016, p.3**)

Se establecen seis (06) tipos de daños en carreteras no pavimentadas los mismos que son: deformación, erosión, huecos, encalaminado, lodazal y cruce de agua. Asimismo a partir del Manual de Inventarios Viales establece la Ficha: 1.E: Ficha Técnica de Calificación para cada Tipo de Deterioro o Falla de la Capa de Rodadura por Secciones de 500 m de Camino no Pavimentado (afirmado), donde establece puntaje de condición según extensión de cada tipo de deterioro o falla (**Manual de Inventarios Viales, 2014, pp. 312-319**).

Al definir la geometría de la vía, no debe perderse de vista que el objetivo es diseñar una carretera que reúna las características apropiadas, con dimensiones y alineamientos tales que su capacidad resultante satisfaga la demanda del proyecto (**Manual de carreteras, 2018, p. 15**).



La condición de las carreteras no pavimentadas (afirmadas) se califica por sus daños, la velocidad promedio y la sinuosidad de la trayectoria del vehículo como resultado de los daños de la carretera (**Manual de carreteras conservación vial, 2013**).

El firme, superficie de la carretera o pavimento es el material superficial permanente que sostiene el tráfico peatonal y vehicular de una vía o camino, el mismo que debe mantener una superficie cómoda y adecuada para la circulación, si el firme es resbaladizo puede ser peligroso para la circulación de la misma forma que si está bacheado.

Un bache es una irregularidad superficial localizada provocada por la desintegración o el arranque de los materiales del pavimento. En la medida en que no se actué, dicha desintegración continuara tanto en superficie como en profundidad. A menudo, los baches van asociados a otros deterioros, como pueden ser los agrietamientos en las rodadas, un blandón es un deterioro que tiene su origen no en la superficie sino en el fondo del firme debido a la acción del agua sobre una explanada o una capa granular con un exceso de finos plásticos (**Kraemer et al, 2004, II, p. 520**). Como resultado de la inspección visual cada bache o blandón debe referenciarse de una manera precisa: respecto del origen del tramo, precisando también su ubicación en relación con el eje o el borde de la calzada. Asimismo deben cuantificarse la superficie afectada y la profundidad de la irregularidad. Finalmente, si los baches o blandones se repiten, deben indicarse cuál es la longitud total de la vía afectada por el



problema y cuál es la densidad de los deterioros.

Los inventarios de carreteras consisten en una recopilación ordenada de datos acerca de la red viaria, sus elementos y sus características, que permiten a sus gestores consultar en el gabinete una base de datos cada vez que necesitan conocer alguno de ellos como una ayuda para tomar una decisión, planificar una actuación o resolver un problema, en vez de tener que ir al campo a comprobarlo o a medirlo. Los inventarios son por lo tanto, una herramienta básica para la gestión de una red viaria, el inventario vial debe ser fiable, financiera y técnicamente estable, y estar actualizado. Hay que asignar unas competencias y unas tareas (claras y bien programadas) en relación con la recogida, el almacenamiento, la comprobación, etc., de los datos. También hay que definir la frecuencia con la que se lleva cabo y el método de supervisión (**Kraemer et al, 2004, I, p. 313**).

Cuando un vehículo recorre una vía en pendiente cuyo perfil longitudinal presenta una curvatura importante, queda sometido a una aceleración vertical que puede modificar las condiciones de estabilidad y afectar considerablemente el confort de los pasajeros (**Carciente, 2017**).

El inventario vial es un proceso que nos permite conocer los caminos que componen la red vial de una determinada área, asimismo los componentes del camino y el estado de conservación de los mismos. Los datos que son consignados en el inventario permiten, además, conocer la ubicación de los principales componentes y obras que conforman el camino, el estado de los mismos y la necesidad de ciertos



trabajos, así mismo el inventario vial debe efectuarse cada dos años para conocer la variación de las condiciones del camino, y debe contener los siguientes componentes: Datos generales, Características de la vía y pavimento (**Menéndez, 2003, p. 24.**)

Los caminos vecinales atraviesan 4 fases a partir de su ejecución inicial denominados A, B, C y D. En la fase A, un camino nuevo puede ser de construcción sólida o con algunos defectos de todos modos entra en servicio, en condiciones de satisfacer plenamente la necesidad de los usuarios. Posteriormente durante un cierto número de años, el camino pasa a la fase B donde experimenta un proceso de desgaste y debilitamiento lento principalmente en la superficie de rodadura, producido debido a condiciones climáticas, número de vehículos livianos y pesados y otros factores. Después de varios años de uso el camino se encuentra en la fase C, donde la superficie de rodadura y otros elementos del camino están cada vez más “agotados”, entrando en un periodo de deterioro acelerado, produciéndose cada vez más daños puntuales y poco a poco se van extendiendo hasta afectar la mayor parte del camino. Finalmente en la fase D, la descomposición total del camino constituye la última etapa de su existencia y puede durar varios años, dificultando seriamente el paso de los vehículos, la velocidad de circulación baja bruscamente y la cantidad de camino queda reducida a solo una fracción de la original (**Menéndez, 2003, pp. 4-7.**)

En la sección de pavimentos se indican las características de la superficie de rodadura, tales como el ancho de calzada, el bombeo, el tipo de material de la superficie de rodadura y un aspecto de mucha importancia, el cual es la identificación



de los defectos de la calzada. Estos defectos son amplios pero se pueden clasificar en dos tipos; los de tipo superficial y los de cimentación o fundación: Los defectos superficiales están compuestos por: Baches, ahueamientos, ondulaciones (encalaminados), superficies resbalosas, erosión superficial, superficies blandas y perdida de material y los defectos de cimentación o fundación está compuesto por: Hundimientos (**Menéndez, 2003, p. 24**).

El diseño geométrico vertical de una carretera, o alineamiento en perfil, es la proyección del eje real o espacial de la vía sobre una superficie vertical paralela al mismo. Debido a este paralelismo, dicha proyección mostrará la longitud real del eje de la vía. A este eje también se le denomina rasante o sub-rasante. El alineamiento horizontal y el alineamiento vertical deben ser consistentes y balanceados, en forma tal que los parámetros del primero correspondan y sean congruentes con los del segundo. Por lo tanto es necesario que los elementos del diseño vertical tengan la misma velocidad específica del sector en planta que coincide con el elemento vertical en estudio. Lo ideal es la obtención de rasantes largas con un ajuste óptimo de curvas verticales y curvas horizontales a las condiciones del tránsito y a las características del terreno, generando un proyecto lo más económico posible tanto en su construcción como para su operación (**Cardenas, 2013**).

Se considera como camino rural a una vía que se usa relativamente poco (tránsito diario promedio de menos de 400 vehículos por día), que tiene bajas velocidades de diseño (típicamente menores de 80 kph), y geometría correspondiente. Un sistema de



caminos rurales bien planeado, localizado, diseñado, construido y mantenido, resulta esencial para el desarrollo comunitario, para el flujo de bienes y servicios entre las comunidades, y para las actividades de administración de recursos. Sin embargo, los caminos, y sobre todo la construcción de caminos, pueden producir más erosión en el suelo que la mayor parte de otras actividades que tienen lugar en zonas rurales. Con una planeación y un diseño adecuados del sistema de caminos se podrán minimizar los efectos adversos sobre la calidad del agua. Los sistemas de caminos pobremente planeados pueden llegar a tener altos costos de mantenimiento y de reparación, pueden contribuir a una erosión excesiva y pueden no satisfacer las necesidades de los usuarios (**Keller, G. & Sherar, J. 2004, p. 21**).

En líneas generales los caminos rurales o de tierra presentan severas erosiones, tanto hídricas como eólicas, que han dejado su rasante por debajo del nivel de los campos adyacentes, presentando un perfil transversal inadecuado debido a la falta de cunetas y de perfil adecuado, el agua se deposita en la calzada originándose de esa manera “pantanos” producidos por el tránsito y la permanencia del agua, lo que se traduce en ahueamientos importantes transformando el camino en intransitable (**Asociación Argentina de carreteras, 2018**).

1.11. Definición de Términos Básicos:

Pendiente de la carretera: Inclinación del eje de la carretera, en el sentido de avance. (**Guía para el cumplimiento de la meta 40, p.53**)

Diseño geométrico en perfil: El diseño geométrico en perfil o alineamiento vertical,



está constituido por una serie de rectas enlazadas por curvas verticales parabólicas, a los cuales dichas rectas son tangentes; en cuyo desarrollo, el sentido de las pendientes se define según el avance del kilometraje, en positivas, aquellas que implican un aumento de cotas y negativas las que producen una disminución de cotas. (**DG-2018, p.169**).

Alineamiento vertical: Permite la operación ininterrumpida de los vehículos, tratando de conservar la misma velocidad de diseño en la mayor longitud de carretera que sea posible. (**DG-2018, p.169**).

Daños: Deterioros graduales en la plataforma de la calzada con pérdida de material en la capa de afirmado

Red vial vecinal o rural: Conformada por las carreteras que constituyen la red vial circunscrita al ámbito local, cuya función es articular las capitales de provincia con capitales de distrito, éstas entre sí, con centros poblados o zonas de influencia local y con las redes viales nacional y departamental o regional. (**Guía para el cumplimiento de la meta 40, p.54**)

Camino rural: Denominación utilizada para referir tanto al camino vecinal como al camino de herradura o peatonal. (**Guía para el cumplimiento de la meta 40, p.51**)

Afirmado: Capa compactada de material granular natural o procesado con gradación específica que soporta directamente las cargas y esfuerzos del tránsito. Debe poseer la cantidad apropiada de material fino cohesivo que permita mantener aglutinadas las



partículas. Funciona como superficie de rodadura en carreteras y trochas carrozables.

(Guía para el cumplimiento de la meta 40, p.51)

Superficie de rodadura: Parte de la carretera destinada a la circulación de vehículos compuesta por uno o más carriles, no incluye la berma. **(Guía para el cumplimiento de la meta 40, p.54)**

Plataforma: Superficie superior de una carretera, incluye calzadas o superficie de rodadura, bermas, veredas, separadores centrales y cunetas, según corresponda. **(Guía para el cumplimiento de la meta 40, p.53)**

Sistema nacional de carreteras (SINAC): Conjunto de carreteras conformantes de la Red Vial Nacional, Red Vial Departamental o Regional y Red Vial Vecinal o Rural.

(Guía para el cumplimiento de la meta 40, p.54)



Capítulo II: Marco Metodológico

Se precisa en este capítulo, a través de un lenguaje claro y sencillo, los métodos, técnicas, estrategias, procedimientos e instrumentos utilizados por el investigador, para lograr los objetivos.

Enseguida se explica los mecanismos utilizados para el análisis de nuestra problemática de investigación.

2.1.Tipo y Nivel de Investigación:

Tipo: Es **APLICADA**, debido a que busca conocer, actuar, construir y modificar una realidad problemática y está interesada en la aplicación inmediata sobre la problemática antes que el desarrollo de un conocimiento de valor universal (Borja, M. 2016).

Es **APLICADA**, debido a que busca conocer para hacer, para actuar, para construir, para modificar; le preocupa la aplicación inmediata sobre una realidad circunstancial antes que el desarrollo de un conocimiento de valor universal (Sánchez, H. & Reyes, C. 2006).

Nivel: Es **CUANTITATIVA**, debido a que plantea que una forma confiable para conocer la realidad es a través de la recolección y análisis de datos, con los que se podría contestar las preguntas de la investigación y probar las hipótesis. Este tipo de investigación confía en la medición numérica, el conteo y frecuentemente en el uso de la estadística para establecer con exactitud patrones de comportamiento en una



población. (Borja, M. 2016).

Es **CUANTITATIVA**, porque supone procedimientos estadísticos de procesamiento de datos (Sánchez, H. & Reyes, C. 2006).

2.2.Diseño de la Investigación:

Es **EX POSFACTO**, puesto que determinara las relaciones entre las variables tal como se manifiestan en la realidad, sin la intervención y manipulación de las variables durante la investigación. Partiendo del fenómeno al que se le buscan las posibles causas en el pasado (estudio retrospectivo) (Borja, M. 2016).

Es **EX-POST-FACTO**, ya que consiste en investigar posibles relaciones causales observando manifestaciones y resultados que ya tuvieron lugar. Se parte de una situación terminal actual, para indagar hacia atrás e identificar a través de los datos disponibles, posibles factores causales (Sánchez, H. & Reyes, C. 2006).

De lo explicado en el párrafo anterior, el método ex post facto es el que se ajusta a nuestra investigación, pues no se controla la variable independiente para el control y medición del daño producido puesto que se plantea la validación de las hipótesis cuando el fenómeno ya ha sucedido.

La realización de medición de daños para la presente investigación se llevó a cabo in situ en los 15 caminos vecinales mostrados en la **tabla 4**.

2.3. Técnicas de Recolección y Tratamiento de Datos:

Se ejecutó y desarrollo de fuentes de información físicas y digitales, como son:



guías, libros, tesis, normativas actualizadas entre otros; que han sido aplicados en las diversas mediciones in situ dentro de quince caminos vecinales seleccionados, aplicando técnicas e instrumentos como se observa en la **tabla 3**.

2.4. Medición de Daños y Digitalización del Diseño geométrico:

Los daños de la plataforma de la carretera se desarrollaron mediante la metodología y procedimiento de la guía del (Manual del inventario Vial parte IV), “Inventario Vial para Planificación Vial Estratégica de la Red Vial Vecinal o Rural de los Gobiernos Locales” con la aplicación del software Microsoft Office Excel 2019.

La digitalización del diseño de los caminos vecinales en estudio se desarrollaron en función al Manual de Carreteras: Diseño Geométrico DG-2018 con la aplicación del software Autodesk AutoCAD Civil 3D 2020 x64.

Tabla 3
Técnicas e Instrumentos de Recolección de Datos

Técnicas	Instrumentos
Técnicas Bibliográficas	Instrumentos Bibliográficos
Análisis de contenido	Comprensión lectora
Fichaje	Ficha estándar, ficha bibliográfica, Ficha Programada
Apuntes	Guía para el cumplimiento de la meta 40 (Determinación del estado de transitabilidad y nivel de intervención de los Caminos Rurales), manual de carreteras diseño geométrico DG 2018.



Técnicas de Campo	Instrumentos de Campo
Observación	Observación ex-posfacto
Medición de pendiente	Eclímetro, GPS, Estación Total y GPS Diferencial.
Medición de nivel de gravedad	Regla metálica métrica, wincha de mano, wincha de 50m y odómetro
Medición de tipo de daños	Toma y registro de datos de campo
Tratamiento	Software de procesamiento
Digitalización	Autodesk AutoCAD Civil 3D 2020 x64, Microsoft office Excel 2016

Fuente: Elaboración Propia

De lo determinado en la sección 1.9, respecto a población y muestra los 15 caminos seleccionados como muestras para el presente estudio son los siguientes:

Tabla 4

Muestra del Estudio por Provincias, Código de Rutas y Progresivas.

ÍTEM	REGIÓN	PROVINCIA	DISTRITO	JERARQUIA	TIPO DE SUPERFICIE	RUTA	TRAMO	PROG. (Km.)
1	Huánuco	Dos de Mayo	Pachas	Camino Vecinal (SIERRA)	Afirmado	HU-742	Tunya - Pampa Esperanza - Gorgor - Goshay.	00+000 al 05+000
2	Huánuco	Dos de Mayo	Pachas	Camino Vecinal (SIERRA)	Afirmado	R-100313 06	Mariscal Castilla - Irma Chico.	11+000 al 16+000



3	Huánuco	Marañon	La Morada	Camino Vecinal (SELVA)	Afirmado	HU - 518	Huamuco - Madre Mía	03+300 al 05+000
4	Huánuco	Marañon	La Morada	Camino Vecinal (SELVA)	Afirmado	HU- 517	Naranjal - Huamuco	08+800 al 13+000
5	Huánuco	Marañon	La Morada	Camino Vecinal (SELVA)	Afirmado	HU- 505	Naranjal – La Morada	62+000 al 67+000
6	Huánuco	Marañon	Cholón	Camino Vecinal (SELVA)	Afirmado	HU- 508	San Juan de Culebra - Paraíso - Puerto Huallaga	00+000 al 05+000
7	Huánuco	Marañon	Cholón	Camino Vecinal (SELVA)	Afirmado	HU- 512	Paraíso - Santa Rosa de Megote - Puerto Río Huallaga	00+000 al 05+360
8	Huánuco	Marañon	Cholón	Camino Vecinal	Afirmado	HU- 505	Puente frijol- Paraíso- Tres de Mayo- Nuevo Canaan.	11+000 al 16+000
9	Huánuco	Marañon	Huacrachuco	Camino Vecinal (SIERRA)	Afirmado	HU- 504	Ogoro- Huachumay	00+000 al 05+000
10	Huánuco	Marañon	Huacrachuco	Camino Vecinal (SIERRA)	Afirmado	HU- 501	Huacrachuc o- Marcopata - Quillabamba – Cajapa – Fin de Camino.	00+000 al 05+000
11	Huánuco	Marañon	Huacrachuco	Camino Vecinal (SIERRA)	Afirmado	HU- 500	Mollepampa- El Progreso - Huaychao	00+000 al 05+000



12	Huánuco	Pachitea	Umari, Panao	Camino Vecinal (SIERRA)	Afirmado	HU- 840	Pinquiray - Challhuayo g - Carancho - Panao	05+000 al 10+000
13	Huánuco	Pachitea	Molino	Camino Vecinal (SIERRA)	Afirmado	HU- 902	Huarichaca - Pucajaga - Shihuapamp a.	00+000 al 05+000
14	Huánuco	Pachitea	Panao	Camino Vecinal (SIERRA)	Afirmado	HU- 894	Purupampa - Tunapuco - Huascapam pa	10+000 al 15+000
15	Huánuco	Pachitea	Panao	Camino Vecinal (SIERRA)	Afirmado	HU- 875	Huaman – Tipsa - Tipsa Alta	00+000 al 05+000

2.4.1.Medición de Daños

Los daños son fallas y deterioros graduales en la plataforma de la calzada con pérdida de material en la capa de afirmado, desgastes que aumentan su dimensión gradualmente debido a la alta concentración de cargas móviles, precipitación pluvial, clima, eventos naturales, inadecuado proceso constructivo, inadecuado diseño geométrico vertical, falta de cultura vial y falta de atención en gestión de mantenimiento vial.

EQUIPOS DE MEDICIÓN DE DAÑOS.

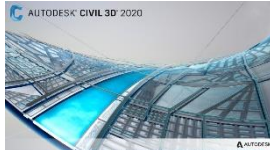
Para la medición de daños se utilizó los siguientes equipos e instrumentos.



Tabla 5
Equipos e Instrumentos para Medición de Daños

EQUIPO/SOFT WARE	TIPO	CARACTERIST ICAS	FIGURA	CANTID AD
GPS	Navegador.	Recepción navstar y glonass		1
Cámara de video	DVR con función GPS.	Resolución 1920x1080		1
Cámara Fotográfica	Semi profesional.	Resolución 16.1 megapíxel		1
Computadora	Portátil (Laptop).	Procesador de 2.0 HGz min.		1
Disco	Disco externo.	1 Tb		1
Disco extraíble	USB.	16 Gb		1
Wincha	Portátil.	Fibra de vidrio 50m/5ml		1/1
Radio	Celular – Radio.	Doble vía		2
Vehículo/Movilidad	Camioneta/ Moto lineal.	Doble cabina y doble acción (4x4)/ Motor 200 o superior.		1/1
Regla	Metálica o aluminio	4 ml		2
Cuaderno	Cuaderno A4 cuadriculado	100 hojas mínimo		5



Fichas	Ficha estándar y programada	1000 hojas mínimo	5
Materiales de escritorio	Lapiceros, hojas bond A4, lápiz, borrador, plumones, pizarra acrílica, pilas alcalinas, etc.	02 unidades de cada uno mínimo	 2 c/u
Antena externa	Base imantada con adherencia al techo del vehículo.	01 unidad	 1
Equipos de protección personal	Zapatos de seguridad, cascos, chaleco, guante, poncho impermeabl es, etc.	06 unidades mínimo	 6
AutoCAD Civil 3D	Autodesk Civil 3D 2020.2 x64.		
Microsoft Excel	Microsoft Office Excel 2016.		

Para la presente investigación se encontró y determino los siguientes daños:

- I. **Baches (B=3):** Son generadas por las aguas estancadas en la plataforma de caminos vecinales debido a la pendiente baja generalmente menores a 3.00%, produciendo huecos con posterior perdida de material en su área lateral y



superficial avanzando gradualmente hasta llegar al fondo de la capa del afirmado existente, otro factor que favorece su desarrollo es el tráfico de circulación constante; generalmente estorban a los vehículos cuando su tamaño alcanzan el orden de 0.20 m.

a) **Causas:** Estas fallas provienen de las siguientes:

Pendiente baja, inexistencia de bombeo, inadecuado proceso constructivo, drenaje inadecuado e inefficiente de la superficie de la carretera y estación de invierno con precipitación constante y diseño geométrico inadecuado.

b) **Niveles de Gravedad:** Otro punto que se tomó en cuenta es el nivel de gravedad del bache, el mismo que depende de la densidad y que consta de tres niveles como sigue:

- Nivel de gravedad equivalente a 1 (N.G=1): Cuando puede repararse con conservación rutinaria.
- Nivel de gravedad equivalente a 2 (N.G=2): Cuando se necesita una capa de material adicional.
- Nivel de gravedad equivalente a 3 (N.G=3): Cuando se necesita una reconstrucción.

c) **Procedimiento de toma de datos in situ.**

i. Identificación de los huecos en tramos del camino vecinal.





Figura 7. Identificacion de bache en region selva.



Figura 8. Identificacion de bache en region sierra

ii. Medición del ancho, densidad y nivel de gravedad de los baches



Figura 9. Medición de bache en región selva.



Figura 10. Medición de bache en región sierra.

II. Erosión (E=2): Se produce debido a surcos erosivos debidos a los escurrimientos de agua aproximadamente paralelos al eje de la carretera. Este daño es visualizado en caminos vecinales con pendientes altas generalmente mayores a 6.00 %, produciendo desgaste de material de afirmado en su área lateral y superficial de manera acelerada hasta llegar al fondo de la capa del afirmado existente, otro factor que favorece su desarrollo es la precipitación



constante en la zona.

d) Causas: Estas fallas provienen de las siguientes:

Pendiente alta, topografía accidentada, inadecuado proceso constructivo, drenaje inadecuado e ineficiente de la superficie de la carretera, estación de invierno con precipitación constante y diseño geométrico inadecuado.

e) Niveles de Gravedad: Su nivel de gravedad resulta de la intensidad de los escurreimientos:

- Nivel de gravedad equivalente a 1 (N.G=1): Cuando es sensible al usuario con profundidad menor a 5cm.
- Nivel de gravedad equivalente a 2 (N.G=2): Cuando la profundidad oscila entre 5 cm y 10 cm.
- Nivel de gravedad equivalente a 3 (N.G=3): Cuando la profundidad es mayor a 10 cm.

f) Procedimiento de toma de datos in situ.

- i. Identificación de los surcos en tramos del camino vecinal.





Figura 11. Identificación de erosión.



Figura 12. Identificación de erosión.

ii. | Medición del ancho, largo y nivel de gravedad de los baches



Figura 13. Medición de erosión.



Figura 14. Medición de erosión.

III. Deformación (D=1): Se produce debido al ahuellamiento o hundimiento de la capa de grava y/o subrasante en las huellas del tráfico. Este daño es visualizado en caminos vecinales con pendientes promedios que fluctúan entre 3.00 % y 6.00%, produciendo desgaste superficial en las huellas del tráfico de manera gradual hasta llegar al fondo de la capa del afirmado existente, otro factor que favorece su desarrollo es la precipitación constante en la zona y alta concentración de tráfico.



a) Causas: Estas fallas provienen de las siguientes:

Insuficiente estructura acentuada por un volumen de tráfico excesivo, Geometría inadecuada de la carretera con presencia de curvas agudas, inadecuado proceso constructivo, drenaje inadecuado e ineficiente de la superficie de la carretera y estación de invierno con precipitación constante.

b) Niveles de Gravedad: Su nivel de gravedad resulta de la extensión de los hundimientos:

- Nivel de gravedad equivalente a 1 (N.G=1): Cuando el hundimiento es sensible al usuario con profundidad menor a 5cm.
- Nivel de gravedad equivalente a 2 (N.G=2): Cuando la profundidad del hundimiento oscila entre 5 cm y 10 cm.
- Nivel de gravedad equivalente a 3 (N.G=3): Cuando la profundidad del hundimiento es mayor a 10 cm.

c) Procedimiento de toma de datos in situ.

- i. Identificación de los hundimientos en tramos del camino vecinal.





Figura 11. Identificacion de deformación.



Figura 16. Identificacion de deformación.

- i. | Medición del ancho, largo y nivel de gravedad de los hundimientos.



Figura 17. Medición de deformación.



Figura 18. Medición de deformación.

2.4.2.Digitalización del diseño geométrico.

Para la digitalización del diseño geométrico de los caminos vecinales en mención líneas predecesoras primero se procedió desarrollar el estudio topográfico in situ y toma de datos de campo de la siguiente manera:

De la muestra seleccionada tomaremos el Ítem N° 1 correspondiente al camino vecinal tramo: Tunya -Pampa Esperanza -Gorgor – Goshay de longitud 5+000 kilómetros para explicar el estudio topográfico que se desarrolló para su posterior digitalización.

Tabla 6

Digitalización del Camino Vecinal Tramo: Tunya -Pampa Esperanza -Gorgor – Goshay de Longitud 5+000 Kilómetros.



ÍTEM	REGIÓN	PROVINCIA	DISTRITO	JERARQUIA	TIPO DE SUPERFICIE	RUTA	TRAMO	PROG. (Km.)
1	Huánuco	Dos de Mayo	Pachas	Camino Vecinal	Afirmado	HU-742	Tunya - Pampa Esperanza - Gorgor - Goshay.	00+000 al 05+000

Se ejecutó todas las tareas de campaña y gabinete, conducentes a representar en un plano topográfico una parte de la superficie terrestre. Para ello se combinó adecuadamente los procedimientos a emplear para determinar la posición planialtimétrica de los puntos del terreno y, mediante la utilización de instrumentos y métodos apropiados para satisfacer las exigencias métricas impuestas por la escala, la que a su vez dependerá de la finalidad técnica del documento a elaborar.



Figura 19. Punto de inicio del camino vecinal (Caserío de Tunya).



Figura 20. Hito de Concreto de Medidas 40 X 40 Cm y 50 Cm de altura, Sobresalido 15 Cm. Del nivel del suelo, con Placa de Bronce de Diam. 70 mm Ubicada en la Parte Superior de la Carretera Central Huánuco la Unión, al Frente de la Progresiva 0+000 Km.



EQUIPOS TOPOGRÁFICOS, PRECISIÓN DEL TRABAJO Y CUADRILLAS UTILIZADAS.

1. 01 Topógrafo Operador de 01 Estación TOTAL.
2. 01 Libretista de Campo.
3. 04 Porta Prismas.
4. 01 Chofer
5. 01 Camioneta Hilux 4x4
6. 03 Trípode metálico para Estación
7. 01 Estación TOTAL LEICA FlexLine TS06-5”.
8. 04 Bastones
9. 04 Porta prismas
10. 04 Prismas
11. 04 Radios WalkieTakie Motorola
12. 01 GPS TOPCON GR5 DIFERENCIAL RTK Y ESTATICO.
13. 01 Cámara Fotográfica Digital
14. 01 Laptop
15. 02 Linternas, Pilas recargables, extensiones eléctrica
16. 01 Topógrafo Operador del GPS DIFERENCIAL.
17. 01 Topógrafo de Nivelación
18. 04 Auxiliares de Topografía.

Una vez identificadas los puntos o vértices para la Poligonal se procedió a Monumentar los Hitos de Control, en una cantidad de 04 puntos.

Tabla 7

Puntos de control Geo Referencial (Detalles). Fuente: Elaboración propia (Equipo Técnico)



Nº	NOMBRE	COORDENADAS			ZONA	DESCRIPCION
		NORTE	ESTE	COTA		
1.-	HCO3 (HUANUCO)	8901782.024	364560.726	1900.953	18 South	Estación GNSS de Rastreo Permanente, Ubicado en la Dirección Regional de Agricultura del Gobierno Regional de Huánuco; Código Nacional HCO3; Inscripción Placa de Bronce; Orden la Estación 0; Actualización de Datos Realizado el 16 de Mayo del 2018
2.-	PCG- 01(HCO03006)	8920961.802	303,497.185	3,121.461	18 South	Hito de Concreto de Medidas 40 X 40 Cm y 50 Cm de altura, Sobresalido 15 Cm. Del nivel del suelo, con Placa de Bronce de Diam. 70 mm Ubicada en la Parte Superior de la Carretera Central Huánuco la Unión, al Frente de la Progresiva 0+000 Km.
3.-	PCG-02	8921938.450	304,657.967	3,185.294	18 South	Hito de Concreto de Medidas 30 X 30 Cm y 40 Cm de altura, Sobresalido 15 Cm. Del nivel del suelo, Incrustado con Acero de Diam. 1/2", Sobresalido 5 Cm. Del Nivel del Hito, Ubicado al Frente de la Prog: 1+500 Km. Cruzando el Rio Vizcarra en la Parte Superior
4.-	PCG-03	8924689.017	306,183.035	3086.233	18 South	Hito de Concreto de Medidas 30 X 30 Cm y 40 Cm de altura, Sobresalido 15 Cm. Del nivel del suelo, Incrustado con Acero de Diam. 1/2", Sobresalido 5 Cm. Del Nivel del Hito, Ubicado en la Parte Lateral Derecha de la Carretera en Estudio en la Prog: 5+500 Km.
5.-	PCG-04	8924962.786	306,280.788	3,059.952	18 South	Hito de Concreto de Medidas 30 X 30 Cm y 40 Cm de altura, Sobresalido 15 Cm. Del nivel del suelo, Incrustado con Acero de Diam. 1/2", Sobresalido 5 Cm. Del Nivel del Hito, Ubicado en la Final del trazo de la carretera en la Prog: 6+005 Km.



Figura 21. Pintado de hito para puntos de control georreferenciado.



Figura 22. Placa de bronce de 07 cm de diámetro en el puntos de control georreferenciado.





Figura 23. Punto PCG 04 se encuentra ubicado al margen derecho de la vía Tunya – Goshay (donde termina el tramo de la carretera.), sobre hito de concreto con placa de bronce de 07 cm de diámetro.



Figura 24. Punto PCG 03 se encuentra ubicado al margen izquierdo de la vía Tunya – Goshay (donde termina el tramo de la carretera.), sobre hito de concreto con placa de bronce de 07 cm de diámetro.

Estos puntos se encuentran ubicados estratégicamente fuera del área de trabajo, para no ser dañado por el personal ni la maquinaria durante la posterior ejecución.

Para el levantamiento de los 5.00 Km del camino vecinal, se establecido 01 circuito de una Poligonal de apoyo enlazada al sistema de coordenadas UTM Datum WGS84, mediante un enlace directo a los puntos de control georeferencial indicados, conformando un sistema de poligonal abierta.

A continuación se presenta las coordenadas topográficas de los PUNTOS DE CONTROL GEOREFERENCIADO (PCG).

Tabla 8

Puntos de Control Georeferencial (Coordenadas). Fuente: Elaboración propia (Equipo técnico).

No.	Nombre	Norte	Este	Elevación Geoidal	Zona	Latitud	Longitud	Elevación Elipsoidal
1.-	HUANUCO	8901782.024	364560.726	1900.953	18 South	9° 55' 57.54057" S	76° 14' 07.67835" O	1,927.892
2.-	PCG-01(HCO03006)	8920961.802	303,497.185	3,121.461	18 South	9° 45' 24.28009" S	76° 47' 28.99989" O	3,149.017



3.-	PCG-02	8921938.450	304,657.967	3,185.294	18 South	9° 44' 52.69460" S	76° 46' 50.74833" O	3,212.879
4.-	PCG-03	8924689.017	306,183.035	3086.233	18 South	9° 43' 23.43655" S	76° 46' 00.24434" O	3,113.881
5.-	PCG-04	8924962.786	306,280.788	3,059.952	18 South	9° 43' 14.54318" S	76° 45' 56.99080" O	3,087.607

Tabla 9

Puntos de Control Geo Referencial (Coordenadas Detalladas). Fuente: Elaboración Propia (Equipo Técnico).

Vértice	Ángulo Horizontal			Azimut			Lado	Distancia	Norte	Este	Altitud	Vértice
	G	M	S	G	M	S						
PCG-01(HCO03006)				25.	01(HCO03006)							PCG-01(HCO03006)
PCG-02	164	18	46.3	34	14	69	PCG-02	.989	8921938.450	304,657.967	3,185.294	PCG-02
BM01-PCG	205	6	26.8	59	20	45	PCG-02 - BM01-PCG	.474				BM01-PCG
BM02-PCG	98	5	35.7	337	26	2	- BM02-PCG	.225				BM02-PCG
PCG-03	222	12	45.1	19	38	3	- PCG-03	.458	8924689.017	306,183.035	3086.233	PCG-03
PCG-04							PCG-03 - PCG-04	.290.698	8924962.786	306,280.788	3059.951	PCG-04



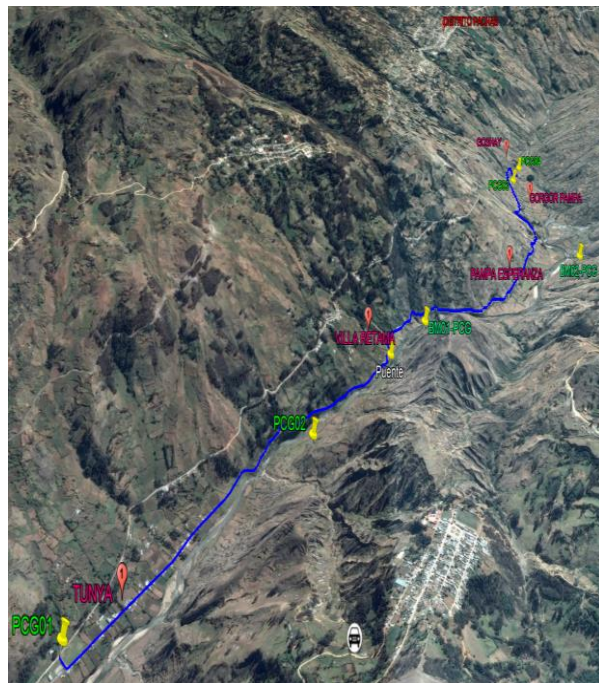


Figura 25. Poligonal de base en aplicacion Google Earth.

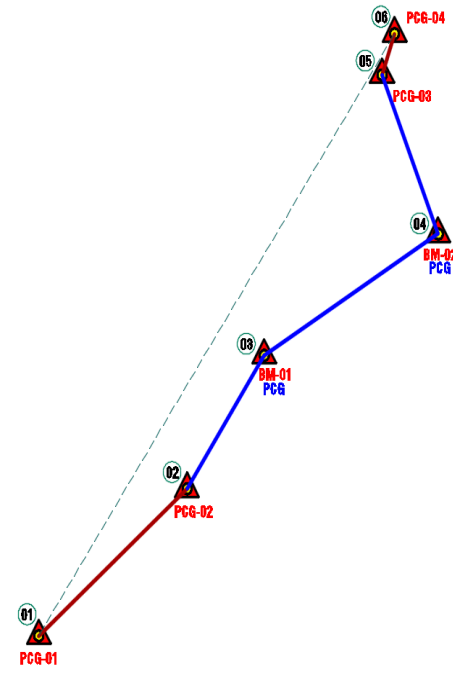


Figura 26. Poligonal base en software Autodesk Civil 3D 2020.2 x64

Los puntos de los Been March (BM) fueron ubicados en lugares estratégicos, materializándose en zonas concretadas de la calzada o acera mediante varillas de fierro corrugado de Diámetro 1/2" ubicados en lugares libres de interferencias

Se realizó los ajustes necesarios a la poligonal base, teniendo como parámetro un error relativo de 1/10,000 según Términos de Referencia de Provías Descentralizado.

En total se ubicaron en el camino vecinal tramo: Tunya – Pampa Esperanza - Gorgor – Goshay, seis (06) puntos que conforman los vértices de la poligonal a lo largo del alineamiento de los 5.00 Km materia del presente estudio para el posterior levantamiento topográfico, a partir de esto se ubicaron los Puntos de Been March (BM) a cada 500 mt.



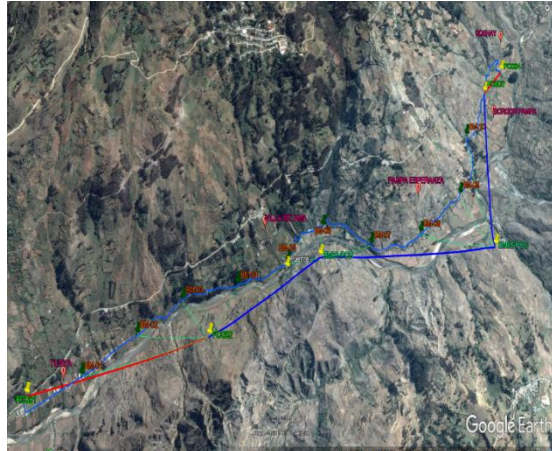


Figura 27. Datos de campo de los been march (bm) alternos en aplicacion Google Earth.

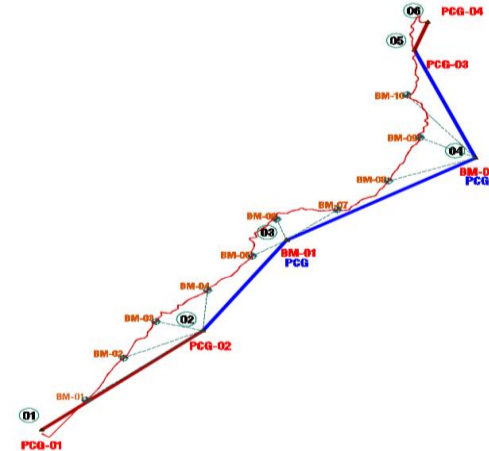


Figura 28. Datos de campo de los been march (bm) alternos en software Autodesk Civil 3D 2020.2 x64

Para el levantamiento de la Franja de la Carretera, se ubicaron puntos de estacionamiento de instrumento puntos de control (BMs) y puntos de referencia, una vez ubicados estos puntos se realizó la lectura de los diferentes puntos tomando un aproximado entre 7 a 8 puntos por sección en cada 10 m, se tomaron énfasis de manera integral para un estudio adecuado y de calidad proyectando alcantarillas, badenes, pontones, muros de contención, zonas deslizables, taludes pronunciadas, zonas donde posiblemente se modifican el trazo de realizar una toma de puntos adecuados, también en las zonas urbanizadas se tomaran cajas de luz, postes y otras estructuras existentes) y tener cotas de referencia para los trabajos a realizarse.

TESIS: "ESTUDIO DE PENDIENTE GEOMÉTRICA VERTICAL EN DAÑOS DE CAMINOS VECINALES AFIRMADOS A NIVEL DE PLATAFORMA, REGIÓN HUÁNUCO-2019"

Diario de Observación GPS

Estación:	Nombre Completo: PUNTO GEODESICO 1			Identificación:	PCG-01
Inscripción en el monumento:	PCG-01			(4 letras):	
				Fecha:	10 de Marzo del 2020
Coordenadas Aproximadas:					
Latitud:	09 45 24 *	Longitud:	76 47 28 *	Altura:	3148 m
Receptor / Antena	Tipo	Modelo	Nro. Serie		
Receptor:	TOPCON GR	5	111820617		
Antena:	TOPCON GR	5	111820617		
Software del Receptor (Versión):					
Longitud del Cable Antena-Receptor: m					
Altura de la Antena sobre el monumento:					
Punto de referencia:	ALA MUESCA				
<input type="checkbox"/> Vertical	<input checked="" type="checkbox"/> Inclinada				
Antes de las Observaciones:	1.616 m				
Después de las Observaciones:	1.616 m				
Datos del Receptor:	m				
Observación:					
Nro. de la sesión del mismo día:	05				
Intervalo de Medición:	seg.				
Elevación Mínima:	10				
Hora de Inicio:	3:02 PM				
Hora de Término:	07:00 PM				
Operador / Institución:	NEHEMIAS FIDEL VILLAR				

Croquis de las medidas de la Antena (ejemplo)

Figura 29. Diario de observación del GPS diferencial.

Medio = -0.002 m Desv. Est. = 0.014 m Mín. = -0.075 m Máx. = 0.040 m

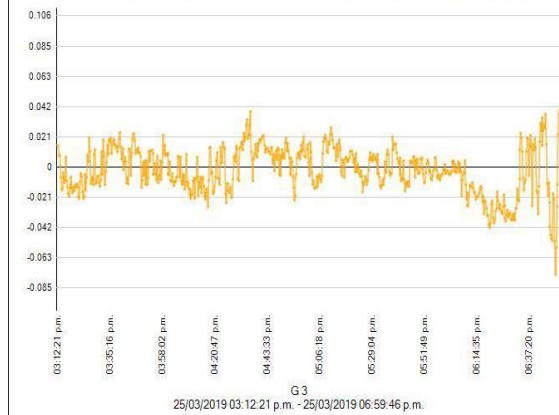


Figura 30. Georeferenciación por métodos globales de posicionamiento por satélites.

2.4.3. Especificaciones del Manual de Carreteras Diseño Geométrico DG-2018, el cual indica los siguientes:

El diseño geométrico en perfil o alineamiento vertical, está constituido por una serie de rectas enlazadas por curvas verticales parabólicas, a los cuales dichas rectas son tangentes; en cuyo desarrollo, el sentido de las pendientes se define según el avance del kilometraje, en positivas, aquellas que implican un aumento de cotas y negativas las que producen una disminución de cotas.

El alineamiento vertical deberá permitir la operación ininterrumpida de los vehículos, tratando de conservar la misma velocidad de diseño en la mayor longitud de carretera que sea posible.

En general, el relieve del terreno es el elemento de control del radio de las curvas verticales que pueden ser cóncavas o convexas, y el de la velocidad de diseño y a su vez, controla la distancia de visibilidad.



Las curvas verticales entre dos pendientes sucesivas permiten lograr una transición paulatina entre pendientes de distinta magnitud y/o sentido, eliminando el quiebre de la rasante. El adecuado diseño de ellas asegura las distancias de visibilidad requeridas por el proyecto.

El sistema de cotas del proyecto, estarán referidos y se enlazarán con los B.M. de nivelación del Instituto Geográfico Nacional.

El perfil longitudinal está controlado principalmente por la Topografía, Alineamiento, horizontal, Distancias de visibilidad, Velocidad de proyecto, Seguridad, Costos de Construcción, Categoría de la vía, Valores Estéticos y Drenaje.

Consideraciones de diseño

- ✓ En terreno plano, por razones de drenaje, la rasante estará sobre el nivel del terreno.
- ✓ En terreno ondulado, por razones de economía, en lo posible la rasante seguirá las inflexiones del terreno.
- ✓ En terreno accidentado, en lo posible la rasante deberá adaptarse al terreno, evitando los tramos en contrapendiente, para evitar alargamientos innecesarios.
- ✓ En terreno escarpado el perfil estará condicionado por la divisoria de aguas.



- ✓ Es deseable lograr una rasante compuesta por pendientes moderadas, que presenten variaciones graduales de los lineamientos, compatibles con la categoría de la carretera y la topografía del terreno.
- ✓ Los valores especificados para pendiente máxima y longitud crítica, podrán estar presentes en el trazado si resultan indispensables. Sin embargo, la forma y oportunidad de su aplicación serán las que determinen la calidad y apariencia de la carretera terminada.
- ✓ Deberán evitarse las rasantes de “lomo quebrado” (dos curvas verticales de mismo sentido, unidas por una alineación corta). Si las curvas son convexas se generan largos sectores con visibilidad restringida, y si ellas son cóncavas, la visibilidad de conjunto resulta antiestética y se crean falsas apreciaciones de distancia y curvatura.
- ✓ En pendientes que superan la longitud crítica, establecida como deseable para la categoría de carretera en proyecto, se deberá analizar la factibilidad de incluir carriles para tránsito lento.
- ✓ En pendientes de bajada, largas y pronunciadas, es conveniente disponer, cuando sea posible, carriles de emergencia que permitan maniobras de frenado.

Pendiente

Pendiente mínima



Es conveniente proveer una pendiente mínima del orden de 0.5%, a fin de asegurar en todo punto de la calzada un drenaje de las aguas superficiales. Se pueden presentar los siguientes casos particulares:

- ✓ Si la calzada posee un bombeo de 2% y no existen bermas y/o cunetas, se podrá adoptar excepcionalmente sectores con pendientes de hasta 0.2%.
- ✓ Si el bombeo es de 2.5% excepcionalmente podrá adoptarse pendientes iguales a cero.
- ✓ Si existen bermas, la pendiente mínima deseable será de 0.5% y la mínima excepcional de 0.35%.
- ✓ En zonas de transición de peralte, en que la pendiente transversal se anula, la pendiente mínima deberá ser de 0.5%.

Pendiente máxima

Es conveniente considerar las pendientes máximas que están indicadas en la Tabla 303.01, no obstante, se pueden presentar los siguientes casos particulares:

- ✓ En zonas de altitud superior a los 3.000 msnm, los valores máximos de la Tabla 303.01, se reducirán en 1% para terrenos accidentados o escarpados.
- ✓ En autopistas, las pendientes de bajada podrán superar hasta en un 2% los máximos establecidos en la Tabla 303.01.



Tabla 303.01
Pendientes máximas (%)

Demanda	Autopistas				Carretera				Carretera			
	> 6.000		6.000 - 4001		4.000-2.001		2.000-400		< 400			
Características	Primera clase				Segunda clase				Primera clase		Segunda clase	
	1	2	3	4	1	2	3	4	1	2	3	4
Velocidad de diseño: 30 km/h												10.00
40 km/h											9.00	8.00
50 km/h									7.00	7.00	8.00	9.00
60 km/h					6.00	6.00	7.00	7.00	6.00	6.00	7.00	8.00
70 km/h					5.00	5.00	6.00	6.00	6.00	6.00	7.00	7.00
80 km/h	5.00	5.00	5.00	5.00	5.00	6.00	6.00	6.00	6.00	6.00	7.00	7.00
90 km/h	4.50	4.50	5.00		5.00	5.00	6.00		5.00	5.00	6.00	
100 km/h	4.50	4.50	4.50		5.00	5.00	6.00		5.00		6.00	
110 km/h	4.00	4.00			4.00							
120 km/h	4.00	4.00			4.00							
130 km/h	3.50											

Notas:

- 1) En caso que se desee pasar de carreteras de Primera o Segunda Clase, a una autopista, las características de éstas se deberán adecuar al orden superior inmediato.
- 2) De presentarse casos no contemplados en la presente tabla, su utilización previo sustento técnico, será autorizada por el órgano competente del MTC.

Figura 31. Tabla de pendientes máximas. Fuente DG-2018.

Pendientes máximas excepcionales

Excepcionalmente, el valor de la pendiente máxima podrá incrementarse hasta en 1%, para todos los casos. Deberá justificarse técnica y económicoamente la necesidad de dicho incremento.

Para carreteras de Tercera Clase deberán tenerse en cuenta además las siguientes consideraciones:



- ✓ En el caso de ascenso continuo y cuando la pendiente sea mayor del 5%, se proyectará, más o menos cada tres kilómetros, un tramo de descanso de una longitud no menor de 500 m con pendiente no mayor de 2%. La frecuencia y la ubicación de dichos tramos de descanso, contará con la correspondiente evaluación técnica y económica.
- ✓ En general, cuando se empleen pendientes mayores a 10%, los tramos con tales pendientes no excederán de 180 m.
- ✓ La máxima pendiente promedio en tramos de longitud mayor a 2,000 m, no debe superar el 6%.
- ✓ En curvas con radios menores a 50 m de longitud debe evitarse pendientes mayores a 8%, para evitar que las pendientes del lado interior de la curva se incrementen significativamente.

2.4.4.Digitalización del Diseño Geométrico

Primeramente se empleó el software Autodesk AutoCAD Civil 3D 2020 x64.



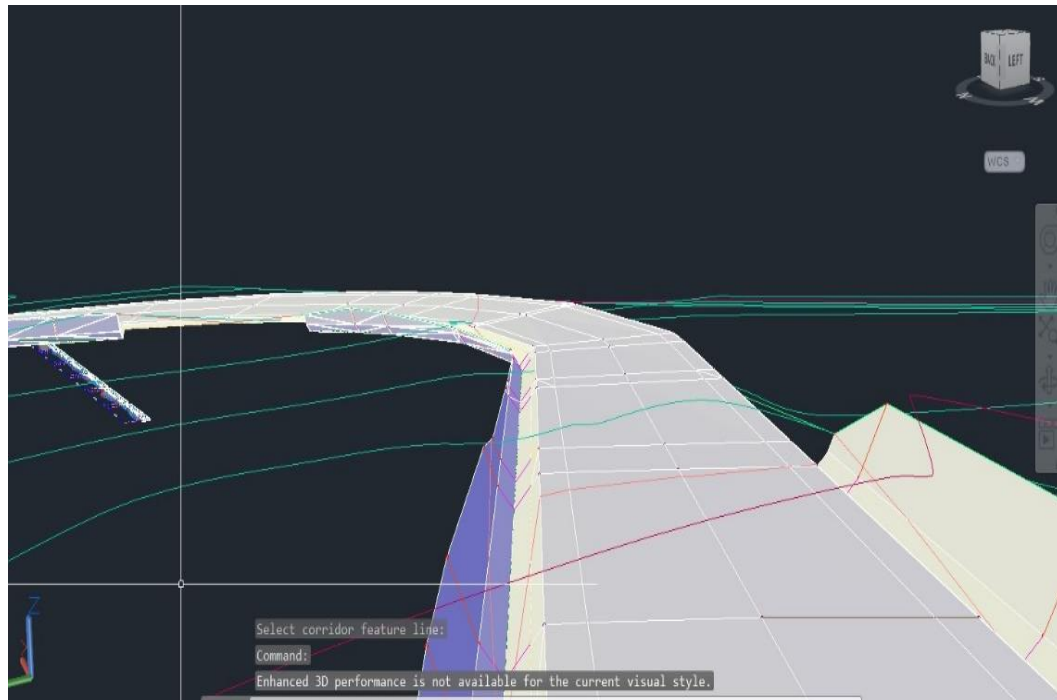


Figura 32. Digitalización del diseño geometrico del camino vecinal tramo: Tunya -Pampa Esperanza - Gorgor – Goshay de longitud 5+000 kilómetros en software Autodesk Civil 3D 2020.2 x64.

De la muestra seleccionada tomaremos el Ítem N° 1 correspondiente al camino vecinal tramo: Tunya -Pampa Esperanza - Gorgor – Goshay de longitud 5+000 kilómetros para explicar la digitalización de los planos en el software Autodesk AutoCAD Civil 3D 2020 x64.

Paso N° 01: Se importó y digitalizo todas las coordenadas UTM a la ventana software Autodesk AutoCAD Civil 3D 2020 x64.



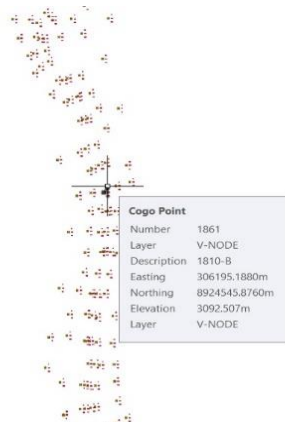


Figura 33. Importacion de coordenadas UTM en software Autodesk AutoCAD Civil 3D 2020 x64.

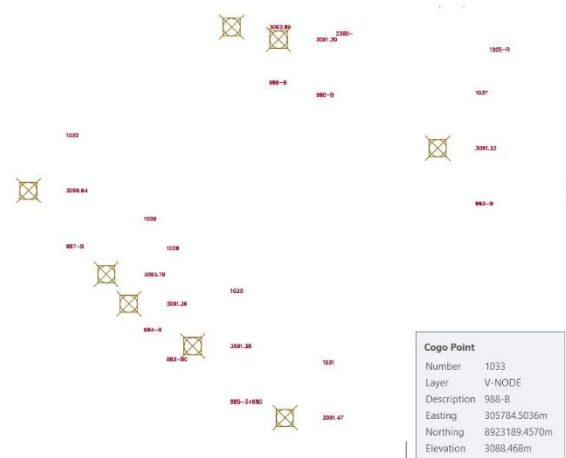


Figura 34. Importacion de coordenadas UTM en software Autodesk AutoCAD Civil 3D 2020 x64

Paso N° 02: Se generó y digitalizó la superficie de nivel debidamente etiquetadas y detalladas.

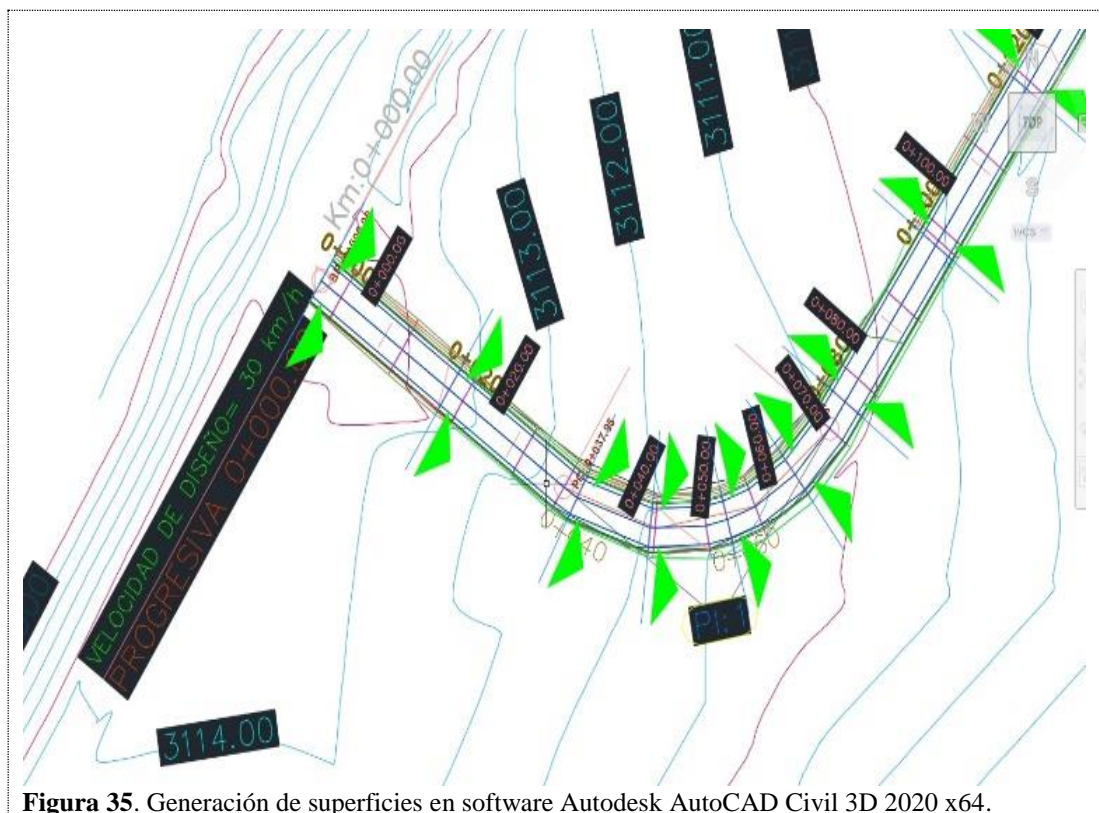


Figura 35. Generación de superficies en software Autodesk AutoCAD Civil 3D 2020 x64.

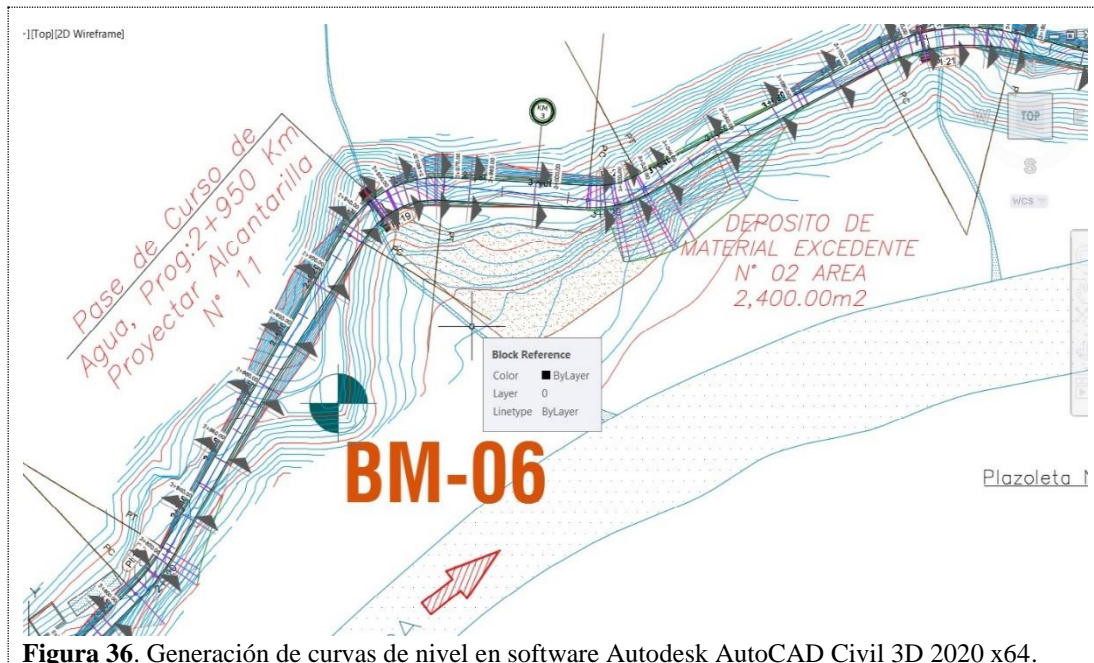
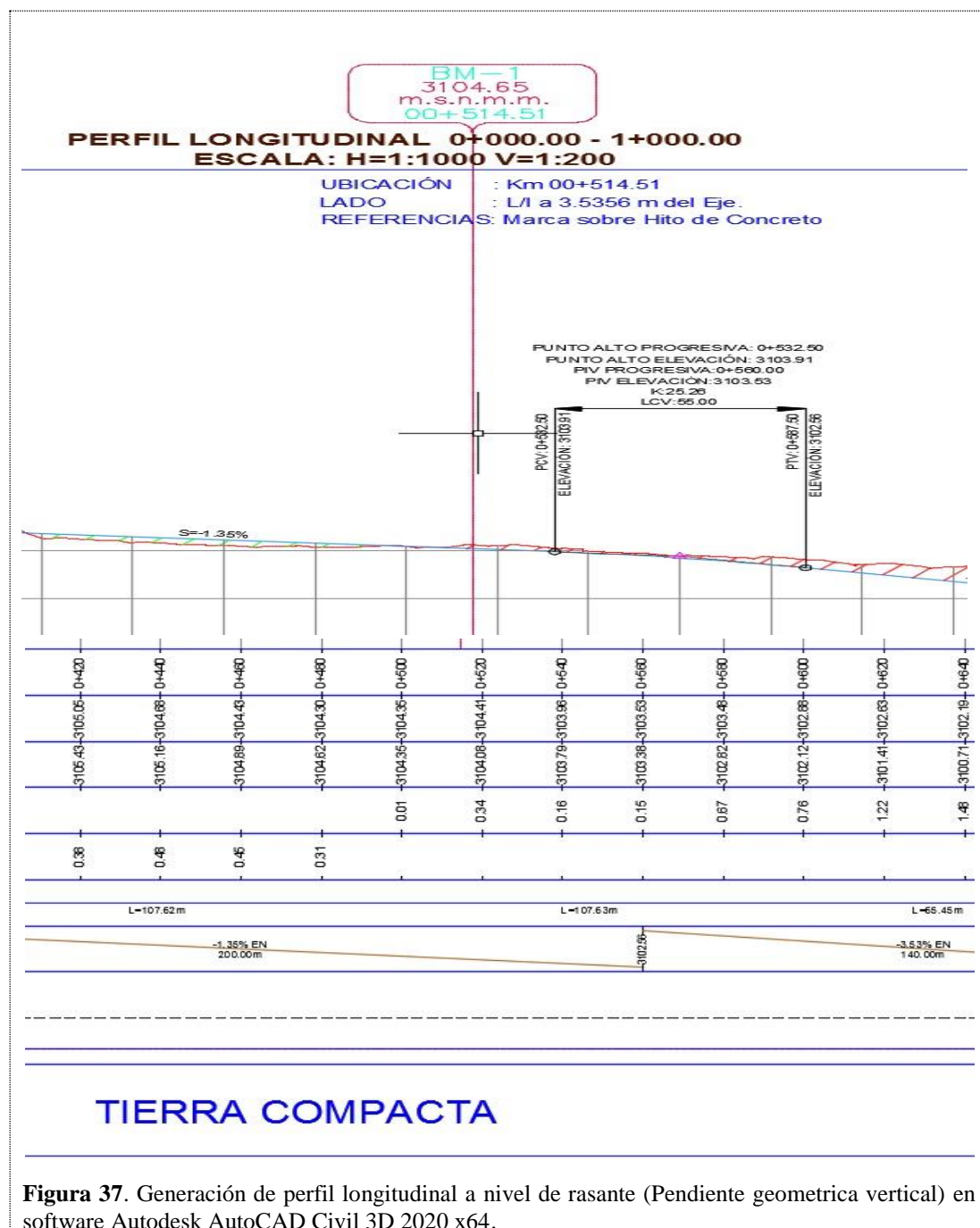


Figura 36. Generación de curvas de nivel en software Autodesk AutoCAD Civil 3D 2020 x64.

Paso N° 03: Se generó y digitalizo el perfil longitudinal debidamente implementado con el trazo de rasante y detalladas de su correspondiente banda.





2.4.5.Tratamiento de datos de pendiente geométrica vertical en daños de quince caminos vecinales, determinados en la sección 1.9, respecto a población y muestra.

A continuación incorporaremos la pendiente y daños por progresivas en la muestra seleccionada del presente estudio siguiendo el procesamiento y procedimiento de datos.

Se registran los daños in situ y pendiente geométrica vertical real existente ambas en fichas Excel.

Aclaramos que inicialmente los daños se registraron en fichas de Microsoft Excel y la pendiente geométrica vertical se obtuvo del Software AutoCAD Civil 3D 2020.

Tratamiento de la muestra N° 01:

Tabla 10
Registro de Daños y Pendiente Geométrica Vertical del Tramo: Tunya -Pampa Esperanza -Gorgor - Goshay

ÍTEM	REGIÓN	PROVINCIA	DISTRITO	JERARQUIA	TIPO DE SUPERFICIE	RUTA	TRAMO	PROG. (Km.)	
1	Huánuco	Dos de Mayo	Pachas	Camino Vecinal	Afirmado	HU-742	Tunya - Pampa Esperanza - Gorgor - Goshay.	00+000 al 05+000	
		Progresiva	Longitud (m)	Pendiente (%)	Tipo de Daño	Código del tipo de daño	Nivel de Gravedad	Clase de Deterioro	Ancho del Deterioro (m)
		Del Km	Al Km						
		0+000.00	0+064.82	64.82	-11.33	EROSION	2	3	0.7

					DEFORMA			
0+064.82	0+155.02	90.20	-6.44	CION	1	1		1.1
0+155.02	0+427.13	272.11	-0.08	BACHES	3	3	215	
0+427.13	0+480.00	52.87	-14.50	EROSION	2	3		0.9
0+480.00	0+500.00	20.00	-2.20	BACHES	3	1	15	
0+500.00	0+592.33	92.33	-2.20	BACHES	3	1	68	
0+592.33	0+664.30	71.97	2.24	BACHES	3	1	47	
				DEFORMA				
0+664.30	0+767.01	102.71	4.13	CION	1	2		1.5
0+767.01	0+788.56	21.55	17.91	EROSION	2	3		1.5
0+788.56	0+929.12	140.56	0.00	BACHES	3	3	120	
0+929.12	1+000.00	70.88	-0.96	BACHES	3	3	39	
1+000.00	1+006.35	6.35	-0.96	BACHES	3	3	5	
1+006.35	1+126.69	120.34	0.76	BACHES	3	3	117	
1+126.69	1+347.61	220.92	0.26	BACHES	3	3	214	
				DEFORMA				
1+347.61	1+400.00	52.39	4.45	CION	1	2		1.5
1+400.00	1+450.12	50.12	11.00	EROSION	2	3		1.5
1+450.12	1+487.91	37.79	-11.80	EROSION	2	3		1.2
1+487.91	1+500.00	12.09	9.89	EROSION	2	3		1.2
1+500.00	1+522.77	22.77	9.89	EROSION	2	3		1.2
				DEFORMA				
1+522.77	1+548.90	26.13	4.29	CION	1	2		1.2
1+548.90	1+577.01	28.11	34.54	EROSION	2	3		1.3
1+577.01	1+646.88	69.87	-25.27	EROSION	2	3		1.5
1+646.88	1+693.48	46.60	0.00	BACHES	3	3	31	
1+693.48	1+719.99	26.51	-8.28	EROSION	2	3		1.5
1+719.99	1+738.64	18.65	11.77	EROSION	2	3		1.4
1+738.64	1+758.02	19.38	38.31	EROSION	2	3		1.5
1+758.02	1+780.51	22.49	-33.87	EROSION	2	3		1.5
1+780.51	1+805.17	24.66	-6.11	EROSION	2	1		1.5
1+805.17	1+845.96	40.79	7.65	EROSION	2	2		1.5
1+845.96	1+992.49	146.53	-6.39	EROSION	2	1		1.5
1+992.49	2+000.00	7.51	8.22	EROSION	2	3		1.5
2+000.00	2+055.10	55.10	8.22	EROSION	2	3		1.5
2+055.10	2+107.33	52.23	-9.97	EROSION	2	3		1.5
2+107.33	2+150.94	43.61	6.91	EROSION	2	1		1.5
2+150.94	2+262.30	111.36	-12.30	EROSION	2	3		1.5
2+262.30	2+321.32	59.02	10.54	EROSION	2	3		1.5
2+321.32	2+356.53	35.21	-1.15	BACHES	3	2	29	
				DEFORMA				
2+356.53	2+472.31	115.78	-5.03	CION	1	1		1.5
2+472.31	2+500.00	27.69	11.22	EROSION	2	3		1.5
2+500.00	2+559.77	59.77	11.22	EROSION	2	3		1.5



2+559.77	2+635.19	75.42	-9.91	EROSION	2	3	1.5
2+635.19	2+698.25	63.06	12.06	EROSION	2	3	0.6
2+698.25	2+754.00	55.75	-20.13	EROSION	2	3	1.5
2+754.00	2+780.00	26.00	-0.14	BACHES	3	3	1.5
2+780.00	2+815.89	35.89	17.74	EROSION	2	3	1.5
2+815.89	2+880.00	64.11	-9.93	EROSION	2	3	1.5
2+880.00	3+000.00	120.00	0.00	BACHES	3	3	116
3+000.00	3+051.30	51.30	0.00	BACHES	3	3	45
3+051.30	3+091.25	39.95	25.66	EROSION	2	3	1.5
3+091.25	3+121.77	30.52	-24.26	EROSION	2	3	1
3+121.77	3+147.00	25.23	-11.34	EROSION	2	3	1.5
3+147.00	3+393.60	246.60	-0.18	BACHES	3	3	216
				DEFORMACION			
3+393.60	3+471.90	78.30	-4.51	DEFORMA CION	1	2	1.5
				DEFORMACION			
3+471.90	3+500.00	28.10	4.12	DEFORMA CION	1	2	1.5
				DEFORMACION			
3+500.00	3+528.63	28.63	4.12	DEFORMA CION	1	2	0.8
3+528.63	3+592.61	63.98	-11.00	EROSION	2	3	1.5
				DEFORMACION			
3+592.61	3+654.86	62.25	4.86	DEFORMA CION	1	2	1.5
3+654.86	3+766.02	111.16	12.81	EROSION	2	3	1.5
3+766.02	3+876.36	110.34	-9.78	EROSION	2	3	1.5
3+876.36	3+975.33	98.97	3.07	BACHES	3	1	1.5
3+975.33	4+000.00	24.67	-1.38	BACHES	3	2	21
4+000.00	4+130.33	130.33	-1.38	BACHES	3	2	121
4+130.33	4+282.70	152.37	0.05	BACHES	3	3	124
4+282.70	4+440.21	157.51	2.68	BACHES	3	1	136
4+440.21	4+484.63	44.42	-11.13	EROSION	2	3	0.5
4+484.63	4+500.00	15.37	1.10	BACHES	3	2	11
4+500.00	4+543.45	43.45	1.10	BACHES	3	2	39
4+543.45	4+585.32	41.87	23.18	EROSION	2	3	1.5
4+585.32	4+633.15	47.83	-18.24	EROSION	2	3	0.9
4+633.15	4+673.95	40.80	10.63	EROSION	2	3	1.5
4+673.95	4+722.74	48.79	-17.71	EROSION	2	3	1.5
4+722.74	4+772.79	50.05	28.67	EROSION	2	3	0.8
4+772.79	4+809.58	36.79	-25.34	EROSION	2	3	1.5
4+809.58	4+857.51	47.93	-3.03	BACHES	3	1	1.5
4+857.51	4+899.25	41.74	14.32	EROSION	2	3	1.5
4+899.25	4+964.11	64.86	-7.63	EROSION	2	2	1.5
4+964.11	5+000.00	35.89	16.73	EROSION	2	3	1.5





Figura 38. Medición de daño EROSIÓN, G=3. Progresiva: 0+064.82 km.

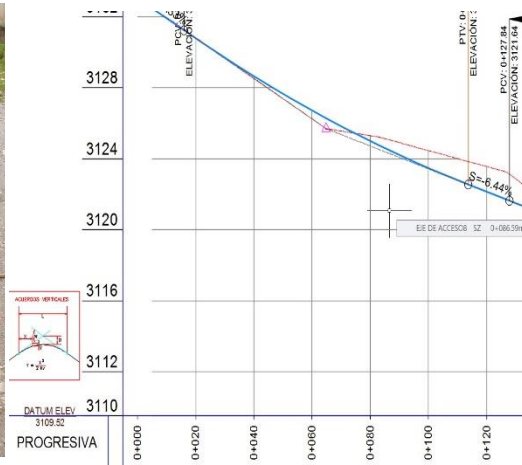


Figura 39. Digitalización de pendiente geométrica vertical -11.33%. Progresiva: 0+064.82 km.

Tratamiento de la muestra N° 02:

Tabla 11

Registro de Daños y Pendiente Geométrica Vertical del Tramo: Mariscal Castilla - Irma Chico.

ÍTEM	REGIÓN	PROVINCIA	DISTRITO	JERARQUIA	TIPO DE SUPERFICIE	RUTA	TRAMO	PROG. (Km.)
2	Huánuco	Dos de Mayo	Pachas	Camino Vecinal	Afirmado	R-100313 06	Mariscal Castilla - Irma Chico.	00+000 al 05+000
<hr/>								
		Progresiva		Longitud (m)	Pendiente (%)	Tipo de Daño	Código del tipo de daño	Nivel de Gravedad
		Del Km	Al Km					Número de Baches
								Ancho del Deterioro (m)



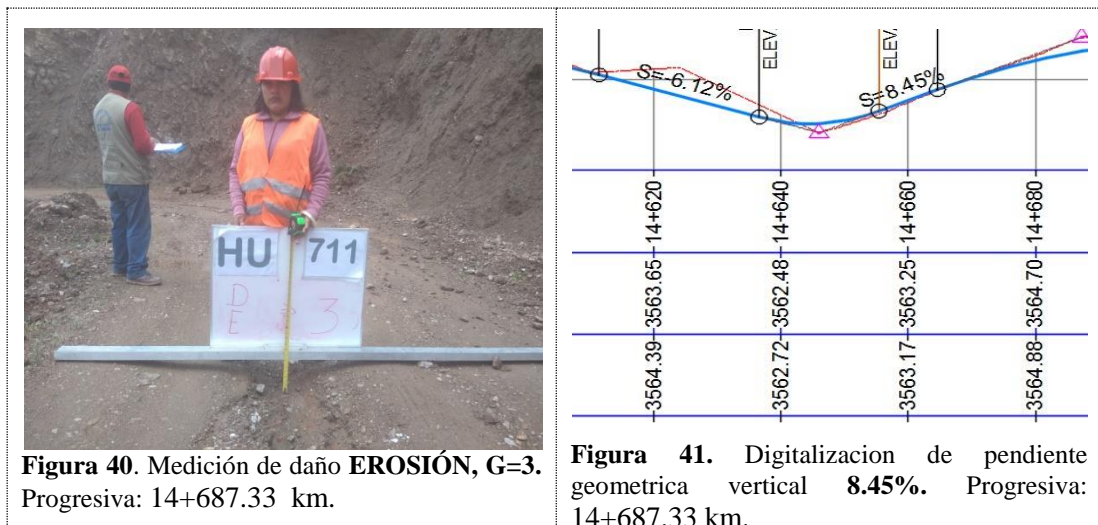
DEFORMA							
11+000.00	11+094.56	94.56	5.81	CION	1	1	1.1
11+094.56	11+167.18	72.62	2.18	BACHES	3	1	56
11+167.18	11+226.65	59.47	-22.44	EROSION	2	3	1.0
11+226.65	11+282.08	55.43	-2.64	BACHES	3	1	42
11+282.08	11+338.49	56.41	9.65	EROSION	2	3	0.9
11+338.49	11+397.13	58.64	0.74	BACHES	3	3	41
11+397.13	11+433.08	35.95	-20.08	EROSION	2	3	0.8
11+433.08	11+484.67	51.59	-19.97	EROSION	2	3	0.9
11+484.67	11+500.00	15.33	12.40	EROSION	2	3	2.0
11+500.00	11+556.35	56.35	12.40	EROSION	2	3	1.8
11+556.35	11+618.07	61.72	-15.19	EROSION	2	3	1.5
11+618.07	11+665.29	47.22	0.00	BACHES	3	3	41
11+665.29	11+767.80	102.51	-17.87	EROSION	2	3	1.6
11+767.80	11+867.54	99.74	21.93	EROSION	2	3	1.5
11+867.54	11+935.10	67.56	-22.51	EROSION	2	3	1.2
11+935.10	11+976.25	41.15	19.28	EROSION	2	3	1.5
11+976.25	12+000.00	23.75	-0.83	BACHES	3	3	17
12+000.00	12+027.38	27.38	-0.83	BACHES	3	3	21
12+027.38	12+093.38	66.00	-18.94	EROSION	2	2	1.2
12+093.38	12+232.25	138.87	-7.31	EROSION	2	3	1.5
12+232.25	12+309.64	77.39	-21.35	EROSION	2	3	1.1
12+309.64	12+388.75	79.11	-10.19	EROSION	2	3	1.5
12+388.75	12+452.13	63.38	11.16	EROSION	2	3	1.4
12+452.13	12+500.00	47.87	-24.38	EROSION	2	3	0.9
12+500.00	12+578.73	78.73	-24.38	EROSION	2	3	1.1
12+578.73	12+622.69	43.96	3.65	BACHES	3	1	1.1
12+622.69	12+660.14	37.45	23.80	EROSION	2	3	1.1
12+660.14	12+710.79	50.65	-22.94	EROSION	2	3	1.3
DEFORMA							
12+710.79	12+748.76	37.97	3.58	CION	1	3	1.1
12+748.76	12+817.45	68.69	-15.12	EROSION	2	3	0.9
12+817.45	12+856.94	39.49	24.36	EROSION	2	3	1.1
12+856.94	12+893.35	36.41	-28.99	EROSION	2	3	1.1
12+893.35	12+935.06	41.71	-44.29	EROSION	2	3	1.1
12+935.06	13+000.00	64.94	25.88	EROSION	2	3	1.1
13+000.00	13+013.51	13.51	25.88	EROSION	2	3	1.8
13+013.51	13+050.50	36.99	-28.78	EROSION	2	3	1.5
13+050.50	13+137.70	87.20	-11.06	EROSION	2	3	1.5
13+137.70	13+176.25	38.55	9.66	EROSION	2	3	1.7
13+176.25	13+292.61	116.36	0.78	BACHES	3	3	112
13+292.61	13+338.68	46.07	-35.34	EROSION	2	3	1.5
13+338.68	13+393.51	54.83	-8.12	EROSION	2	3	1.5



13+393.51	13+499.50	105.99	-19.96	EROSION DEFORMA CION DEFORMA CION	2	3	1.3
13+499.50	13+500.00	0.50	-3.80	EROSION BACHES EROSION	1	3	1.5
13+500.00	13+573.78	73.78	-3.80	BACHES	2	3	1.1
13+573.78	13+628.42	54.64	14.46	EROSION	3	1	0.7
13+628.42	13+768.87	140.45	-2.39	BACHES	2	3	135
13+768.87	13+839.73	70.86	-8.25	EROSION	3	3	0.6
13+839.73	14+000.00	160.27	-0.85	BACHES	3	3	145
14+000.00	14+059.52	59.52	-0.85	BACHES	3	3	51
14+059.52	14+177.10	117.58	-15.56	EROSION DEFORMA CION	2	3	0.6
14+177.10	14+271.61	94.51	-4.30	EROSION	2	3	0.9
14+271.61	14+302.69	31.08	-19.08	BACHES	3	3	1.5
14+302.69	14+350.12	47.43	0.00	EROSION	2	3	41
14+350.12	14+463.41	113.29	-16.98	EROSION	2	3	1.2
14+463.41	14+500.00	36.59	9.33	EROSION	2	3	1.1
14+500.00	14+520.01	20.01	9.33	EROSION	2	3	0.8
14+520.01	14+580.86	60.85	0.00	BACHES	3	3	49
14+580.86	14+646.00	65.14	-6.12	EROSION	2	1	0.7
14+646.00	14+687.33	41.33	8.45	EROSION	2	3	1.5
14+687.33	14+790.26	102.93	-0.65	BACHES	3	3	78
14+790.26	14+878.90	88.64	4.10	DEFORMA CION	1	2	0.9
14+878.90	14+936.76	57.86	15.07	EROSION	2	3	0.8
14+936.76	15+000.00	63.24	7.03	EROSION	2	2	1.5
15+000.00	15+011.98	11.98	7.03	EROSION	2	2	1.5
15+011.98	15+053.37	41.39	-1.59	BACHES	3	2	36
15+053.37	15+129.32	75.95	27.47	EROSION	2	3	1.8
15+129.32	15+238.90	109.58	3.86	DEFORMA CION	1	3	1.5
15+238.90	15+360.38	121.48	-2.99	BACHES	3	1	114
15+360.38	15+482.02	121.64	0.23	BACHES	3	3	132
15+482.02	15+500.00	17.98	4.24	DEFORMA CION	1	2	2.0
15+500.00	15+633.34	133.34	4.24	DEFORMA CION	1	2	1.9
15+633.34	15+750.48	117.14	-7.72	EROSION	2	2	1.4
15+750.48	15+800.46	49.98	-2.61	BACHES	3	1	41
15+800.46	15+849.91	49.45	1.57	BACHES	3	2	32
15+849.91	15+926.06	76.15	5.27	DEFORMA CION	1	1	1.1
15+926.06	16+000.00	73.94	13.77	EROSION	2	3	1.5
16+000.00	16+013.79	13.79	13.77	EROSION	2	3	1.8
16+013.79	16+084.42	70.63	-1.69	BACHES	3	2	45



16+084.42	16+111.99	27.57	-15.31	EROSION	2	3		1.9
16+111.99	16+236.88	124.89	-0.18	BACHES	3	3	121	



Tratamiento de la muestra N° 03:

Tabla 12

Registro de Daños y Pendiente Geométrica Vertical del Tramo: Mariscal Castilla - Irma Chico.

ÍTEM	REGIÓN	PROVINCIA	DISTRITO	JERARQUIA	TIPO DE SUPERFICIE	RUTA	TRAMO	PROG. (Km.)
3	Huánuco	Marañon	La Morada	Camino Vecinal	Afirmado	HU - 518	Huamuco - Madre Mía	03+300 al 05+000

Progresiva		Longitud (m)	Pendiente (%)	Tipo de Daño	Código del tipo de daño	Nivel de Gravedad	Clase de Densidad	Ancho del Deterioro (m)
Del Km	Al Km							
3+300.00	3+350.00	50.0	0.03	BACHES	3	3	2	
3+350.00	3+400.00	50.0	0.03	BACHES	3	3	2	
3+400.00	3+500.00	100.0	0.03	BACHES	3	3	2	



3+500.00	3+600.00	100.0	0.03	BACHES	3	3	3	
3+600.00	3+700.00	100.0	0.03	BACHES	3	3	5	
3+700.00	3+800.00	100.0	0.03	BACHES	3	3	1	
3+800.00	3+900.00	100.0	0.03	BACHES	3	3	2	
3+900.00	4+000.00	100.0	0.03	BACHES	3	3	3	
4+000.00	4+080.00	80.0	0.03	BACHES	3	3	1	
4+080.00	4+298.32	218.3	0.03	BACHES	3	3	4	
4+298.32	4+300.00	1.7	1.95	BACHES	3	2	3	
4+300.00	4+332.29	32.3	1.95	BACHES	3	2	5	
4+332.29	4+350.93	18.6	1.98	BACHES	3	2	6	
4+350.93	4+453.26	102.3	9.41	EROSION	2	3		0.9
4+453.26	4+500.00	46.7	0.00	BACHES	3	3	5	
4+500.00	4+511.65	11.7	0.00	BACHES	3	3	3	
				DEFORM				
4+511.65	4+553.23	41.6	-6.45	ACION	1	1		1.7
4+553.23	4+622.12	68.9	-10.33	EROSION	2	3		1.5
4+622.12	4+700.00	77.9	-0.05	BACHES	3	3	6	
4+700.00	4+800.00	100.0	-0.05	BACHES	3	3	12	
4+800.00	4+930.00	130.0	-0.05	BACHES	3	3	6	
4+930.00	5+000.00	70.0	-0.05	BACHES	3	3	2	



Figura 42. Medición de daño BACHES, G=2. Progresiva: 4+300.00 km.

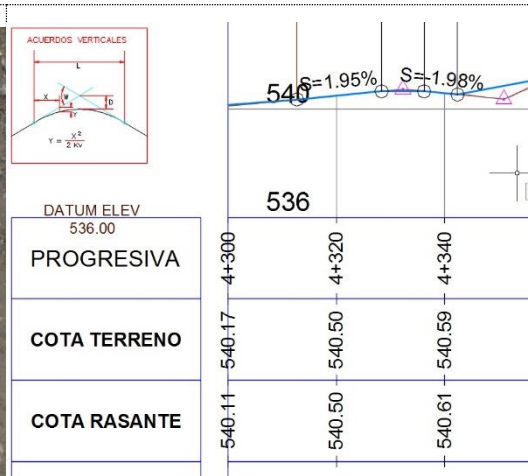


Figura 43. Digitalización de pendiente geométrica vertical 1.95%. Progresiva: 4+300.00 km.

Tratamiento de la muestra N° 04:



Tabla 13

Registro de Daños y Pendiente Geométrica Vertical del Tramo:Naranjal - Huamuco.

ÍTEM	REGIÓN	PROVINCIA	DISTRITO	JERARQUIA	TIPO DE SUPERFICIE	RUTA	TRAMO	PROG. (Km.)
4	Huánuco	Marañon	La Morada	Camino Vecinal	Afirmado	HU-517	Naranjal - Huamuco	08+800 al 13+000
<hr/>								
<hr/>								
Progresiva		Longitud (m)	Pendiente (%)	Tipo de Daño	Código del tipo de daño	Nivel de Gravedad	Clase de Densidad	Ancho del Deterioro (m)
Del Km	Al Km							
8+800.00	8+850.48	50.48	-0.12	BACHES	3	3	3	
DEFORMA								
8+850.48	8+911.40	60.92	3.29	CION	1	3		1.5
8+911.40	8+981.83	70.43	-2.37	BACHES	3	3		
8+981.83	9+080.00	98.17	-0.62	BACHES	3	3	1	
9+080.00	9+380.00	300.00	0.01	BACHES	3	3	3	
9+380.00	9+500.00	120.00	6.22	EROSION	2	1		0.8
9+500.00	9+512.63	12.63	6.22	EROSION	2	1		0.6
9+512.63	9+559.84	47.21	3.22	BACHES	3	1		1.2
9+559.84	10+000.00	440.16	-0.01	BACHES	3	3	3	
10+000.00	10+150.39	150.39	-0.01	BACHES	3	3	4	
10+150.39	10+190.09	39.70	-6.33	EROSION	2	1		1.1
10+190.09	10+229.22	39.13	-3.00	BACHES	3	1	3	
10+229.22	10+273.66	44.44	2.00	BACHES	3	1	3	
10+273.66	10+380.69	107.03	-0.89	BACHES	3	3	2	
10+380.69	10+432.93	52.24	-6.62	EROSION	2	1		1.5
10+432.93	10+500.00	67.07	1.20	BACHES	3	3	5	
10+500.00	10+510.53	10.53	1.20	BACHES	3	2	4	
10+510.53	10+535.14	24.61	-0.65	BACHES	3	3	3	
DEFORMA								
10+535.14	10+556.49	21.35	3.83	CION	1	3		0.5
10+556.49	10+591.31	34.82	6.57	EROSION	2	1	1	
DEFORMA								
10+591.31	10+627.21	35.90	3.56	CION	1	3		1.4
10+627.21	10+740.00	112.79	2.02	BACHES	3	1	6	
10+740.00	11+000.00	260.00	0.01	BACHES	3	3	5	
11+000.00	11+276.68	276.68	0.01	BACHES	3	3	3	
11+276.68	11+337.43	60.75	16.46	EROSION	2	3		1.1
11+337.43	11+470.95	133.52	-7.49	EROSION	2	2		0.9



11+470.95	11+500.00	29.05	-0.01	BACHES	3	3	9	
11+500.00	11+643.46	143.46	-0.01	BACHES	3	3	4	
11+643.46	11+715.53	72.07	1.61	BACHES	3	2	2	
11+715.53	11+812.94	97.41	-1.17	BACHES	3	2	3	
11+812.94	11+877.12	64.18	2.34	BACHES	3	1	2	
11+877.12	11+929.36	52.24	-2.33	BACHES	3	1	11	
11+929.36	12+000.00	70.64	-0.21	BACHES	3	3	9	
12+000.00	12+100.99	100.99	-0.21	BACHES	3	3	6	
DEFORMA								
12+100.99	12+125.69	24.70	-5.21	CION	1	1		0.5
12+125.69	12+208.34	82.65	1.64	BACHES	3	2	5	
12+208.34	12+500.00	291.66	0.00	BACHES	3	3	2	
12+500.00	13+000.00	500.00	0.00	BACHES	3	3	1	
13+000.00	13+152.86	152.86	0.00	BACHES	3	3	2	
13+152.86	13+220.00	67.14	-2.39	BACHES	3	1	3	
DEFORMA								
13+220.00	13+359.82	139.82	-4.10	CION	1	2		1.1
13+359.82	13+455.60	95.78	2.48	BACHES	3	1	3	
13+455.60	13+500.00	44.40	6.75	EROSION	2	1		3.1
13+500.00	13+528.97	28.97	6.75	EROSION	2	1		1.1
13+528.97	13+800.00	271.03	0.00	BACHES	3	3	4	



Figura 44. Medición de daño BACHES, G=2. Progresiva: 11+715.53 km.

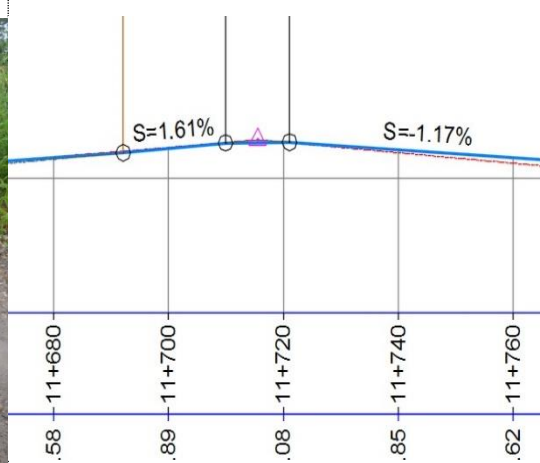


Figura 45. Digitalización de pendiente geométrica vertical 1.61%. Progresiva: 11+715.53 km.

Tratamiento de la muestra N° 05:



Tabla 14

Registro de Daños y Pendiente Geométrica Vertical del Tramo:Naranjal – La Morada.

ÍTEM	REGIÓN	PROVINCIA	DISTRITO	JERARQUIA	TIPO DE SUPERFICIE	RUTA	TRAMO	PROG. (Km.)	
5	Huánuco	Marañon	La Morada	Camino Vecinal	Afirmado	HU-505	Naranjal – La Morada	62+000 al 67+000	
<hr/>									
Progresiva	Del Km	Al Km	Longitud (m)	Pendiente (%)	Tipo de Daño	Código del tipo de daño	Nivel de Gravedad	Clase de Densidad	Ancho del Deterioro (m)
					DEFOR				
62+000.00	62+099.84	99.84	5.15	MACION	1	1			1.2
62+099.84	62+280.00	180.16	0.38	BACHES	3	3	4		
62+280.00	62+500.00	220.00	0.05	BACHES	3	3	5		
62+500.00	63+000.00	500.00	0.05	BACHES	3	3	4		
63+000.00	63+500.00	500.00	0.05	BACHES	3	3	3		
63+500.00	63+660.00	160.00	0.05	BACHES	3	3	4		
63+660.00	64+000.00	340.00	2.26	BACHES	3	1	2		
64+000.00	64+101.07	101.07	2.26	BACHES	3	1	2		
64+101.07	64+440.00	338.93	-0.03	BACHES	3	3	3		
64+440.00	64+500.00	60.00	-0.80	BACHES	3	3	3		
64+500.00	64+523.09	23.09	-0.80	BACHES	3	3	4		
64+523.09	64+608.78	85.69	0.91	BACHES	3	3	5		
64+608.78	64+982.77	373.99	0.00	BACHES	3	3	3		
					EROSIO				
64+982.77	65+000.00	17.23	6.58	N	2	1			1.2
				EROSIO					
65+000.00	65+078.18	78.18	6.58	N	2	1			1.2
				DEFOR					
65+078.18	65+116.88	38.70	-6.55	MACION	1	1			1.8
				EROSIO					
65+116.88	65+144.56	27.68	13.08	N	2	3			1.5
65+144.56	65+239.09	94.53	1.94	BACHES	3	2	5		
65+239.09	65+258.91	19.82	-3.27	BACHES	3	1			0.6
65+258.91	65+360.00	101.09	2.30	BACHES	3	1	6		
65+360.00	65+425.58	65.58	0.19	BACHES	3	3	7		
				DEFOR					
65+425.58	65+500.00	74.42	-3.64	MACION	1	3			0.6



DEFOR								
65+500.00	65+528.79	28.79	-3.64	MACION	1	2		0.6
65+528.79	65+630.92	102.13	0.00	BACHES	3	3	3	
65+630.92	65+802.35	171.43	0.47	BACHES	3	3	2	
65+802.35	65+869.02	66.67	-1.20	BACHES	3	2	2	
65+869.02	66+000.00	130.98	-0.13	BACHES	3	3	5	
66+000.00	66+129.81	129.81	-0.13	BACHES	3	3	5	
DEFOR								
66+129.81	66+244.44	114.63	-4.28	MACION	1	2		0.6
66+244.44	66+340.01	95.57	-1.03	BACHES	3	2	5	
66+340.01	66+432.18	92.17	1.40	BACHES	3	3	3	
DEFOR								
66+432.18	66+500.00	67.82	3.82	MACION	1	3		0.6
DEFOR								
66+500.00	66+548.63	48.63	3.82	MACION	1	3		0.6
66+548.63	66+820.02	271.39	0.15	BACHES	3	3	5	
DEFOR								
66+820.02	66+914.56	94.54	-4.14	MACION	1	2		0.5
DEFOR								
66+914.56	66+951.57	37.01	4.24	MACION	1	2		0.6
66+951.57	67+000.00	48.43	-2.39	BACHES	3	1	2	



Figura 46. Medición de daño BACHES, G=3. Progresiva: 62+200.00 km.

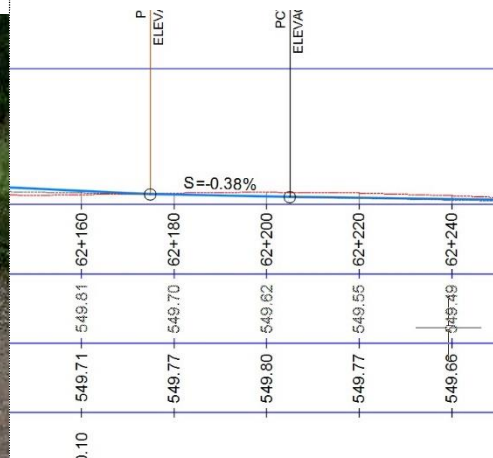


Figura 47. Digitalización de pendiente geométrica vertical -0.38%. Progresiva: 62+200.00 km.

Tratamiento de la muestra N° 06:



Tabla 15

Registro de Daños y Pendiente Geométrica Vertical del Tramo: San Juan de Culebra - Paraíso - Puerto Huallaga.

ÍTEM	REGION	PROVINCIA	DISTRITO	JERARQUI A	TIPO DE SUPERF ICIE	RUTA	TRAMO	PROG.
								(Km.)
6	Huánuco	Marañon	Cholón	Camino Vecinal	Afirmado	HU-508	San Juan de Culebra - Paraiso - Puerto Huallaga	00+000 al 05+000
Progresiva		Longitud (m)	Pendiente (%)	Tipo de Daño	Código del tipo de daño	Nivel de Gravedad	Clase de Densidad	Ancho del Deterioro (m)
Del Km	Al Km							
0+000.00	0+107.72	107.72	0.00	BACHES DEFORMACION	3	3	5	
0+107.72	0+249.38	141.66	3.34	BACHES	1	3		1.1
0+249.38	0+362.45	113.07	1.11	BACHES	3	2	3	
0+362.45	0+500.00	137.55	2.71	BACHES	3	1	4	
0+500.00	0+510.19	10.19	2.71	BACHES	3	1		0.6
0+510.19	0+599.75	89.56	0.00	BACHES	3	3	5	
0+599.75	0+654.56	54.81	1.52	BACHES	3	2	4	
0+654.56	0+757.71	103.15	-0.81	BACHES	3	3	1	
0+757.71	1+000.00	242.29	0.02	BACHES	3	3	2	
1+000.00	1+163.08	163.08	0.02	BACHES	3	3	3	
		DEFORMACION						
1+163.08	1+323.56	160.48	4.10	CION	1	2		1.2
1+323.56	1+475.76	152.20	-2.93	DEFORMACION				
1+475.76	1+500.00	24.24	3.65	DEFORMACION	1	3		0.8
1+500.00	1+681.03	181.03	3.65	CION	1	3		1.1
1+681.03	2+000.00	318.97	0.09	BACHES	3	3	1	
2+000.00	2+028.15	28.15	0.09	BACHES	3	3	6	
2+028.15	2+399.30	371.15	2.63	BACHES	3	1	3	
2+399.30	2+500.00	100.70	0.12	BACHES	3	3	5	
2+500.00	2+959.30	459.30	0.12	BACHES	3	3	4	
2+959.30	3+000.00	40.70	-0.24	BACHES	3	3	1	
3+000.00	3+163.44	163.44	-0.24	BACHES	3	3	4	
3+163.44	3+180.88	17.44	8.19	EROSION	2	3		0.6
3+180.88	3+279.59	98.71	0.71	BACHES	3	3	1	

3+279.59	3+379.31	99.72	0.00	BACHES	3	3	1	
3+379.31	3+449.13	69.82	-2.40	BACHES	3	1	3	
				DEFORMA				
3+449.13	3+500.00	50.87	4.69	CION	1	2		1.1
				DEFORMA				
3+500.00	3+619.31	119.31	4.69	CION	1	2		0.5
3+619.31	3+706.18	86.87	1.67	BACHES	3	2	4	
3+706.18	3+989.98	283.80	0.04	BACHES	3	3	5	
3+989.98	4+000.00	10.02	6.91	EROSION	2	1		0.8
4+000.00	4+133.36	133.36	6.91	EROSION	2	1		0.8
4+133.36	4+218.76	85.40	-0.20	BACHES	3	3	4	
				DEFORMA				
4+218.76	4+241.91	23.15	-3.62	CION	1	3		0.7
				DEFORMA				
4+241.91	4+271.58	29.67	3.25	CION	1	3		0.7
4+271.58	4+500.00	228.42	0.02	BACHES	3	3	4	
4+500.00	5+000.00	500.00	0.02	BACHES	3	3	1	3



Figura 48. Medición de daño BACHES, G=3. Progresiva: 3+100.00 km.

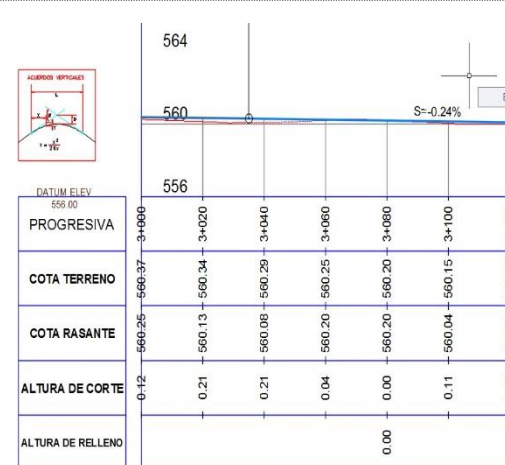


Figura 49. Digitalización de pendiente geométrica vertical -0.24%. Progresiva: 3+100.00 km.

Tratamiento de la muestra N° 07:



UNIVERSIDAD NACIONAL HERMILIO VALDIZAN – HUÁNUCO FACULTAD DE INGENIERIA CIVIL Y
ARQUITECTURA E.A.P. INGENIERIA CIVIL
“ESTUDIO DE PENDIENTE GEOMÉTRICA VERTICAL EN DAÑOS DE CAMINOS VECINALES AFIRMADOS A
NIVEL DE PLATAFORMA, REGIÓN HUÁNUCO-2019”
Tesista: Villar Villaueva, Nehemias Fidel



Tabla 16

Registro de Daños y Pendiente Geométrica Vertical del Tramo: Paraiso - Santa Rosa de Megote - Puerto Rio Huallaga.

ITE M	REGÍO N	PROVI NCIA	DISTRI TO	JERAR QUIA	TIPO DE SUPE RFIC IE	RUTA	TRAMO	PROG. (Km.)
7	Huánuco	Marañon	Cholón	Camino Vecinal	Afirmado	HU-512	Paraiso - Santa Rosa de Megote - Puerto Rio Huallaga	00+000 al 05+360
<hr/>								
Progresiva		Longitu d (m)	Pendien te (%)	Tipo de Daño	Código o del tipo de daño	Nivel de Graved ad	Clase de Densid ad	Ancho del Deterio ro (m)
Del Km	Al Km							
<hr/>								
DEFORMACIONES								
0+000.00	0+105.57	105.57	-4.65	ACION	1	2		0.5
0+105.57	0+155.47	49.90	-1.83	BACHES	3	2	5	
0+155.47	0+194.01	38.54	-0.48	BACHES	3	3	3	
DEFORMACIONES								
0+194.01	0+225.58	31.57	4.96	ACION	1	2		0.8
0+225.58	0+248.64	23.06	0.00	BACHES	3	3	3	
0+248.64	0+300.00	51.36	1.93	BACHES	3	2	3	
0+300.00	0+360.52	60.52	5.95	EROSION	2	1		0.9
0+360.52	0+412.48	51.96	17.32	EROSION	2	3		0.9
DEFORMACIONES								
0+412.48	0+467.34	54.86	-5.41	ACION	1	1		0.9
0+467.34	0+500.00	32.66	-8.42	EROSION	2	3		0.9
0+500.00	0+538.98	38.98	-8.42	EROSION	2	3		0.9
0+538.98	0+615.00	76.02	-13.11	EROSION	2	3		0.8
0+615.00	0+817.24	202.24	0.08	BACHES	3	3	16	
DEFORMACIONES								
0+817.24	0+853.60	36.36	3.70	ACION	1	3		0.7
0+853.60	0+940.00	86.40	0.19	BACHES	3	3	12	
0+940.00	1+000.00	60.00	-1.96	BACHES	3	2	10	
1+000.00	1+040.00	40.00	-1.96	BACHES	3	2	14	
1+040.00	1+256.88	216.88	0.06	BACHES	3	3	12	
1+256.88	1+355.87	98.99	9.34	EROSION	2	3		0.8
1+355.87	1+434.64	78.77	0.78	BACHES	3	3	18	
1+434.64	1+500.00	65.36	-7.57	EROSION	2	2		0.7



1+500.00	1+566.21	66.21	-7.57	EROSION	2	2		1.2
1+566.21	2+000.00	433.79	0.00	BACHES	3	1	12	
2+000.00	2+500.00	500.00	0.00	BACHES	3	3	34	
2+500.00	3+000.00	500.00	0.00	BACHES	3	3	45	
3+000.00	3+500.00	500.00	0.00	BACHES	3	3	17	
3+500.00	4+000.00	500.00	0.00	BACHES	3	1	25	
4+000.00	4+500.00	500.00	0.00	BACHES	3	3	40	
4+500.00	4+675.10	175.10	0.00	BACHES	3	3	3	
4+675.10	4+711.55	36.45	24.27	EROSION	2	3		0.8
4+711.55	5+000.00	288.45	14.24	EROSION	2	3		0.9
5+000.00	4+792.25	-207.75	14.24	EROSION	2	3		0.9
4+792.25	4+878.33	86.08	-12.46	EROSION	2	3		0.9
4+878.33	4+995.04	116.71	-8.27	EROSION	2	3		0.9
4+995.04	5+360.00	364.96	-0.33	BACHES	3	3	5	



Figura 50. Medición de daño BACHES, G=3. Progresiva: 3+000.00 km.



Figura 51. Digitalización de pendiente geométrica vertical 1.95%. Progresiva: 3+000.00 km.

Tratamiento de la muestra N° 08:

Tabla 17

Registro de Daños y Pendiente Geométrica Vertical del Tramo:Puente frijol-Paraiso-Tres de Mayo- Nuevo Canaan.

ÍTEM	REGIÓN	PROVINCIA	DISTRITO	JERARQUIA	TIPO DE	RUTA	TRAMO	PROG.

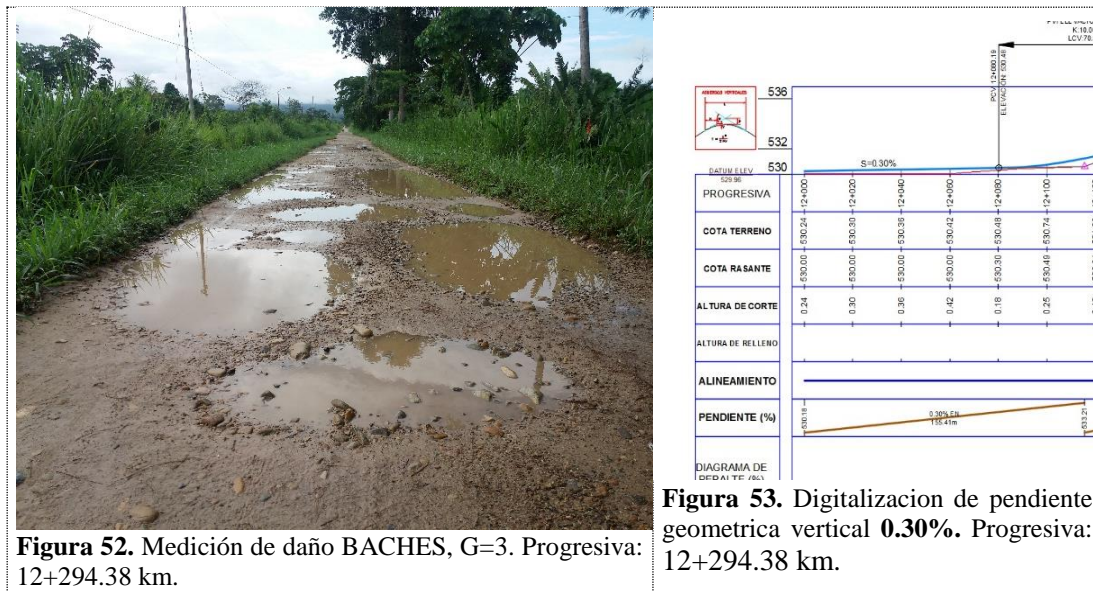


SUPERFICIE								(Km.)	
8	Huánuco	Marañon	Cholón	Camino Vecinal	Afirmado	HU-505	Puente frijol-Paraíso-Tres de Mayo-Nuevo Canaan.	11+000 al 16+000	
Progresiva	Del Km	Al Km	Longitud (m)	Pendiente (%)	Tipo de Daño	Código del tipo de daño	Nivel de Gravedad	Clase de Densidad	Ancho del Deterioro (m)
11+000.00	11+035.73	35.73	-10.69	EROSION	2	3		1.2	
11+035.73	11+158.88	123.15	0.00	BACHES	3	3	1		
11+158.88	11+214.13	55.25	6.52	EROSION	2	1		0.8	
11+214.13	11+245.04	30.91	10.65	EROSION	2	3		0.6	
				DEFORMACION					
11+245.04	11+320.00	74.96	-5.47	ACION	1	1		0.6	
				DEFORMACION					
11+320.00	11+362.01	42.01	-3.29	ACION	1	3		0.6	
				DEFORMACION					
11+362.01	11+388.94	26.93	-5.24	ACION	1	1		0.6	
11+388.94	11+430.32	41.38	0.00	BACHES	3	3	1		
11+430.32	11+480.51	50.19	7.46	EROSION	2	2		0.6	
11+480.51	11+500.00	19.49	14.40	EROSION	2	3		0.6	
11+500.00	11+523.92	23.92	14.40	EROSION	2	3		0.8	
11+523.92	11+755.36	231.44	0.00	BACHES	3	3	4		
11+755.36	11+801.61	46.25	-8.65	EROSION	2	3		0.6	
				DEFORMACION					
11+801.61	11+875.13	73.52	-5.44	ACION	1	1		0.7	
11+875.13	11+930.74	55.61	-0.64	BACHES	3	3	3		
				DEFORMACION					
11+930.74	11+960.19	29.45	-5.20	ACION	1	2		0.9	
11+960.19	12+000.00	39.81	0.30	BACHES	3	2	3		
12+000.00	12+115.60	115.60	0.30	BACHES	3	3	3		
12+115.60	12+176.49	60.89	7.39	EROSION	2	2		0.7	
				DEFORMACION					
12+176.49	12+210.90	34.41	4.66	ACION	1	2		1.2	
12+210.90	12+236.34	25.44	1.22	BACHES	3	2	2		
12+236.34	12+294.38	58.04	-0.29	BACHES	3	3	4		
				DEFORMACION					
12+294.38	12+395.85	101.47	-3.28	ACION	1	3		0.6	
12+395.85	12+459.99	64.14	-0.57	BACHES	3	3	3		



12+459.99	12+500.00	40.01	-2.17	BACHES	3	1	5	
12+500.00	12+512.13	12.13	-2.17	BACHES	3	1	6	
				DEFORM				
12+512.13	12+549.57	37.44	-4.17	ACION	1	2		0.8
12+549.57	12+572.02	22.45	-1.96	BACHES	3	2	4	
12+572.02	13+000.00	427.98	0.01	BACHES	3	3	2	
13+000.00	13+299.99	299.99	0.01	BACHES	3	3	30	
13+299.99	13+500.00	200.01	0.00	BACHES	3	3	25	
13+500.00	14+000.00	500.00	0.00	BACHES	3	3	60	
14+000.00	14+420.70	420.70	0.00	BACHES	3	3	3	
				DEFORM				
14+420.70	14+539.99	119.29	-4.55	ACION	1	2		0.8
				DEFORM				
14+539.99	14+500.00	-39.99	-4.65	ACION	1	2		0.9
				DEFORM				
14+500.00	14+633.97	133.97	-4.65	ACION	1	2		0.6
14+633.97	14+874.43	240.46	-0.09	BACHES	3	3	4	
14+874.43	15+000.00	125.57	3.17	BACHES	3	1		0.5
				DEFORM				
15+000.00	15+056.77	56.77	3.17	ACION	1	3		0.6
				DEFORM				
15+056.77	15+190.31	133.54	-4.00	ACION	1	2		0.6
15+190.31	15+227.74	37.43	0.90	BACHES	3	3	8	
15+227.74	15+365.13	137.39	6.69	EROSION	2	1		0.6
15+365.13	15+443.50	78.37	0.00	BACHES	3	3	15	
15+443.50	15+500.00	56.50	-9.82	EROSION	2	3		0.6
15+500.00	15+545.29	45.29	-9.82	EROSION	2	3		0.8
15+545.29	15+727.95	182.66	0.00	BACHES	3	3	2	
15+727.95	15+758.20	30.25	10.26	EROSION	2	3		0.9
15+758.20	15+818.32	60.12	0.81	BACHES	3	3	2	
				DEFORM				
15+818.32	15+843.21	24.89	-6.36	ACION	1	1		0.5
15+843.21	15+895.68	52.47	2.15	BACHES	3	1	4	
15+895.68	15+935.82	40.14	-7.82	EROSION	2	2		1
15+935.82	16+000.00	64.18	-0.29	BACHES	3	3	4	





Tratamiento de la muestra N° 09:

Tabla 18

Registro de Daños y Pendiente Geométrica Vertical del Tramo: Ogoro-Huachumay.

ÍTEM	REGIÓN	PROVINCIA	DISTRITO	JERARQUIA	TIPO DE SUPERFICIE	RUTA	TRAMO	PROG. (Km.)
9	Huánuco	Marañon	Huacrachuco	Camino Vecinal	Afirmado	HU-504	Ogoro-Huachumay	00+000 al 05+000
<hr/>								
Progresiva								
Del Km	Al Km	Longitud (m)	Pendiente (%)	Tipo de Daño	Código del tipo de daño	Nivel de Gravedad	Clase de Densidad	Ancho del Deterioro (m)
0+000.00	0+027.24	27.24	-24.04	EROSION	2	3		1.2
0+027.24	0+084.40	57.16	1.35	BACHES	3	2	5	
0+084.40	0+143.95	59.55	3.04	BACHES	3	1		1.5
DEFORMACION								
0+143.95	0+207.84	63.89	4.40	DEFORMACION	1	2		1.5
0+207.84	0+252.24	44.40	11.69	EROSION	2	3		1.5



DEFORM								
0+252.24	0+313.72	61.48	-3.86	ACION	1	3		1.5
0+313.72	0+349.85	36.13	10.53	EROSION	2	3		1.5
0+349.85	0+364.91	15.06	17.27	EROSION	2	3		1.5
0+364.91	0+402.99	38.08	8.08	EROSION	2	3		1.5
0+402.99	0+425.86	22.87	2.03	BACHES	3	1	10	
DEFORM								
0+425.86	0+500.00	74.14	5.24	ACION	1	1		1.5
DEFORM								
0+500.00	0+507.38	7.38	5.24	ACION	1	1		1.2
0+507.38	0+570.58	63.20	7.83	EROSION	2	2		1.2
0+570.58	0+589.51	18.93	0.58	BACHES	3	3	5	
0+589.51	0+608.28	18.77	-11.08	EROSION	2	3		1.2
DEFORM								
0+608.28	0+634.72	26.44	5.05	ACION	1	1		1.2
DEFORM								
0+634.72	0+653.01	18.29	-3.37	ACION	1	3		1.2
0+653.01	0+680.29	27.28	9.70	EROSION	2	3		1.2
0+680.29	0+692.18	11.89	17.58	EROSION	2	3		1.2
0+692.18	0+722.84	30.66	35.96	EROSION	2	3		1.2
0+722.84	0+761.96	39.12	-18.10	EROSION	2	3		1.2
0+761.96	0+793.07	31.11	-0.37	BACHES	3	3	10	
0+793.07	0+828.57	35.50	8.88	EROSION	2	3		1.2
0+828.57	0+915.19	86.62	15.04	EROSION	2	3		1.2
0+915.19	0+944.15	28.96	10.09	EROSION	2	3		1.2
DEFORM								
0+944.15	0+965.64	21.49	4.00	ACION	1	2		1.2
0+965.64	1+000.00	34.36	0.02	BACHES	3	3	10	
1+000.00	1+002.42	2.42	0.02	BACHES	3	3	2	
1+002.42	1+040.00	37.58	2.80	BACHES	3	1	10	
1+040.00	1+137.05	97.05	-0.18	BACHES	3	3	15	
DEFORM								
1+137.05	1+171.93	34.88	4.91	ACION	1	2		1.1
1+171.93	1+259.99	88.06	9.71	EROSION	2	3		2.1
1+259.99	1+333.72	73.73	1.87	BACHES	3	2	25	
DEFORM								
1+333.72	1+391.26	57.54	6.24	ACION	1	1		4.1
1+391.26	1+482.33	91.07	14.00	EROSION	2	3		5.1
1+482.33	1+500.00	17.67	7.15	EROSION	2	2		6.1
1+500.00	1+544.44	44.44	7.15	EROSION	2	2		1.5
1+544.44	1+569.96	25.52	0.41	BACHES	3	3	8	
1+569.96	1+647.45	77.49	-8.36	EROSION	2	3		1.5
1+647.45	1+698.88	51.43	21.17	EROSION	2	3		1.5
DEFORM								
1+698.88	1+719.46	20.58	-3.88	ACION	1	3		1.5

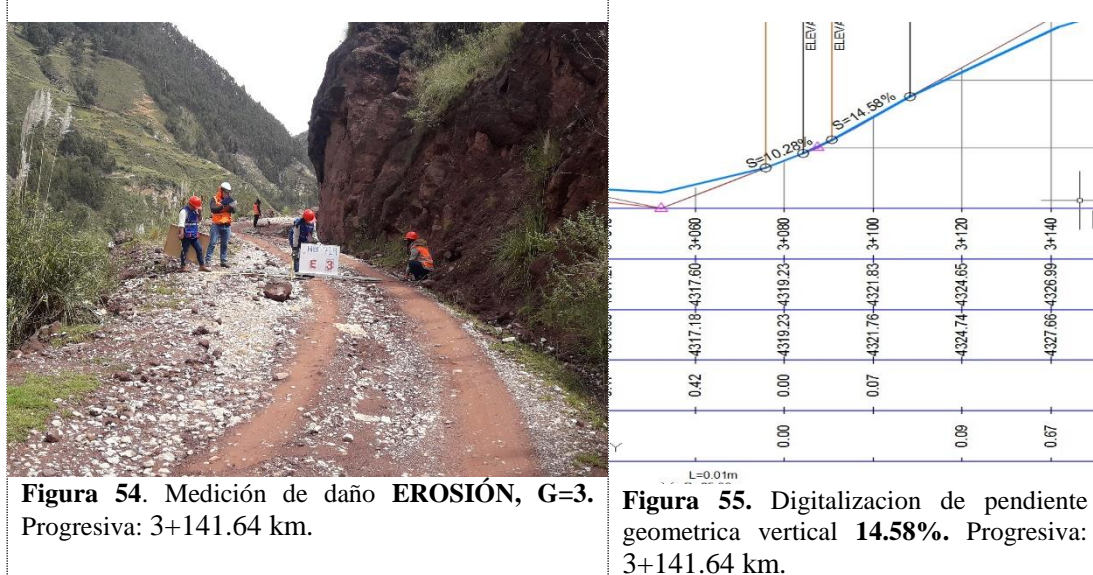


1+719.46	1+779.44	59.98	10.83	EROSION DEFORM	2	3	1.5
1+779.44	1+818.03	38.59	4.43	ACION	1	2	1.5
1+818.03	1+875.70	57.67	-6.46	EROSION	2	1	1.5
1+875.70	1+921.01	45.31	24.04	EROSION	2	3	1.5
1+921.01	1+979.97	58.96	-0.02	BACHES	3	3	15
1+979.97	2+000.00	20.03	-7.75	EROSION	2	2	1.5
2+000.00	2+009.12	9.12	-7.75	EROSION	2	2	1.2
2+009.12	2+034.93	25.81	-14.33	EROSION	2	3	1.2
2+034.93	2+108.63	73.70	9.02	EROSION	2	3	1.2
				DEFORM			
2+108.63	2+165.43	56.80	3.41	ACION	1	3	1.2
2+165.43	2+276.55	111.12	14.29	EROSION	2	3	1.2
2+276.55	2+330.16	53.61	-2.82	BACHES	3	1	21
2+330.16	2+355.82	25.66	-14.38	EROSION	2	3	1.2
2+355.82	2+381.80	25.98	11.08	EROSION	2	3	1.2
2+381.80	2+414.58	32.78	28.02	EROSION	2	3	1.2
2+414.58	2+463.55	48.97	8.85	EROSION	2	3	1.2
2+463.55	2+500.00	46.25	-32.73	EROSION	2	3	1.2
2+500.00	2+509.80	9.80	-32.73	EROSION	2	3	1.3
2+509.80	2+537.19	27.39	18.38	EROSION	2	3	1.3
2+537.19	2+588.98	51.79	30.53	EROSION	2	3	1.3
2+588.98	2+671.53	82.55	19.17	EROSION	2	3	1.3
2+671.53	2+710.70	39.17	7.87	EROSION	2	2	1.3
				DEFORM			
2+710.70	2+766.81	56.11	3.66	ACION	1	3	1.3
2+766.81	2+820.01	53.20	-0.11	BACHES	3	3	25
2+820.01	2+849.05	29.04	-8.84	EROSION	2	3	1.3
				DEFORM			
2+849.05	2+911.21	62.16	-4.24	ACION	1	2	1.3
				DEFORM			
2+911.21	2+940.02	28.81	5.65	ACION	1	1	1.3
2+940.02	2+976.62	36.60	-2.57	BACHES	3	1	18
2+976.62	3+000.00	23.38	1.95	BACHES	3	2	12
3+000.00	3+009.92	9.92	1.95	BACHES	3	2	3
				DEFORM			
3+009.92	3+052.30	42.38	-5.46	ACION	1	1	1.2
3+052.30	3+087.46	35.16	10.28	EROSION	2	3	1.2
3+087.46	3+141.64	54.18	14.58	EROSION	2	3	1.2
				DEFORM			
3+141.64	3+191.41	49.77	5.67	ACION	1	1	1.2
				DEFORM			
3+191.41	3+259.57	68.16	-4.42	ACION	1	2	1.2



DEFORM							
3+259.57	3+328.47	68.90	4.02	ACION	1	2	1.2
3+328.47	3+380.05	51.58	6.91	EROSION	2	1	1.2
3+380.05	3+423.41	43.36	10.81	EROSION	2	3	1.2
3+423.41	3+476.07	52.66	6.06	EROSION	2	1	1.2
3+476.07	3+497.18	21.11	12.17	EROSION	2	3	1.2
3+497.18	3+500.00	2.82	-7.88	EROSION	2	2	1.2
3+500.00	3+568.36	68.36	-7.88	EROSION	2	2	1.3
3+568.36	3+606.11	37.75	-2.30	BACHES	3	1	3
3+606.11	3+648.89	42.78	6.69	EROSION	2	1	3
DEFORM							
3+648.89	3+786.96	138.07	4.23	ACION	1	2	1
3+786.96	3+805.21	18.25	12.25	EROSION	2	3	1.3
3+805.21	3+844.42	39.21	0.61	BACHES	3	3	10
3+844.42	3+902.68	58.26	6.96	EROSION	2	1	1.3
3+902.68	3+927.06	24.38	0.00	BACHES	3	3	6
DEFORM							
3+927.06	3+978.63	51.57	5.32	ACION	1	1	1.3
3+978.63	4+000.00	21.37	0.89	BACHES	3	3	8
4+000.00	4+040.00	40.00	0.89	BACHES	3	3	20
DEFORM							
4+040.00	4+070.97	30.97	5.78	ACION	1	1	1
4+070.97	4+162.65	91.68	12.64	EROSION	2	3	1.2
4+162.65	4+329.08	166.43	0.27	BACHES	3	3	40
4+329.08	4+371.25	42.17	2.62	BACHES	3	1	16
4+371.25	4+459.58	88.33	9.66	EROSION	2	3	1.2
4+459.58	4+494.98	35.40	19.88	EROSION	2	3	1.2
4+494.98	4+500.00	5.02	2.78	BACHES	3	1	3
4+500.00	4+517.44	17.44	2.78	BACHES	3	1	8
4+517.44	4+548.77	31.33	-2.92	BACHES	3	1	15
DEFORM							
4+548.77	4+649.78	101.01	4.37	ACION	1	2	0.9
4+649.78	4+692.39	42.61	-9.54	EROSION	2	3	0.9
4+692.39	4+722.26	29.87	-17.78	EROSION	2	3	0.9
DEFORM							
4+722.26	4+754.87	32.61	-5.13	ACION	1	1	0.9
DEFORM							
4+754.87	4+782.42	27.55	4.97	ACION	1	2	0.9
DEFORM							
4+782.42	4+927.90	145.48	-5.30	ACION	1	1	0.9
4+927.90	4+954.75	26.85	-0.38	BACHES	3	3	25
4+954.75	5+000.00	45.25	2.37	BACHES	3	1	25





Tratamiento de la muestra N° 10:

Tabla 19

Registro de Daños y Pendiente Geométrica Vertical del Tramo: Huacrachuco-Marcopata - Quillabamba – Cajapa – Fin de Camino.

ÍTEM	REGIÓN	PROVINCIA	DISTRITO	JERARQUIA	TIPO DE SUPERFICIE	RUTA	TRAMO	PROG. (Km.)
10	Huánuco	Marañon	Huacrachuco	Camino Vecinal	Afirmado	HU-501	Huacrachuc o- Marcopata - Quillabamb a – Cajapa – Fin de Camino.	00+000 al 05+000
		Progresiva	Pendiente (%)	Tipo de Daño	Código del	Nivel de	Clase de	Ancho del



Del Km	Al Km	Longitud (m)		tipo de daño	Gravedad	Densidad	Deterioro (m)
0+000.00	0+045.42	45.42	-2.19	BACHES	3	1	30
0+200.00	0+290.63	90.63	1.09	BACHES	3	2	45
0+200.00	0+280.57	80.57	-9.45	EROSION	2	3	0.5
			116.8				
0+240.00	0+356.84	4	-7.80	EROSION	2	3	0.5
0+250.00	0+278.57	28.57	8.33	EROSION	2	3	0.5
0+300.00	0+335.13	35.13	12.56	EROSION	2	3	0.5
0+360.00	0+377.83	17.83	-16.30	EROSION	2	3	0.5
0+400.00	0+425.65	25.65	-27.43	EROSION	2	3	0.5
0+420.00	0+432.43	12.43	-5.83	EROSION	2	1	0.5
0+450.00	0+500.00	50.00	0.68	BACHES	3	3	21
0+500.00	0+505.12	5.12	0.68	BACHES	3	2	4
0+505.12	0+591.86	86.74	14.17	EROSION	2	3	0.9
0+591.86	0+615.15	23.29	21.35	EROSION	2	3	0.9
0+615.15	0+644.45	29.30	10.55	EROSION	2	3	0.9
			113.2				
0+644.45	0+757.65	0	14.38	EROSION	2	3	0.9
0+757.65	0+822.38	64.73	-23.95	EROSION	2	3	0.9
0+822.38	0+842.07	19.69	15.24	EROSION	2	3	0.9
0+842.07	0+860.93	18.86	33.02	EROSION	2	3	0.9
0+860.93	0+920.76	59.83	52.84	EROSION	2	3	0.9
0+920.76	0+951.51	30.75	-22.71	EROSION	2	3	0.9
0+951.51	0+993.69	42.18	37.64	EROSION	2	3	0.9
				DEFORMACION			
0+993.69	1+000.00	6.31	-3.90	CION	1	3	0.9
				DEFORMACION			
1+000.00	1+087.77	87.77	-3.90	CION	1	3	0.6
1+087.77	1+101.98	14.21	0.00	BACHES	3	3	10
1+101.98	1+146.94	44.96	10.28	EROSION	2	3	0.6
1+146.94	1+168.56	21.62	-21.10	EROSION	2	3	0.6
1+168.56	1+200.96	32.40	-1.21	BACHES	3	2	15
1+200.96	1+215.84	14.88	14.51	EROSION	2	3	0.6
				DEFORMACION			
1+215.84	1+236.93	21.09	4.48	CION	1	2	0.6
				DEFORMACION			
1+236.93	1+251.36	14.43	-5.24	CION	1	1	0.6
1+251.36	1+260.79	9.43	13.61	EROSION	2	3	0.6
1+260.79	1+280.02	19.23	33.91	EROSION	2	3	0.6
1+280.02	1+298.37	18.35	-15.68	EROSION	2	3	0.6
1+298.37	1+336.92	38.55	23.28	EROSION	2	3	0.6
1+336.92	1+393.03	56.11	21.17	EROSION	2	3	0.6
1+393.03	1+457.66	64.63	12.79	EROSION	2	3	0.6



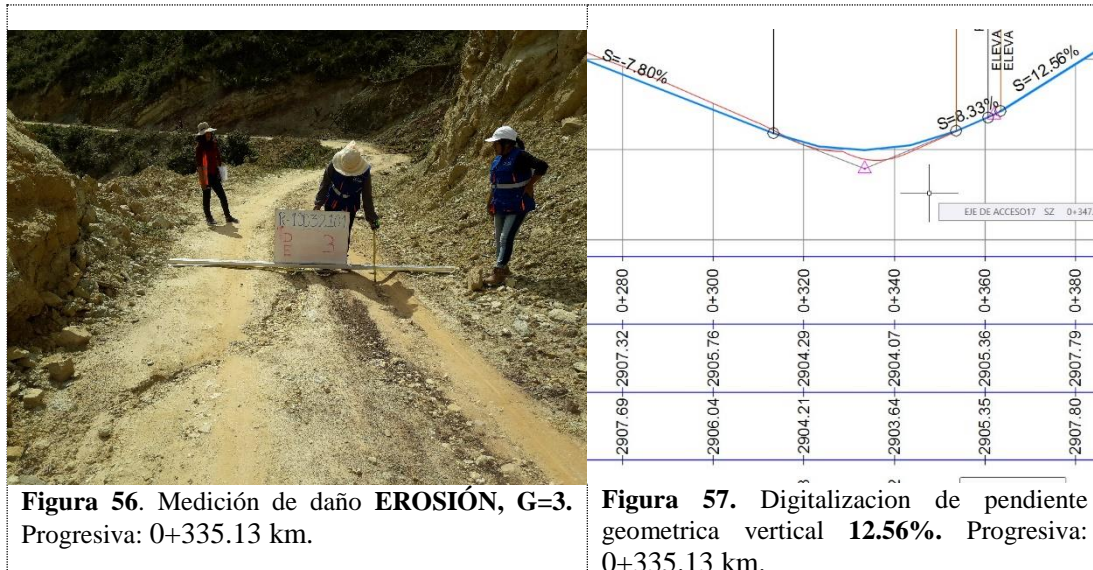
1+457.66	1+483.56	25.90	-2.44	BACHES	3	1	16	
1+483.56	1+500.00	16.44	25.24	EROSION	2	3		0.6
1+500.00	1+511.55	11.55	25.24	EROSION	2	3		1.2
1+511.55	1+599.00	87.45	-15.24	EROSION	2	3		1.2
1+599.00	1+641.10	42.10	36.24	EROSION	2	3		1.2
1+641.10	1+707.46	66.36	7.82	EROSION	2	2		1.2
1+707.46	1+733.50	26.04	22.13	EROSION	2	3		1.2
1+733.50	1+773.68	40.18	2.04	BACHES	3	1	25	
1+773.68	1+789.17	15.49	19.53	EROSION DEFORMA	2	3		1.2
1+789.17	1+850.86	61.69	4.72	CION	1	2		1.2
1+850.86	1+876.91	26.05	-25.46	EROSION	2	3		1.2
1+876.91	1+907.65	30.74	-19.10	EROSION	2	3		1.2
1+907.65	1+946.58	38.93	3.25	BACHES	3	1		1.2
1+946.58	1+971.44	24.86	-16.26	EROSION	2	3		1.2
1+971.44	1+987.19	15.75	15.09	EROSION	2	3		1.2
1+987.19	2+000.00	12.81	28.38	EROSION	2	3		1.2
2+000.00	2+043.34	43.34	28.38	EROSION	2	3		0.8
2+043.34	2+059.60	16.26	-0.98	BACHES	3	3	10	
2+059.60	2+093.02	33.42	16.76	EROSION	2	3		0.8
2+093.02	2+117.34	24.32	-18.41	EROSION	2	3		0.8
2+117.34	2+141.11	23.77	35.34	EROSION	2	3		0.8
2+141.11	2+157.20	16.09	-15.68	EROSION	2	3		0.8
2+157.20	2+185.02	27.82	-0.80	BACHES	3	3	20	
2+185.02	2+199.29	14.27	-36.07	EROSION	2	3		0.8
2+199.29	2+245.92	46.63	-3.79	CION	1	3		0.8
2+245.92	2+285.09	39.17	-8.35	EROSION	2	3		0.8
2+285.09	2+341.48	56.39	4.74	DEFORMA				
2+341.48	2+360.67	19.19	1.52	CION	1	2		0.8
2+360.67	2+376.91	16.24	8.79	BACHES	3	2	15	
2+376.91	2+464.49	87.58	2.62	EROSION	2	3		0.8
2+464.49	2+500.00	35.51	-10.94	BACHES	3	1	40	
2+500.00	2+520.63	20.63	-10.94	EROSION	2	3		0.9
2+520.63	2+566.73	46.10	-29.70	EROSION	2	3		0.9
2+566.73	2+589.27	22.54	-30.00	EROSION	2	3		0.9
2+589.27	2+636.90	47.63	38.54	EROSION	2	3		0.9
2+636.90	2+684.70	47.80	44.33	EROSION	2	3		0.9
2+684.70	2+742.94	58.24	-24.16	EROSION	2	3		0.9
2+742.94	2+766.91	23.97	-6.24	EROSION	2	1		0.9
2+766.91	2+800.19	33.28	-36.22	EROSION	2	3		0.9
2+800.19	2+866.90	66.71	-2.00	BACHES	3	1	30	
2+866.90	2+890.54	23.64	39.58	EROSION	2	3		0.9



2+890.54	2+927.92	37.38	12.06	EROSION	2	3		0.9
2+927.92	3+000.00	72.08	0.35	BACHES	3	3	35	
3+000.00	3+036.90	36.90	0.35	BACHES	3	3	19	
3+036.90	3+074.67	37.77	-10.69	EROSION	2	3		1.3
3+074.67	3+157.43	82.76	19.06	EROSION	2	3		1.3
3+157.43	3+226.32	68.89	-27.29	EROSION	2	3		1.3
3+226.32	3+323.85	97.53	-1.55	BACHES	3	2	45	
3+323.85	3+351.55	27.70	14.06	EROSION	2	3		1.3
3+351.55	3+406.45	54.90	-14.91	EROSION	2	3		1.3
3+406.45	3+429.37	22.92	21.13	EROSION	2	3		1.3
3+429.37	3+451.55	22.18	-12.74	EROSION	2	3		1.3
3+451.55	3+479.28	27.73	41.03	EROSION	2	3		1.3
3+479.28	3+500.00	20.72	40.77	EROSION	2	3		1.3
3+500.00	3+533.15	33.15	40.77	EROSION	2	3		1.5
3+533.15	3+584.97	51.82	-21.70	EROSION	2	3		1.5
3+584.97	3+612.59	27.62	2.23	BACHES	3	1	12	1.5
3+612.59	3+656.08	43.49	-14.15	EROSION	2	3		1.5
3+656.08	3+718.36	62.28	0.04	BACHES	3	3	20	
3+718.36	3+811.60	93.24	-6.71	EROSION	2	1		1.5
3+811.60	3+858.02	46.42	-34.95	EROSION	2	3		1.5
3+858.02	3+948.28	90.26	-22.32	EROSION	2	3		1.5
				DEFORMA				
3+948.28	4+000.00	51.72	5.80	CION	1	1		1.5
				DEFORMA				
4+000.00	4+013.90	13.90	5.80	CION	1	1		1.2
4+013.90	4+036.14	22.24	37.73	EROSION	2	3		1.2
4+036.14	4+081.40	45.26	-18.14	EROSION	2	3		1.2
4+081.40	4+146.56	65.16	27.99	EROSION	2	3		1.2
			113.8					
4+146.56	4+260.40	4	-11.10	EROSION	2	3		1.2
4+260.40	4+312.54	52.14	10.51	EROSION	2	3		1.2
4+312.54	4+373.37	60.83	31.05	EROSION	2	3		1.2
4+373.37	4+411.44	38.07	-13.40	EROSION	2	3		1.2
4+411.44	4+438.37	26.93	7.16	EROSION	2	2		1.2
4+438.37	4+462.34	23.97	-11.50	EROSION	2	3		1.2
4+462.34	4+500.00	46.93	-20.82	EROSION	2	3		1.2
4+500.00	4+509.27	9.27	-20.82	EROSION	2	3		1
4+550.00	4+573.67	23.67	25.86	EROSION	2	3		1
4+600.00	4+683.78	83.78	-6.45	EROSION	2	1		1
4+630.00	4+659.25	29.25	18.07	EROSION	2	3		1
4+650.00	4+683.25	33.25	-2.63	BACHES	3	1		1
4+700.00	4+737.00	37.00	-16.90	EROSION	2	3		1
4+750.00	4+779.25	29.25	27.48	EROSION	2	3		1
4+800.00	4+818.17	18.17	25.86	EROSION	2	3		1
4+850.00	4+888.93	38.93	12.34	EROSION	2	3		1



DEFORMA							
4+900.00	4+915.83	15.83	-5.68	CION	1	1	1
4+950.00	5000	50.00	9.41	EROSION	2	3	1



Tratamiento de la muestra N° 11:

Tabla 20

Registro de Daños y Pendiente Geométrica Vertical del Tramo: Mollepampa- El Progreso – Huaychao.

ÍTEM	REGIÓN	PROVINCIA	DISTRITO	JERARQUIA	TIPO DE SUPERFICIE	RUTA	TRAMO	PROG. (Km.)
11	Huánuco	Marañon	Huacrachuco	Camino Vecinal	Afirmado	HU-500	Mollepampa- El Progreso - Huaychao	00+000 al 05+000
	Progresiva	Longitud (m)		Tipo de Daño	Código	Nivel de	Clase de	Ancho del



Del Km	Al Km	Pendiente (%)		del tipo de daño	Gravedad	Densidad	Deterioro (m)
DEFORMACIONES							
0+000.00	0+041.39	41.39	3.88	CION	1	3	1.5
0+041.39	0+096.51	55.12	17.07	EROSION	2	3	1.5
DEFORMACIONES							
0+096.51	0+134.98	38.47	3.62	CION	1	3	1.5
0+134.98	0+191.70	56.72	26.52	EROSION	2	3	1.5
DEFORMACIONES							
0+191.70	0+237.54	45.84	-21.50	EROSION	2	3	1.5
0+237.54	0+284.32	46.78	12.11	EROSION	2	3	1.5
0+284.32	0+381.08	96.76	7.58	EROSION	2	3	1.5
DEFORMACIONES							
0+381.08	0+445.94	64.86	-3.27	CION	1	3	1.5
0+445.94	0+500.00	54.06	8.57	EROSION	2	3	1.5
0+500.00	0+519.98	19.98	8.57	EROSION	2	3	1.5
0+519.98	0+610.54	90.56	16.60	EROSION	2	3	1.5
0+610.54	0+729.80	119.26	-1.25	BACHES	3	2	50
0+729.80	0+808.82	79.02	19.28	EROSION	2	3	1.5
0+808.82	0+862.23	53.41	9.09	EROSION	2	3	1.5
0+862.23	0+932.60	70.37	19.64	EROSION	2	3	1.5
0+932.60	0+992.50	59.90	-15.12	EROSION	2	3	1.5
0+992.50	1+000.00	7.50	-0.74	BACHES	3	3	10
1+000.00	1+091.80	91.80	-0.74	BACHES	3	3	50
1+091.80	1+143.81	52.01	11.85	EROSION	2	3	1.5
1+143.81	1+179.59	35.78	-18.89	EROSION	2	3	1.5
1+179.59	1+252.93	73.34	1.84	BACHES	3	2	55
DEFORMACIONES							
1+252.93	1+277.34	24.41	-5.18	CION	1	1	1.5
1+277.34	1+317.00	39.66	9.51	EROSION	2	3	1.5
1+317.00	1+333.82	16.82	0.92	BACHES	3	3	10
1+333.82	1+406.65	72.83	30.78	EROSION	2	3	1.5
1+406.65	1+459.76	53.11	6.33	EROSION	2	1	1.5
1+459.76	1+500.00	40.24	17.24	EROSION	2	3	1.5
1+500.00	1+514.45	14.45	17.24	EROSION	2	3	1.5
1+514.45	1+577.48	63.03	-1.67	BACHES	3	2	30
1+577.48	1+670.67	93.19	6.28	EROSION	1	3	1.5
1+670.67	1+804.29	133.62	22.65	EROSION	2	3	1.5
1+804.29	1+879.26	74.97	-22.87	EROSION	2	3	1.5
1+879.26	1+940.97	61.71	15.15	EROSION	2	3	1.5
1+940.97	1+976.54	35.57	24.62	EROSION	2	3	1.5
1+976.54	2+000.00	23.46	-27.86	EROSION	2	3	1.5
2+000.00	2+033.31	33.31	-27.86	EROSION	2	3	1.5



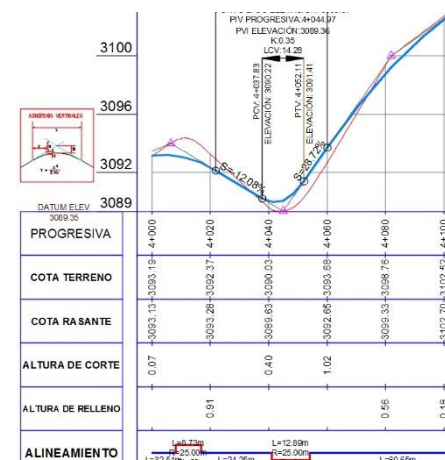
2+033.31	2+103.65	70.34	37.32	EROSION	2	3	1.5
2+103.65	2+200.98	97.33	27.85	EROSION	2	3	1.5
2+200.98	2+280.98	80.00	29.28	EROSION	2	3	1.5
2+280.98	2+322.91	41.93	35.33	EROSION	2	3	1.5
2+322.91	2+397.51	74.60	-42.73	EROSION	2	3	1.5
2+397.51	2+422.33	24.82	-29.38	EROSION	2	3	1.5
2+422.33	2+462.58	40.25	-13.91	EROSION	2	3	1.5
				DEFORMA			
2+462.58	2+500.00	37.42	3.68	CION	1	3	1.5
				DEFORMA			
2+500.00	2+501.20	1.20	3.68	CION	1	3	1.5
2+501.20	2+570.96	69.76	-22.49	EROSION	2	3	1.5
2+570.96	2+620.98	50.02	27.14	EROSION	2	3	1.5
2+620.98	2+663.94	42.96	16.53	EROSION	2	3	1.5
2+663.94	2+729.53	65.59	-34.02	EROSION	2	3	1.5
2+729.53	2+771.77	42.24	1.50	BACHES	3	2	25
2+771.77	2+801.53	29.76	24.68	EROSION	2	3	1.5
2+801.53	2+897.10	95.57	-15.39	EROSION	2	3	1.5
2+897.10	2+954.88	57.78	9.30	EROSION	2	3	1.5
2+954.88	3+000.00	45.12	43.25	EROSION	2	3	1.5
3+000.00	3+022.44	22.44	43.25	EROSION	2	3	1.5
3+022.44	3+060.97	38.53	-37.88	EROSION	2	3	1.5
3+060.97	3+095.34	34.37	-21.98	EROSION	2	3	1.5
3+095.34	3+125.56	30.22	-1.43	BACHES	3	2	1.5
3+125.56	3+180.98	55.42	25.05	EROSION	2	3	1.5
3+180.98	3+228.79	47.81	19.06	EROSION	2	3	1.5
3+228.79	3+251.64	22.85	-19.33	EROSION	2	3	1.5
3+251.64	3+273.56	21.92	-6.83	EROSION	1	3	1.5
3+273.56	3+336.70	63.14	9.03	EROSION	2	3	1.5
3+336.70	3+365.10	28.40	-26.24	EROSION	2	3	1.5
3+365.10	3+404.63	39.53	-12.79	EROSION	2	3	1.5
3+404.63	3+423.77	19.14	31.46	EROSION	2	3	1.5
				DEFORMA			
3+423.77	3+500.00	76.23	4.63	CION	2	3	1.5
				DEFORMA			
3+500.00	3+581.67	81.67	4.63	CION	1	3	1.5
3+581.67	3+642.71	61.04	19.16	EROSION	2	3	1.5
3+642.71	3+676.31	33.60	-1.60	BACHES	3	2	15
3+676.31	3+733.66	57.35	7.30	EROSION	2	3	1.5
3+733.66	3+768.15	34.49	-2.88	BACHES	3	3	16
3+768.15	3+815.71	47.56	31.44	EROSION	2	3	1.5
3+815.71	3+905.32	89.61	6.59	EROSION	2	3	1.5
3+905.32	4+000.00	94.68	8.53	EROSION	2	3	1.5
4+000.00	4+007.43	7.43	8.53	EROSION	2	3	1.5
4+007.43	4+045.95	38.52	-12.08	EROSION	2	3	1.5



4+045.95	4+083.00	37.05	28.72	EROSION	2	3	1.5
4+083.00	4+125.27	42.27	14.14	EROSION	2	3	1.5
4+125.27	4+163.90	38.63	-12.05	EROSION	2	3	1.5
4+163.90	4+227.58	63.68	-8.36	EROSION	2	3	1.5
4+227.58	4+268.19	40.61	2.65	BACHES	1	3	25
4+268.19	4+309.76	41.57	-7.64	EROSION	2	3	1.5
4+309.76	4+382.23	72.47	22.21	EROSION	2	3	1.5
4+382.23	4+432.00	49.77	27.63	EROSION	2	3	1.5
4+432.00	4+487.04	55.04	-37.33	EROSION	2	3	1.5
4+487.04	4+500.00	12.96	16.84	EROSION	2	3	1.5
4+500.00	4+512.00	12.00	16.84	EROSION	2	3	1.5
4+512.00	4+570.43	58.43	6.88	EROSION	2	3	1.5
4+570.43	4+615.47	45.04	2.66	BACHES	1	3	28
4+615.47	4+685.16	69.69	24.93	EROSION	2	3	1.5
4+685.16	4+772.51	87.35	22.98	EROSION	2	3	1.5
				DEFORMA			
4+772.51	4+825.12	52.61	4.46	CION	1	3	1.5
4+825.12	4+863.66	38.54	28.78	EROSION	2	3	1.5
4+863.66	4+912.85	49.19	-29.88	EROSION	2	3	1.5
4+912.85	4+933.14	20.29	-15.01	EROSION	2	3	1.5
				DEFORMA			
4+933.14	4+957.39	24.25	3.77	CION	1	3	1.5
4+957.39	4+977.99	20.60	13.30	EROSION	2	3	1.5
				DEFORMA			
4+977.99	5+000.00	22.01	-3.40	CION	1	3	1.5



Figura 58. Medición de daño EROSIÓN, G=3. Progresiva: 4+045.95 km.



Tratamiento de la muestra N° 12:

Tabla 21

Registro de Daños y Pendiente Geométrica Vertical del Tramo: Pinquiray - Challhuayog - Carancho – Panao.

5+744.59	5+772.36	27.77	47.42	EROSION	2	3	1.5
5+772.36	5+827.15	54.79	23.01	EROSION	2	3	1.5
5+827.15	5+858.97	31.82	-7.65	EROSION	2	2	0.9
5+858.97	5+906.01	47.04	-22.16	EROSION	2	3	1.5
5+906.01	5+955.64	49.63	16.98	EROSION	2	3	2
5+955.64	5+975.42	19.78	-28.60	EROSION	2	3	1.5
5+975.42	6+000.00	24.58	11.89	EROSION	2	3	1.2
6+000.00	6+003.49	3.49	11.89	EROSION	2	3	1.5
6+003.49	6+051.13	47.64	-20.51	EROSION	2	3	1.5
6+051.13	6+080.00	28.87	-35.06	EROSION	2	3	0.9
6+080.00	6+136.27	56.27	-15.32	EROSION	2	3	1.5
			175.6				
6+136.27	6+311.87	0	17.65	EROSION	2	3	1.5
6+311.87	6+351.40	39.53	-29.37	EROSION	2	3	0.9
6+351.40	6+404.56	53.16	11.96	EROSION	2	3	1.5
6+404.56	6+500.00	95.44	-22.92	EROSION	2	3	1.5
6+500.00	6+512.50	12.50	-22.92	EROSION	2	3	1
6+512.50	6+546.66	34.16	-0.84	BACHES	3	3	20
6+546.66	6+573.98	27.32	13.93	EROSION	2	3	1.2
6+573.98	6+612.40	38.42	-10.54	EROSION	2	3	1.5
			DEFORM				
6+612.40	6+660.84	48.44	-4.33	ACION	1	2	0.9
6+660.84	6+687.90	27.06	-10.36	EROSION	2	3	1.5
6+687.90	6+733.10	45.20	24.34	EROSION	2	3	1.5
6+733.10	6+773.95	40.85	14.82	EROSION	2	3	1.5
6+773.95	6+811.15	37.20	21.70	EROSION	2	3	1.5
6+811.15	6+888.59	77.44	-29.96	EROSION	2	3	1.3
			109.1				
6+888.59	6+997.75	6	25.92	EROSION	2	3	1.8
6+997.75	7+000.00	2.25	-40.63	EROSION	2	3	1.5
7+000.00	7+051.24	51.24	-40.63	EROSION	2	3	1.1
7+051.24	7+080.85	29.61	31.13	EROSION	2	3	0.9
7+080.85	7+134.87	54.02	17.73	EROSION	2	3	1
7+134.87	7+188.38	53.51	-23.90	EROSION	2	3	1.5
7+188.38	7+233.75	45.37	30.45	EROSION	2	3	1.5
7+233.75	7+277.77	44.02	-27.28	EROSION	2	3	1
7+277.77	7+313.33	35.56	-6.81	EROSION	1	3	1
7+313.33	7+357.90	44.57	-12.08	EROSION	2	3	1.5
7+357.90	7+431.13	73.23	10.37	EROSION	2	3	1.5
			120.4				
7+431.13	7+500.00	4	-16.64	EROSION	2	3	1
7+500.00	7+551.57	51.57	-16.64	EROSION	2	3	1.3
7+551.57	7+649.67	98.10	21.71	EROSION	2	3	1.2
7+649.67	7+748.95	99.28	-19.52	EROSION	2	3	1
7+748.95	7+785.20	36.25	8.51	EROSION	2	3	1.5



7+785.20	7+811.48	26.28	-21.95	EROSION	2	3	1
7+811.48	7+852.76	41.28	-40.05	EROSION	2	3	1.5
7+852.76	7+900.19	47.43	34.19	EROSION	2	3	0.9
7+900.19	7+979.98	79.79	-22.44	EROSION	2	3	1.5
7+979.98	8+000.00	20.02	28.51	EROSION	2	3	1.5
8+000.00	8+032.69	32.69	28.51	EROSION	2	3	0.9
8+032.69	8+083.10	50.41	-18.88	EROSION	2	3	1.5
8+083.10	8+107.79	24.69	27.73	EROSION	2	3	1.2
8+107.79	8+133.78	25.99	-19.47	EROSION	2	3	1.5
8+133.78	8+172.86	39.08	-33.95	EROSION	2	3	0.7
8+172.86	8+208.94	36.08	23.67	EROSION	2	3	1.5
8+208.94	8+277.36	68.42	-24.22	EROSION	2	3	0.8
8+277.36	8+323.51	46.15	-13.71	EROSION	2	3	1.5
				DEFORM			
8+323.51	8+386.76	63.25	4.04	ACION	1	2	1.5
8+386.76	8+423.74	36.98	15.25	EROSION	2	3	0.6
8+423.74	8+483.32	59.58	-14.18	EROSION	2	3	1.5
8+483.32	8+500.00	16.68	8.54	EROSION	2	3	1.5
8+500.00	8+510.59	10.59	8.54	EROSION	2	3	1.8
8+510.59	8+540.00	29.41	-7.40	EROSION	2	2	1.5
8+540.00	8+582.03	42.03	0.00	BACHES	3	3	25
8+582.03	8+650.63	68.60	-8.05	EROSION	2	3	1.5
8+650.63	8+695.94	45.31	-17.77	EROSION	2	3	2
		148.4					
8+695.94	8+844.35	1	-10.40	EROSION	2	3	1.5
8+844.35	8+875.76	31.41	6.80	EROSION	2	1	2.1
8+875.76	8+928.61	52.85	-21.73	EROSION	2	3	1.5
8+928.61	8+957.98	29.37	17.30	EROSION	2	3	1.5
8+957.98	8+989.91	31.93	-37.84	EROSION	2	3	2.2
8+989.91	9+000.00	10.09	47.42	EROSION	2	3	1.5
9+000.00	9+037.33	37.33	47.42	EROSION	2	3	2.1
9+037.33	9+050.00	12.67	-39.69	EROSION	2	3	1.5
9+050.00	9+129.44	79.44	-10.16	EROSION	2	3	1.6
9+129.44	9+188.66	59.22	-18.33	EROSION	2	3	1.5
9+188.66	9+244.97	56.31	-22.64	EROSION	2	3	1.5
9+244.97	9+298.67	53.70	2.19	BACHES	3	1	30
9+298.67	9+349.31	50.64	-19.44	EROSION	2	3	1.5
9+349.31	9+400.07	50.76	9.88	EROSION	2	3	1.5
9+400.07	9+448.03	47.96	-16.82	EROSION	2	3	1.5
9+448.03	9+490.62	42.59	8.95	EROSION	2	3	1.7
9+490.62	9+500.00	9.38	-19.20	EROSION	2	3	1.5
9+500.00	9+540.08	40.08	-19.20	EROSION	2	3	1.5
9+540.08	9+567.70	27.62	12.43	EROSION	2	3	1.5
9+567.70	9+620.08	52.38	-44.74	EROSION	2	3	1.8
9+620.08	9+682.78	62.70	27.96	EROSION	2	3	1.5



9+682.78	9+746.05	63.27	-28.76	EROSION	2	3	1.5
9+746.05	9+770.81	24.76	-53.63	EROSION	2	3	1.5
9+770.81	9+806.55	35.74	21.71	EROSION	2	3	1.5
9+806.55	9+846.40	39.85	-28.94	EROSION	2	3	1.5
9+846.40	9+895.58	49.18	26.38	EROSION	2	3	1.5
9+895.58	9+913.65	18.07	-32.73	EROSION	2	3	1.5
9+913.65	9+966.30	52.65	-46.24	EROSION	2	3	1.5
9+966.30	9+976.52	10.22	14.40	EROSION	2	3	1.1
9+976.52	10+000.00	23.48	-8.42	EROSION	2	3	1.5



Figura 60. Medición de daño EROSIÓN, G=3. Progresiva: 6+311.87 km.

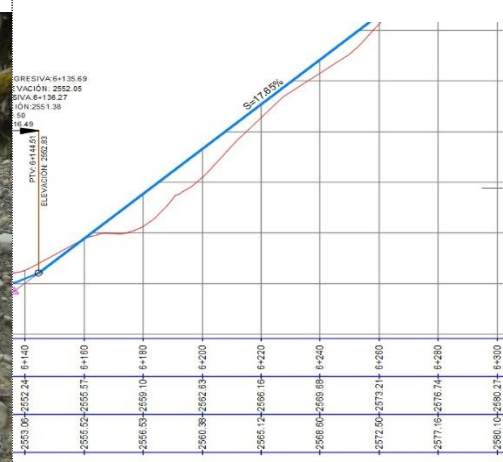


Figura 61. Digitalización de pendiente geométrica vertical 17.65%. Progresiva: 6+311.87 km.

Tratamiento de la muestra N° 13:

Tabla 22

Registro de Daños y Pendiente Geométrica Vertical del Tramo: Huarichaca - Pucajaga -Shihuapampa.

ÍTEM	REGIÓN	PROVINCIA	DISTRITO	JERARQUÍA	TIPO DE SUPERFICIE	RUTA	TRAMO	PROG. (Km.)

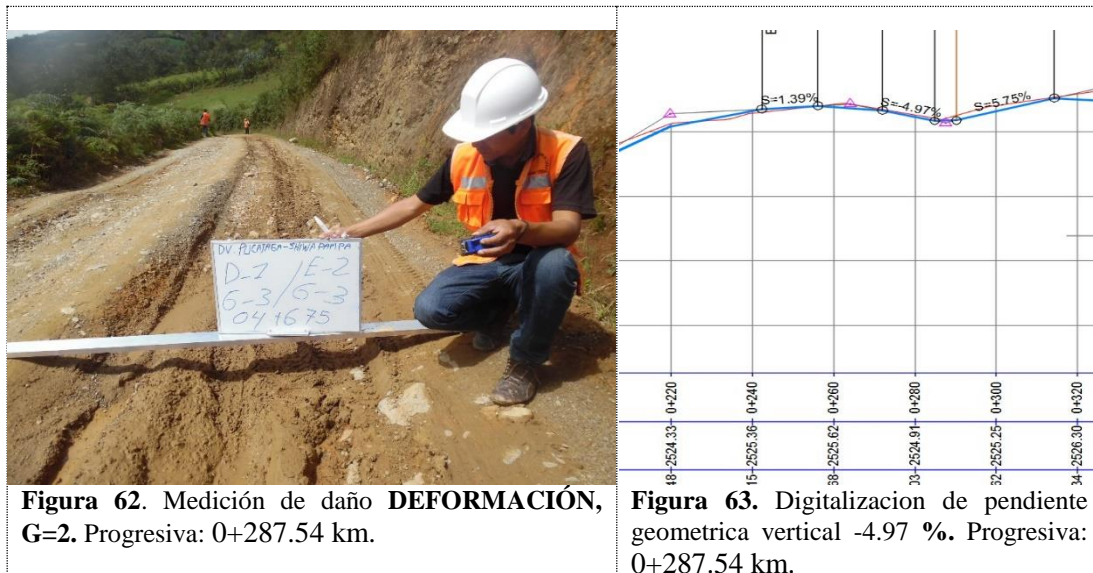


13	Huánuco	Pachitea	Moli no	Camino Vecinal	Afirm ado	HU- 902	Huarichaca - Pucajaga - Shihuapamp a.	00+000 al 05+000	
Progresiva Del Km	Al Km	Longitu d (m)	Pendi ente (%)	Tipo de Daño		Códig o del tipo de daño	Nivel de Grav edad	Númer o de Bache s	Ancho del Deterio ro (m)
0+000.00	0+036.92	36.92	-10.30	EROSION		2	3		1.8
0+036.92	0+058.57	21.65	20.96	EROSION		2	3		1.7
0+058.57	0+104.06	45.49	3.20	BACHES		3	1		1.5
0+104.06	0+147.21	43.15	-8.81	EROSION		2	3		1
0+147.21	0+173.21	26.00	-22.01	EROSION		2	3		1.5
0+173.21	0+219.71	46.50	15.18	EROSION		2	3		0.8
0+219.71	0+264.04	44.33	1.39	BACHES		3	2	23	
DEFORMAC									
0+264.04	0+287.54	23.50	-4.97	ION		1	2		1.5
0+287.54	0+335.67	48.13	5.75	EROSION		2	1		1
0+335.67	0+400.00	64.33	-22.71	EROSION		2	3		1.2
0+400.00	0+442.75	42.75	-10.07	EROSION		2	3		1.5
0+442.75	0+494.31	51.56	19.96	EROSION		2	3		1.3
0+494.31	0+500.00	5.69	-17.01	EROSION		2	3		1.2
0+500.00	0+536.92	36.92	-17.01	EROSION		2	3		1.2
0+536.92	0+567.74	30.82	7.67	EROSION		2	2		1.2
0+567.74	0+597.24	29.50	16.35	EROSION		2	3		1.2
0+597.24	0+675.33	78.09	8.43	EROSION		2	3		1.2
0+675.33	0+702.40	27.07	-7.31	EROSION		2	2		1.2
0+702.40	0+732.84	30.44	14.00	EROSION		2	3		1.2
0+732.84	0+773.54	40.70	26.93	EROSION		2	3		1.2
0+773.54	0+810.62	37.08	-17.30	EROSION		2	3		1.2
0+810.62	0+850.73	40.11	-0.20	BACHES		3	3	32	
0+850.73	0+878.75	28.02	10.58	EROSION		2	3		0.9
0+878.75	0+899.04	20.29	-8.58	EROSION		2	3		1.5
0+899.04	0+928.65	29.61	1.93	BACHES		3	2		0.8
0+928.65	0+953.10	24.45	24.45	EROSION		2	3		1.5
0+953.10	0+989.25	36.15	8.82	EROSION		2	3		1.3
0+989.25	1+000.00	10.75	-8.10	EROSION		2	3		1.5
1+000.00	1+011.02	11.02	-8.10	EROSION		2	3		1.2
1+011.02	1+043.16	32.14	-13.56	EROSION		2	3		1.1
1+043.16	1+069.99	26.83	14.55	EROSION		2	3		0.9
1+069.99	1+103.01	33.02	-31.22	EROSION		2	3		1.5



1+103.01	1+197.24	94.23	18.52	EROSION	2	3		1.3
DEFORMAC								
1+197.24	1+250.21	52.97	-5.76	ION	1	1		1.5
1+250.21	1+500.00	249.79	0.25	BACHES	3	3	156	
1+500.00	1+664.39	164.39	0.25	BACHES	3	3	123	
1+664.39	1+866.10	201.71	14.80	EROSION	2	3		14
1+866.10	1+911.58	45.48	23.27	EROSION	2	3		1.5
1+911.58	1+979.99	68.41	6.66	EROSION	2	1		1.2
1+979.99	2+000.00	20.01	29.47	EROSION	2	3		1
2+000.00	2+049.94	49.94	29.47	EROSION	2	3		1.5
DEFORMAC								
2+049.94	2+111.10	61.16	-4.81	ION	1	2		1
2+111.10	2+207.75	96.65	15.22	EROSION	2	3		1.5
2+207.75	2+268.32	60.57	0.00	BACHES	3	3	42	
2+268.32	2+500.00	231.68	11.65	EROSION	2	3		1.5
2+500.00	2+512.39	12.39	11.65	EROSION	2	3		0.9
DEFORMAC								
2+512.39	2+665.79	153.40	-1.18	BACHES	3	2	111	
2+665.79	2+762.91	97.12	14.39	EROSION	2	3		1.5
2+762.91	2+894.71	131.80	-13.13	EROSION	2	3		1.2
2+894.71	3+000.00	105.29	17.58	EROSION	2	3		1.5
3+000.00	3+127.44	127.44	17.58	EROSION	2	3		1.2
3+127.44	3+435.12	307.68	11.06	EROSION	2	3		1.3
DEFORMAC								
3+435.12	3+500.00	64.88	4.33	ION	1	2		0.9
DEFORMAC								
3+500.00	3+879.99	379.99	4.33	ION	1	2		0.9
3+879.99	4+000.00	120.01	25.99	EROSION	2	3		0.8
4+000.00	4+000.86	0.86	25.99	EROSION	2	3		1.1
4+000.86	4+110.54	109.68	12.70	EROSION	2	3		1.2
4+110.54	4+175.49	64.95	9.37	EROSION	2	3		1.7
4+175.49	4+329.33	153.84	20.99	EROSION	2	3		1.5
4+329.33	4+367.40	38.07	-0.34	BACHES	3	3	23	
4+367.40	4+483.96	116.56	21.90	EROSION	2	3		0.9
4+483.96	4+500.00	16.04	-34.09	EROSION	2	3		1.5
4+500.00	4+563.09	63.09	-34.09	EROSION	2	3		1.2
4+563.09	4+600.11	37.02	49.76	EROSION	2	3		1
4+600.11	4+671.42	71.31	21.17	EROSION	2	3		1
4+671.42	4+739.54	68.12	-18.28	EROSION	2	3		1.5
4+739.54	4+795.49	55.95	25.77	EROSION	2	3		1
4+795.49	4+854.12	58.63	13.03	EROSION	2	3		1.5
4+854.12	4+902.63	48.51	-24.26	EROSION	2	3		0.6
4+902.63	4+964.72	62.09	30.17	EROSION	2	3		1.5
4+964.72	5+000.00	35.28	-12.81	EROSION	2	3		1.5





Tratamiento de la muestra N° 14:

Tabla 23

Registro de Daños y Pendiente Geométrica Vertical del Tramo: Purupampa - Tunapuco - Huascapampa.

ÍTEM	REGIÓN	PROVINCIA	DISTRITO	JERARQUIA	TIPO DE SUPERFICIE	RUTA	TRAMO	PROG. (Km.)
14	Huánuco	Pachitea	Panao	Camino Vecinal	Afirmado	HU-894	Purupampa - Tunapuco	10+000 al 15+000
Huascapampa pa								
Progresiva			Longitud (m)	Pendiente (%)	Tipo de Daño	Código del tipo de daño	Nivel de Gravedad	Número de Baches
Del Km	Al Km							Ancho del Deterioro (m)
10+000.00	10+045.41	45.41	-15.78	EROSION	2	3		1.2
10+045.41	10+071.65	26.24	18.02	EROSION	2	3		1.6



DEFORM							
10+071.65	10+202.59	130.94	5.01	ACION	1	1	1.8
10+202.59	10+255.73	53.14	0.00	BACHES	3	3	52
10+255.73	10+276.64	20.91	33.37	EROSION	2	3	1.6
10+276.64	10+341.25	64.61	16.33	EROSION	2	3	1
10+341.25	10+408.28	67.03	-4.24	ACION	1	2	1.6
10+408.28	10+429.42	21.14	21.39	EROSION	2	3	1.6
10+429.42	10+500.00	70.58	6.86	EROSION	2	1	1.6
10+500.00	10+505.41	5.41	6.86	EROSION	2	1	1.6
10+505.41	10+533.02	27.61	23.19	EROSION	2	3	1.6
				DEFORM			
10+533.02	10+611.14	78.12	4.02	ACION	1	2	1.6
10+611.14	10+668.17	57.03	26.86	EROSION	2	3	1.6
10+668.17	10+735.80	67.63	0.33	BACHES	3	3	60
				DEFORM			
10+735.80	10+770.48	34.68	-3.33	ACION	1	3	0.9
10+770.48	10+820.01	49.53	-19.89	EROSION	2	3	0.9
10+820.01	10+864.76	44.75	34.54	EROSION	2	3	1.6
10+864.76	10+917.69	52.93	28.67	EROSION	2	3	0.9
10+917.69	10+975.77	58.08	-26.45	EROSION	2	3	1.6
10+975.77	11+000.00	24.23	24.09	EROSION	2	3	1.6
11+000.00	11+020.00	20.00	24.09	EROSION	2	3	1.6
11+020.00	11+055.12	35.12	8.98	EROSION	2	3	1.6
11+055.12	11+107.35	52.23	15.27	EROSION	2	3	1.6
11+107.35	11+163.08	55.73	33.91	EROSION	2	3	1.6
11+163.08	11+192.20	29.12	-9.88	EROSION	2	3	1.6
11+192.20	11+270.11	77.91	27.37	EROSION	2	3	1.6
11+270.11	11+294.40	24.29	-24.02	EROSION	2	3	1
				DEFORM			
11+294.40	11+325.88	31.48	-5.42	ACION	1	1	1.6
11+325.88	11+488.17	162.29	23.87	EROSION	2	3	1.6
				DEFORM			
11+488.17	11+500.00	11.83	-3.34	ACION	1	3	1.6
				DEFORM			
11+500.00	11+628.32	128.32	-3.34	ACION	1	3	1.6
11+628.32	11+743.40	115.08	19.51	EROSION	2	3	1.6
11+743.40	12+000.00	256.60	0.50	BACHES	3	3	241
12+000.00	12+008.87	8.87	0.50	BACHES	3	3	10
12+008.87	12+076.52	67.65	9.68	EROSION	2	3	1.6
12+076.52	12+136.20	59.68	28.37	EROSION	2	3	1.6
12+136.20	12+207.77	71.57	-1.97	BACHES	3	2	54
12+207.77	12+277.03	69.26	11.93	EROSION	2	3	1.6
12+277.03	12+318.47	41.44	25.40	EROSION	2	3	1.6



12+318.47	12+371.46	52.99	14.19	EROSION	2	3	0.9
12+371.46	12+415.13	43.67	0.78	BACHES	3	3	1.6
12+415.13	12+454.87	39.74	-40.86	EROSION	2	3	1.6
12+454.87	12+487.81	32.94	-24.11	EROSION	2	3	1.6
12+487.81	12+500.00	12.19	34.51	EROSION	2	3	1.6
12+500.00	12+539.45	39.45	34.51	EROSION	2	3	0.9
12+539.45	12+587.37	47.92	14.74	EROSION	2	3	1.6
12+587.37	12+651.61	64.24	18.76	EROSION	2	3	1.6
12+651.61	12+698.88	47.27	38.62	EROSION	2	3	1
12+698.88	12+734.62	35.74	-11.14	EROSION	2	3	1.6
12+734.62	12+758.58	23.96	25.41	EROSION	2	3	1.6
12+758.58	12+845.07	86.49	0.61	BACHES	3	3	45
12+845.07	12+871.83	26.76	-16.22	EROSION	2	3	1.6
12+871.83	12+937.26	65.43	11.84	EROSION	2	3	1.6
12+937.26	13+000.00	62.74	2.18	BACHES	3	1	39
13+000.00	13+057.58	57.58	2.18	BACHES	3	1	36
13+057.58	13+096.76	39.18	8.91	EROSION	2	3	1.6
				DEFORM			
13+096.76	13+135.47	38.71	-4.34	ACION	1	2	1.6
13+135.47	13+223.82	88.35	6.83	EROSION	2	1	1.6
13+223.82	13+294.58	70.76	10.06	EROSION	2	3	1.6
13+294.58	13+343.63	49.05	1.88	BACHES	3	2	32
13+343.63	13+390.92	47.29	15.29	EROSION	2	3	1.6
13+390.92	13+410.54	19.62	-0.70	BACHES	3	3	14
13+410.54	13+451.17	40.63	19.72	EROSION	2	3	1.6
13+451.17	13+500.00	48.83	0.10	BACHES	3	3	40
13+500.00	13+505.28	5.28	0.10	BACHES	3	3	4
				DEFORM			
13+505.28	13+582.12	76.84	4.92	ACION	1	2	1.6
13+582.12	13+664.12	82.00	10.68	EROSION	2	3	0.9
13+664.12	13+704.93	40.81	13.07	EROSION	2	3	1
13+704.93	13+760.00	55.07	8.14	EROSION	2	3	1.6
13+760.00	13+803.00	43.00	-2.16	BACHES	3	1	32
13+803.00	13+884.12	81.12	7.11	EROSION	2	2	0.9
13+884.12	13+933.52	49.40	1.37	BACHES	3	2	25
13+933.52	13+970.84	37.32	25.65	EROSION	2	3	1.6
13+970.84	14+000.00	29.16	9.47	EROSION	2	3	1.6
14+000.00	14+016.20	16.20	9.47	EROSION	2	3	1.6
14+016.20	14+070.22	54.02	24.60	EROSION	2	3	1.6
14+070.22	14+094.08	23.86	-25.99	EROSION	2	3	1.6
				DEFORM			
14+094.08	14+164.96	70.88	-4.09	ACION	1	2	1.6
14+164.96	14+293.50	128.54	-5.99	EROSION	2	1	1.6
14+293.50	14+320.98	27.48	16.10	EROSION	2	3	1.6



14+320.98	14+345.03	24.05	33.69	EROSION	2	3	1.6
14+345.03	14+387.12	42.09	8.20	EROSION	2	3	1.6
14+387.12	14+413.54	26.42	15.17	EROSION	2	3	1.6
14+413.54	14+453.23	39.69	-8.77	EROSION	2	3	1.6
14+453.23	14+484.80	31.57	10.70	EROSION	2	3	1.6
14+484.80	14+500.00	15.20	36.47	EROSION	2	3	1.6
14+500.00	14+518.77	18.77	36.47	EROSION	2	3	1.6
14+518.77	14+553.75	34.98	-24.61	EROSION	2	3	1.6
14+553.75	14+574.36	20.61	14.19	EROSION	2	3	1
14+574.36	14+592.97	18.61	-22.86	EROSION	2	3	1.6
14+592.97	14+629.93	36.96	-9.42	EROSION	2	3	1.6
14+629.93	14+681.65	51.72	-2.00	BACHES	3	2	30
14+681.65	14+715.99	34.34	3.15	BACHES	3	1	1.6
14+715.99	14+761.10	45.11	19.31	EROSION	2	3	1.6
14+761.10	14+797.36	36.26	-1.53	BACHES	3	2	1.6
14+797.36	14+822.47	25.11	11.33	EROSION	2	3	1.6
14+822.47	14+870.11	47.64	18.30	EROSION	2	3	1.6
				DEFORM			
14+870.11	14+906.26	36.15	-4.17	ACION	1	2	1.6
14+906.26	14+960.03	53.77	18.36	EROSION	2	3	0.9
14+960.03	15+000.00	40.00	9.40	EROSION	2	3	1



Figura 64. Medición de daño DEFORMACIÓN, G=2. Progresiva: 13+135.47 km.

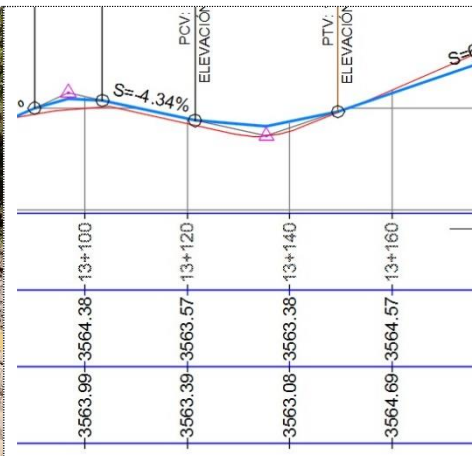


Figura 65. Digitalización de pendiente geométrica vertical -4.34%. Progresiva: 13+135.47 km.





Figura 66. Medición de daño EROSIÓN, G=3. Progresiva: 10+071.65 km.

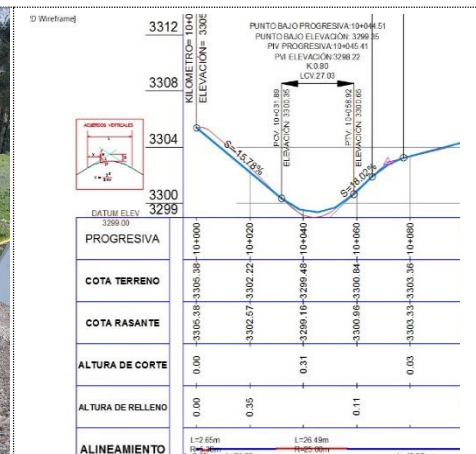


Figura 67. Digitalización de pendiente geométrica vertical **18.02%**. Progresiva: 10+071.65 km.

Tratamiento de la muestra N° 15:

Tabla 24

Registro de Daños y Pendiente Geométrica Vertical del Tramo: Huaman – Tipsa - Tipsa Alta.

ÍTEM	REGIÓN	PROVINCIA	DISTRITO	JERARQUIA	TIPO DE SUPERFICIE	RUTA	TRAMO	PROG. (Km.)	
15	Huánuco	Pachitea	Panao	Camino Vecinal	Afirmado	HU-875	Huaman – Tipsa - Tipsa Alta	00+000 al 05+000	
	Progresiva					Código del tipo de daño	Nivel de Gravedad	Número de Baches	Ancho del Deterioro (m)
Del Km	Al Km	Longitud (m)	Pendiente (%)	Tipo de Daño					
0+000.00	0+115.33	115.33	16.56	EROSION	2	3		1	
0+115.33	0+277.54	162.21	1.28	BACHES	3	2	134		
0+277.54	0+419.02	141.48	15.43	EROSION	2	3		0.9	
0+419.02	0+500.00	80.98	10.58	EROSION	2	3		1.8	
0+500.00	0+509.63	9.63	10.58	EROSION	2	3		1.2	
0+509.63	0+553.74	44.11	-12.77	EROSION	2	3		0.9	

0+553.74	0+595.53	41.79	-3.10	BACHES	3	1	1.8
0+595.53	0+646.58	51.05	23.19	EROSION	2	3	0.9
0+646.58	0+702.39	55.81	10.59	EROSION	2	3	1.8
				DEFORM			
0+702.39	0+748.23	45.84	-6.10	ACION	1	1	0.9
0+748.23	0+810.47	62.24	6.63	EROSION	2	1	1.8
0+810.47	0+899.35	88.88	22.42	EROSION	2	3	1.8
0+899.35	0+945.29	45.94	-23.13	EROSION	2	3	1.8
0+945.29	1+000.00	54.71	27.72	EROSION	2	3	1.8
1+000.00	1+045.83	45.83	27.72	EROSION	2	3	1.8
1+045.83	1+098.28	52.45	-18.04	EROSION	2	3	1.8
1+098.28	1+176.02	77.74	26.26	EROSION	2	3	1.8
1+176.02	1+213.55	37.53	-14.77	EROSION	2	3	1.8
1+213.55	1+290.29	76.74	-0.05	BACHES	3	3	54
1+290.29	1+340.01	49.72	-11.99	EROSION	2	3	1.2
1+340.01	1+393.24	53.23	1.25	BACHES	3	2	43
1+393.24	1+475.38	82.14	18.83	EROSION	2	3	1.8
1+475.38	1+500.00	24.62	-15.67	EROSION	2	3	1.8
1+500.00	1+530.93	30.93	-15.67	EROSION	2	3	1.8
1+530.93	1+572.45	41.52	23.31	EROSION	2	3	1.8
1+572.45	1+588.09	15.64	-10.73	EROSION	2	3	1.8
1+588.09	1+620.73	32.64	-0.54	BACHES	3	3	0.9
1+620.73	1+705.63	84.90	6.23	EROSION	2	1	1.8
1+705.63	1+741.57	35.94	-13.89	EROSION	2	3	0.9
1+741.57	1+793.58	52.01	38.82	EROSION	2	3	1.2
1+793.58	1+860.57	66.99	7.21	EROSION	2	2	1.8
				DEFORM			
1+860.57	1+962.35	101.78	-5.14	ACION	1	1	1.8
1+962.35	2+000.00	37.65	16.54	EROSION	2	3	1.8
2+000.00	2+022.60	22.60	16.54	EROSION	2	3	1.2
2+022.60	2+120.60	98.00	-23.74	EROSION	2	3	1.8
2+120.60	2+203.63	83.03	18.86	EROSION	2	3	1.8
2+203.63	2+267.50	63.87	40.15	EROSION	3	3	1.8
2+267.50	2+340.01	72.51	-32.19	EROSION	2	3	1.8
2+340.01	2+397.52	57.51	36.60	EROSION	2	3	1.8
2+397.52	2+472.80	75.28	-15.51	EROSION	2	3	1.2
2+472.80	2+500.00	27.20	0.37	BACHES	3	3	21
2+500.00	2+534.74	34.74	0.37	BACHES	3	3	20
2+534.74	2+620.81	86.07	27.55	EROSION	2	3	0.9
2+620.81	2+685.26	64.45	-17.31	EROSION	2	3	1.8
2+685.26	2+750.57	65.31	12.39	EROSION	2	3	0.9
2+750.57	2+859.76	109.19	20.92	EROSION	2	3	1.8
2+859.76	2+923.38	63.62	-12.26	EROSION	2	3	1.8

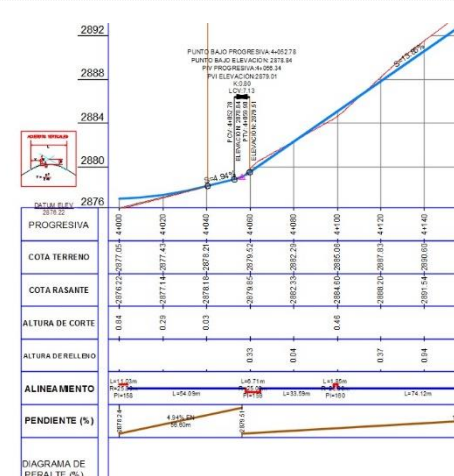


2+923.38	2+963.89	40.51	2.33	BACHES	3	1	41	
2+963.89	3+000.00	36.11	-16.83	EROSION	2	3		1.2
3+000.00	3+026.90	26.90	-16.83	EROSION	2	3		1.8
3+026.90	3+086.97	60.07	19.65	EROSION	2	3		1.8
3+086.97	3+127.36	40.39	57.82	EROSION	2	3		1.8
3+127.36	3+184.68	57.32	-39.83	EROSION	2	3		1.8
3+184.68	3+212.34	27.66	-23.51	EROSION	2	3		1.8
3+212.34	3+251.64	39.30	30.85	EROSION	2	3		1.8
3+251.64	3+283.14	31.50	-13.47	EROSION	2	3		1.2
3+283.14	3+339.48	56.34	14.27	EROSION	2	3		0.9
3+339.48	3+386.22	46.74	-18.58	EROSION	2	3		0.9
3+386.22	3+439.09	52.87	26.08	EROSION	2	3		1.8
3+439.09	3+477.90	38.81	-25.77	EROSION	2	3		1.8
3+477.90	3+500.00	22.10	-12.36	EROSION	2	3		1.8
3+500.00	3+510.36	10.36	-12.36	EROSION	2	3		1.8
3+510.36	3+632.67	122.31	27.65	EROSION	2	3		1.8
3+632.67	3+676.04	43.37	-18.83	EROSION	2	3		1.8
3+676.04	3+839.96	163.92	15.90	EROSION	2	3		1.2
3+839.96	3+877.47	37.51	-10.73	EROSION	2	3		1.8
				DEFORM				
3+877.47	3+999.76	122.29	-3.23	ACION	1	3		1.8
				DEFORM				
3+999.76	4+000.00	0.24	4.94	ACION	1	2		1.8
				DEFORM				
4+000.00	4+056.36	56.36	4.94	ACION	1	2		1.8
4+056.36	4+263.84	207.48	13.85	EROSION	2	3		1.8
4+263.84	4+393.49	129.65	-0.79	BACHES	3	3	121	
4+393.49	4+500.00	106.51	22.39	EROSION	2	3		1.8
4+500.00	4+500.03	0.03	22.39	EROSION	2	3		1.8
4+500.03	4+532.57	32.54	52.03	EROSION	2	3		1.8
4+532.57	4+578.27	45.70	-30.03	EROSION	2	3		1.8
				DEFORM				
4+578.27	4+667.59	89.32	-3.73	ACION	1	3		1.2
				DEFORM				
4+667.59	4+761.82	94.23	5.12	ACION	1	1		0.9
4+761.82	4+833.99	72.17	17.94	EROSION	2	3		1.8
				DEFORM				
4+833.99	4+880.03	46.04	-3.60	ACION	1	3		1.2
				DEFORM				
4+880.03	4+934.74	54.71	6.04	ACION	1	1		1.8
4+934.74	4+963.28	28.54	-12.09	EROSION	2	3		1.8
4+963.28	5+000.00	36.75	11.08	EROSION	2	3		1.2





Figura 68. Medición de daño EROSIÓN, G=3.
Progresiva: 4+263.84 km.



Capítulo III: Discusión de Resultados

Una vez aplicado las técnicas e instrumentos de recolección de datos, se procedió a explicar los resultados obtenidos en el capítulo II, mediante elementos de inferencia estadística. A continuación, se explica el procedimiento de análisis estadístico seguido para la prueba de hipótesis planteada en nuestra investigación.

3.1. Análisis Estadístico

Se realiza primero un análisis estadístico aplicado a resultados de las mediciones en campo y diseño geométrico digitalizado con el uso interactivo del software Microsoft Office Excel e IBM SPSS Statics 26.0.

A partir de datos dispersos de la muestra construiremos la tabla de frecuencias, medidas de tendencia central y grafico de frecuencias.

TABLA DE DISTRIBUCIÓN DE FRECUENCIAS

Partiremos desde los siguientes datos estadísticos de inicialización, donde:

n: Cantidad de datos de la muestra.

X_{min} : Dato mínimo.

$X_{máx}$: Dato máximo.

R= $X_{máx}-X_{min}$: (Rango).

K = 1+3.32*Log(n): (Número de clase o intervalos).

$C = \frac{R}{k}$: (Amplitud del intervalo).

Luego construiremos la tabla de frecuencias a partir de los datos estadísticos iniciales,



donde:

$L_i = X_{min}$: (Límite inferior).

$L_s = X_{máx}$: (Límite superior).

$X_i = \frac{L_s + L_i}{2}$: (Marca de clase).

f_i = Número de datos en el rango del límite superior e inferior: (Frecuencia absoluta).

F_i : Frecuencia absoluta acumulada.

$h_i = \frac{hf_i}{n}$: (Frecuencia relativa).

H_i : Frecuencia relativa acumulada.

$p_i = h_i * 100$: (Frecuencia relativa porcentual).

P_i : Frecuencia relativa porcentual acumulada.

DIAGRAMA DE DISTRIBUCIÓN DE FRECUENCIAS

A partir de la tabla de distribución de frecuencias construiremos los siguientes gráficos estadísticos:

Diagrama de Puntos.

Polígono de frecuencias.

Histograma de frecuencias.

Diagrama circular.

MEDIDAS DE TENDENCIA CENTRAL

Media aritmética o promedio: Es el punto donde se equilibra el número de datos.

$$\bar{X} = \sum_{i=1}^k (X_i * f_i)$$



Donde:

X_i : Marca de clase.

f_i : Frecuencia absoluta.

n: Cantidad de datos.

k: Numero de clase o intervalos.

Mediana: Es el dato donde el 50% esta antes y 50% después de la distribución.

$$Me = (L_{inf})_{Me} + \left[\frac{\left(\frac{n}{2} - F_{i-1} \right)}{f_i} \right] * c$$

Donde:

$(L_{inf})_{Me}$: Límite inferior de la clase mediana.

F_{i-1} : Frecuencia absoluta acumulada de la clase anterior.

f_i : Frecuencia absoluta.

n: Cantidad de datos.

c: Amplitud del intervalo.

Moda: Es el dato que más se repite es decir el punto más alto de toda la distribución.

$$Mo = (L_{inf})_{Mo} + \left(\frac{\Delta_1}{\Delta_1 + \Delta_2} \right) * c$$

Donde:

$(L_{inf})_{Mo}$: Límite inferior de la clase modal.

Δ_1 : Diferencia entre la frecuencia absoluta modal y la frecuencia absoluta premodal.



Δ_2 : Diferencia entre la frecuencia absoluta modal y la frecuencia absoluta postmodal.

c: Amplitud del intervalo.

Varianza:

$$s^2 = \frac{\sum_{i=1}^k [f_i * (X_i - \bar{X})^2]}{n - 1}$$

Donde:

X_i : Marca de clase.

\bar{X} : Media aritmética

f_i : Frecuencia absoluta.

n: Cantidad de datos.

k: Numero de clase o intervalos.

Desviación estándar: Es una medida de dispersión es decir son datos agrupados entorno a la media aritmética.

$$s = \sqrt{\frac{\sum_{i=1}^k [f_i * (X_i - \bar{X})^2]}{n - 1}}$$

Donde:

X_i : Marca de clase.

\bar{X} : Media aritmética

f_i : Frecuencia absoluta.

n: Cantidad de datos.

k: Numero de clase o intervalos.



Coeficiente de variación:

$$Cv = \frac{S}{\bar{X}}$$

3.2.Análisis Estadístico – Pendiente geométrica vertical y daños en caminos vecinales afirmados a nivel de plataforma.

De las tablas del 10 al 24 muestran los resultados de tabulación y procesamiento de datos de las pendientes geométricas verticales y daños en caminos vecinales afirmados a nivel de plataforma, a partir de ello se realizara el análisis estadístico respectivamente dispuestas de la manera siguiente:

Camino vecinal tramo: Tunya -Pampa Esperanza -Gorgor - Goshay.

Tabla 25

Registro de Datos Estadísticos de Inicialización. Fuente: (Elaboración Propia).

VALORES ESTADÍSTICOS		
Muestra	n	77
Minimo	Xmin	0
Maximo	Xmax	38.31
Rango	R	38.31
Intervalos	Kini.	7.26315
	Kfin.	13
Amplitud	cini.	2.94692
	cfin.	3

Tabla 26

Registro de Tabla de Distribución de Frecuencias. Fuente: (Elaboración Propia).



TABLA DE DISTRIBUCIÓN DE FRECUENCIAS										DAÑOS EN CAMINOS VECINALES			
PENDIENTE GEOMETRICA VERTICAL										DAÑOS EN CAMINOS VECINALES			
Límit e inf e rior (%)	Lím ite sup erio r (%)	Mar ca de Clas e	Frec uen cia abs olut a	Frecu encia acum ulada	Frecu encia relati va	Frecu encia relati va	Frecu encia relati va						
0.0	0.0	Li	Ls	Xi	fi	Fi	hi	Hi	pi	Pi	D	di	Di
1	0	3.00	1.5	21	21.00	0.27	0.27	27.27	%	27.27%	BACHES	27.27%	27.27%
2	3	6.00	4.5	10	31.00	0.13	0.40	12.99	%	40.26%	DEFORMACION	12.99%	40.26%
3	6	9.00	7.5	9	40.00	0.12	0.52	11.69	%	51.95%	EROSION	59.74%	100.0%
4	9	12.0	10.5	17	57.00	0.22	0.74	22.08	%	74.03%	EROSION		
5	12	15.0	13.5	5	62.00	0.06	0.81	6.49%		80.52%	EROSION		
6	15	18.0	16.5	4	66.00	0.05	0.86	5.19%		85.71%	EROSION		
7	18	21.0	19.5	2	68.00	0.03	0.88	2.60%		88.31%	EROSION		
8	21	24.0	22.5	1	69.00	0.01	0.90	1.30%		89.61%	EROSION		
9	24	27.0	25.5	4	73.00	0.05	0.95	5.19%		94.81%	EROSION		
10	27	30.0	28.5	1	74.00	0.01	0.96	1.30%		96.10%	EROSION		
11	30	33.0	31.5	0	74.00	0.00	0.96	0.00%		96.10%	EROSION		
12	33	36.0	34.5	2	76.00	0.03	0.99	2.60%		98.70%	EROSION		
13	36	39.0	37.5	1	77.00	0.01	1.00	1.30%		100.00%	EROSION		



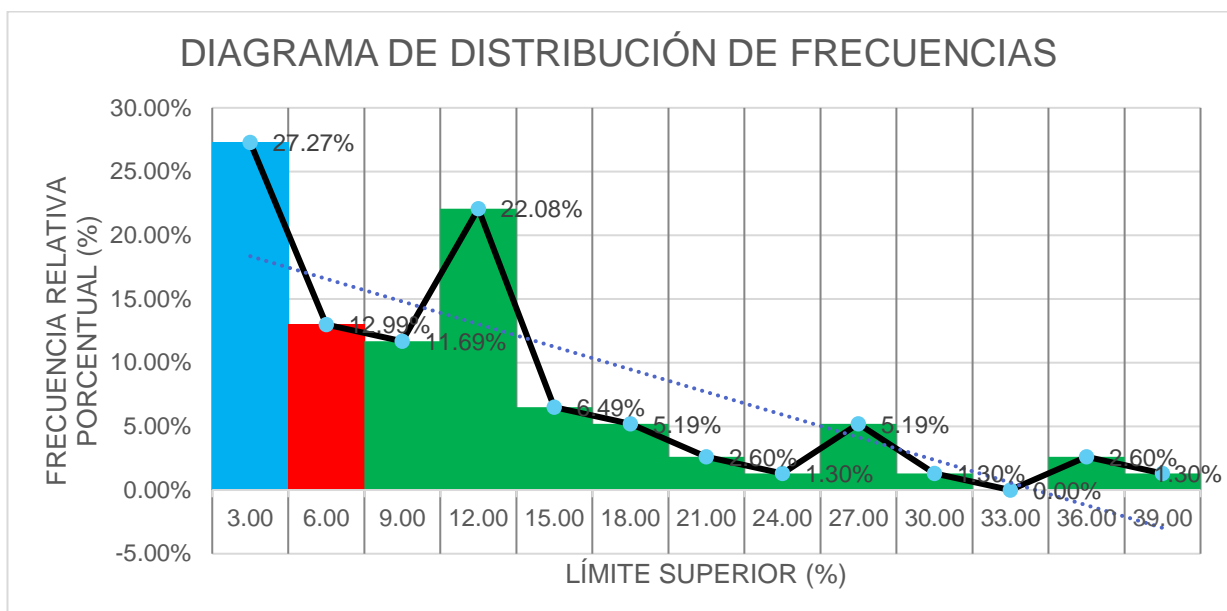


Figura 70 . Diagrama de barras de distribución de frecuencias porcentual, relación de daño porcentual en rango de pendiente geométrica vertical. Fuente: (Elaboración propia).

Tabla 27

Registro Medidas de Tendencia Central. Fuente: (Elaboración Propia).

MEDIDAS DE TENDENCIA CENTRAL					
Media	Mediana	Moda	Varianza	Des. Est.	Coef. Var.
\bar{X}	Me	Mo	s^2	s	Cv
9.64	8.22	0.00	79.54	8.92	0.93

Tabla 28

Frecuencia Relativa Porcentual de Pendiente Geométrica Vertical. Fuente: (Elaboración Propia).



PENDIENTE GEOMETRICA VERTICAL					
		Frecuencia	Porcentaje	Porcentaje válido	Porcentaje acumulado
Válido	PENDIENTE MENORES A 3%	21	27,3	27,3	27,3
	PENDIENTE ENTRE 3% Y 6%	10	13,0	13,0	40,3
	PENDIENTE MAYORES A 6%	46	59,7	59,7	100,0
	Total	77	100,0	100,0	

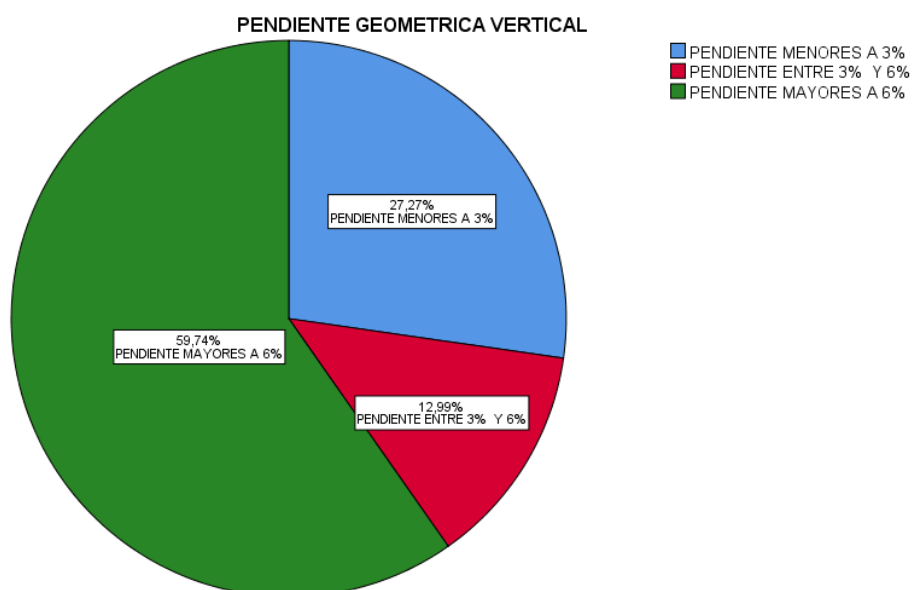


Figura 71. Diagrama circular de pendiente geometrica vertical. Fuente: (Elaboración propia).

Tabla 29

Frecuencia Relativa Porcentual de Daños en Camino Vecinal Afirmado. Fuente: (Elaboración Propia).



DAÑOS EN CAMINOS VECINALES					
		Frecuencia	Porcentaje	Porcentaje válido	Porcentaje acumulado
Válido	DEFORMACION	9	11,7	11,7	11,7
	EROSION	45	58,4	58,4	70,1
	BACHES	23	29,9	29,9	100,0
	Total	77	100,0	100,0	

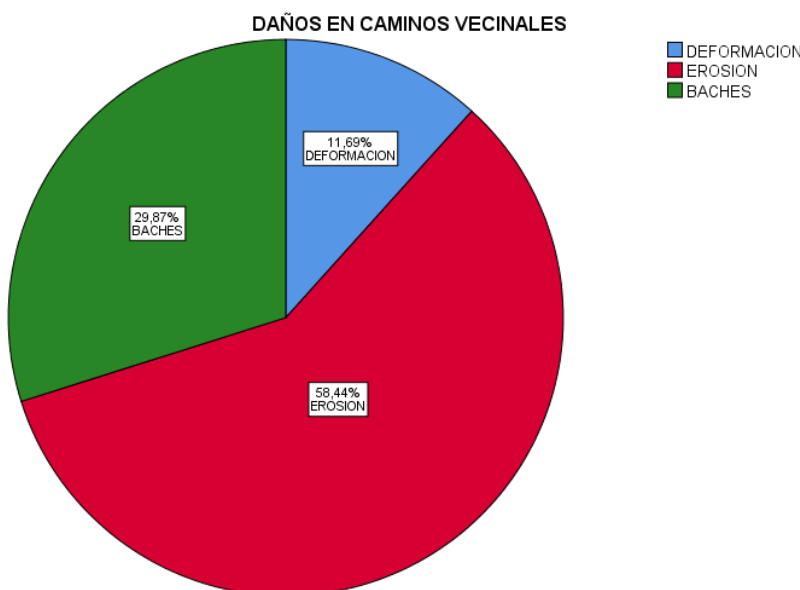


Figura 72. Diagrama circular de daños en caminos vecinales. Fuente: (Elaboración propia).



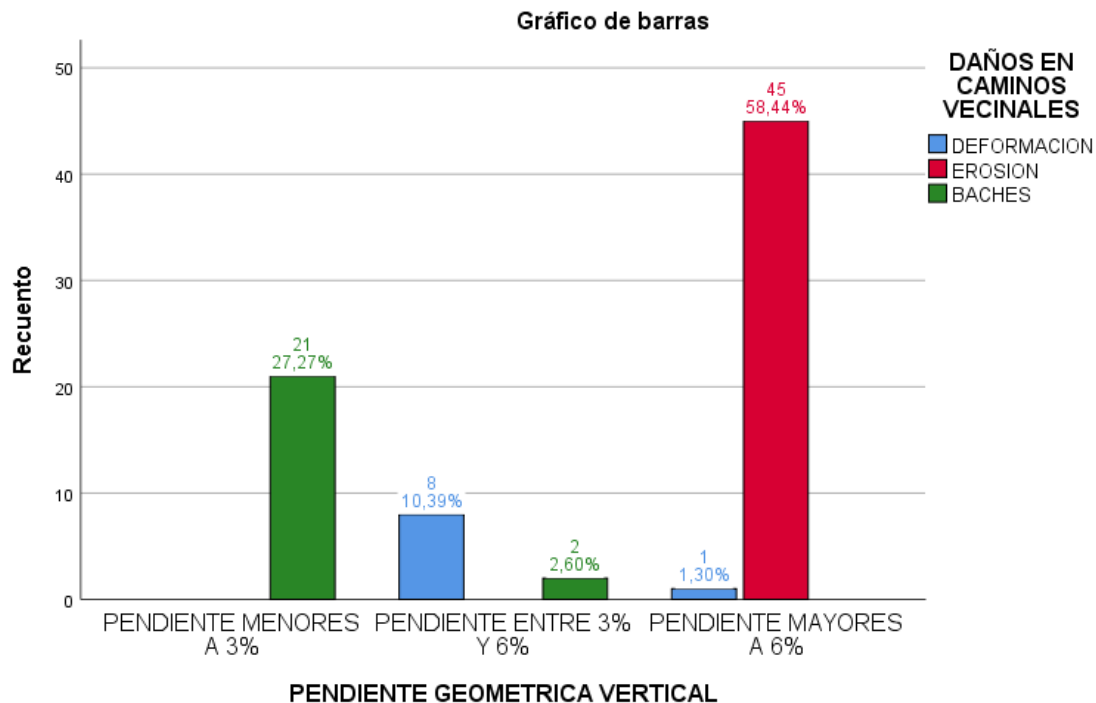


Figura 73. Relación porcentual de variables dependientes e independientes ordinales observadas y esperadas en diagrama de barras. Fuente: Procesamiento en IBM SPSS (Elaboración propia).

Camino vecinal tramo: Mariscal Castilla - Irma Chico.

Tabla 30

Registro de Datos Estadísticos de Inicialización. Fuente: (Elaboración Propia).

VALORES ESTADÍSTICOS		
Muestra	n	80
Minimo	Xmin	0
Maximo	Xmax	44.29
Rango	R	44.29
Intervalos	Kini.	7.31826
	Kfin.	15
Amplitud	cini.	2.95267
	cfin.	3

Tabla 31

Registro de Tabla de Distribución de Frecuencias. Fuente: (Elaboración Propia).

TABLA DE DISTRIBUCIÓN DE FRECUENCIAS



PENDIENTE GEOMETRICA VERTICAL										DAÑOS EN CAMINOS VECINALES			
Límit e infe rior (%)	Lím ite rio r (%)	Ma rca de Cl ase	Frecu encia absol uta	Frecu encia acum ulada	Frecu encia relati va								
Cl as e	Li	Ls	Xi	fi	Fi	hi	Hi	pi	Pi	D	di	Di	
1.			1.5					25.00	25.00				
0	0	3	0	20.00	20.00	0.25	0.25	%	%	BACHES	%		
2.			4.5					13.75	38.75	DEFOR MACIO	13.75	38.75	
0	3	6	0	11.00	31.00	0.14	0.39	%	%	N	%	%	
3.			7.5					10.00	48.75	EROSIO	61.25	100.0	
0	6	9	0	8.00	39.00	0.10	0.49	%	%	N	%	0%	
4.			10.					8.75	57.50	EROSIO			
0	9	12	50	7.00	46.00	0.09	0.58	%	%	N			
5.			13.					6.25	63.75	EROSIO			
0	12	15	50	5.00	51.00	0.06	0.64	%	%	N			
6.			16.					8.75	72.50	EROSIO			
0	15	18	50	7.00	58.00	0.09	0.73	%	%	N			
			19.					7.50	80.00	EROSIO			
7	18	21	50	6.00	64.00	0.08	0.80	%	%	N			
			22.					7.50	87.50	EROSIO			
8	21	24	50	6.00	70.00	0.08	0.88	%	%	N			
			25.					6.25	93.75	EROSIO			
9	24	27	50	5.00	75.00	0.06	0.94	%	%	N			
			28.					3.75	97.50	EROSIO			
10	27	30	50	3.00	78.00	0.04	0.98	%	%	N			
			31.					0.00	97.50	EROSIO			
11	30	33	50	0.00	78.00	0.00	0.98	%	%	N			
			34.					1.25	98.75	EROSIO			
12	33	36	50	1.00	79.00	0.01	0.99	%	%	N			
			37.					0.00	98.75	EROSIO			
13	36	39	50	0.00	79.00	0.00	0.99	%	%	N			
			40.					0.00	98.75	EROSIO			
14	39	42	50	0.00	79.00	0.00	0.99	%	%	N			
			43.					1.25	100.0	EROSIO			
15	42	45	50	1.00	80.00	0.01	1.00	%	0%	N			



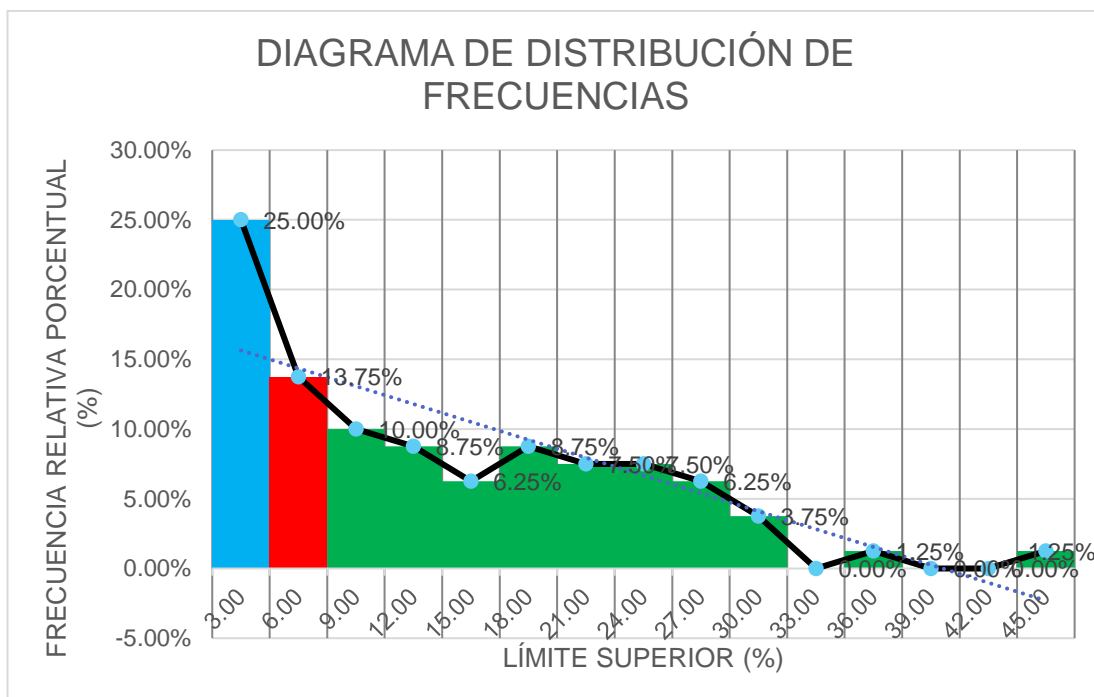


Figura 74. Diagrama de barras de distribución de frecuencias porcentual, relación de daño porcentual en rango de pendiente geométrica vertical. Fuente: (Elaboración propia).

Tabla 32

Registro Medidas de Tendencia Central. Fuente: (Elaboración Propia).

MEDIDAS DE TENDENCIA CENTRAL					
Media	Mediana	Moda	Varianza	Des. Est.	Coef. Var.
\bar{X}	M_e	M_o	s^2	s	C_v
11.51	9.33	0.00	95.91	9.79	0.85

Tabla 33

Frecuencia Relativa Porcentual de Pendiente Geométrica Vertical. Fuente: (Elaboración Propria).

PENDIENTE GEOMETRICA VERTICAL					
Válido	PENDIENTE MENORES A	Frecuencia	Porcentaje	Porcentaje válido	
				acumulado	
	3%	20	16,8	25,0	25,0



	PENDIENTE ENTRE 3% Y 6%	11	9,2	13,8	38,8
	PENDIENTE MAYORES A 6%	49	41,2	61,3	100,0
	Total	80	67,2	100,0	
Perdidos	Sistema	39	32,8		
	Total	119	100,0		

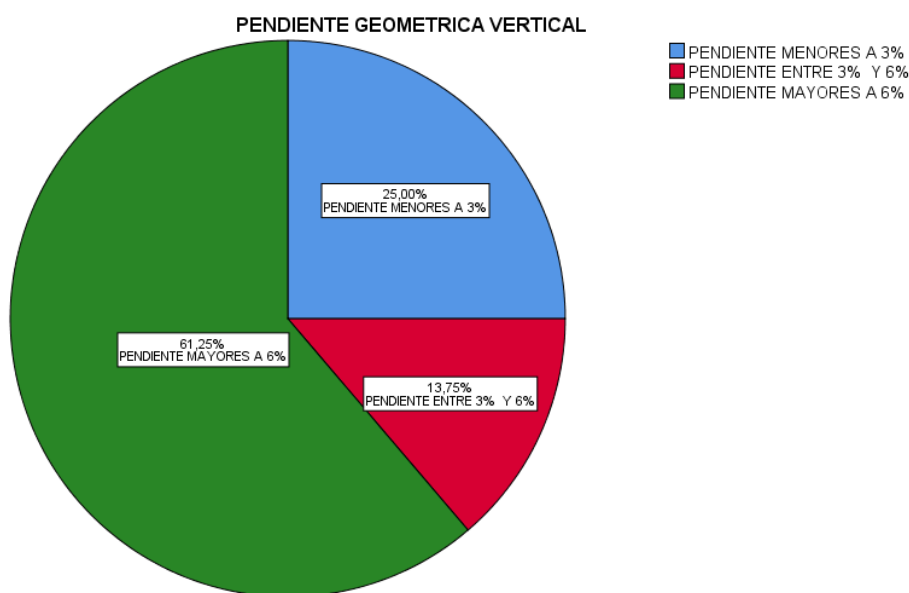


Figura 75. Diagrama circular de pendiente geométrica vertical. Fuente: (Elaboración propia).

Tabla 34

Frecuencia Relativa Porcentual de Daños en Camino Vecinal Afirmado. Fuente: (Elaboración Propia).

DAÑOS EN CAMINOS VECINALES					
		Frecuencia	Porcentaje	Porcentaje válido	Porcentaje acumulado
Válido	DEFORMACION	10	8,4	12,5	12,5
	EROSION	49	41,2	61,3	73,8
	BACHES	21	17,6	26,3	100,0
	Total	80	67,2	100,0	
Perdidos	Sistema	39	32,8		
	Total	119	100,0		



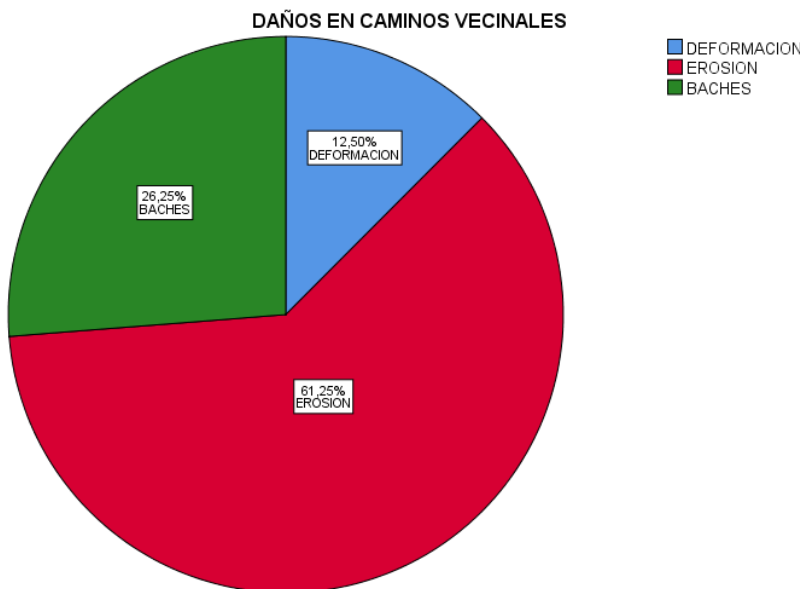


Figura 76. Diagrama circular de daños en caminos vecinales. Fuente: (Elaboración propia).

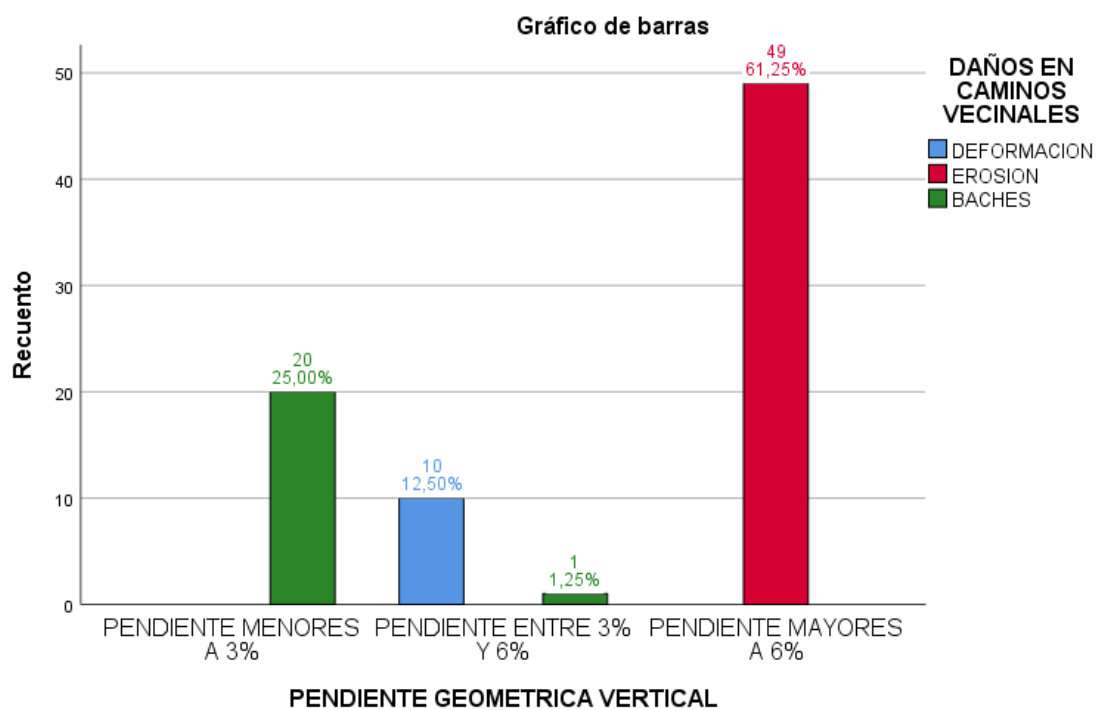


Figura 77. Relación porcentual de variables dependientes e independientes ordinales observadas y esperadas en diagrama de barras. Fuente: Procesamiento en IBM SPSS (Elaboración propia).

Camino vecinal tramo: Huamuco - Madre Mía.



Tabla 35

Registro de Datos Estadísticos de Inicialización. Fuente: (Elaboración Propia).

<u>VALORES ESTADÍSTICOS</u>		
Muestra	n	22
Minimo	Xmin	0
Maximo	Xmax	10.33
Rango	R	10.33
Intervalos	Kini.	5.45684
	Kfin.	4
Amplitud	cini.	2.5825
	cfin.	3

Tabla 36

Registro de Tabla de Distribución de Frecuencias. Fuente: (Elaboración Propia).

TABLA DE DISTRIBUCIÓN DE FRECUENCIAS										DAÑOS EN CAMINOS VECINALES			
PENDIENTE GEOMETRICA VERTICAL										Frecuencia Relativa			
Límit e inf e rior (%)	Límit e sup erio r (%)	Máx imit ase (%)	Frecuencia absoluta (%)	Frecuencia acumulada (%)	Frecuencia relativa (%)	Frecuencia absoluta (%)	Frecuencia acumulada (%)	Frecuencia relativa (%)	Frecuencia absoluta (%)	Daños (DAÑOS)	Frecuencia Relativa (%)	Frecuencia Relativa (%)	Frecuencia Relativa (%)
Cl as e	Li	Ls	Xi	f _i	F _i	hi	H _i	p _i	P _i	D	d _i	D _i	
1. 00	0	3.00	0	19.00	19.00	0.86	0.86	%	%	BACHES	86.36 %	86.36 %	
2. 00	0	6.00	0	0.00	19.00	0.00	0.86	0.00	86.36 %	DEFOR MACION	0.00 %	86.36 %	
3. 00	0	9.00	0	1.00	20.00	0.05	0.91	4.55	90.91 %	EROSION	13.64 %	100.0 %	
4. 00	0	12.0	10.50	2.00	22.00	0.09	1.00	9.09	100.0 %	EROSION			



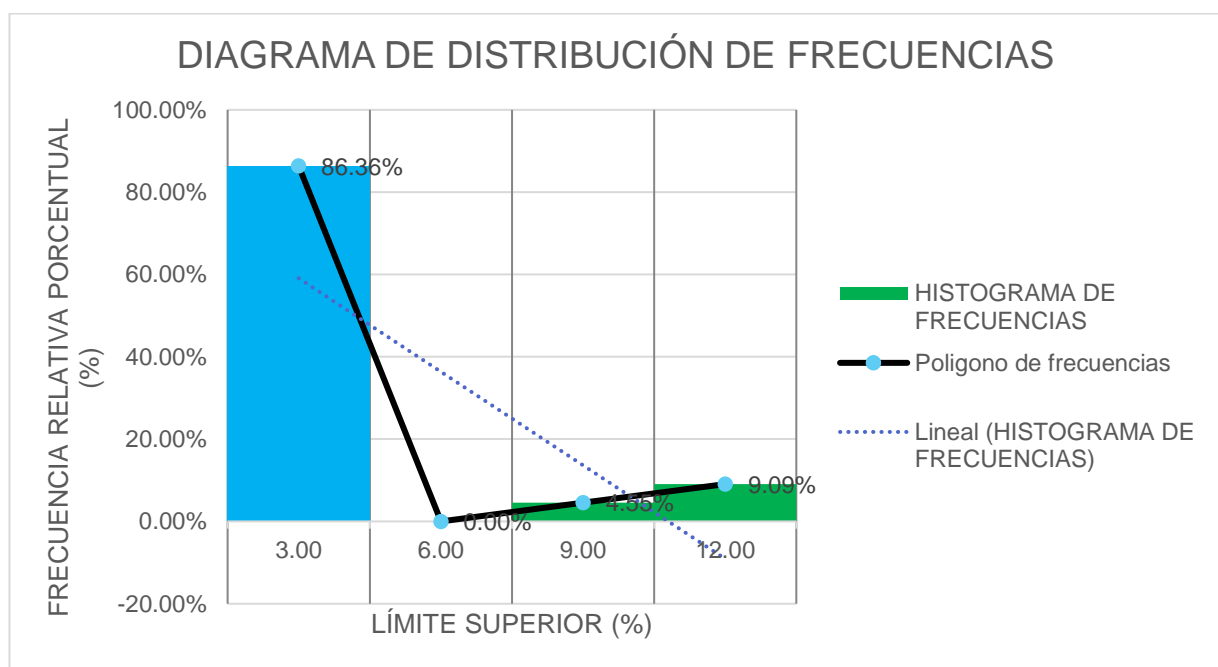


Figura 78. Diagrama de barras de distribución de frecuencias porcentual, relación de daño porcentual en rango de pendiente geométrica vertical. Fuente: (Elaboración propia).

Tabla 37

Registro Medidas de Tendencia Central. Fuente: (Elaboración Propia).

MEDIDAS DE TENDENCIA CENTRAL						
Media	Mediana	Moda	Varianza	Des. Est.	Coef. Var.	
\bar{X}	Me	Mo	s^2	s	Cv	
1.48	0.03	0.03	9.53	3.09	2.09	

Tabla 38

Frecuencia Relativa Porcentual de Pendiente Geométrica Vertical. Fuente: (Elaboración Propria).

PENDIENTE GEOMETRICA VERTICAL					
Válido		Frecuencia	Porcentaje	Porcentaje válido	Porcentaje acumulado
PENDIENTE MENORES A 3%		19	86,4	86,4	86,4
PENDIENTE MAYORES A 6%		3	13,6	13,6	100,0
Total		22	100,0	100,0	



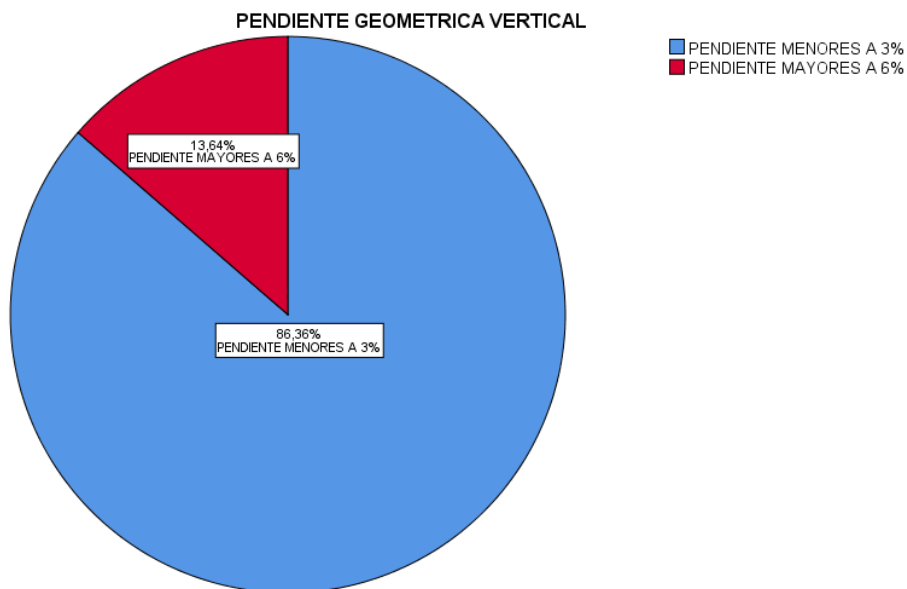


Figura 79. Diagrama circular de pendiente geométrica vertical. Fuente: (Elaboración propia).

Tabla 39

Frecuencia Relativa Porcentual de Daños en Camino Vecinal Afirmado. Fuente: (Elaboración Propia).

DAÑOS EN CAMINOS VECINALES					
		Frecuencia	Porcentaje	Porcentaje válido	Porcentaje acumulado
Válido	DEFORMACION	1	4,5	4,5	4,5
	EROSION	2	9,1	9,1	13,6
	BACHES	19	86,4	86,4	100,0
	Total	22	100,0	100,0	



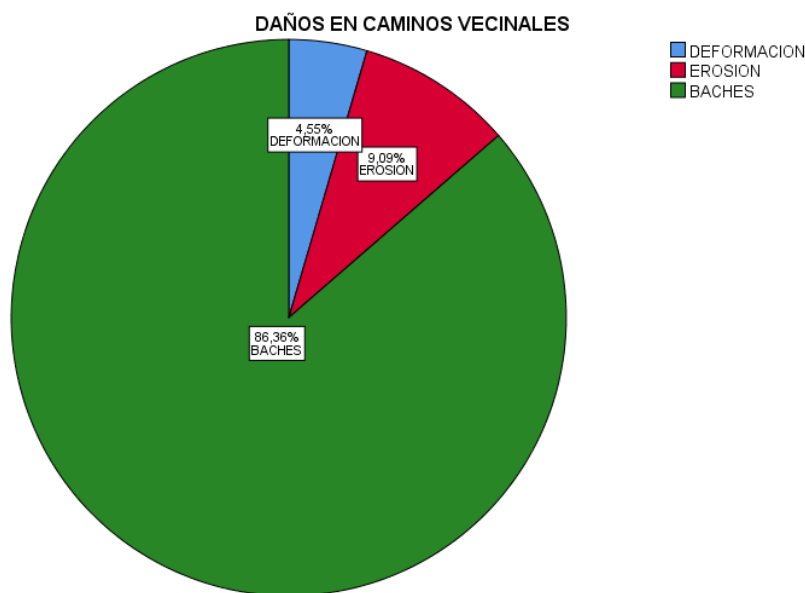


Figura 80. Diagrama circular de daños en caminos vecinales. Fuente: (Elaboración propia).

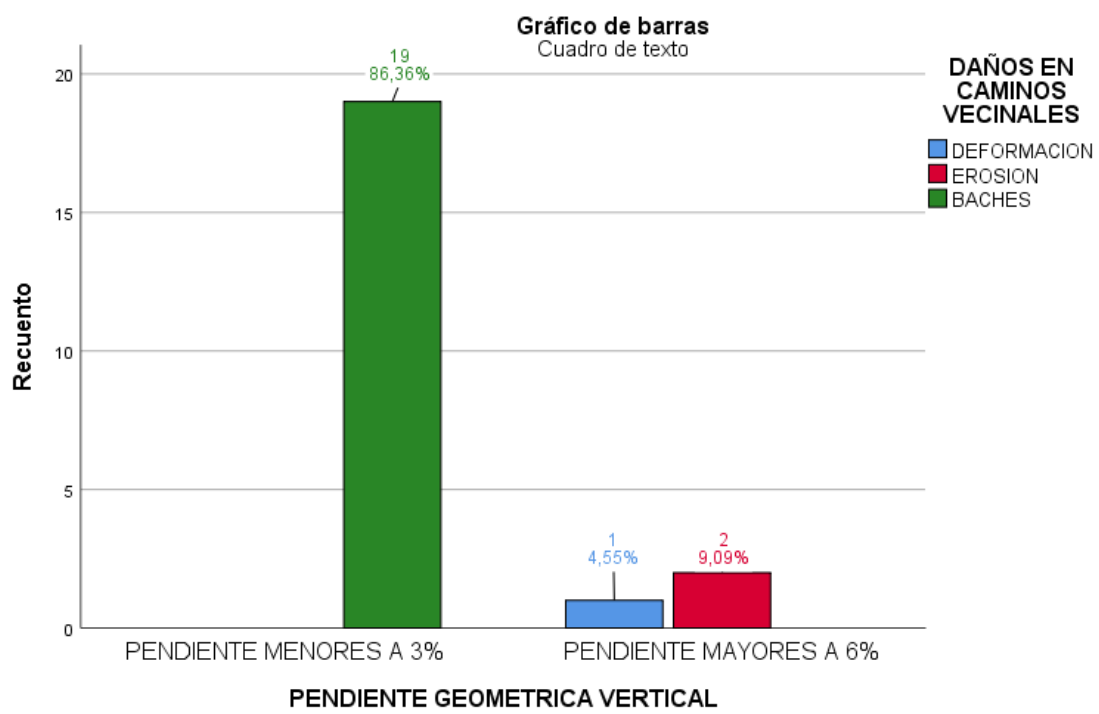


Figura 81. Relación porcentual de variables dependientes e independientes ordinales observadas y esperadas en diagrama de barras. Fuente: Procesamiento en IBM SPSS (Elaboración propia).

Camino vecinal tramo: Naranjal – Huamuco.



Tabla 40

Registro de Datos Estadísticos de Inicialización. Fuente: (Elaboración Propia).

VALORES ESTADÍSTICOS		
Muestra	n	44
Minimo	Xmin	0
Maximo	Xmax	16.46
Rango	R	16.46
Intervalos	Kini.	6.45626
	Kfin.	6
Amplitud	cini.	2.74333
	cfin.	3

Tabla 41

Registro de Tabla de Distribución de Frecuencias. Fuente: (Elaboración Propia).

TABLA DE DISTRIBUCIÓN DE FRECUENCIAS										DAÑOS EN CAMINOS VECINALES			
PENDIENTE GEOMETRICA VERTICAL										Frecuencia Relativa (%)			
Límit e inf e rior (%)	Límit e sup erio r (%)	Márcase (%)	Frecuencia absoluta (%)	Frecuencia acumulada (%)	Frecuencia relativa (%)	Frecuencia acumulada (%)	Frecuencia relativa (%)	Frecuencia acumulada (%)	Frecuencia relativa (%)	Daños (DAÑOS)	Frecuencia (%)	Frecuencia (%)	Frecuencia (%)
Cl as e	Li s	Xi	f _i	F _i	hi	H _i	p _i	P _i	D	di	Di	Di	Di
1. 00	0	3.00	0	29.00	29.00	0.66	0.66	%	65.91	BACHES	65.91	65.91	%
2. 00	0	6.00	0	6.00	35.00	0.14	0.80	%	13.64	DEFOR MACION	13.64	79.55	%
3. 00	0	9.00	0	8.00	43.00	0.18	0.98	%	18.18	EROSION	20.45	100.0	0%
4. 00	0	12.0	10.50	0.00	43.00	0.00	0.98	%	0.00	EROSION			
5. 00	0	15.0	13.50	0.00	43.00	0.00	0.98	%	0.00	EROSION			



6.00	15.00	18.00	16.50	1.00	44.00	0.02	1.00	2.27%	100.0%	EROSIO N
------	-------	-------	-------	------	-------	------	------	-------	--------	-------------

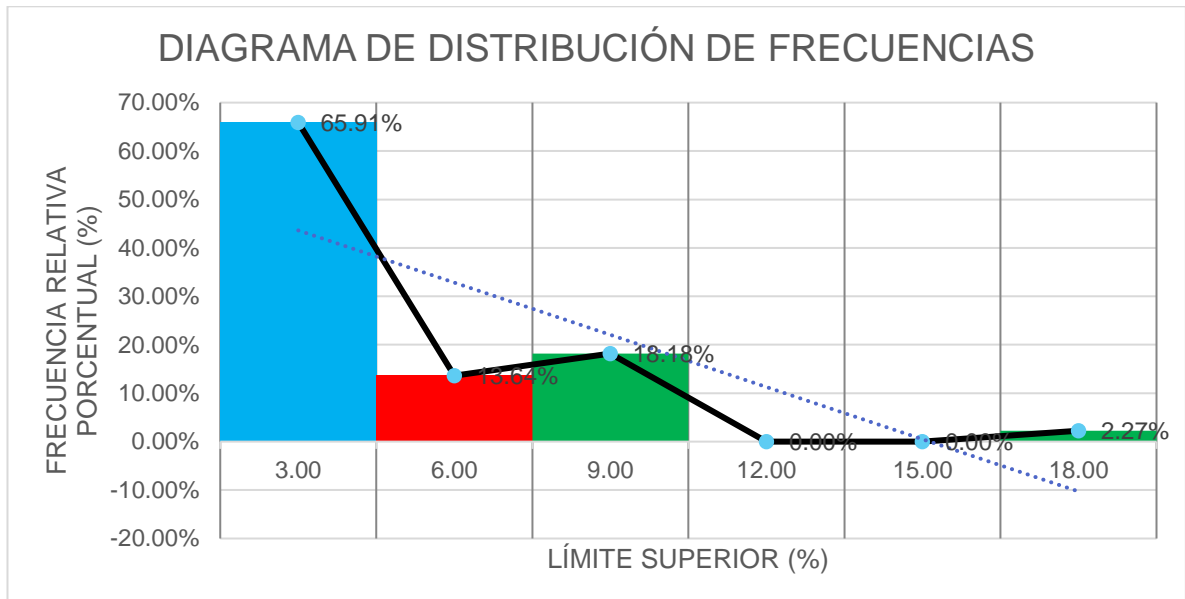


Figura 82. Diagrama de barras de distribución de frecuencias porcentual, relación de daño porcentual en rango de pendiente geométrica vertical. Fuente: (Elaboración propia).

Tabla 42

Registro Medidas de Tendencia Central. Fuente: (Elaboración Propia).

MEDIDAS DE TENDENCIA CENTRAL					
Media	Mediana	Moda	Varianza	Des. Est.	Coef. Var.
X̄	Me	Mo	s²	s	Cv
2.75	2.01	0.01	10.19	3.19	1.16

Tabla 43

Frecuencia Relativa Porcentual de Pendiente Geométrica Vertical. Fuente: (Elaboración Propia).

PENDIENTE GEOMETRICA VERTICAL			
Frecuencia	Porcentaje	Porcentaje válido	Porcentaje acumulado



Válido	PENDIENTE MENORES A 3%	30	66,7	66,7	66,7
	PENDIENTE ENTRE 3% Y 6%	6	13,3	13,3	80,0
	PENDIENTE MAYORES A 6%	9	20,0	20,0	100,0
	Total	45	100,0	100,0	

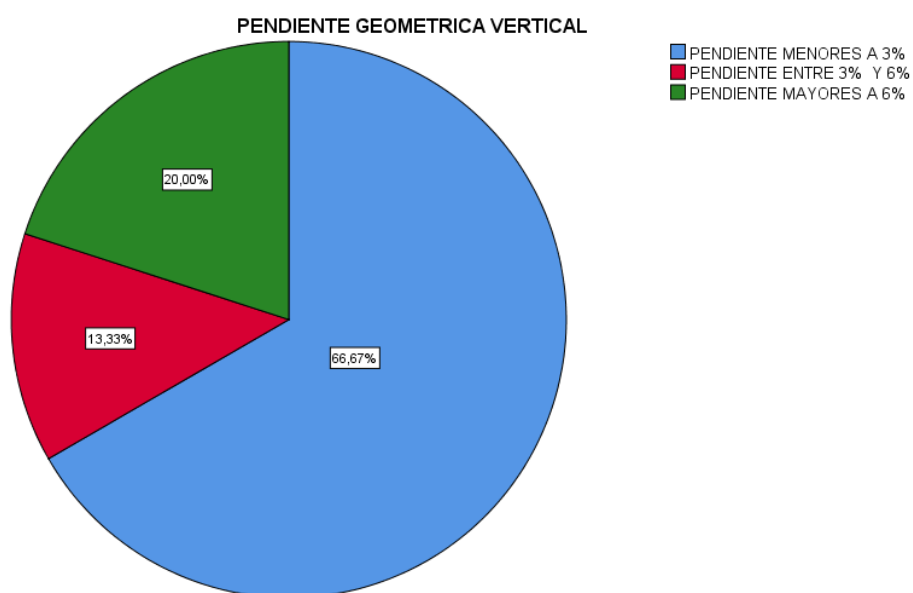


Figura 83. Diagrama circular de pendiente geométrica vertical. Fuente: (Elaboración propia).

Tabla 44

Frecuencia Relativa Porcentual de Daños en Camino Vecinal Afirmado. Fuente: (Elaboración Propia).

DAÑOS EN CAMINOS VECINALES				
			Porcentaje	
	Frecuencia	Porcentaje	Porcentaje válido	acumulado
Válido	DEFORMACION	5	11,1	11,1
	EROSION	9	20,0	20,0
	BACHES	31	68,9	68,9
	Total	45	100,0	100,0



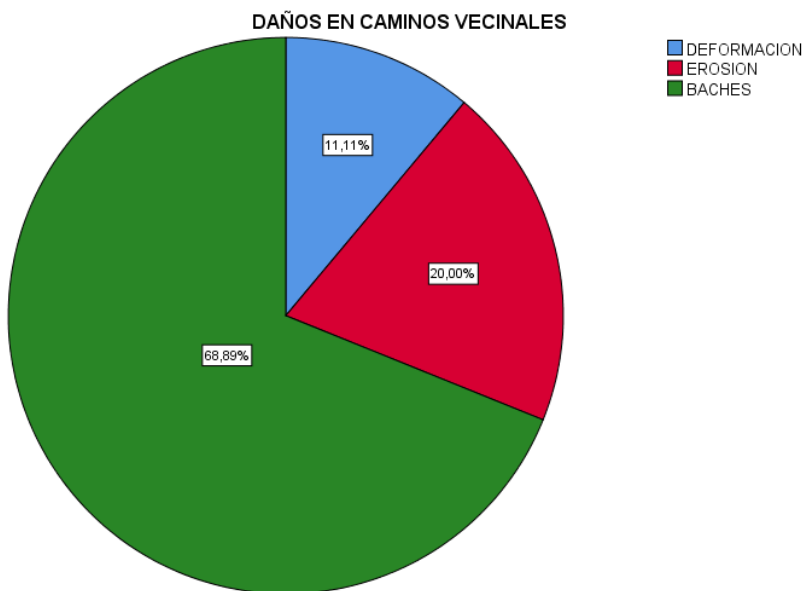


Figura 84. Diagrama circular de daños en caminos vecinales. Fuente: (Elaboración propia).

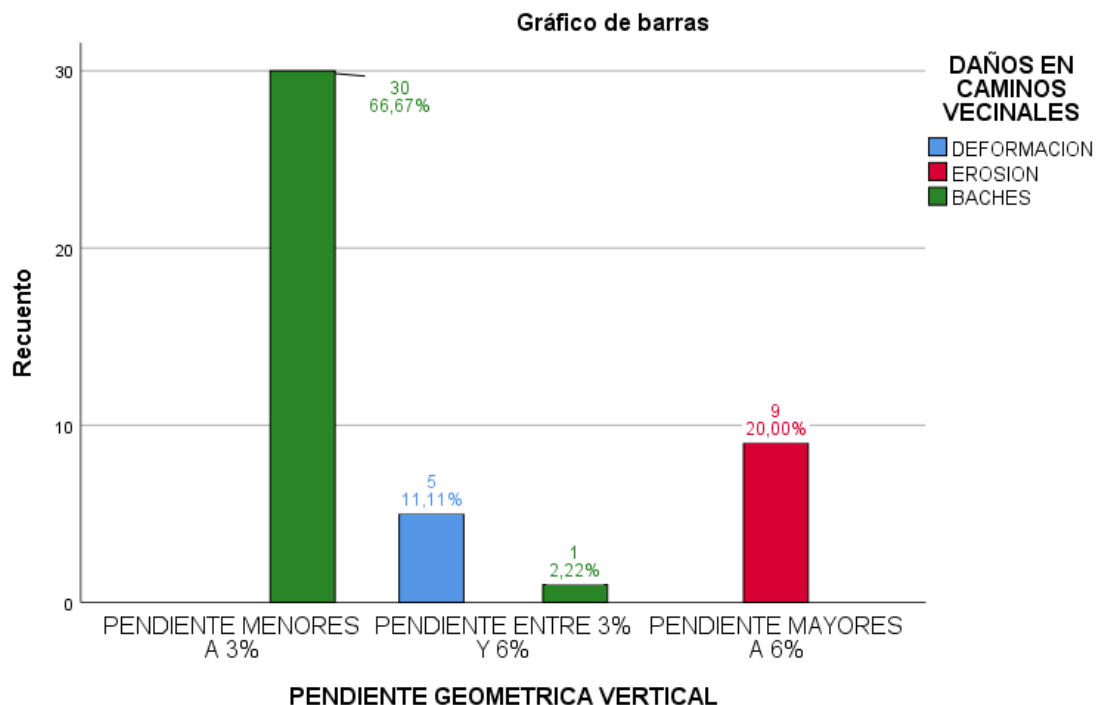


Figura 85. Relación porcentual de variables dependientes e independientes ordinales observadas y esperadas en diagrama de barras. Fuente: Procesamiento en IBM SPSS (Elaboración propia).

Camino vecinal tramo: Naranjal – La Morada



Tabla 45

Registro de Datos Estadísticos de Inicialización. Fuente: (Elaboración Propia).

VALORES ESTADÍSTICOS		
Muestra	n	37
Minimo	Xmin	0
Maximo	Xmax	13.08
Rango	R	13.08
Intervalos	Kini.	6.20643
	Kfin.	5
Amplitud	cini.	2.616
	cfin.	3

Tabla 46

Registro de Tabla de Distribución de Frecuencias. Fuente: (Elaboración Propria).

TABLA DE DISTRIBUCIÓN DE FRECUENCIAS										DAÑOS EN CAMINOS VECINALES			
PENDIENTE GEOMETRICA VERTICAL										DAÑOS EN CAMINOS VECINALES			
Límit e inf e rior (%)	Lím ite sup erio r (%)	Ma rca de Cl ase	Frecu encia absoluta (%)	Frecu encia acumulada (%)	Frecu encia relativa (%)	Frecu encia absoluta (%)	Frecu encia acumulada (%)	Frecu encia relativa (%)	Frecu encia absoluta (%)	Frecu encia acumulada (%)	Frecu encia relativa (%)	Frecu encia absoluta (%)	Frecu encia relativa (%)
0.00	0.300	1.5	24.00	24.00	0.65	0.65	64.86	64.86	%	%	BACHES	64.86	64.86%
2.00	0.600	4.5	9.00	33.00	0.24	0.89	24.32	89.19	%	%	DEFOR MACIO N	24.32	89.19%
3.00	0.900	7.5	3.00	36.00	0.08	0.97	8.11	97.30	%	%	EROSIO N	10.81	100.0%
4.00	0.0	12.0	10.00	36.00	0.00	0.97	0.00	97.30	%	%	EROSIO N		
5.00	0.00	15.0	13.00	37.00	0.03	1.00	2.70	100.0	%	%	EROSIO N		



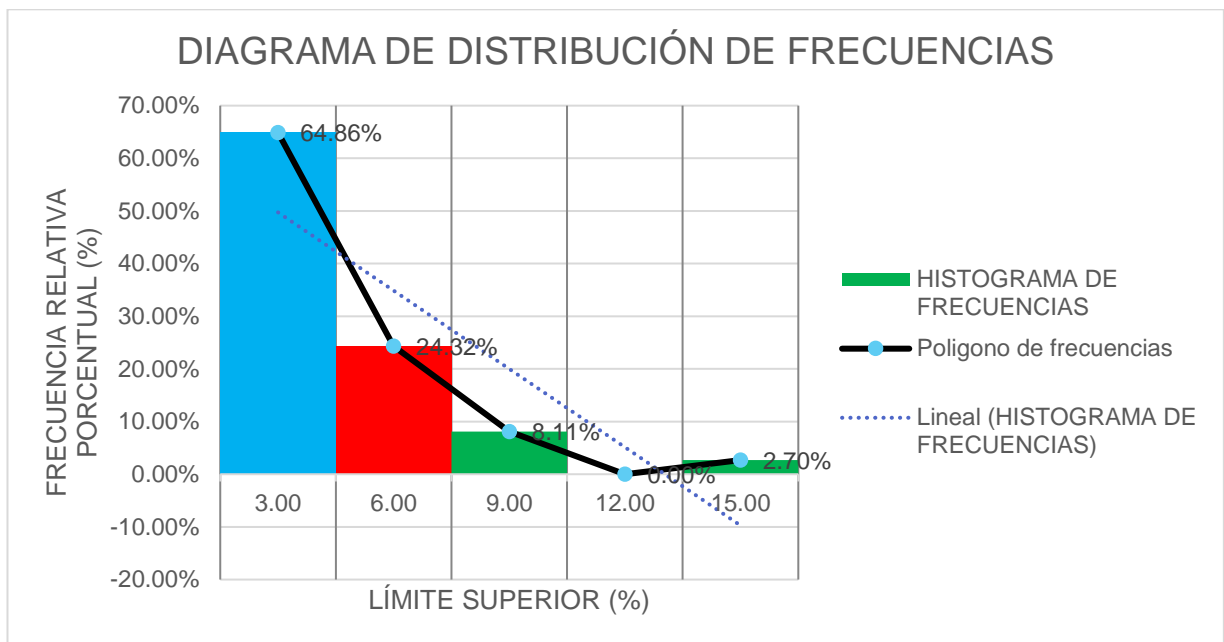


Figura 86. Diagrama de barras de distribución de frecuencias porcentual, relación de daño porcentual en rango de pendiente geométrica vertical. Fuente: (Elaboración propia).

Tabla 47

Registro Medidas de Tendencia Central. Fuente: (Elaboración Propia).

MEDIDAS DE TENDENCIA CENTRAL						
Media	Mediana	Moda	Varianza	Des. Est.	Coef. Var.	
\bar{X}	Me	Mo	s^2	s	Cv	
2.37	1.40	0.05	7.52	2.74	1.16	

Tabla 48

Frecuencia Relativa Porcentual de Pendiente Geométrica Vertical. Fuente: (Elaboración Propria).

PENDIENTE GEOMETRICA VERTICAL

Válido	PENDIENTE MENORES A	Frecuencia	Porcentaje	Porcentaje	
				Porcentaje válido	acumulado
	3%	24	63,2	64,9	64,9
	PENDIENTE ENTRE 3% Y	9	23,7	24,3	89,2
	6%				



	PENDIENTE MAYORES A 6%	4	10,5	10,8	100,0
	Total	37	97,4	100,0	
Perdidos	Sistema	1	2,6		
	Total	38	100,0		

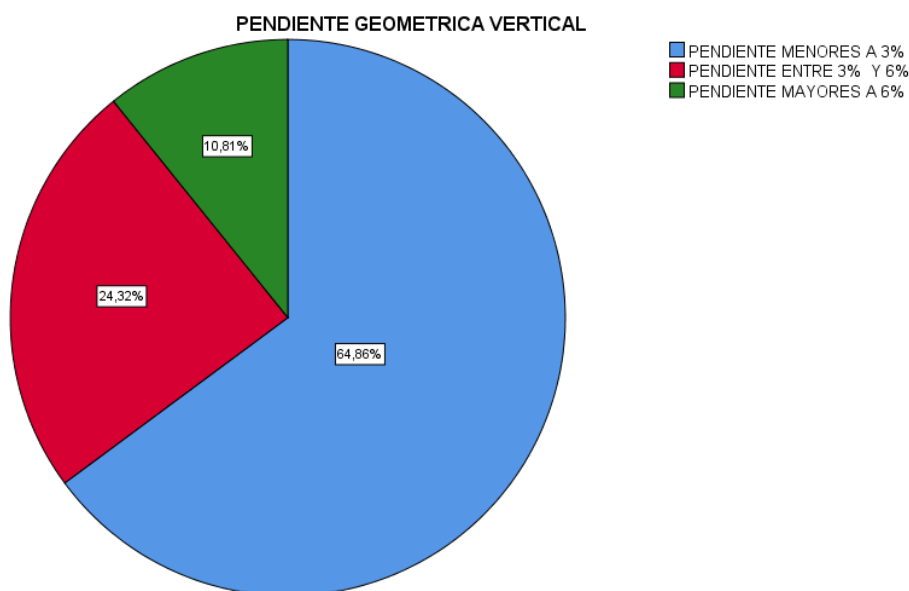


Figura 87. Diagrama circular de pendiente geométrica vertical. Fuente: (Elaboración propia).

Tabla 49

Frecuencia Relativa Porcentual de Daños en Camino Vecinal Afirmado. Fuente: (Elaboración Propia).

DAÑOS EN CAMINOS VECINALES					
		Frecuencia	Porcentaje	Porcentaje válido	Porcentaje acumulado
Válido	DEFORMACION	9	23,7	24,3	24,3
	EROSION	3	7,9	8,1	32,4
	BACHES	25	65,8	67,6	100,0
	Total	37	97,4	100,0	
Perdidos	Sistema	1	2,6		
	Total	38	100,0		



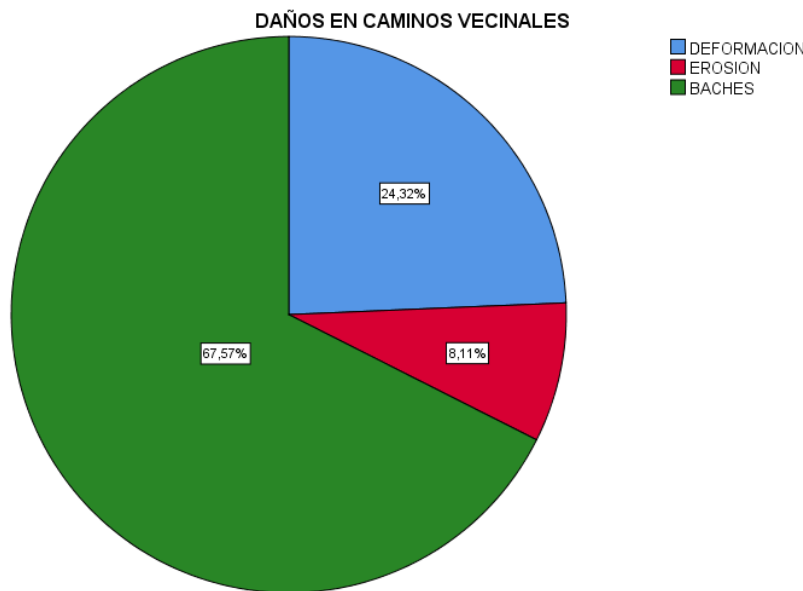


Figura 88. Diagrama circular de daños en caminos vecinales. Fuente: (Elaboración propia).

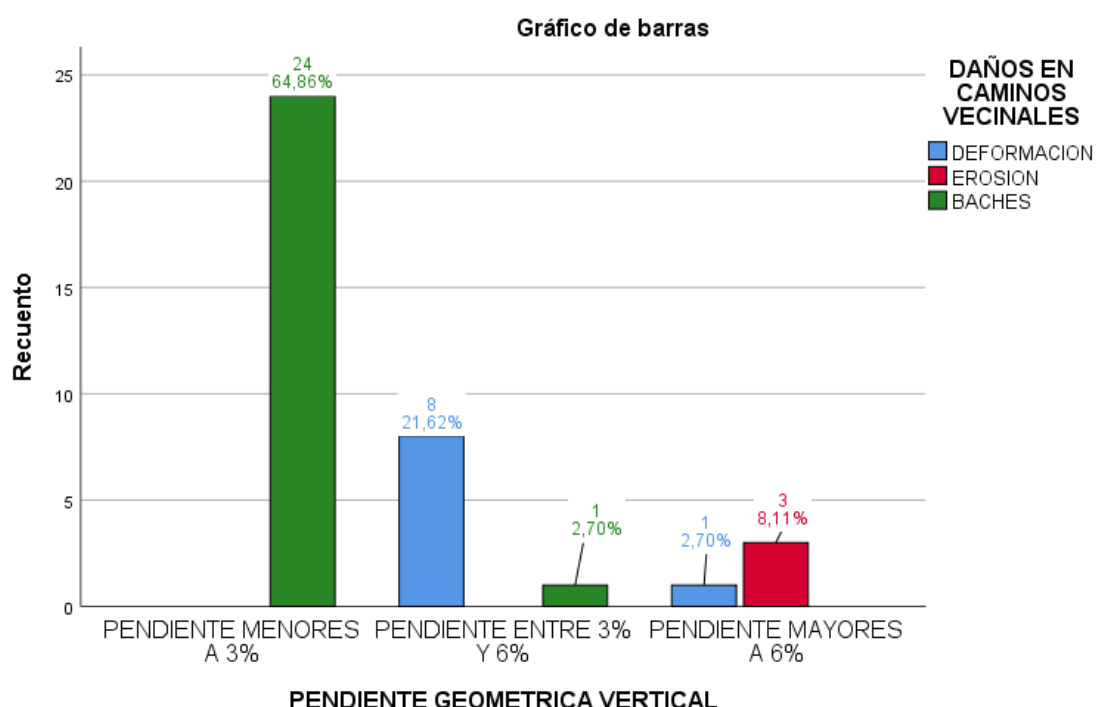


Figura 89. Relación porcentual de variables dependientes e independientes ordinales observadas y esperadas en diagrama de barras. Fuente: Procesamiento en IBM SPSS (Elaboración propia).



Camino vecinal tramo: San Juan de Culebra - Paraíso - Puerto Huallaga

Tabla 50

Registro de Datos Estadísticos de Inicialización. Fuente: (Elaboración Propia).

VALORES ESTADISTICOS		
Muestra	n	36
Minimo	Xmin	0
Maximo	Xmax	8.19
Rango	R	8.19
Intervalos	Kini.	6.16692
	Kfin.	3
Amplitud	cini.	2.73
	cfin.	3

Tabla 51

Registro de Tabla de Distribución de Frecuencias. Fuente: (Elaboración Propia).

TABLA DE DISTRIBUCIÓN DE FRECUENCIAS										DAÑOS EN CAMINOS VECINALES			
PENDIENTE GEOMETRICA VERTICAL													
Límit e inf e rior (%)	Lím sup erio r (%)	Ma rca de Cl ase	Frecu encia absoluta	Frecu encia acumulada	Frecu encia relativa	Frecu encia Daños	Frecu encia Daños	Frecu encia Daños	Frecu encia Daños				
Cl as e	Li s	Xi	f _i	F _i	hi	H _i	p _i	P _i	D	d _i	D _i		
1	0	3.00	1.5	25.00	25.00	0.69	0.69	69.44 %	69.44 %	BACHES	69.44 %	69.44 %	69.44 %
2	3	6.00	4.5	8.00	33.00	0.22	0.92	22.22 %	91.67 %	DEFOR MACIO N	22.22 %	91.67 %	91.67 %
3	6	9.00	7.5	3.00	36.00	0.08	1.00	8.33 %	100.0 %	EROSIO N	8.33 %	100.0 %	100.0 %



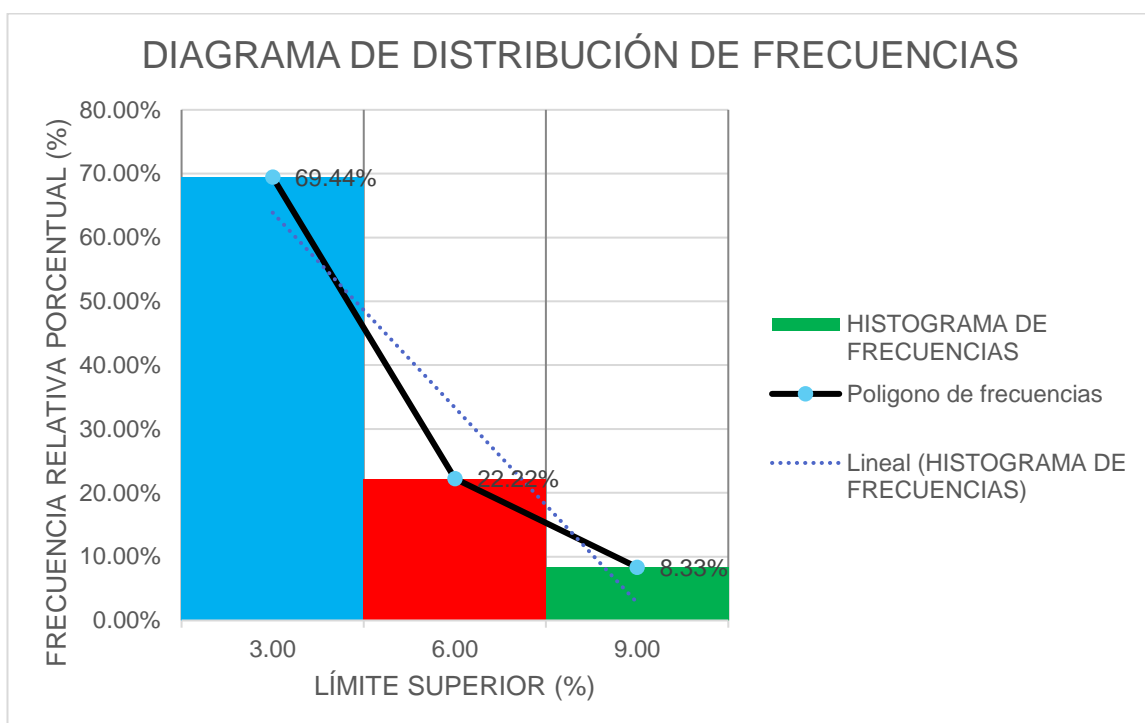


Figura 90. Diagrama de barras de distribución de frecuencias porcentual, relación de daño porcentual en rango de pendiente geométrica vertical. Fuente: (Elaboración propia).

Tabla 52

Registro Medidas de Tendencia Central. Fuente: (Elaboración Propia).

MEDIDAS DE TENDENCIA CENTRAL					
Media	Mediana	Moda	Varianza	Des. Est.	Coef. Var.
\bar{X}	Me	Mo	s^2	s	Cv
2.04	1.32	0.02	5.11	2.26	1.11

Tabla 53

Frecuencia Relativa Porcentual de Pendiente Geométrica Vertical. Fuente: (Elaboración Propria).

PENDIENTE GEOMETRICA VERTICAL

Válido	PENDIENTE MENORES A	Frecuencia	Porcentaje	Porcentaje válido		Porcentaje acumulado
					Porcentaje válido	
3%		25	69.4	69.4	69.4	69.4



PENDIENTE ENTRE 3% Y 6%	8	22,2	22,2	91,7
PENDIENTE MAYORES A 6%	3	8,3	8,3	100,0
Total	36	100,0	100,0	

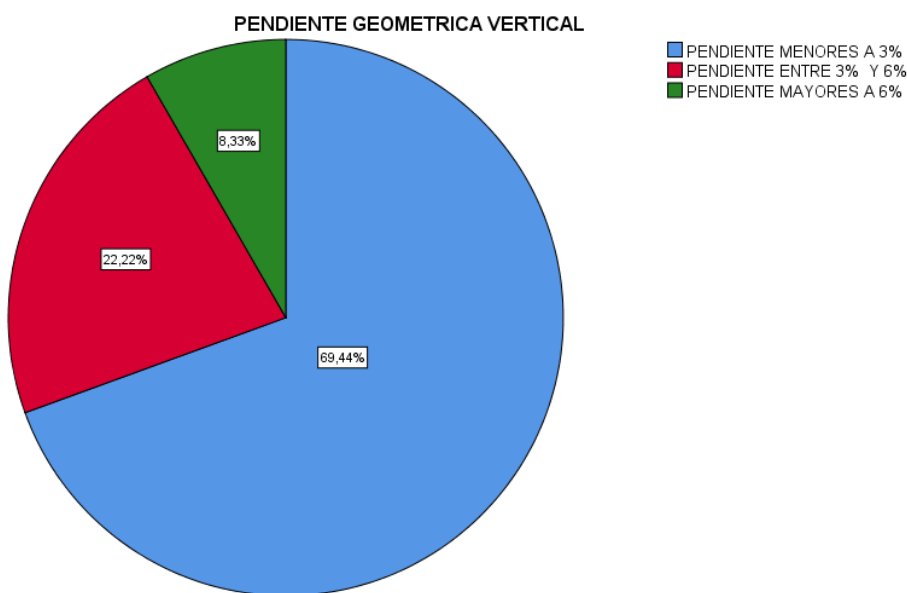


Figura 91. Diagrama circular de pendiente geométrica vertical. Fuente: (Elaboración propia).

Tabla 54

Frecuencia Relativa Porcentual de Daños en Camino Vecinal Afirmado. Fuente: (Elaboración Propia).

DAÑOS EN CAMINOS VECINALES					
Válido		Frecuencia	Porcentaje	Porcentaje	
				válido	acumulado
	DEFORMACION	9	25,0	25,0	25,0
	EROSION	3	8,3	8,3	33,3
	BACHES	24	66,7	66,7	100,0
	Total	36	100,0	100,0	



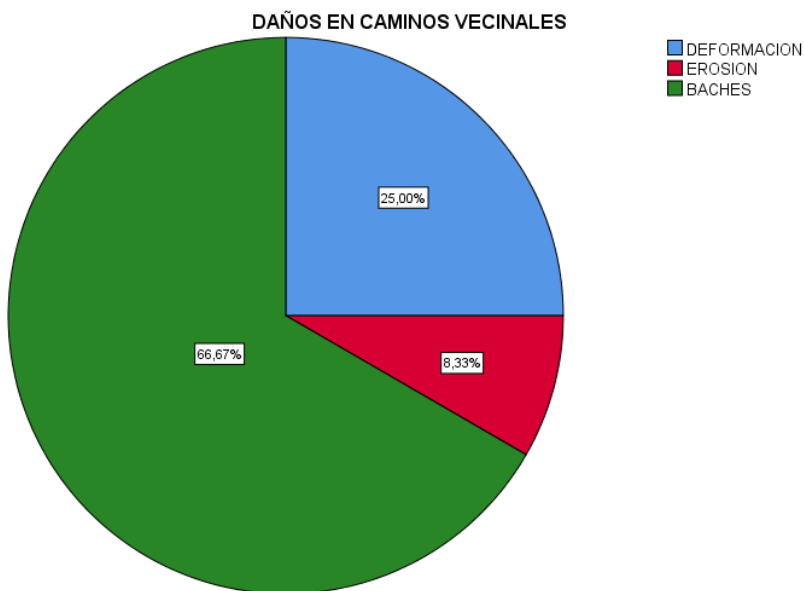


Figura 92. Diagrama circular de daños en caminos vecinales. Fuente: (Elaboración propia).

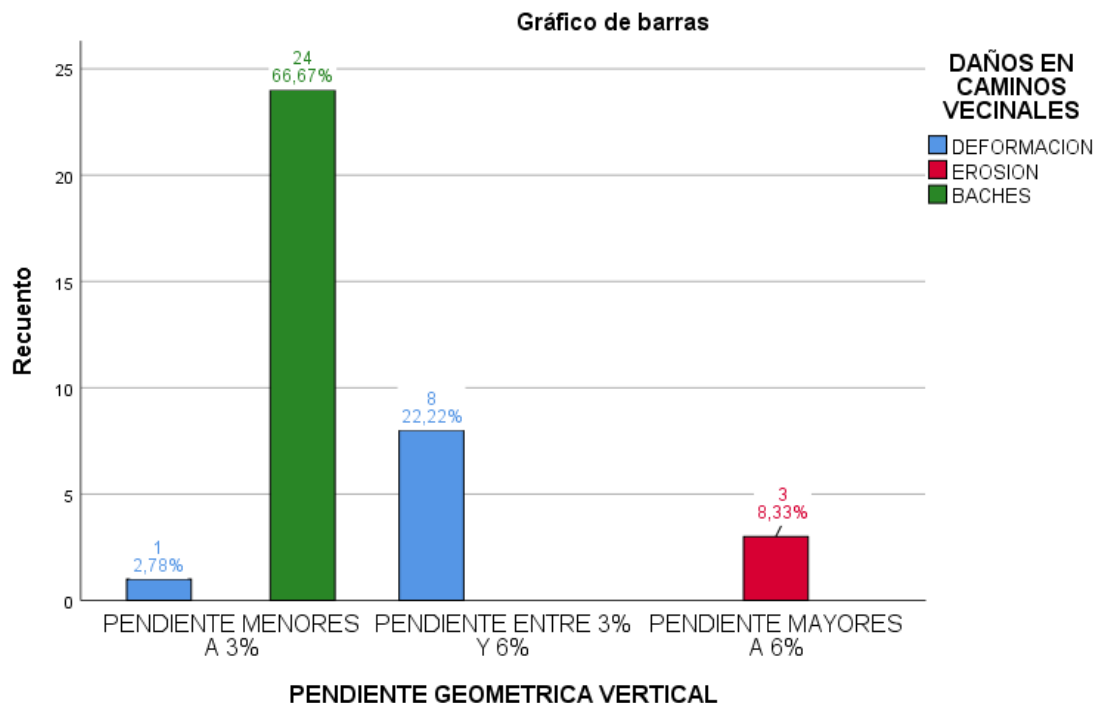


Figura 93. Relación porcentual de variables dependientes e independientes ordinales observadas y esperadas en diagrama de barras. Fuente: Procesamiento en IBM SPSS (Elaboración propia).

Camino vecinal tramo: Paraiso - Santa Rosa de Megote - Puerto Rio Huallaga



Tabla 55

Registro de Datos Estadísticos de Inicialización. Fuente: (Elaboración Propia).

<u>VALORES ESTADÍSTICOS</u>		
Muestra	n	35
Minimo	Xmin	0
Maximo	Xmax	24.27
Rango	R	24.27
Intervalos	Kini.	6.12631
	Kfin.	9
Amplitud	cini.	2.69667
	cfin.	3

Tabla 56

Registro de Tabla de Distribución de Frecuencias. Fuente: (Elaboración Propia).

TABLA DE DISTRIBUCIÓN DE FRECUENCIAS											DAÑOS EN CAMINOS VECINALES	
PENDIENTE GEOMETRICA VERTICAL												
Lím ite inferior (%)	Lím ite superior (%)	Ma rca de Cla se	Frecu encia absol uta	Frecu encia acum ulada	Frecu encia relati va	Frecu encia relati va	Frecu encia relati va	Frecu encia relati va	Frecu encia relati va	Frecu encia relati va	Daños (DA ÑOS)	Frecu encia relati va porce ntual acum ulada (DA ÑOS)
Cl as e	Li	Ls	Xi	fi	Fi	hi	Hi	pi	Pi	D	di	Di
1	0.00	3.00	1.5	18.00	18.00	0.51	0.51	51.43 %	51.43 %	BACHES	51.43 %	51.43 %
2	3.00	6.00	4.5	5.00	23.00	0.14	0.66	14.29 %	65.71 %	DEFORMACION	14.29 %	65.71 %
3	6.00	9.00	7.5	5.00	28.00	0.14	0.80	14.29 %	80.00 %	EROSION	34.29 %	100.0 %
4	9.00	12.0	50	1.00	29.00	0.03	0.83	2.86% %	2.86% %	EROSION		
5	12.0	15.0	50	4.00	33.00	0.11	0.94	11.43 %	94.29 %	EROSION		
6	15.0	18.0	50	1.00	34.00	0.03	0.97	2.86% %	97.14 %	EROSION		
7	18.0	21.0	50	0.00	34.00	0.00	0.97	0.00% %	97.14 %	EROSION		



8	21.0	24.0	22.	50	0.00	34.00	0.00	0.97	0.00%	97.14	%	EROSION
			25.							100.0		
9	24.0	27.0	50	1.00	35.00	0.03	1.00	2.86%	0%	0%		EROSION

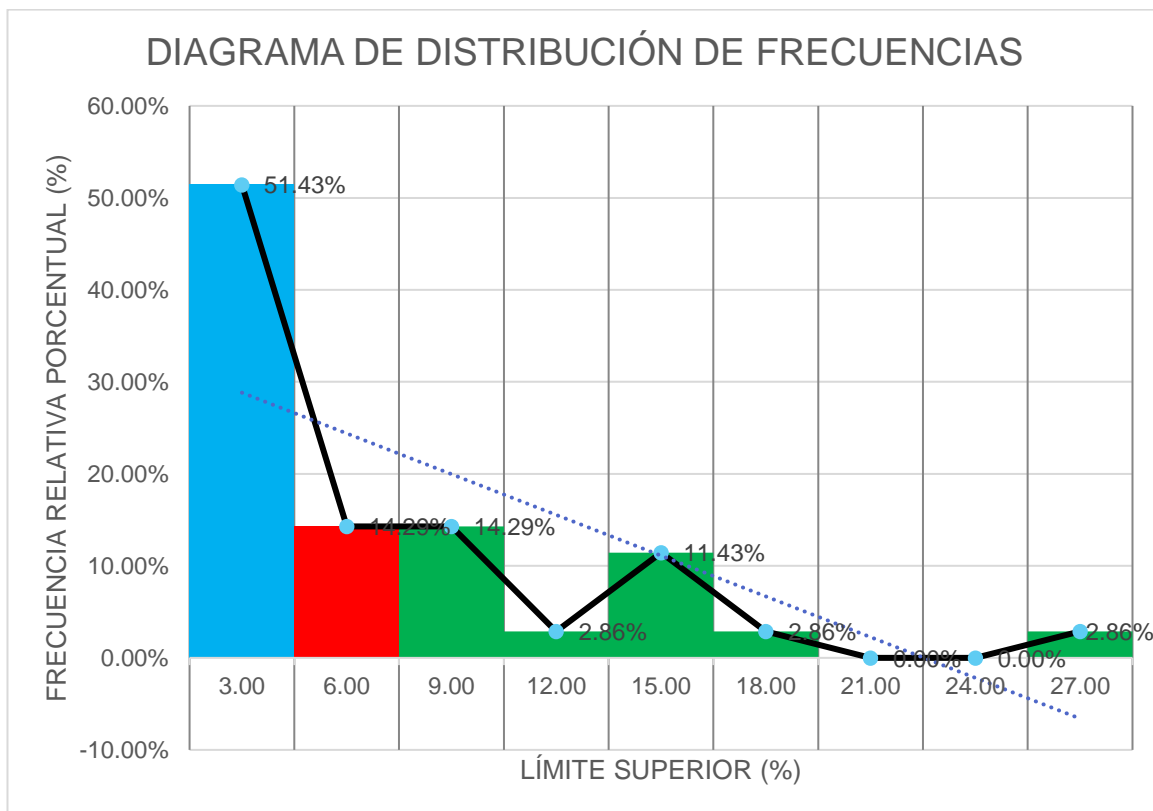


Figura 94. Diagrama de barras de distribución de frecuencias porcentual, relación de daño porcentual en rango de pendiente geométrica vertical. Fuente: (Elaboración propia).

Tabla 57

Registro Medidas de Tendencia Central. Fuente: (Elaboración Propia).

MEDIDAS DE TENDENCIA CENTRAL					
Media	Mediana	Moda	Varianza	Des. Est.	Coef. Var.
\bar{X}	Me	Mo	s^2	s	Cv
5.13	1.96	0.00	36.87	6.07	1.18

Tabla 58

Frecuencia Relativa Porcentual de Pendiente Geométrica Vertical. Fuente: (Elaboración Propria).



PENDIENTE GEOMETRICA VERTICAL					
		Frecuencia	Porcentaje	Porcentaje válido	Porcentaje acumulado
Válido	PENDIENTE MENORES A 3%	18	50,0	51,4	51,4
	PENDIENTE ENTRE 3% Y 6%	5	13,9	14,3	65,7
	PENDIENTE MAYORES A 6%	12	33,3	34,3	100,0
	Total	35	97,2	100,0	
Perdidos	Sistema	1	2,8		
Total		36	100,0		

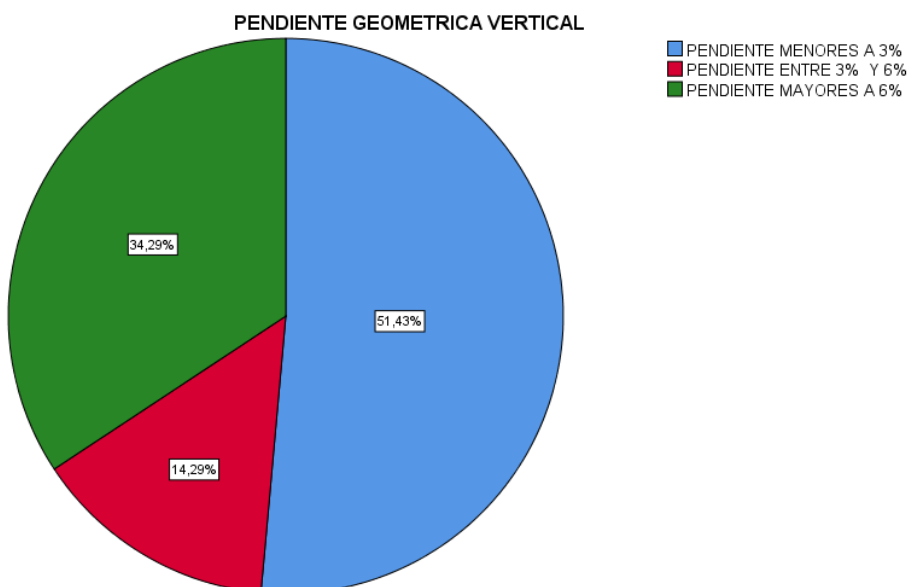


Figura 95. Diagrama circular de pendiente geométrica vertical. Fuente: (Elaboración propia).

Tabla 59

Frecuencia Relativa Porcentual de Daños en Camino Vecinal Afirmado. Fuente: (Elaboración Propia).

DAÑOS EN CAMINOS VECINALES					
		Frecuencia	Porcentaje	Porcentaje válido	Porcentaje acumulado
Válido	DEFORMACION	4	11,1	11,4	11,4



	<u>EROSION</u>	13	36,1	37,1	48,6
	<u>BACHES</u>	18	50,0	51,4	100,0
	<u>Total</u>	35	97,2	100,0	
Perdidos	<u>Sistema</u>	1	2,8		
	<u>Total</u>	36	100,0		

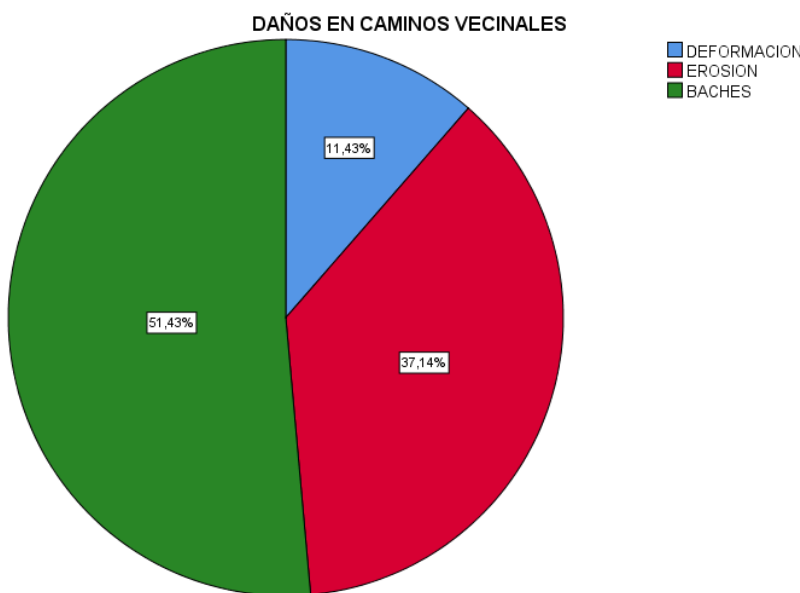


Figura 96. Diagrama circular de daños en caminos vecinales. Fuente: (Elaboración propia).



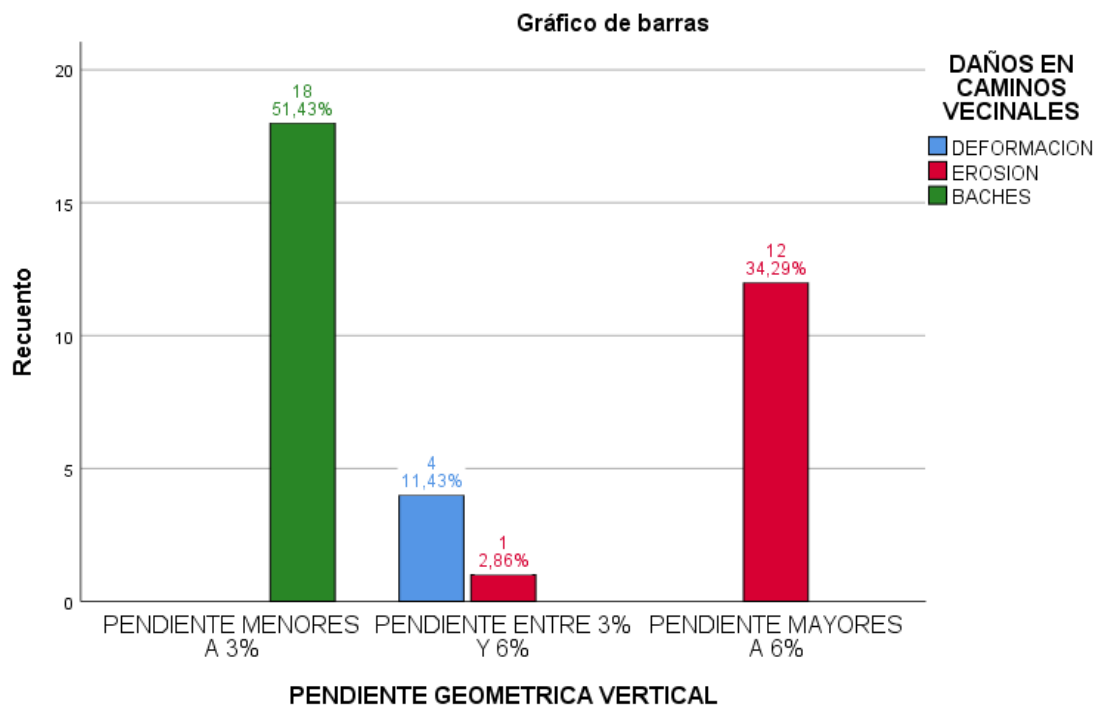


Figura 97. Relación porcentual de variables dependientes e independientes ordinales observadas y esperadas en diagrama de barras. Fuente: Procesamiento en IBM SPSS (Elaboración propia).

Camino vecinal tramo: Puente frijol-Paraíso- Tres de Mayo- Nuevo Canaan.

Tabla 60

Registro de Datos Estadísticos de Inicialización. Fuente: (Elaboración Propia).

VALORES ESTADÍSTICOS		
Muestra	n	52
Minimo	Xmin	0
Maximo	Xmax	14.4
Rango	R	14.4
Intervalos	Kini.	6.69713
	Kfin.	5
Amplitud	cini.	2.88
	cfin.	3

Tabla 61

Registro de Tabla de Distribución de Frecuencias. Fuente: (Elaboración Propia).

TABLA DE DISTRIBUCIÓN DE FRECUENCIAS



PENDIENTE GEOMETRICA VERTICAL												DAÑOS EN CAMINOS VECINALES		
Lím ite infe rior (%)	Lím ite sup erior (%)	Ma rca de Clas se	Frecu encia absol uta	Frecu encia acum ulada	Frecu encia relati va	Frecu encia acum ulada	Frecu encia relati va	Frecu encia Porce ntual	Frecu encia relati va	Frecu encia Porce ntual	Frecu encia relati va	Frecu encia relati va	Frecu encia relati va	
Cl as e	Li	Ls	Xi	fi	Fi	hi	Hi	pi	Pi	D	di	Di		
1	0	3	1.5	24.00	24.00	0.46	0.46	46.15%	46.15%	BACHES	46.15%	46.15%		
2	3	6	4.5	14.00	38.00	0.27	0.73	26.92%	73.08%	DEFORM ACION	26.92%	73.08%		
3	6	9	7.5	7.00	45.00	0.13	0.87	13.46%	86.54%	EROSION	26.92%	100.0%		
4	9	12	10.5	5.00	50.00	0.10	0.96	9.62%	96.15%	EROSION				
5	12	15	13.5	2.00	52.00	0.04	1.00	3.85%	100.00%	EROSION				



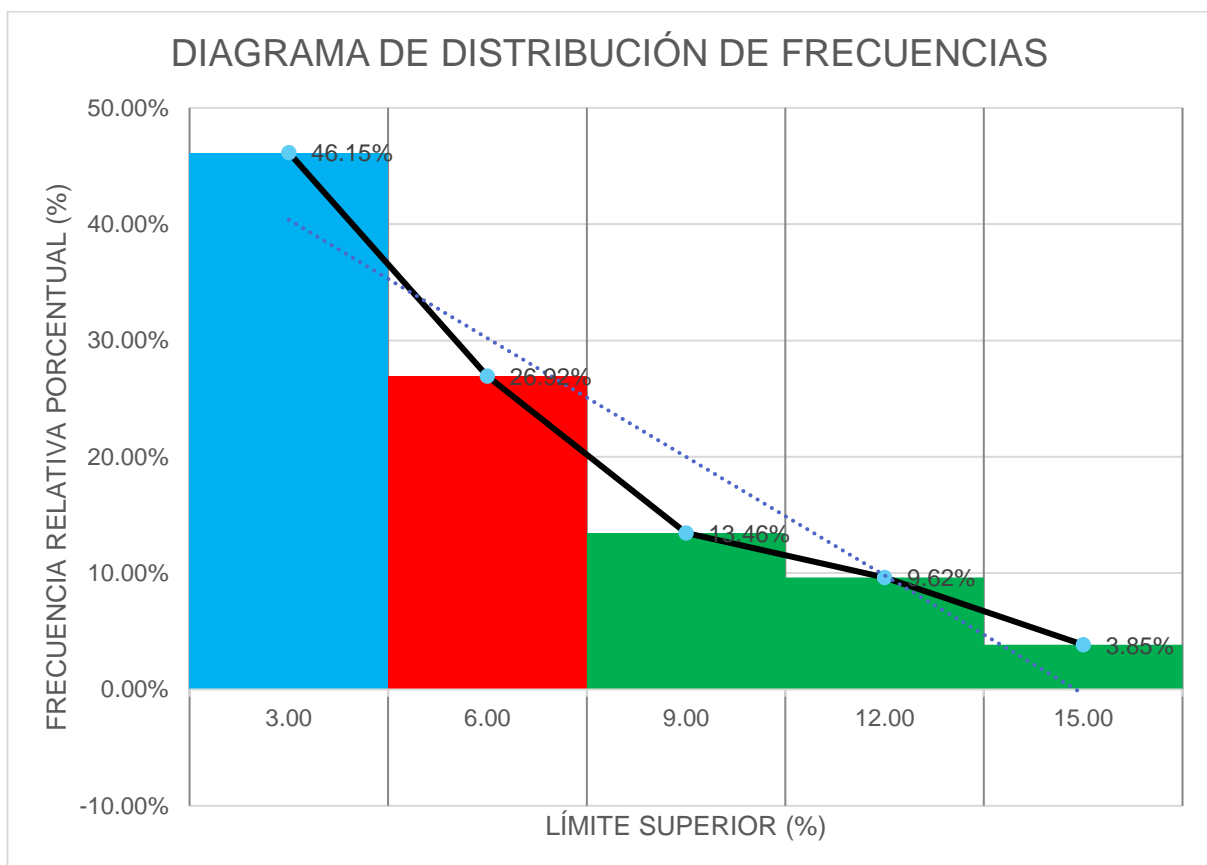


Figura 98. Diagrama de barras de distribución de frecuencias porcentual, relación de daño porcentual en rango de pendiente geométrica vertical. Fuente: (Elaboración propia).

Tabla 62

Registro Medidas de Tendencia Central. Fuente: (Elaboración Propia).

MEDIDAS DE TENDENCIA CENTRAL						
Media	Mediana	Moda	Varianza	Des. Est.	Coef. Var.	
\bar{X}	Me	Mo	s^2	s	Cv	
3.96	3.23	0.00	15.63	3.95	1.00	

Tabla 63

Frecuencia Relativa Porcentual de Pendiente Geométrica Vertical. Fuente: (Elaboración Propria).

PENDIENTE GEOMETRICA VERTICAL			
	Frecuencia	Porcentaje	Porcentaje válido
			acumulado



Válido	PENDIENTE MENORES A 3%	24	45,3	46,2	46,2
	PENDIENTE ENTRE 3% Y 6%	13	24,5	25,0	71,2
	PENDIENTE MAYORES A 6%	15	28,3	28,8	100,0
	Total	52	98,1	100,0	
Perdidos	Sistema	1	1,9		
	Total	53	100,0		

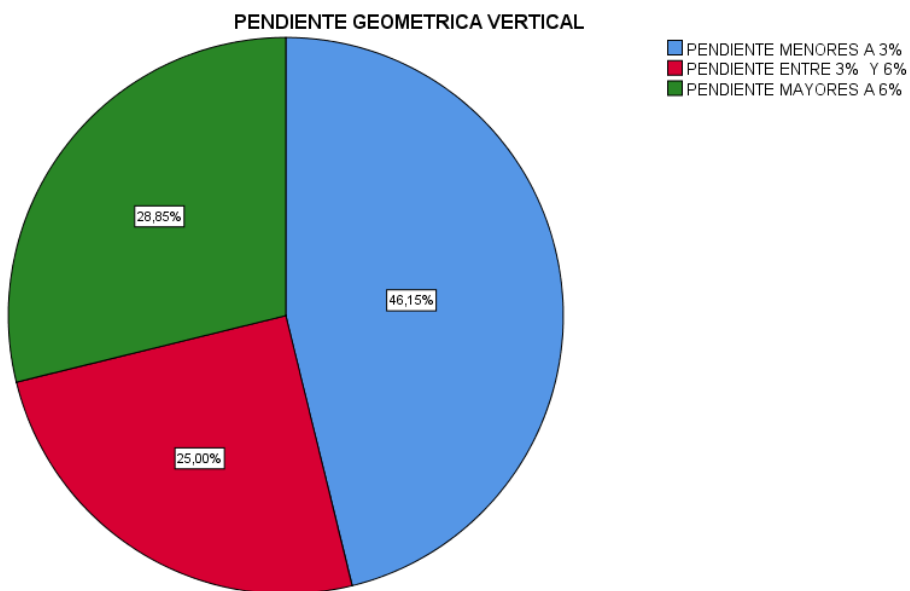


Figura 99. Diagrama circular de pendiente geométrica vertical. Fuente: (Elaboración propia).

Tabla 64

Frecuencia Relativa Porcentual de Daños en Camino Vecinal Afirmado. Fuente: (Elaboración Propia).

DAÑOS EN CAMINOS VECINALES					
		Frecuencia	Porcentaje	Porcentaje válido	Porcentaje acumulado
Válido	<u>DEFORMACION</u>	14	26,4	26,9	26,9
	<u>EROSION</u>	13	24,5	25,0	51,9
	<u>BACHES</u>	25	47,2	48,1	100,0
	Total	52	98,1	100,0	
Perdidos	Sistema	1	1,9		



Total	53	100,0
-------	----	-------

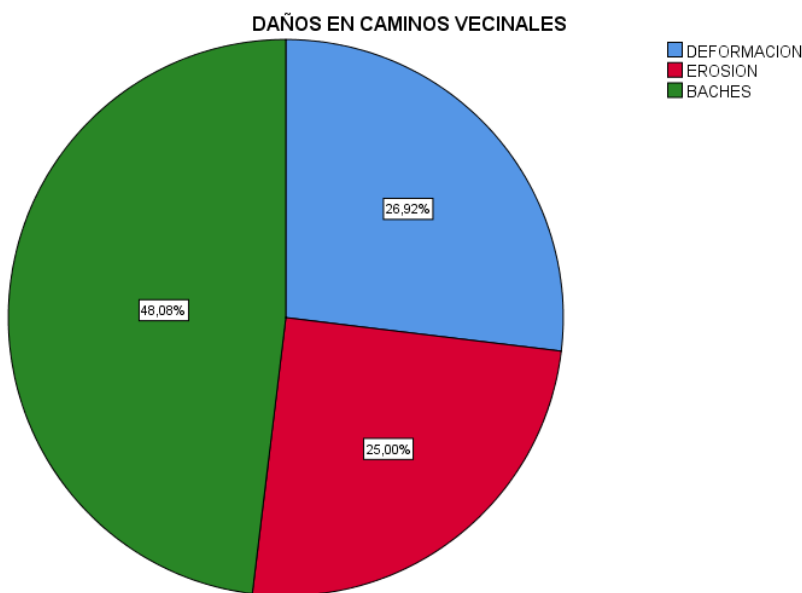


Figura 100. Diagrama circular de daños en caminos vecinales. Fuente: (Elaboración propia).

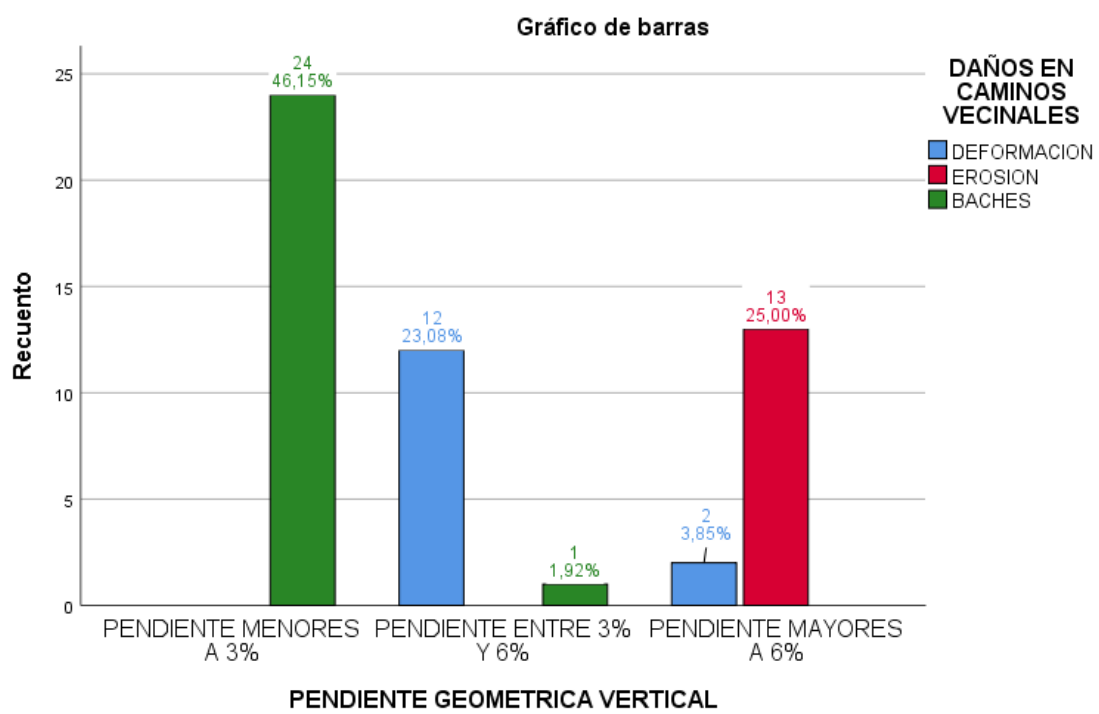


Figura 101. Relación porcentual de variables dependientes e independientes ordinales observadas y esperadas en diagrama de barras. Fuente: Procesamiento en IBM SPSS (Elaboración propia).



Camino vecinal tramo: Ogoro-Huachumay.

Tabla 65

Registro de Datos Estadísticos de Inicialización. Fuente: (Elaboración Propia).

VALORES ESTADISTICOS		
Muestra	n	110
Minimo	Xmin	0
Maximo	Xmax	35.96
Rango	R	35.96
Intervalos	Kini.	7.77742
	Kfin.	12
Amplitud	cini.	2.99667
	cfin.	3

Tabla 66

Registro de Tabla de Distribución de Frecuencias. Fuente: (Elaboración Propia).

TABLA DE DISTRIBUCIÓN DE FRECUENCIAS										DAÑOS EN CAMINOS VECINALES		
PENDIENTE GEOMETRICA VERTICAL												
Límit e inf e rior (%)	Lím ite sup erio r (%)	Ma rca de Cla se	Frecu encia absoluta (%)	Frecu encia acumulada (%)	Frecu encia relativa (%)	Frecu encia absoluta (%)	Frecu encia acumulada (%)	Frecu encia relativa (%)	Frecu encia absoluta (%)	Frecu encia acumulada (%)	Frecu encia relativa (%)	
Cl as e	Li as	Li as	Li as	Li as	Li as	Li as	Li as	Li as	Li as	Li as	Li as	
1	0.00	3.00	1.5	28.00	28.00	0.25	0.25	25.45 %	BACHES	25.45 %	25.45 %	
2	3.00	6.00	4.5	26.00	54.00	0.24	0.49	23.64 %	DEFORMACION	23.64 %	49.09 %	
3	6.00	9.00	7.5	19.00	73.00	0.17	0.66	17.27 %	EROSION	50.91 %	100.0 %	
4	9.00	12.0	10.5	13.00	86.00	0.12	0.78	11.82 %	EROSION			
5	12.0	15.0	13.5	8.00	94.00	0.07	0.85	7.27 %	EROSION			
6	15.0	18.0	16.5	4.00	98.00	0.04	0.89	3.64 %	EROSION			
								89.09 %				



18.0	0	21.0	19.5	4.00	0	0.04	0.93	3.64%	92.73%	EROSION
21.0					102.0					
8	0	24.0	22.5	1.00	0	0.01	0.94	0.91%	93.64%	EROSION
24.0					103.0					
9	0	27.0	25.5	2.00	0	0.02	0.95	1.82%	95.45%	EROSION
27.0					105.0					
10	0	30.0	28.5	1.00	0	0.01	0.96	0.91%	96.36%	EROSION
30.0					106.0					
11	0	33.0	31.5	3.00	0	0.03	0.99	2.73%	99.09%	EROSION
33.0					109.0					
12	33.0	36.0	34.5	1.00	0	0.01	1.00	0.91%	100.00%	EROSION
					110.0					

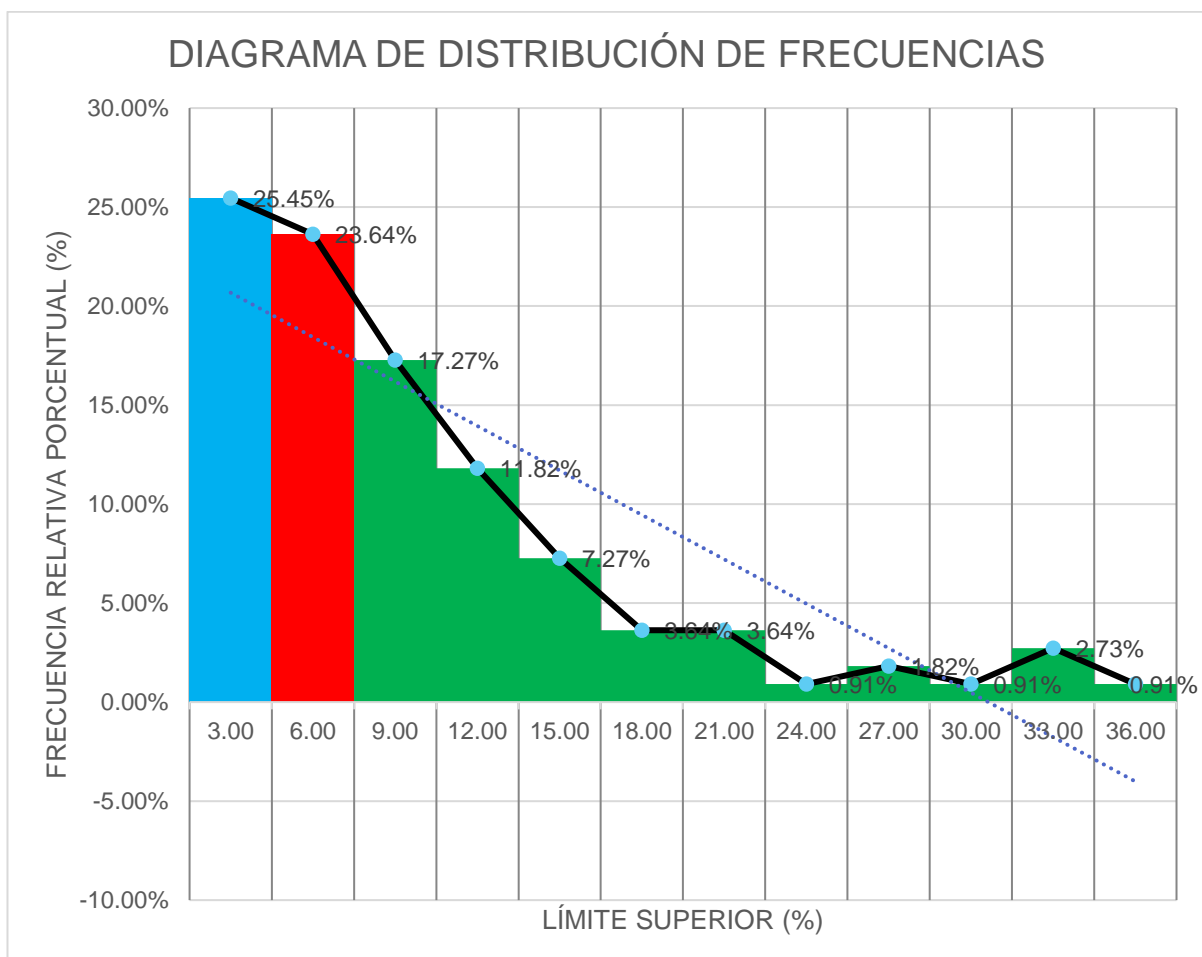


Figura 102. Diagrama de barras de distribución de frecuencias porcentual, relación de daño porcentual en rango de pendiente geométrica vertical. Fuente: (Elaboración propia).

Tabla 67

Registro Medidas de Tendencia Central. Fuente: (Elaboración Propria).



MEDIDAS DE TENDENCIA CENTRAL						
Media	Mediana	Moda	Varianza	Des. Est.	Coef. Var.	
\bar{X}	Me	Mo	s^2	s	Cv	
8.32	6.15	0.02	58.06	7.62	0.92	

Tabla 68

Frecuencia Relativa Porcentual de Pendiente Geométrica Vertical. Fuente: (Elaboración Propia).

PENDIENTE GEOMETRICA VERTICAL						
		Frecuencia	Porcentaje	Porcentaje válido	acumulado	Porcentaje
Válido	PENDIENTE MENORES A 3%	28	24,6	25,5	25,5	
	PENDIENTE ENTRE 3% Y 6%	26	22,8	23,6	49,1	
	PENDIENTE MAYORES A 6%	56	49,1	50,9	100,0	
	Total	110	96,5	100,0		
Perdidos	Sistema	4	3,5			
	Total	114	100,0			

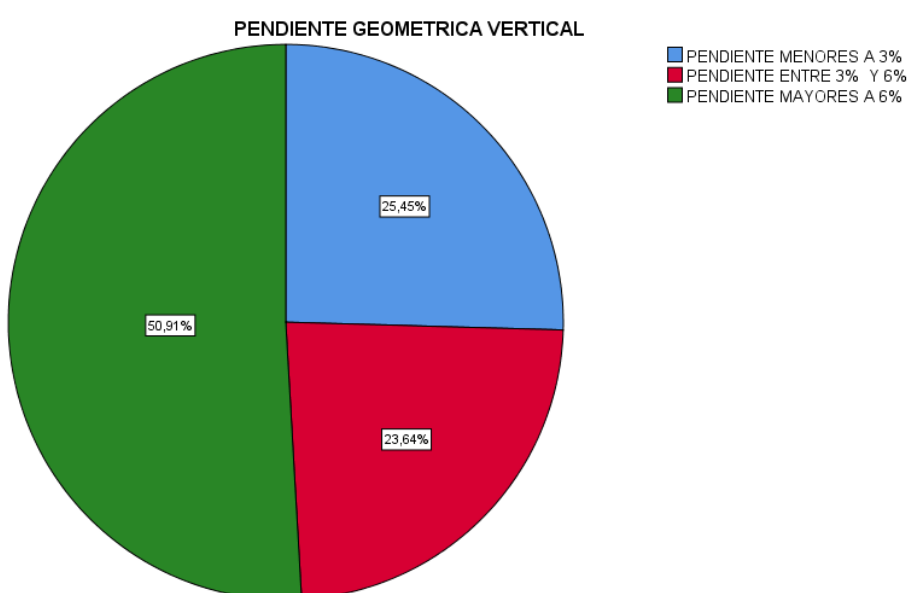


Figura 103. Diagrama circular de pendiente geométrica vertical. Fuente: (Elaboración propia).



Tabla 69

Frecuencia Relativa Porcentual de Daños en Camino Vecinal Afirmado. Fuente: (Elaboración Propia).

DAÑOS EN CAMINOS VECINALES					
		Frecuencia	Porcentaje	Porcentaje válido	Porcentaje acumulado
Válido	<u>DEFORMACION</u>	26	22,8	23,6	23,6
	<u>EROSION</u>	55	48,2	50,0	73,6
	<u>BACHES</u>	29	25,4	26,4	100,0
	Total	110	96,5	100,0	
Perdidos	Sistema	4	3,5		
Total		114	100,0		

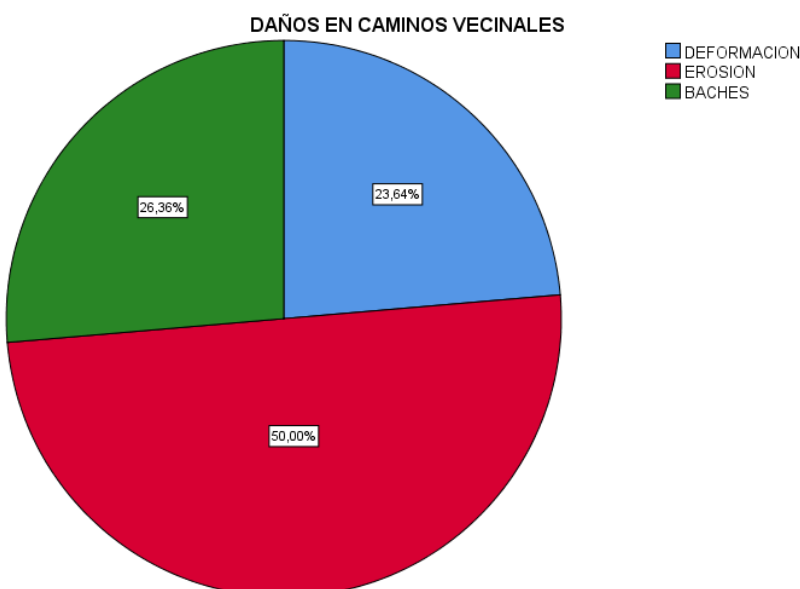


Figura 104. Diagrama circular de daños en caminos vecinales. Fuente: (Elaboración propia).



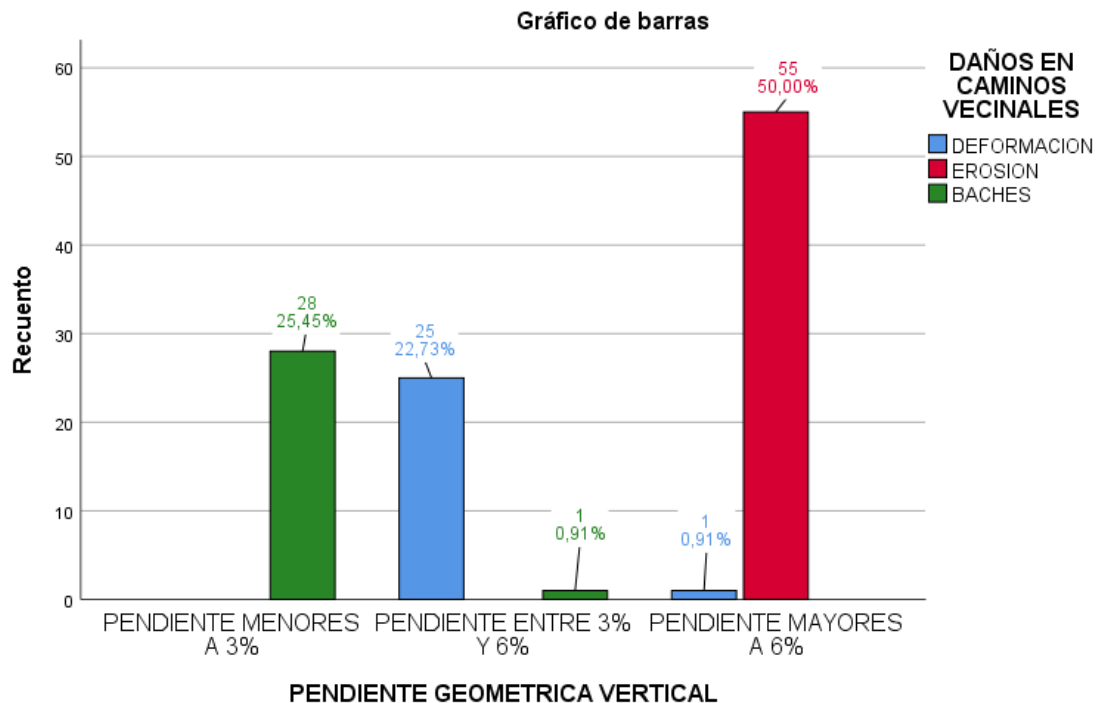


Figura 105. Relación porcentual de variables dependientes e independientes ordinales observadas y esperadas en diagrama de barras. Fuente: Procesamiento en IBM SPSS (Elaboración propia).

Camino vecinal tramo: Huacrachuco- Marcopata - Quillabamba – Cajapa – Fin de Camino.

Tabla 70

Registro de Datos Estadísticos de Inicialización. Fuente: (Elaboración Propia).

<u>VALORES ESTADISTICOS</u>		
Muestra	n	121
Minimo	Xmin	0
Maximo	Xmax	52.84
Rango	R	52.84
Intervalos	Kini.	7.91485
	Kfin.	18
Amplitud	cini.	2.93556
	cfin.	3

Tabla 71

Registro de tabla de distribución de frecuencias. Fuente: (Elaboración propia).

TABLA DE DISTRIBUCIÓN DE FRECUENCIAS



PENDIENTE GEOMETRICA VERTICAL											DAÑOS EN CAMINOS VECINALES		
Límite inferior (%)	Límite superior (%)	Márcara	Frecuencia absoluta (%)	Frecuencia acumulada (%)	Frecuencia relativa (%)	Frecuencia acumulada (%)	Frecuencia relativa (%)	Frecuencia acumulada (%)	Frecuencia relativa (%)	Frecuencia acumulada (%)	Daños	Frecuencia relativa (%)	Frecuencia porcentual (%)
1.00	0.00	3.00	1.50	19.00	19.00	0.16	0.16	15.70%	15.70%	BACHES	15.70%	15.70%	
2.00	0.300	6.00	4.50	12.00	31.00	0.10	0.26	9.92%	25.62%	DEFORMACION	9.92%	25.62%	
3.00	0.600	9.00	7.50	9.00	40.00	0.07	0.33	7.44%	33.06%	EROSION	74.38%	100.00%	
4.00	0.900	12.0	10.5	10.00	50.00	0.08	0.41	8.26%	41.32%	EROSION			
5.00	12.0	15.0	13.5	13.00	63.00	0.11	0.52	10.74%	52.07%	EROSION			
6.00	15.0	18.0	16.5	9.00	72.00	0.07	0.60	7.44%	59.50%	EROSION			
7.00	18.0	21.0	19.5	8.00	80.00	0.07	0.66	6.61%	66.12%	EROSION			
8.00	21.0	24.0	22.5	10.00	90.00	0.08	0.74	8.26%	74.38%	EROSION			
9.00	24.0	27.0	25.5	6.00	96.00	0.05	0.79	4.96%	79.34%	EROSION			
10.00	27.0	30.0	28.5	8.00	104.00	0.07	0.86	6.61%	85.95%	EROSION			
11.00	30.0	33.0	31.5	1.00	105.00	0.01	0.87	0.83%	86.78%	EROSION			
12.00	33.0	36.0	34.5	4.00	109.00	0.03	0.90	3.31%	90.08%	EROSION			
13.00	36.0	39.0	37.5	6.00	115.00	0.05	0.95	4.96%	95.04%	EROSION			
14.00	39.0	42.0	40.5	4.00	119.00	0.03	0.98	3.31%	98.35%	EROSION			
15.00	42.0	45.0	43.5	1.00	120.00	0.01	0.99	0.83%	99.17%	EROSION			
16.00	45.0	48.0	46.5	0.00	120.00	0.00	0.99	0.00%	99.17%	EROSION			
17.00	48.0	51.0	49.5	0.00	120.00	0.00	0.99	0.00%	99.17%	EROSION			
18.00	51.0	54.0	52.5	1.00	121.00	0.01	1.00	0.83%	100.00%	EROSION			



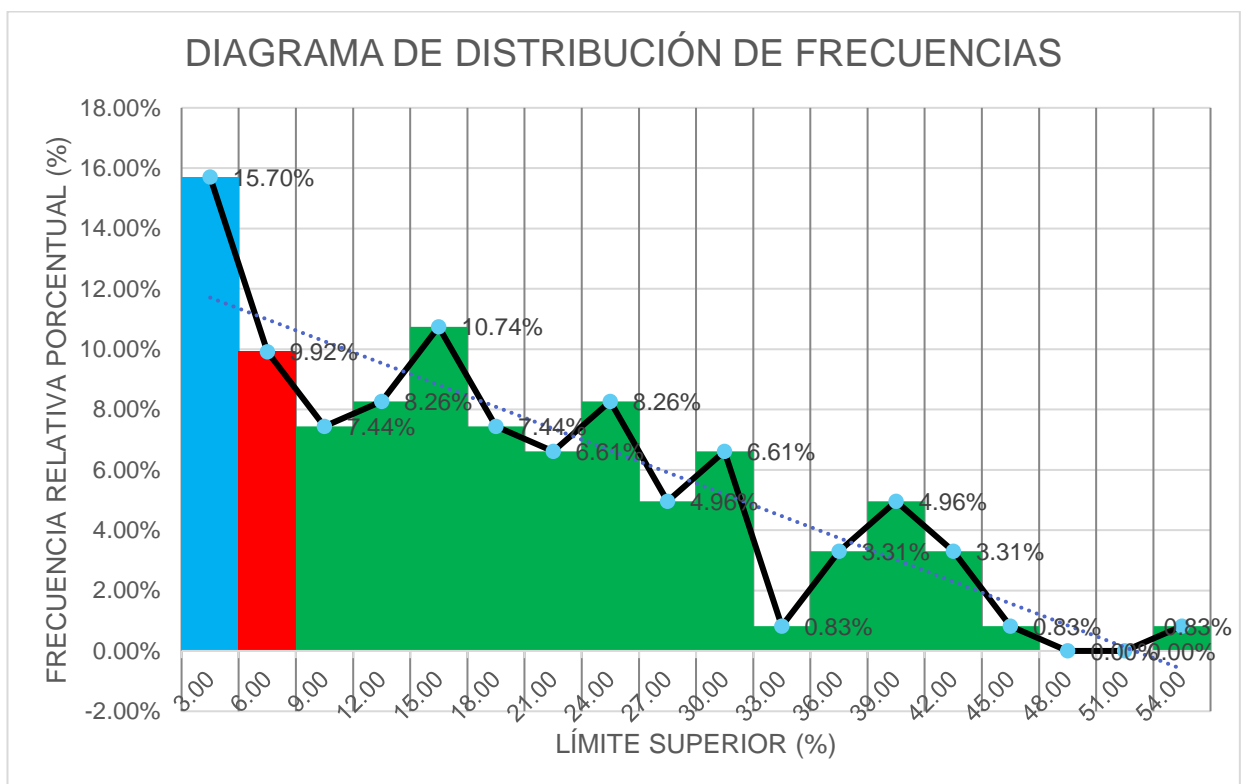


Figura 106. Diagrama de barras de distribución de frecuencias porcentual, relación de daño porcentual en rango de pendiente geométrica vertical. Fuente: (Elaboración propia).

Tabla 72

Registro Medidas de Tendencia Central. Fuente: (Elaboración Propia).

MEDIDAS DE TENDENCIA CENTRAL						
Media	Mediana	Moda	Varianza	Des. Est.	Coef. Var.	
\bar{X}	Me	Mo	s^2	s	Cv	
16.34	14.38	0.68	147.39	12.14	0.74	

Tabla 73

Frecuencia Relativa Porcentual de Pendiente Geométrica Vertical. Fuente: (Elaboración Propia).

PENDIENTE GEOMETRICA VERTICAL					
Válido	PENDIENTE MENORES A	Frecuencia	Porcentaje	Porcentaje válido	Porcentaje acumulado
	3%	19	15,7	15,7	15,7



PENDIENTE ENTRE 3% Y 6%	12	9,9	9,9	25,6
PENDIENTE MAYORES A 6%	90	74,4	74,4	100,0
Total	121	100,0	100,0	

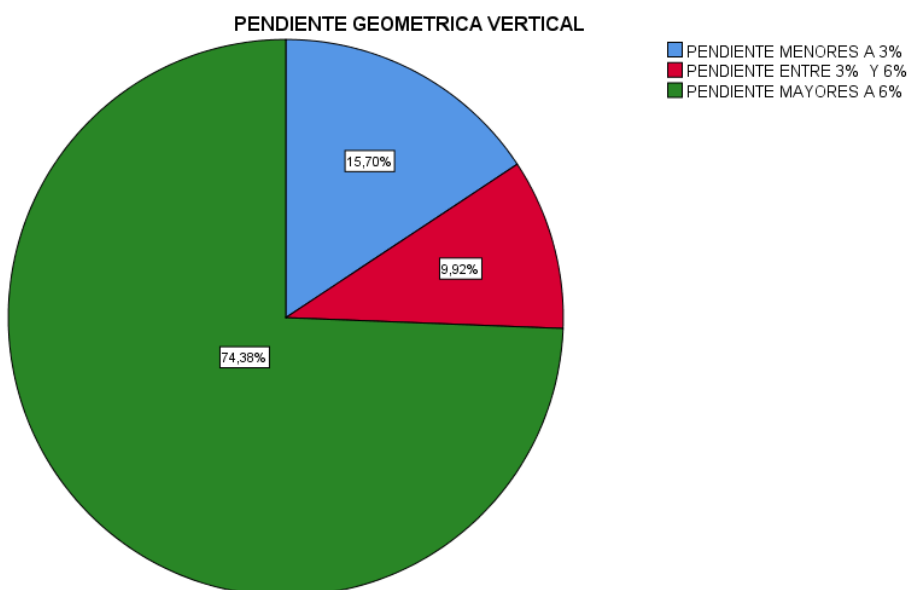


Figura 107. Diagrama circular de pendiente geométrica vertical. Fuente: (Elaboración propia).

Tabla 74

Frecuencia Relativa Porcentual de Daños en Camino Vecinal Afirmado. Fuente: (Elaboración Propia).

DAÑOS EN CAMINOS VECINALES				
Válido		Frecuencia	Porcentaje	
			Porcentaje	Porcentaje válido
	<u>DEFORMACION</u>	10	8,3	8,3
	<u>EROSION</u>	91	75,2	75,2
	<u>BACHES</u>	20	16,5	16,5
	Total	121	100,0	100,0



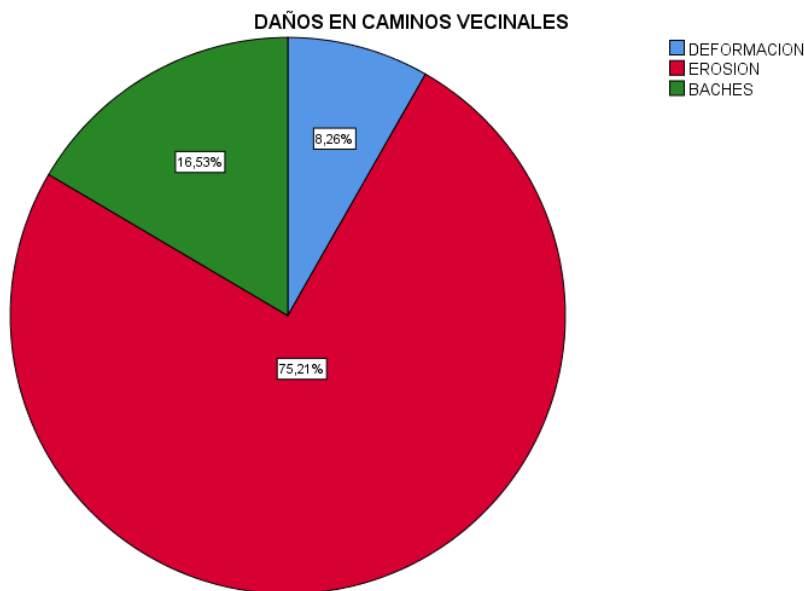


Figura 108. Diagrama circular de daños en caminos vecinales. Fuente: (Elaboración propia).

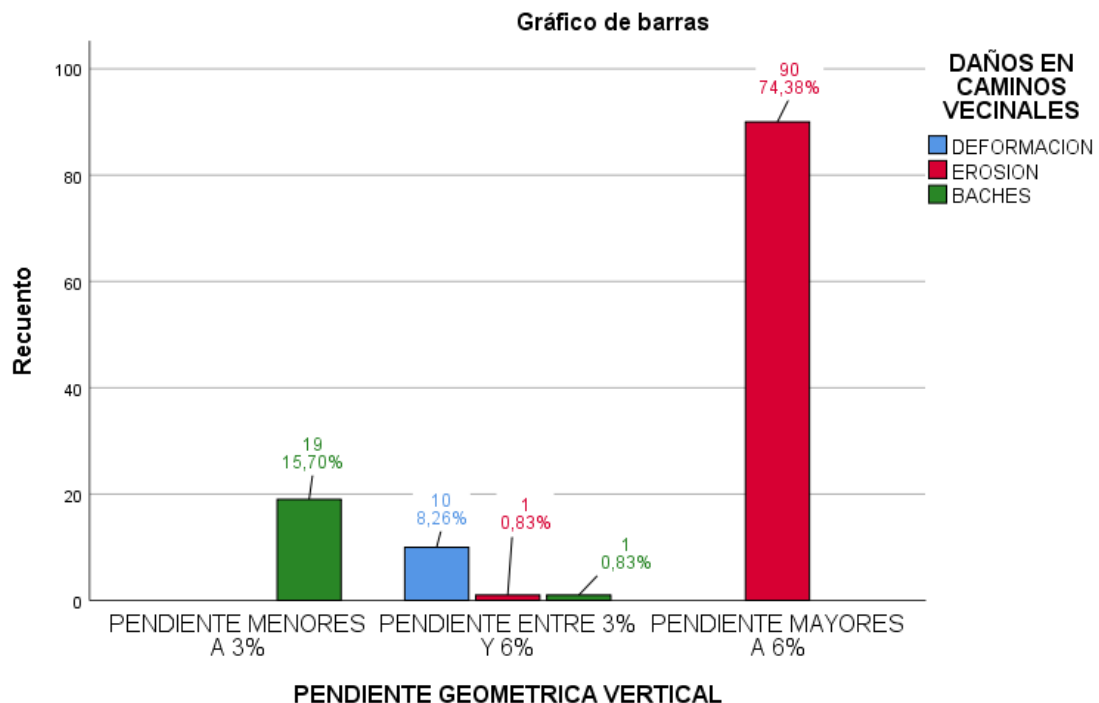


Figura 109. Relación porcentual de variables dependientes e independientes ordinales observadas y esperadas en diagrama de barras. Fuente: Procesamiento en IBM SPSS (Elaboración propia).

Camino vecinal tramo: Mollepampa- El Progreso – Huaychao.



Tabla 75

Registro de Datos Estadísticos de Inicialización. Fuente: (Elaboración Propia).

<u>VALORES ESTADISTICOS</u>		
Muestra	n	99
Minimo	Xmin	0.74
Maximo	Xmax	43.25
Rango	R	42.51
Intervalos	Kini.	7.62551
	Kfin.	15
Amplitud	cini.	2.834
	cfin.	3

Tabla 76

Registro de Tabla de Distribución de Frecuencias. Fuente: (Elaboración Propria).

Lím ite inferior (%)	Lím ite superior (%)	Ma rca de Cla se	Frecu encia absol uta	Frecu encia acum ulada	Frecu encia relati va	Frecu encia relati va	Frecu encia relati va	Frecu encia relati va	Frecu encia relati va	DAÑOS EN CAMINOS VECINALES		
										Frecu encia relati va	Frecu encia relati va	
1.0	0	0.74	3.74	2.24	17.00	17.00	0.17	0.17	17.17	17.17	BACHES	17.17 %
2.0	0	3.74	6.74	5.24	9.00	26.00	0.09	0.26	9.09%	26.26 %	DEFORM ACION	9.09 %
3.0	0	6.74	9.74	8.24	14.00	40.00	0.14	0.40	14.14	40.40 %	EROSION	73.74 %
4.0	0	9.74	12.7	11.2	4.00	44.00	0.04	0.44	4.04%	44.44 %		100.00 %
5.0	0	12.7	15.7	14.2	4.00	44.00	0.04	0.44	4.04%	52.53 %		
6.0	0	4	4	4	8.00	52.00	0.08	0.53	8.08%	59.60 %	EROSION	
7.0	0	15.7	18.7	17.2	4.00	44.00	0.04	0.44	4.04%	66.67 %	EROSION	
8.0	0	4	4	4	7.00	59.00	0.07	0.60	7.07%	73.74 %	EROSION	
9.0	0	18.7	21.7	20.2	4.00	66.00	0.07	0.67	7.07%	81.81 %	EROSION	
10.0	0	4	4	4	7.00	66.00	0.07	0.67	7.07%	81.81 %	EROSION	



8.0	21.7	24.7	23.2									74.75	%	EROSION
0	4	4	4	8.00	74.00	0.08	0.75	8.08%				80.81	%	EROSION
9.0	24.7	27.7	26.2	6.00	80.00	0.06	0.81	6.06%				88.89	%	EROSION
0	4	4	4	3.00	91.00	0.03	0.92	3.03%				91.92	%	EROSION
10.	27.7	30.7	29.2	2.00	93.00	0.02	0.94	2.02%				93.94	%	EROSION
00	4	4	4	3.00	96.00	0.03	0.97	3.03%				96.97	%	EROSION
11.	30.7	33.7	32.2	1.00	97.00	0.01	0.98	1.01%				97.98	%	EROSION
00	4	4	4	2.00	99.00	0.02	1.00	2.02%				100.00	%	EROSION
12.	33.7	36.7	35.2											
00	4	4	4											
13.	36.7	39.7	38.2											
00	4	4	4											
14.	39.7	42.7	41.2											
00	4	4	4											
15.	42.7	45.7	44.2											
00	4	4	4											

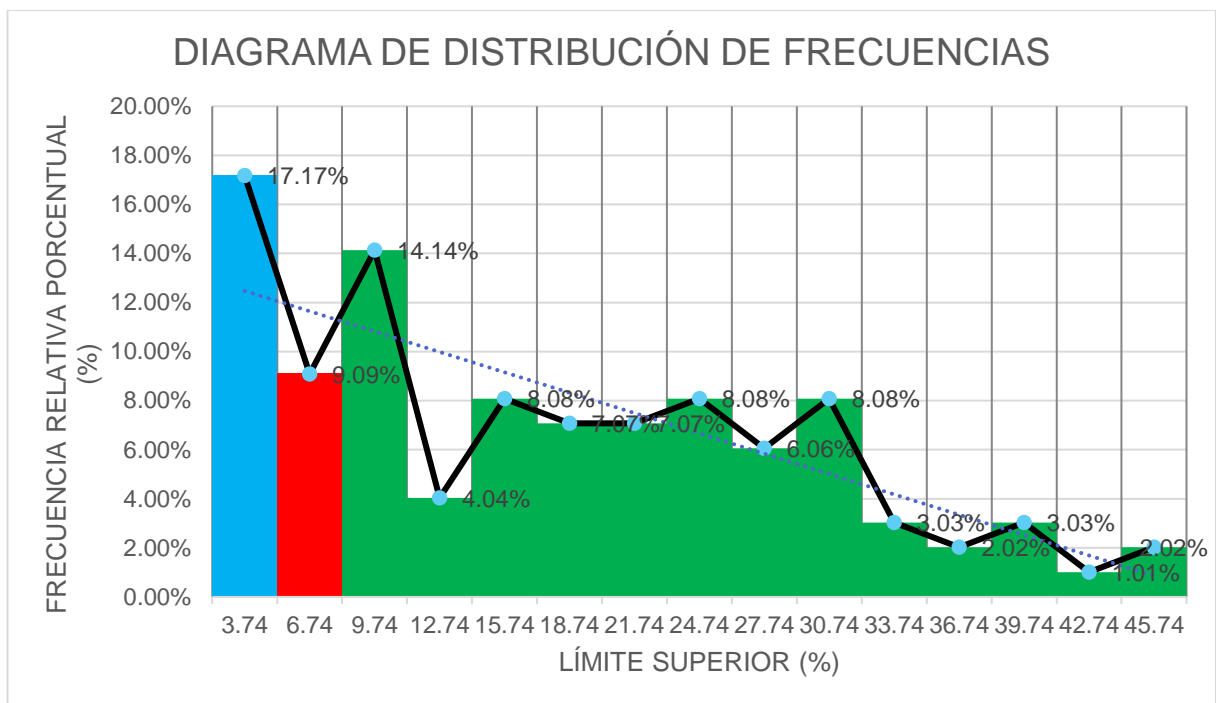


Figura 110. Diagrama de barras de distribución de frecuencias porcentual, relación de daño porcentual en rango de pendiente geométrica vertical. Fuente: (Elaboración propia).

Tabla 77

Registro Medidas de Tendencia Central. Fuente: (Elaboración Propia).

MEDIDAS DE TENDENCIA CENTRAL				
Media	Mediana	Moda	Des. Varianza	Coef. Est. Var.



X̄	Me	Mo	s²	s	Cv
16.10	15.12	8.57	129.50	11.38	0.71

Tabla 78

Frecuencia Relativa Porcentual de Pendiente Geométrica Vertical. Fuente: (Elaboración Propia).

PENDIENTE GEOMETRICA VERTICAL					
		Frecuencia	Porcentaje	Porcentaje válido	Porcentaje acumulado
Válido	PENDIENTE MENORES A 3%	12	12,1	12,1	12,1
	PENDIENTE ENTRE 3% Y 6%	11	11,1	11,1	23,2
	PENDIENTE MAYORES A 6%	76	76,8	76,8	100,0
	Total	99	100,0	100,0	

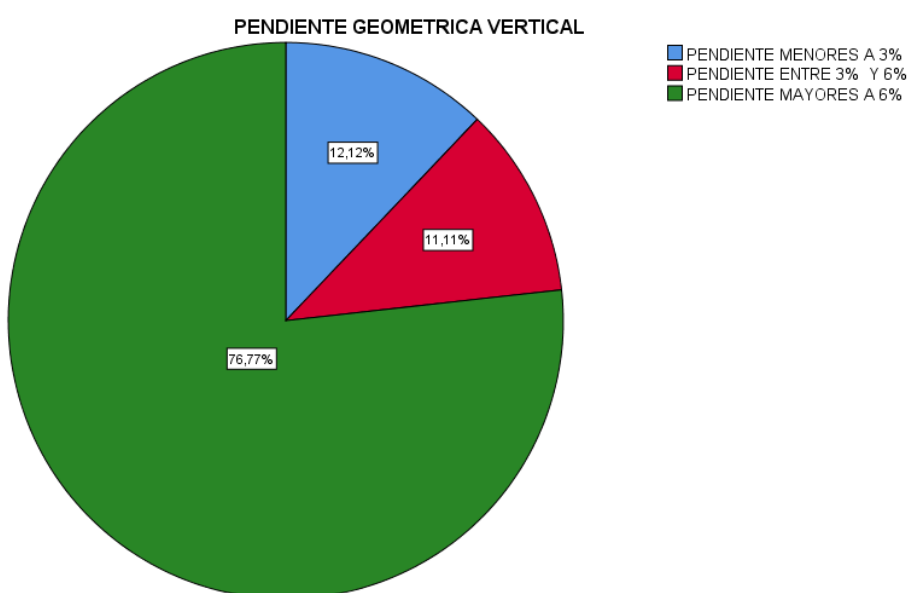


Figura 111. Diagrama circular de pendiente geométrica vertical. Fuente: (Elaboración propia).

Tabla 79

Frecuencia Relativa Porcentual de Daños en Camino Vecinal Afirmado. Fuente: (Elaboración Propia).



DAÑOS EN CAMINOS VECINALES					
	Frecuencia	Porcentaje	Porcentaje válido	Porcentaje	
				acumulado	
Válido	<u>DEFORMACION</u>	14	14,1	14,1	14,1
	<u>EROSION</u>	75	75,8	75,8	89,9
	<u>BACHES</u>	10	10,1	10,1	100,0
	Total	99	100,0	100,0	

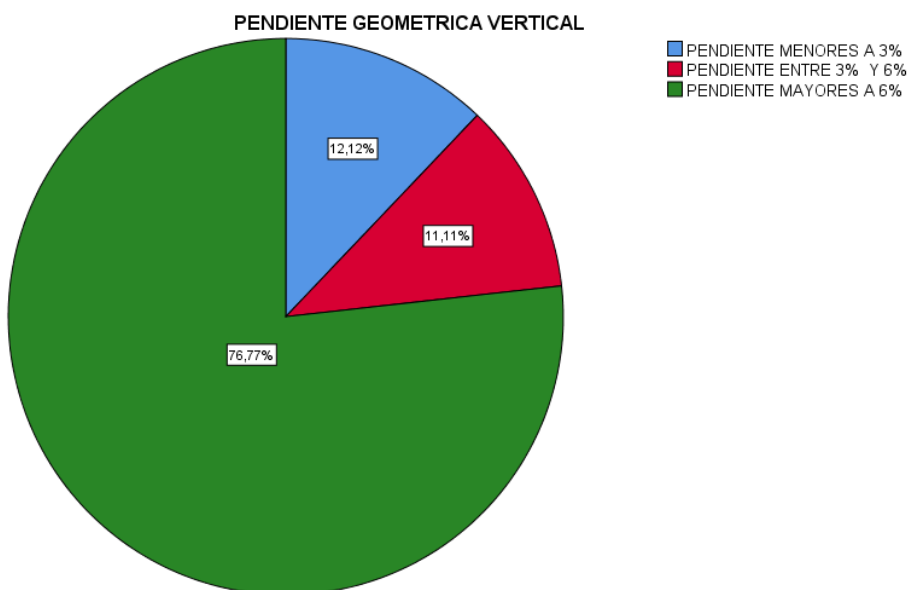


Figura 112. Diagrama circular de daños en caminos vecinales. Fuente: (Elaboración propia).



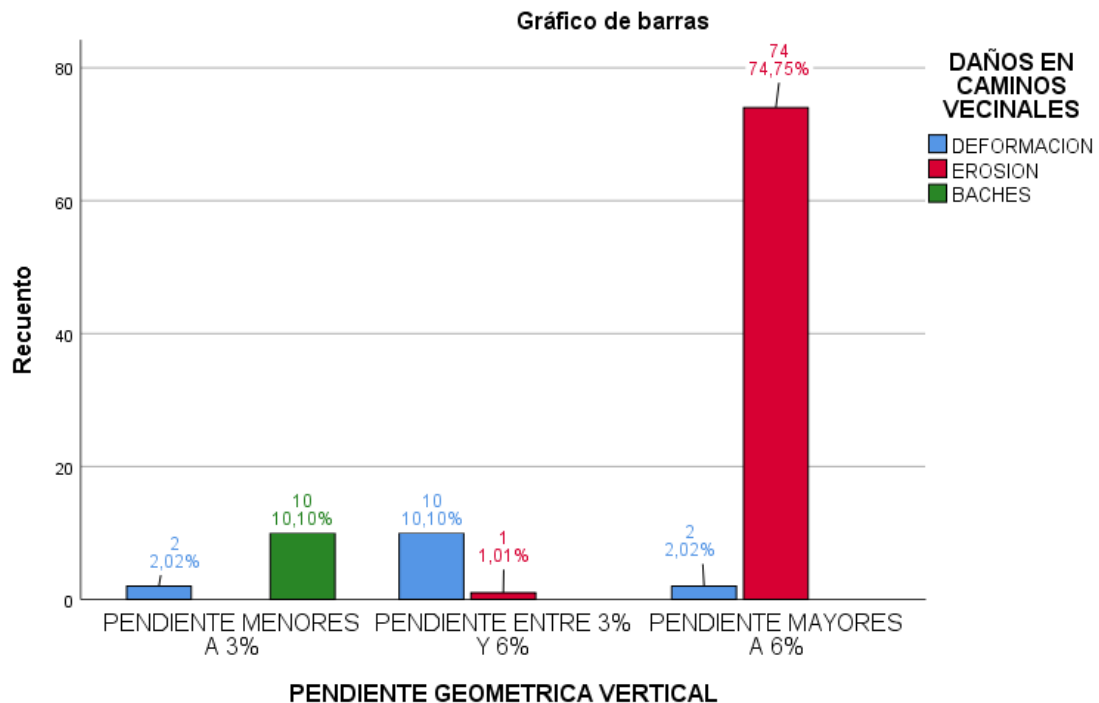


Figura 113. Relación porcentual de variables dependientes e independientes ordinales observadas y esperadas en diagrama de barras. Fuente: Procesamiento en IBM SPSS (Elaboración propia).

Camino vecinal tramo: Pinquiray - Challhuayog - Carancho – Panao.

Tabla 80

Registro de Datos Estadísticos de Inicialización. Fuente: (Elaboración Propia).

VALORES ESTADÍSTICOS		
Muestra	n	116
Minimo	Xmin	0
Maximo	Xmax	53.63
Rango	R	53.63
Intervalos	Kini.	7.854
	Kfin.	18
Amplitud	cini.	2.97944
	cfin.	3

Tabla 81

Registro de Tabla de Distribución de Frecuencias. Fuente: (Elaboración Propia).

TABLA DE DISTRIBUCIÓN DE FRECUENCIAS



PENDIENTE GEOMETRICA VERTICAL												DAÑOS EN CAMINOS VECINALES		
Límite inferior (%)	Límite superior (%)	Márcas de Clase	Frecuencia absoluta	Frecuencia acumulada	Frecuencia relativa	Frecuencia porcentual	Frecuencia porcentual	Frecuencia relativa (%)						
Clas.														Daños
1.00	0.00	3.00	0	4.00	4.00	0.03	0.03	3.45%	3.45%	BACHES	3.45%	3.45%		
2.00	3.00	6.00	0	4.00	8.00	0.03	0.07	3.45%	6.90%	DEFORMACION	3.45%	6.90%		
3.00	6.00	9.00	0	11.00	19.00	0.09	0.16	9.48%	16.38%	EROSION	93.10%	100.00%		
4.00	9.00	12.00	10.	11.00	30.00	0.09	0.26	9.48%	25.86%	EROSION				
5.00	12.00	15.00	13.	0	50	8.00	38.00	0.07	0.33	EROSION				
6.00	15.00	18.00	16.	0	50	13.00	51.00	0.11	0.44	EROSION				
7.00	18.00	21.00	19.	0	50	12.00	63.00	0.10	0.54	EROSION				
8.00	21.00	24.00	22.	0	50	15.00	78.00	0.13	0.67	EROSION				
9.00	24.00	27.00	25.	0	50	6.00	84.00	0.05	0.72	EROSION				
10.00	27.00	30.00	28.	0	50	12.00	96.00	0.10	0.83	EROSION				
11.00	30.00	33.00	31.	0	50	5.00	101.00	0.04	0.87	EROSION				
12.00	33.00	36.00	34.	0	50	3.00	104.00	0.03	0.90	EROSION				
13.00	36.00	39.00	37.	0	50	2.00	106.00	0.02	0.91	EROSION				
14.00	39.00	42.00	40.	0	50	1.00	111.00	0.01	0.96	EROSION				
15.00	42.00	45.00	43.	0	50	4.00	110.00	0.03	0.95	3.45%				
16.00	45.00	48.00	46.	0	50	4.00	115.00	0.03	0.99	3.45%				
17.00	48.00	51.00	49.	0	50	0.00	115.00	0.00	0.99	0.00%				
18.00	51.00	54.00	52.	0	50	1.00	116.00	0.01	1.00	0.86%				
										100.00%	EROSION			



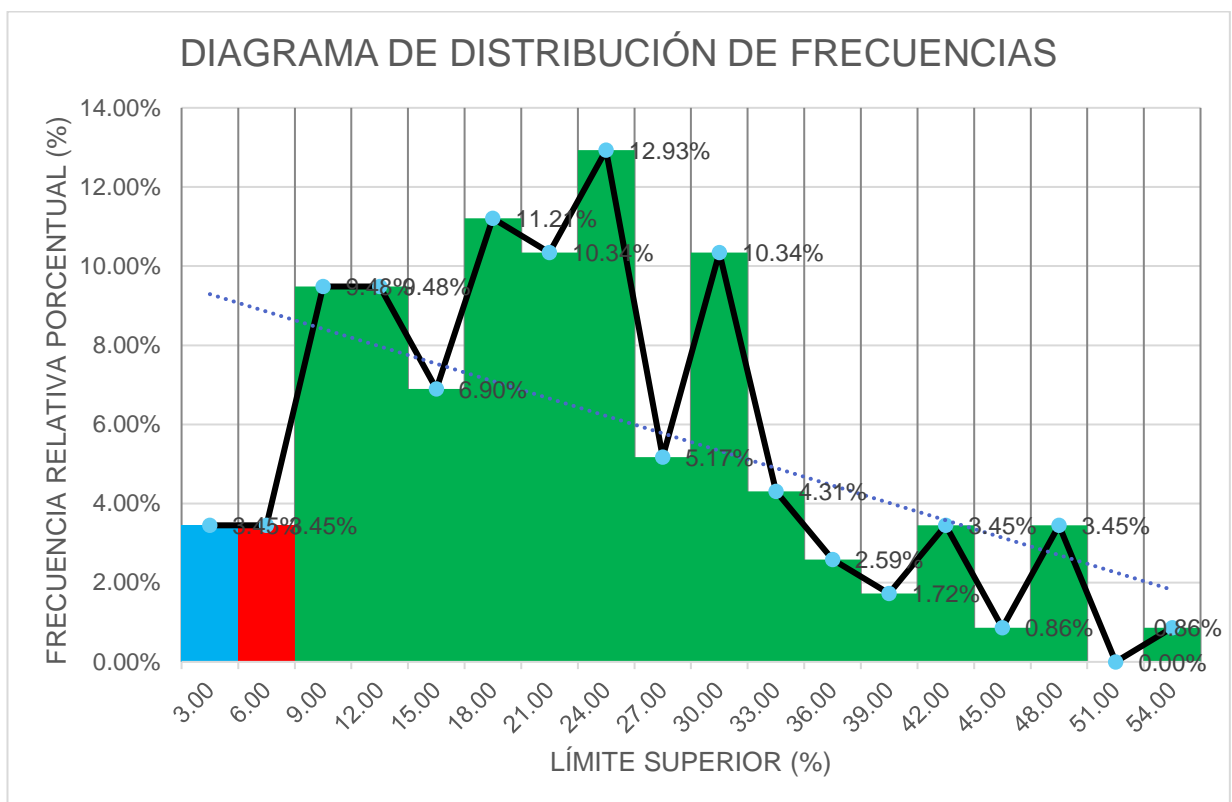


Figura 114. Diagrama de barras de distribución de frecuencias porcentual, relación de daño porcentual en rango de pendiente geométrica vertical. Fuente: (Elaboración propia).

Tabla 82

Registro Medidas de Tendencia Central. Fuente: (Elaboración Propia).

MEDIDAS DE TENDENCIA CENTRAL					
Media	Mediana	Moda	Varianza	Des. Est.	Coef. Var.
X̄	Me	Mo	s²	s	Cv
20.72	19.46	47.42	128.22	11.32	0.55

Tabla 83

Frecuencia Relativa Porcentual de Pendiente Geométrica Vertical. Fuente: (Elaboración Propria).

Válido	PENDIENTE MENORES A	PENDIENTE GEOMETRICA VERTICAL			
		Frecuencia	Porcentaje	Porcentaje válido	acumulado
	3%	4	3,3	3,4	3,4



	PENDIENTE ENTRE 3% Y 6%	4	3,3	3,4	6,9
	PENDIENTE MAYORES A 6%	108	90,0	93,1	100,0
	Total	116	96,7	100,0	
Perdidos	Sistema	4	3,3		
	Total	120	100,0		

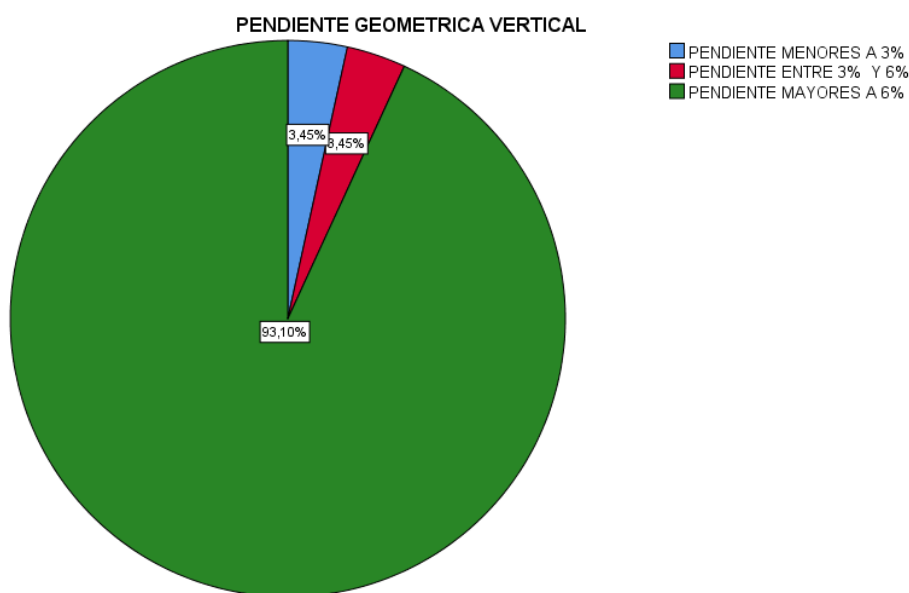


Figura 115. Diagrama circular de pendiente geométrica vertical. Fuente: (Elaboración propia).

Tabla 84

Frecuencia Relativa Porcentual de Daños en Camino Vecinal Afirmado. Fuente: (Elaboración Propia).

DAÑOS EN CAMINOS VECINALES					
		Frecuencia	Porcentaje	Porcentaje válido	Porcentaje acumulado
Válido	<u>DEFORMACION</u>	4	3,3	3,4	3,4
	<u>EROSION</u>	108	90,0	93,1	96,6
	<u>BACHES</u>	4	3,3	3,4	100,0
	Total	116	96,7	100,0	
Perdidos	Sistema	4	3,3		
	Total	120	100,0		



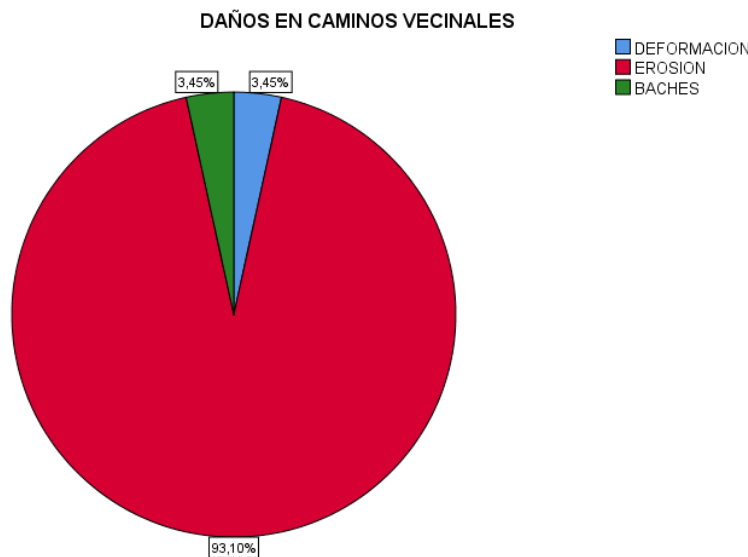


Figura 116. Diagrama circular de daños en caminos vecinales. Fuente: (Elaboración propia).

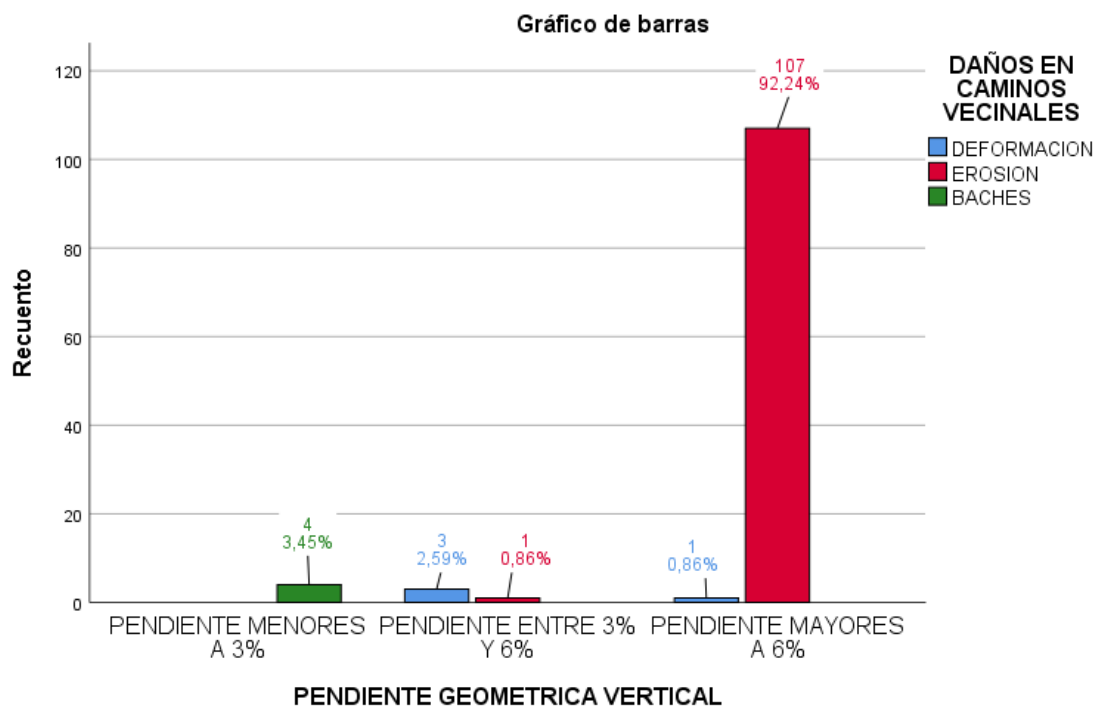


Figura 117. Relación porcentual de variables dependientes e independientes ordinales observadas y esperadas en diagrama de barras. Fuente: Procesamiento en IBM SPSS (Elaboración propia).

Camino vecinal tramo: Huarichaca - Pucajaga -Shihuapampa.



Tabla 85

Registro de Datos Estadísticos de Inicialización. Fuente: (Elaboración Propia).

<u>VALORES ESTADÍSTICOS</u>		
Muestra	n	71
Minimo	Xmin	0
Maximo	Xmax	49.76
Rango	R	49.76
Intervalos	Kini.	7.14618
	Kfin.	17
Amplitud	cini.	2.92706
	cfin.	3

Tabla 86

Registro de Tabla de Distribución de Frecuencias. Fuente: (Elaboración Propia).

TABLA DE DISTRIBUCIÓN DE FRECUENCIAS												DAÑOS EN CAMINOS VECINALES			
PENDIENTE GEOMETRICA VERTICAL															
Lími te inf erior (%)	Lími te sup erio r (%)	Ma rca de Cla se	Frecu encia absol uta	Frecu encia acum ulada	Frecu encia relati va	Daños (DAÑ OS)	Frecu encia relati va	Frecu encia relati va	Frecu encia relati va						
Cl as e	Li	Ls	Xi	fi	Fi	hi	Hi	pi	Pi	D	di	Di			
1	0	3	1.5	8	8	0.11	0.11	11.27%	11.27%	BACHES	11.27%	11.27%			
2	3	6	4.5	7	15	0.10	0.21	9.86%	21.13%	DEFORM ACION	9.86%	21.13%			
3	6	9	7.5	9	24	0.13	0.34	12.68%	33.80%	EROSION	78.8%	100.0%			
4	9	12	10.5	7	31	0.10	0.44	9.86%	43.66%	EROSION					
5	12	15	13.5	9	40	0.13	0.56	12.68%	56.34%	EROSION					
6	15	18	16.5	8	48	0.11	0.68	11.27%	67.61%	EROSION					
7	18	21	19.5	5	53	0.07	0.75	7.04%	74.65%	EROSION					
8	21	24	22.5	5	58	0.07	0.82	7.04%	81.69%	EROSION					
9	24	27	25.5	6	64	0.08	0.90	8.45%	90.14%	EROSION					



10	27	30	28.5	2	66	0.03	0.93	2.82%	92.96%	EROSION
11	30	33	31.5	2	68	0.03	0.96	2.82%	95.77%	EROSION
12	33	36	34.5	2	70	0.03	0.99	2.82%	98.59%	EROSION
13	36	39	37.5	0	70	0.00	0.99	0.00%	98.59%	EROSION
14	39	42	40.5	0	70	0.00	0.99	0.00%	98.59%	EROSION
15	42	45	43.5	0	70	0.00	0.99	0.00%	98.59%	EROSION
16	45	48	46.5	0	70	0.00	0.99	0.00%	98.59%	EROSION
17	48	51	49.5	1	71	0.01	1.00	1.41%	100.00%	EROSION

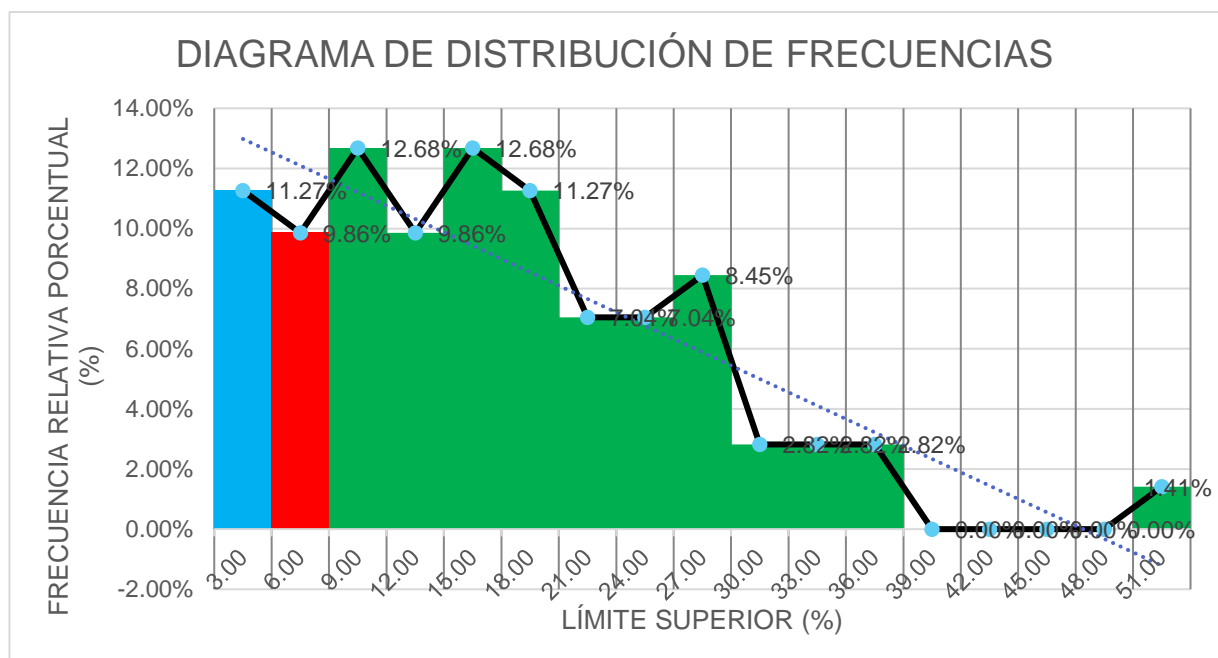


Figura 118. Diagrama de barras de distribución de frecuencias porcentual, relación de daño porcentual en rango de pendiente geométrica vertical. Fuente: (Elaboración propia).

Tabla 87

Registro Medidas de Tendencia Central. Fuente: (Elaboración Propia).

MEDIDAS DE TENDENCIA CENTRAL						
Media	Mediana	Moda	Varianza	Des. Est.	Coef. Var.	
\bar{X}	Me	Mo	s^2	s	Cv	
14.70	13.56	17.01	98.67	9.93	0.68	

Tabla 88

Frecuencia Relativa Porcentual de Pendiente Geométrica Vertical. Fuente: (Elaboración Propia).

PENDIENTE GEOMETRICA VERTICAL					
Válido		Frecuencia	Porcentaje	Porcentaje válido	Porcentaje acumulado
PENDIENTE MENORES A 3%		8	11,3	11,3	11,3
PENDIENTE ENTRE 3% Y 6%		7	9,9	9,9	21,1
PENDIENTE MAYORES A 6%		56	78,9	78,9	100,0
Total		71	100,0	100,0	

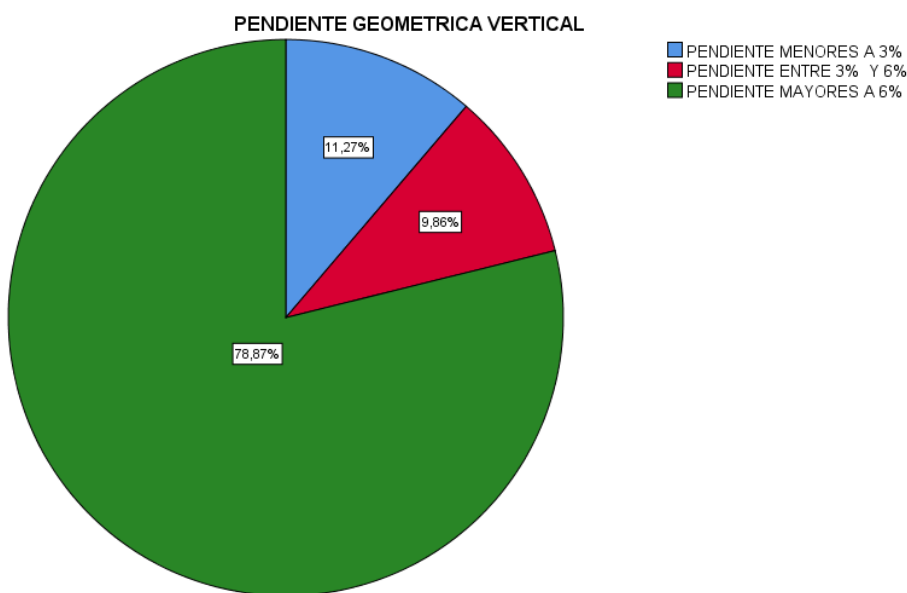


Figura 119. Diagrama circular de pendiente geométrica vertical. Fuente: (Elaboración propia).

Tabla 89

Frecuencia Relativa Porcentual de Daños en Camino Vecinal Afirmado. Fuente: (Elaboración Propia).

DAÑOS EN CAMINOS VECINALES				
	Frecuencia	Porcentaje	Porcentaje válido	Porcentaje acumulado



Válido	<u>DEFORMACION</u>	5	7,0	7,0	7,0
	<u>EROSION</u>	57	80,3	80,3	87,3
	<u>BACHES</u>	9	12,7	12,7	100,0
	Total	71	100,0	100,0	

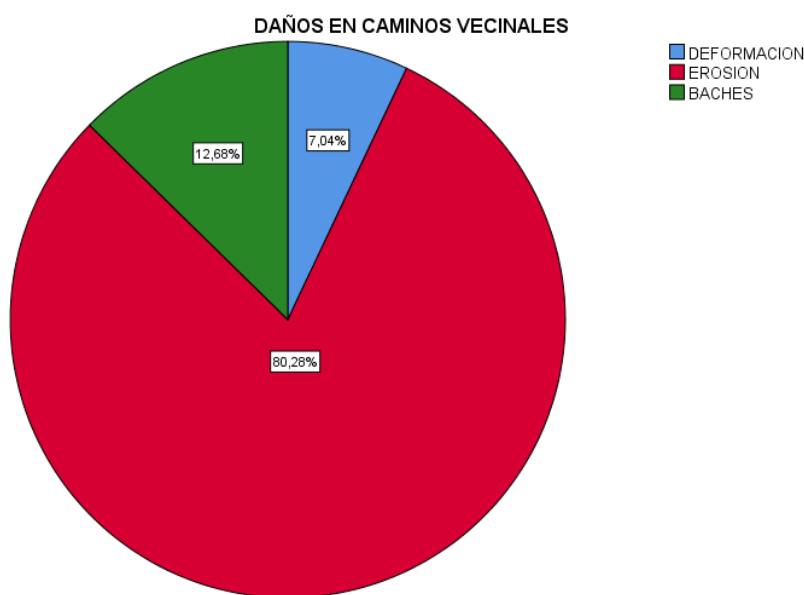


Figura 120. Diagrama circular de daños en caminos vecinales. Fuente: (Elaboración propia).



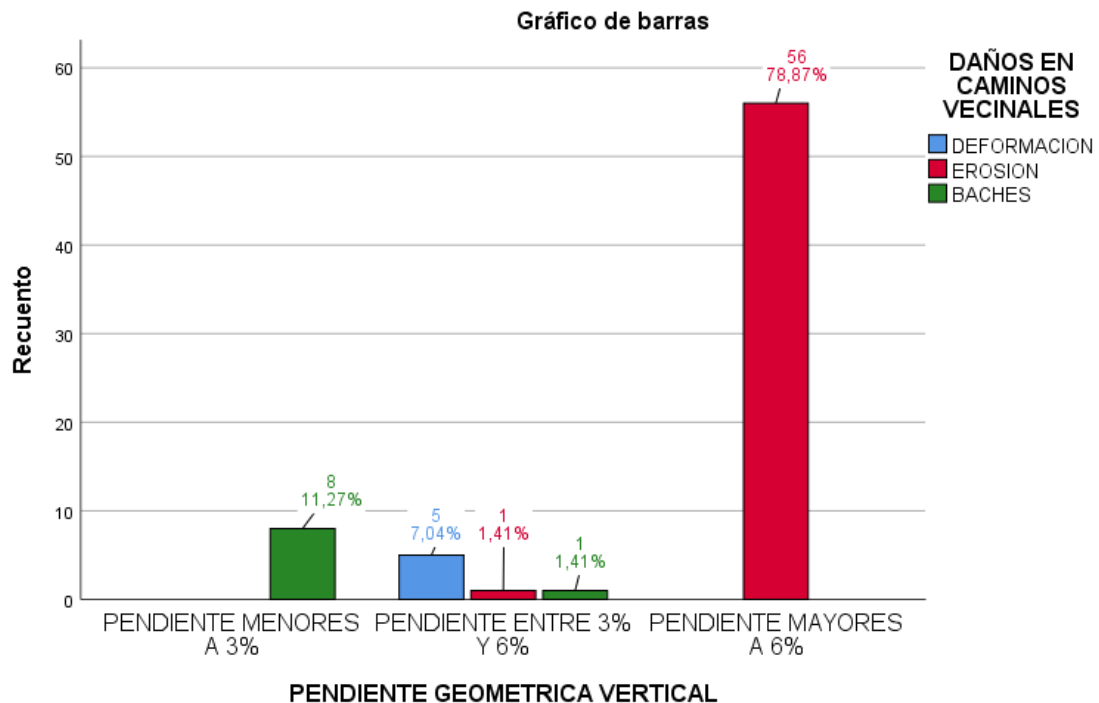


Figura 121. Relación porcentual de variables dependientes e independientes ordinales observadas y esperadas en diagrama de barras. Fuente: Procesamiento en IBM SPSS (Elaboración propia).

Camino vecinal tramo: Purupampa - Tunapuco - Huascapampa.

Tabla 90

Registro de Datos Estadísticos de Inicialización. Fuente: (Elaboración Propia).

VALORES ESTADÍSTICOS		
Muestra	n	100
Minimo	Xmin	0
Maximo	Xmax	40.86
Rango	R	40.86
Intervalos	Kini.	7.64
	Kfin.	14
Amplitud	cini.	2.91857
	cfin.	3

Tabla 91

Registro de Tabla de Distribución de Frecuencias. Fuente: (Elaboración Propia).

TABLA DE DISTRIBUCIÓN DE FRECUENCIAS



PENDIENTE GEOMETRICA VERTICAL										DAÑOS EN CAMINOS VECINALES			
Límite inferior (%)	Límite superior (%)	Márcase	Frecuencia absoluta	Frecuencia acumulada	Frecuencia relativa	Frecuencia relativa	Frecuencia relativa	Frecuencia relativa					
Clase	Li	Ls	Xi	f _i	F _i	hi	H _i	p _i	P _i	D	d _i	D _i	
1.0	0	3.00	1.50	17.00	17.00	0.17	0.17	17.00%	17.00%	BACHES	17.00%	17.00%	
2.0	0	3.00	4.50	13.00	30.00	0.13	0.30	13.00%	30.00%	DEFORMACION	13.00%	30.00%	
3.0	0	6.00	7.50	9.00	39.00	0.09	0.39	9.00%	39.00%	EROSION	70.00%	100.0%	
4.0	0	9.00	12.00	10.50	13.00	0.13	0.52	13.00%	52.00%	EROSION			
5.0	0	12.0	15.00	13.00	4.00	56.00	0.04	0.56	4.00%	EROSION			
6.0	0	15.0	18.00	16.00	7.00	63.00	0.07	0.63	7.00%	EROSION			
7.0	0	18.0	21.00	19.00	8.00	71.00	0.08	0.71	8.00%	EROSION			
8.0	0	21.0	24.00	22.00	4.00	75.00	0.04	0.75	4.00%	EROSION			
9.0	0	24.0	27.00	25.00	12.00	87.00	0.12	0.87	12.00%	EROSION			
10.	0	27.0	30.00	28.00	3.00	90.00	0.03	0.90	3.00%	EROSION			
11.	0	30.0	33.00	31.00	0.00	90.00	0.00	0.90	0.00%	EROSION			
12.	0	33.0	36.00	34.00	6.00	96.00	0.06	0.96	6.00%	EROSION			
13.	0	36.0	39.00	37.00	3.00	99.00	0.03	0.99	3.00%	EROSION			
14.	0	39.0	42.00	40.00	1.00	100.0	0.01	1.00	1.00%	EROSION			
00	0	0	50	0	0	0	0	0	0%				

Tabla 92

Frecuencia Relativa Porcentual de Pendiente Geométrica Vertical. Fuente:
(Elaboración Propia).

PENDIENTE GEOMETRICA VERTICAL



UNIVERSIDAD NACIONAL HERMILIO VALDIZAN – HUÁNUCO FACULTAD DE INGENIERIA CIVIL Y ARQUITECTURA E.A.P. INGENIERIA CIVIL
“ESTUDIO DE PENDIENTE GEOMÉTRICA VERTICAL EN DAÑOS DE CAMINOS VECINALES AFIRMADOS A NIVEL DE PLATAFORMA, REGIÓN HUÁNUCO-2019”

Tesista: Villar Villaueva, Nehemias Fidel



		Frecuencia	Porcentaje	Porcentaje válido	Porcentaje acumulado
Válido	PENDIENTE MENORES A 3%	17	17,0	17,0	17,0
	PENDIENTE ENTRE 3% Y 6%	13	13,0	13,0	30,0
	PENDIENTE MAYORES A 6%	70	70,0	70,0	100,0
	Total	100	100,0	100,0	

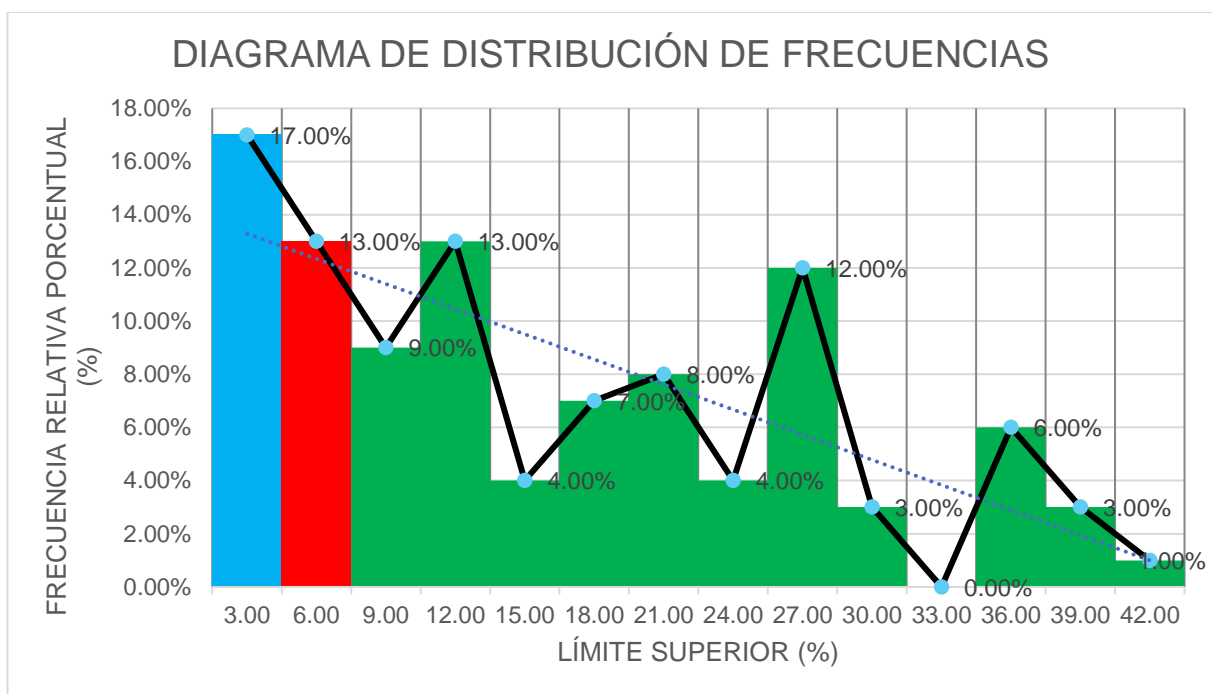


Figura 122. Diagrama de barras de distribución de frecuencias porcentual, relación de daño porcentual en rango de pendiente geométrica vertical. Fuente: (Elaboración propia).

Tabla 93

Registro Medidas de Tendencia Central. Fuente: (Elaboración Propia).

MEDIDAS DE TENDENCIA CENTRAL					
Media	Mediana	Moda	Varianza	Des. Est.	Coef. Var.
\bar{X}	Me	Mo	s^2	s	Cv
14.32	11.59	6.86	121.09	11.00	0.77



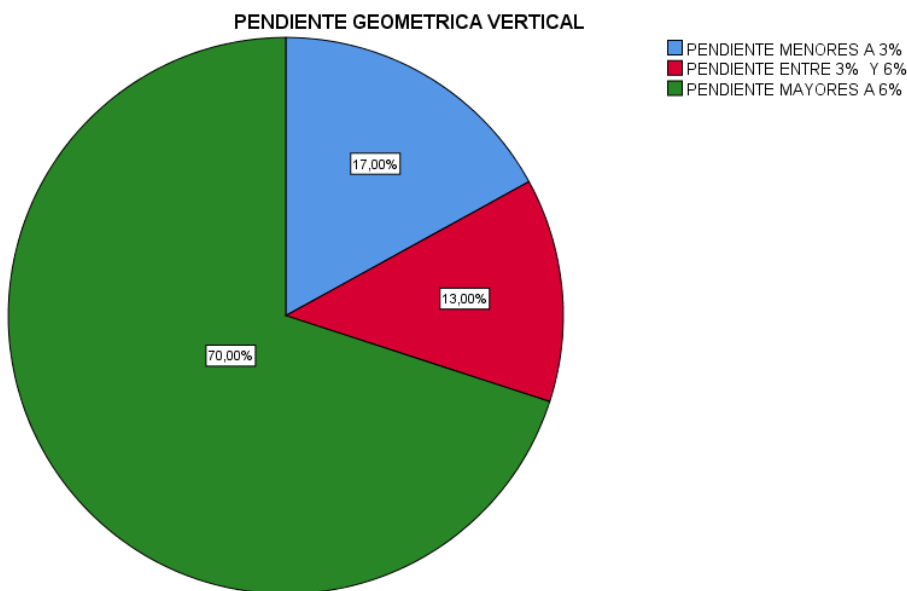


Figura 123. Diagrama circular de pendiente geométrica vertical. Fuente: (Elaboración propia).

Tabla 94

Frecuencia Relativa Porcentual de Daños en Camino Vecinal Afirmado. Fuente: (Elaboración Propia).

DAÑOS EN CAMINOS VECINALES					
		Frecuencia	Porcentaje	Porcentaje válido	Porcentaje
					acumulado
Válido	<u>DEFORMACION</u>	11	11,0	11,0	11,0
	<u>EROSION</u>	71	71,0	71,0	82,0
	<u>BACHES</u>	18	18,0	18,0	100,0
	Total	100	100,0	100,0	



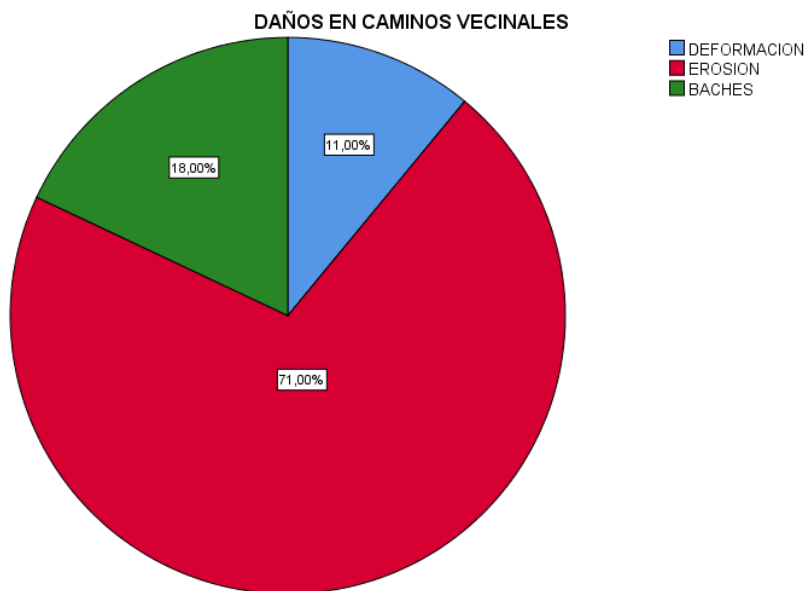


Figura 124. Diagrama circular de daños en caminos vecinales. Fuente: (Elaboración propia).

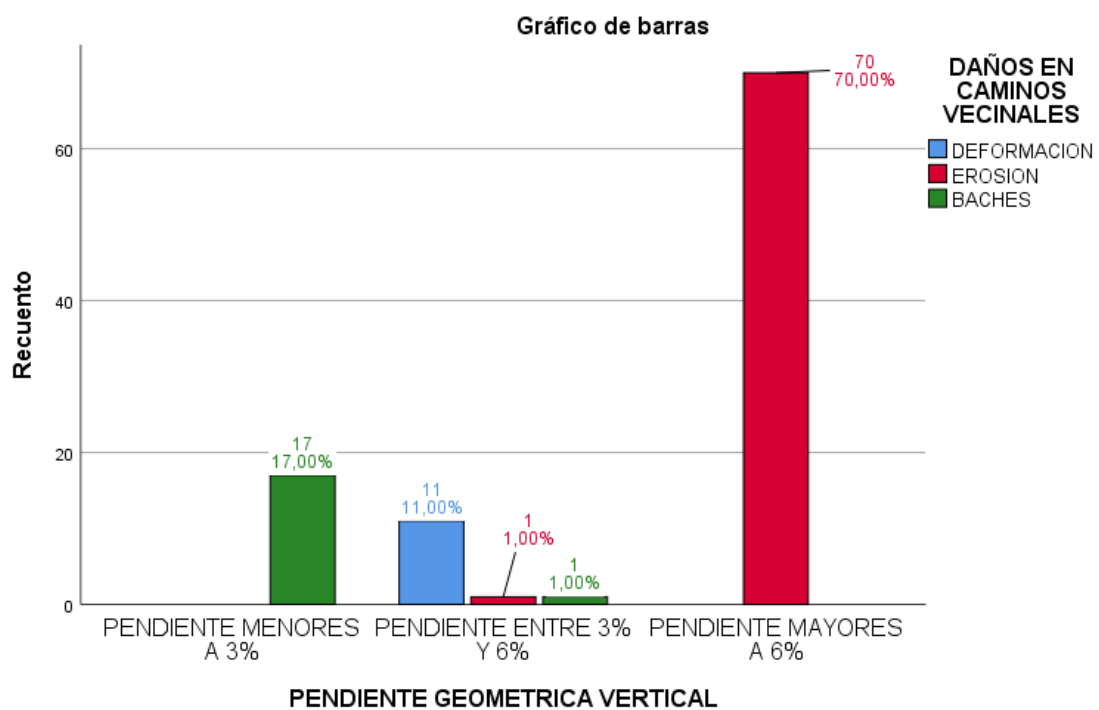


Figura 125. Relación porcentual de variables dependientes e independientes ordinales observadas y esperadas en diagrama de barras. Fuente: Procesamiento en IBM SPSS (Elaboración propia).



Camino vecinal tramo: Huaman – Tipsa - Tipsa Alta

Tabla 95

Registro de Datos Estadísticos de Inicialización. Fuente: (Elaboración Propia).

VALORES ESTADÍSTICOS		
Muestra	n	82
Minimo	Xmin	0.05
Maximo	Xmax	57.82
Rango	R	57.77
Intervalos	Kini.	7.35386
	Kfin.	20
Amplitud	cini.	2.8885
	cfin.	3

Tabla 96

Registro de Tabla de Distribución de Frecuencias. Fuente: (Elaboración Propia).

Lím ite infe rior (%)	Lím ite sup erio r (%)	Ma rca de absol uta se	Frecu encia absol ula ta	Frecu encia acum ulada	Frecu encia relati va	TABLA DE DISTRIBUCIÓN DE FRECUENCIAS		DAÑOS EN CAMINOS VECINALES																	
												Cl as e	Li	Ls	Xi	fi	Fi	hi	Hi	pi	Pi	D	di	Di	
1.0				1.5																				9.76%	9.76%
0	0.05	3.05		5	8.00	8.00	0.10	0.10	9.76%	9.76%			BACHES												
2.0				4.5																				10.98%	20.73%
0	3.05	6.05		5	9.00	17.00	0.11	0.21		%			DEFORMACION												
3.0				7.5																				25.61%	79.27%
0	6.05	9.05		5	4.00	21.00	0.05	0.26	4.88%	%			EROSION												
4.0				10.																				34.15%	
0	9.05	5		55	7.00	28.00	0.09	0.34	8.54%	%			EROSION												
5.0	12.0	15.0		13.																				13.41%	47.56%
0	5	5		55	11.00	39.00	0.13	0.48		%			EROSION												
6.0	15.0	18.0		16.																				15.85%	63.41%
0	5	5		55	13.00	52.00	0.16	0.63		%			EROSION												



7.0	18.0	21.0	19.							70.73	%	EROSION
0	5	5	55	6.00	58.00	0.07	0.71	7.32%		80.49		
8.0	21.0	24.0	22.									EROSION
0	5	5	55	8.00	66.00	0.10	0.80	9.76%		84.15		
9.0	24.0	27.0	25.							90.24		
0	5	5	55	3.00	69.00	0.04	0.84	3.66%		92.68		EROSION
10.	27.0	30.0	28.							92.68		
00	5	5	55	5.00	74.00	0.06	0.90	6.10%		95.12		EROSION
11.	30.0	33.0	31.							97.56		
00	5	5	55	2.00	76.00	0.02	0.93	2.44%		97.56		EROSION
12.	33.0	36.0	34.							97.56		
00	5	5	55	0.00	76.00	0.00	0.93	0.00%		97.56		EROSION
13.	36.0	39.0	37.							97.56		
00	5	5	55	2.00	78.00	0.02	0.95	2.44%		97.56		EROSION
14.	39.0	42.0	40.							97.56		
00	5	5	55	2.00	80.00	0.02	0.98	2.44%		97.56		EROSION
15.	42.0	45.0	43.							97.56		
00	5	5	55	0.00	80.00	0.00	0.98	0.00%		97.56		EROSION
16.	45.0	48.0	46.							97.56		
00	5	5	55	0.00	80.00	0.00	0.98	0.00%		97.56		EROSION
17.	48.0	51.0	49.							97.56		
00	5	5	55	0.00	80.00	0.00	0.98	0.00%		97.56		EROSION
18.	51.0	54.0	52.							98.78		
00	5	5	55	1.00	81.00	0.01	0.99	1.22%		98.78		EROSION
19.	54.0	57.0	55.							98.78		
00	5	5	55	0.00	81.00	0.00	0.99	0.00%		98.78		EROSION
20.	57.0	60.0	58.							100.00		
00	5	5	55	1.00	82.00	0.01	1.00	1.22%		100.00		EROSION



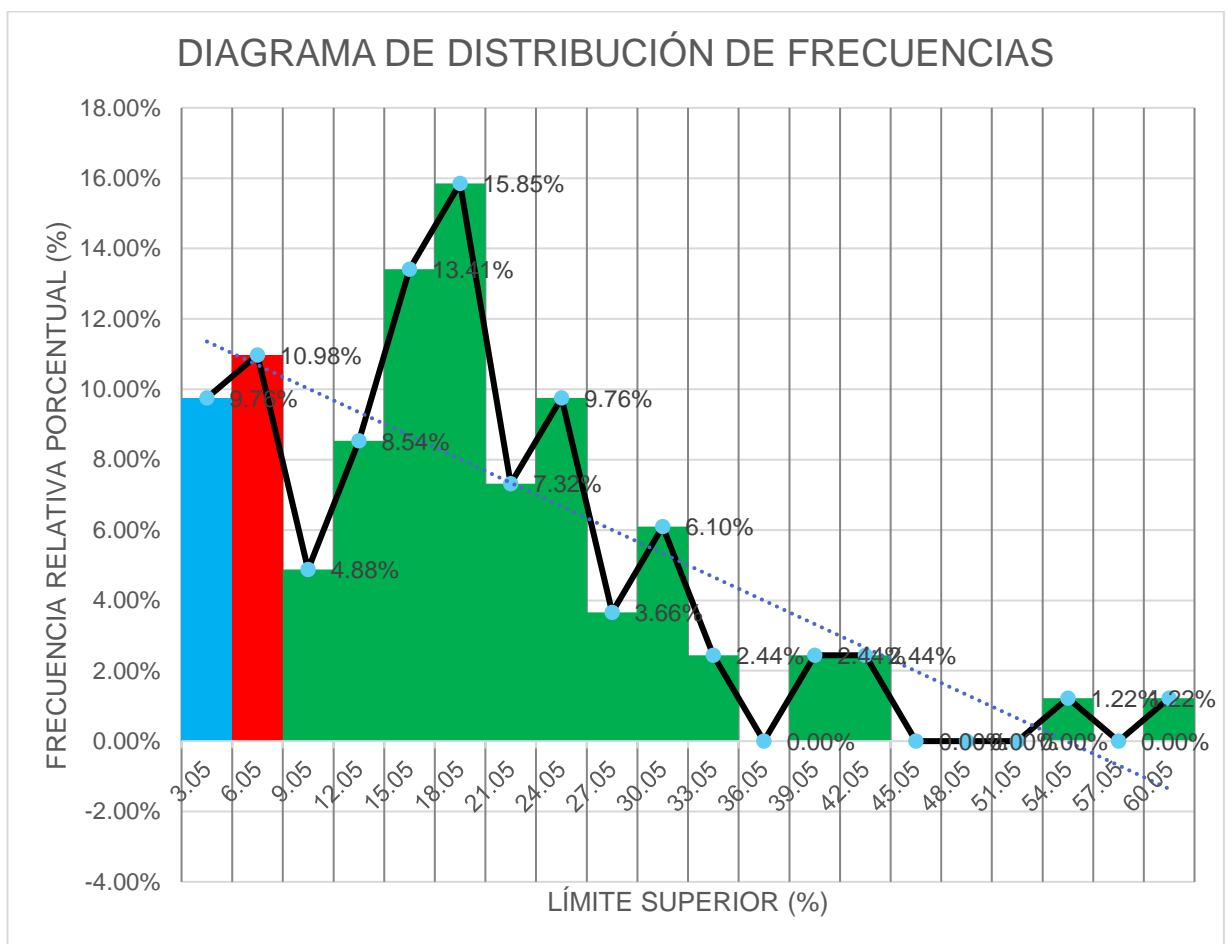


Figura 126. Diagrama de barras de distribución de frecuencias porcentual, relación de daño porcentual en rango de pendiente geométrica vertical. Fuente: (Elaboración propia).

Tabla 97

Registro Medidas de Tendencia Central. Fuente: (Elaboración Propia).

MEDIDAS DE TENDENCIA CENTRAL					
Media	Mediana	Moda	Varianza	Des. Est.	Coef. Var.
\bar{X}	Me	Mo	s^2	s	Cv
16.53	15.59	10.58	133.49	11.55	0.70

Tabla 98

Frecuencia Relativa Porcentual de Pendiente Geométrica Vertical. Fuente: (Elaboración Propia).

PENDIENTE GEOMETRICA VERTICAL



		Frecuencia	Porcentaje	Porcentaje válido	Porcentaje acumulado
Válido	PENDIENTE MENORES A 3%	8	9,8	9,8	9,8
	PENDIENTE ENTRE 3% Y 6%	8	9,8	9,8	19,5
	PENDIENTE MAYORES A 6%	66	80,5	80,5	100,0
	Total	82	100,0	100,0	

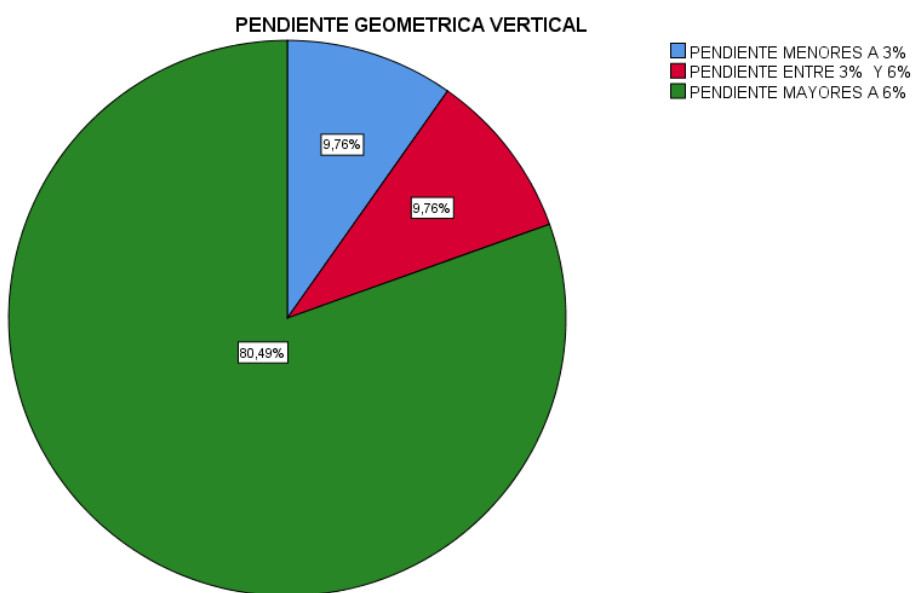


Figura 127. Diagrama circular de pendiente geométrica vertical. Fuente: (Elaboración propia).

Tabla 99

Frecuencia Relativa Porcentual de Daños en Camino Vecinal Afirmado. Fuente: (Elaboración Propia).

DAÑOS EN CAMINOS VECINALES					
		Frecuencia	Porcentaje	Porcentaje válido	Porcentaje acumulado
Válido	DEFORMACION	9	11,0	11,0	11,0
	EROSION	64	78,0	78,0	89,0
	BACHES	9	11,0	11,0	100,0
	Total	82	100,0	100,0	



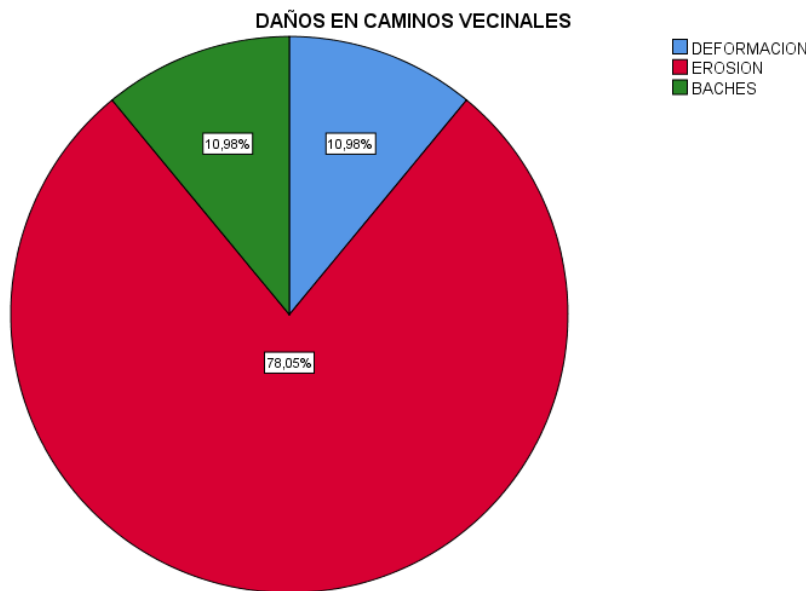


Figura 128. Diagrama circular de daños en caminos vecinales. Fuente: (Elaboración propia).

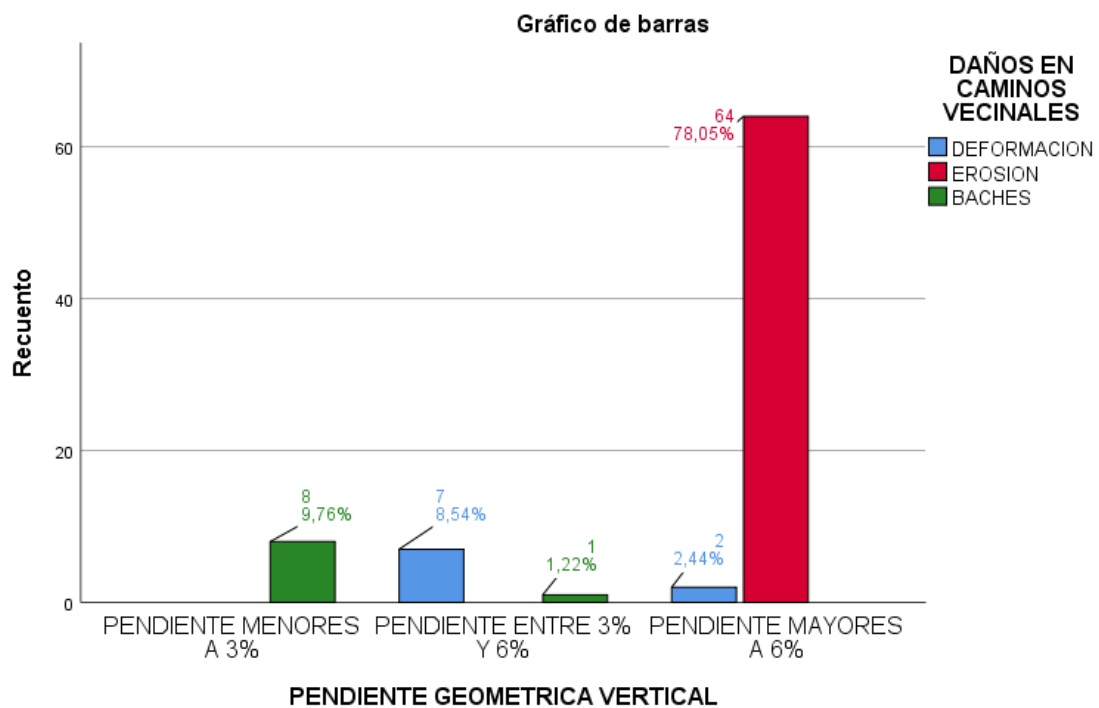


Figura 129. Relación porcentual de variables dependientes e independientes ordinales observadas y esperadas en diagrama de barras. Fuente: Procesamiento en IBM SPSS (Elaboración propia).4



CAMINOS VECINALES CORRESPONDIENTES A LOS TRAMOS DE LA REGIÓN SELVA:

Tabla 100

Registro de Datos Estadísticos de Inicialización. Fuente: (Elaboración Propia).

VALORES ESTADÍSTICOS		
Muestra	n	227
Minimo	Xmin	0
Maximo	Xmax	24.27
Rango	R	24.27
Intervalos	Kini.	8.82201
	Kfin.	9
Amplitud	cini.	2.69667
	cfin.	3

Tabla 101

Registro de Tabla de Distribución de Frecuencias. Fuente: (Elaboración Propia).

TABLA DE DISTRIBUCIÓN DE FRECUENCIAS										
PENDIENTE GEOMETRICA VERTICAL										
Limit e inferi or (%)	Limite superi or (%)	Marc a de Clas e	Frecuen cia absoluta	Frecuen cia acumula da	Frecuen cia relativa	Frecuen cia relativa acumula da	Frecuen cia relativa acumula da	Frecuen cia relativa Porcentu al	Frecuen cia relativa Porcentu al	Frecuen cia relativa Porcentu al acumula da
Clas e	Li	Ls	Xi	f _i	F _i	h _i	H _i	p _i	P _i	
1.00	0.00	3.00	1.50	140.00	140.00	0.62	0.62	61.67%	61.67%	
2.00	3.00	6.00	4.50	42.00	182.00	0.19	0.80	18.50%	80.18%	
3.00	6.00	9.00	7.50	27.00	209.00	0.12	0.92	11.89%	92.07%	
4.00	9.00	12.00	10.5	8.00	217.00	0.04	0.96	3.52%	95.59%	
5.00	12.00	15.00	13.5	7.00	224.00	0.03	0.99	3.08%	98.68%	
6.00	15.00	18.00	16.5	2.00	226.00	0.01	1.00	0.88%	99.56%	
7.00	18.00	21.00	19.5	0.00	226.00	0.00	1.00	0.00%	99.56%	
8.00	21.00	24.00	22.5	0.00	226.00	0.00	1.00	0.00%	99.56%	
9.00	24.00	27.00	25.5	1.00	227.00	0.00	1.00	0.44%	100.00%	



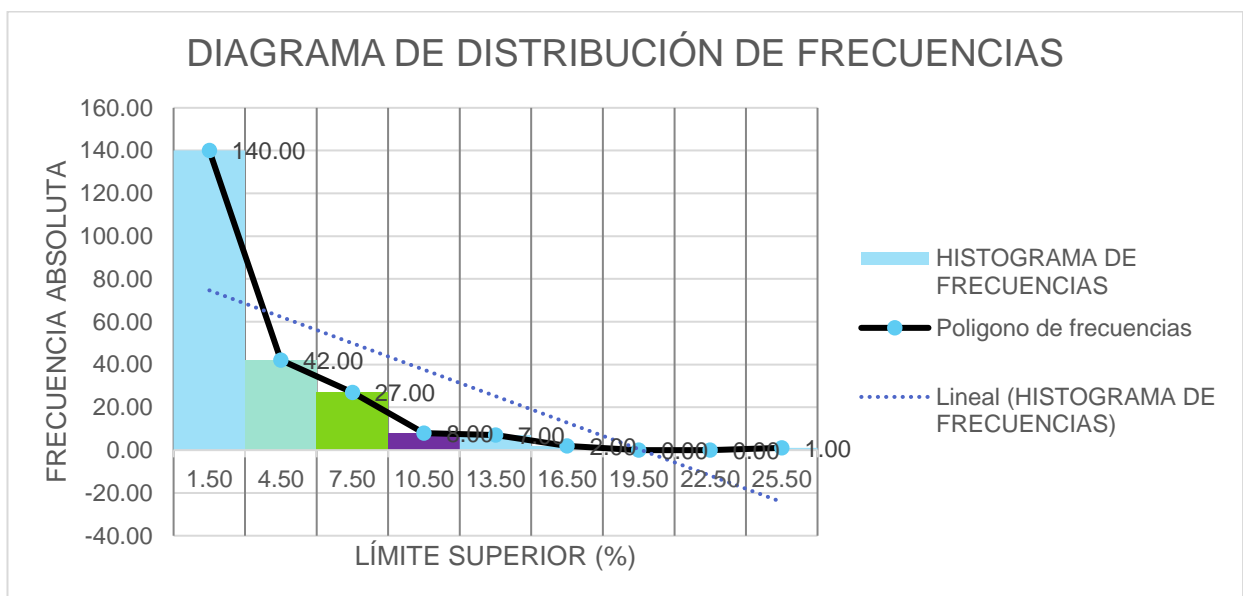


Figura 130. Diagrama de barras de distribución de frecuencias porcentual, relación de daño porcentual en rango de pendiente geométrica vertical. Fuente: (Elaboración propia).

Tabla 102

Registro Medidas de Tendencia Central. Fuente: (Elaboración Propia).

MEDIDAS DE TENDENCIA CENTRAL					
Media	Mediana	Moda	Varianza	Des. Est.	Coef. Var.
\bar{X}	Me	Mo	s^2	s	Cv
3.08	1.94	0.00	15.28	3.91	1.27

Tabla 103

Registro de tabla de distribución de frecuencias. Fuente: (Elaboración propia).



TABLA DE DISTRIBUCIÓN DE FRECUENCIAS

PENDIENTE GEOMETRICA VERTICAL										DAÑOS EN CAMINOS VECINALES		
Limi te infe rior (%)	Limi te rior (%)	Marc a de Clase abs olu ta	Fre cue nci a abs olu ta	Frec uen cia acu mul ada	Frec uenc ia relat iva	Frec uenc ia relat iva	Frecue ncia relativa	Frecue ncia relativa	Daños	Frecue ncia relativa	Frecue ncia relativa	
Cla se	Li	Ls	Xi	fi	Fi	hi	Hi	pi	Pi	D	di	Di
1	0	3	1.5	140	140	0.62	0.62	61.67%	61.67%	BACHES	61.67%	61.67%
2	3	6	4.5	42	182	0.19	0.80	18.50%	80.18%	DEFORMACION	18.50%	80.18%
3	6	9	7.5	27	209	0.12	0.92	11.89%	92.07%	EROSION	19.82%	100.0%
4	9	12	10.5	8	217	0.04	0.96	3.52%	95.59%	EROSION		
5	12	15	13.5	7	224	0.03	0.99	3.08%	98.68%	EROSION		
6	15	18	16.5	2	226	0.01	1.00	0.88%	99.56%	EROSION		
7	18	21	19.5	0	226	0.00	1.00	0.00%	99.56%	EROSION		
8	21	24	22.5	0	226	0.00	1.00	0.00%	99.56%	EROSION		
9	24	27	25.5	1	227	0.00	1.00	0.44%	100.0%	EROSION		



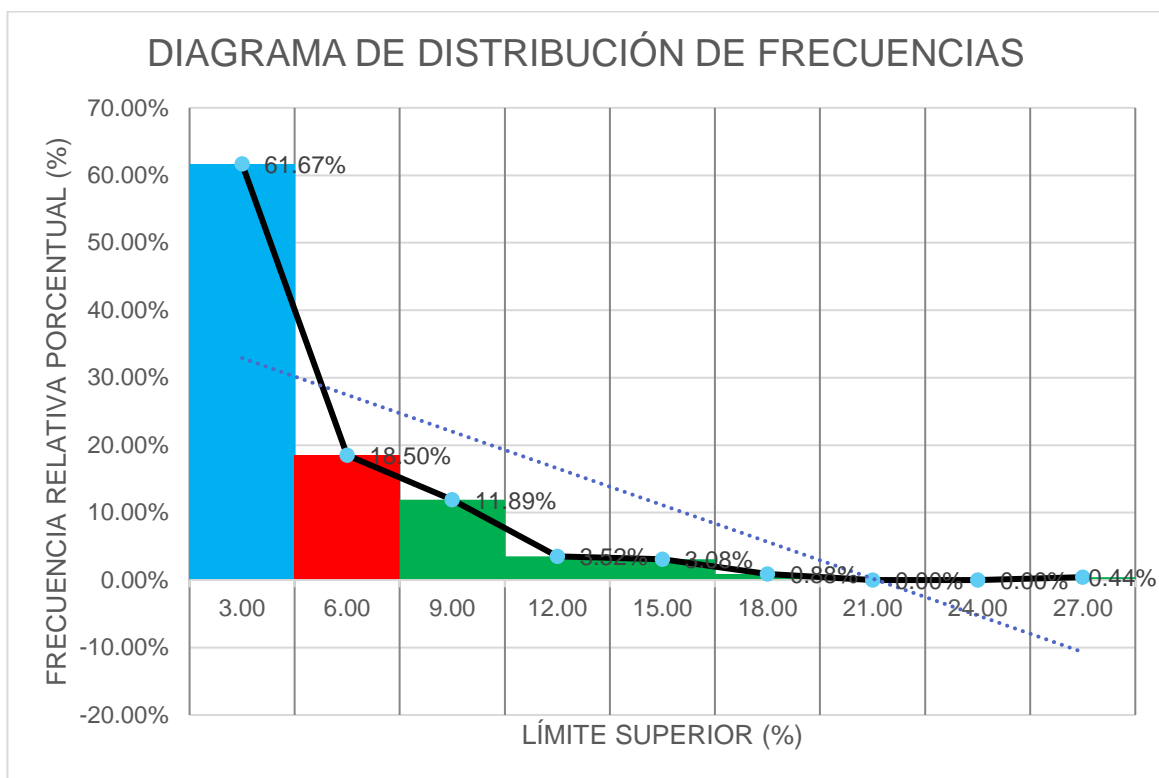


Figura 131. Diagrama de barras de distribución de frecuencias porcentual, relación de daño porcentual en rango de pendiente geométrica vertical. Fuente: (Elaboración propia).



UNIVERSIDAD NACIONAL HERMILIO VALDIZAN – HUÁNUCO FACULTAD DE INGENIERIA CIVIL Y
ARQUITECTURA E.A.P. INGENIERIA CIVIL

“ESTUDIO DE PENDIENTE GEOMÉTRICA VERTICAL EN DAÑOS DE CAMINOS VECINALES AFIRMADOS A
NIVEL DE PLATAFORMA, REGIÓN HUÁNUCO-2019”

Tesista: Villar Villaueva, Nehemias Fidel



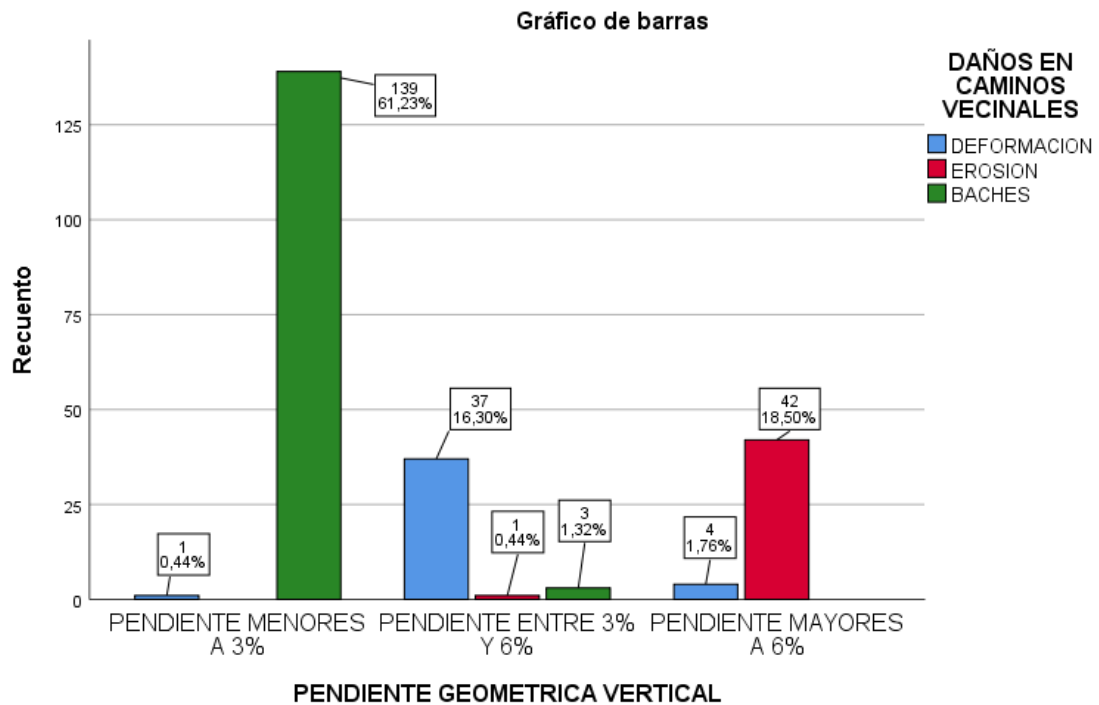


Figura 132. Relación porcentual de variables dependientes e independientes ordinales observadas y esperadas en diagrama de barras. Fuente: Procesamiento en IBM SPSS (Elaboración propia).

Tabla 104

Frecuencia Relativa Porcentual de Pendiente Geométrica Vertical. Fuente: (Elaboración Propia).

PENDIENTE GEOMETRICA VERTICAL

		Frecuencia	Porcentaje		Porcentaje acumulado
			válido	acumulado	
Válido	PENDIENTE MENORES A 3%	140	61,7	61,7	61,7
	PENDIENTE ENTRE 3% Y 6%	41	18,1	18,1	79,7
	PENDIENTE MAYORES A 6%	46	20,3	20,3	100,0
	Total	227	100,0	100,0	



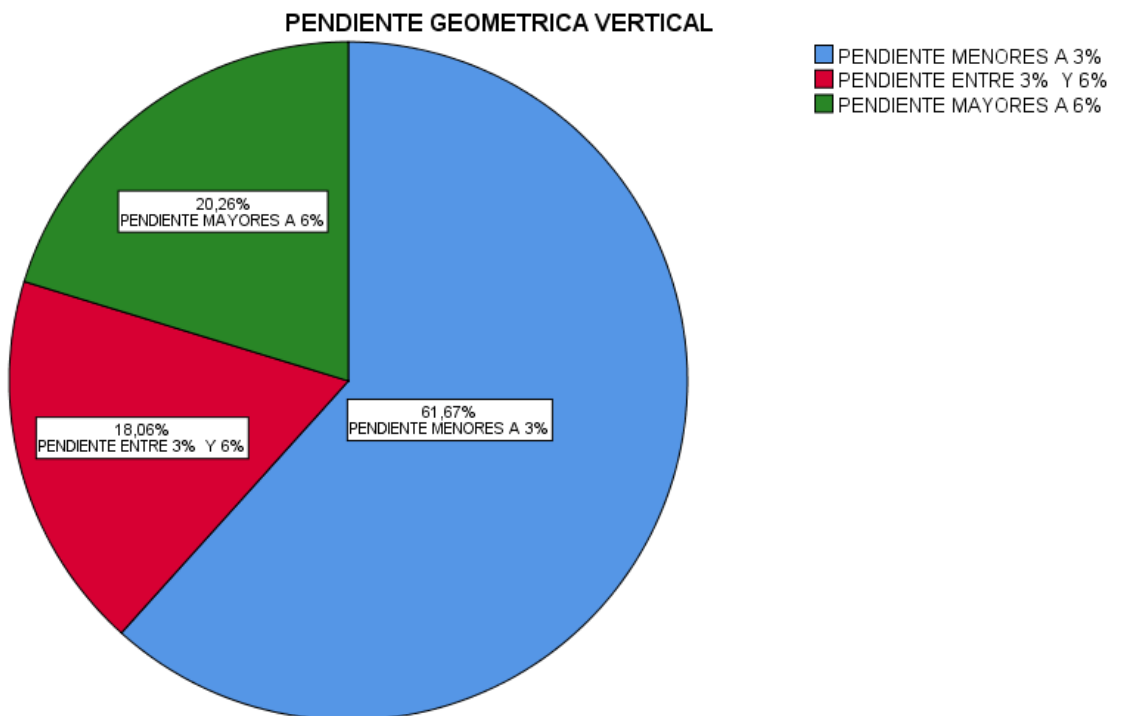


Figura 133. Diagrama circular de pendiente geométrica vertical. Fuente: (Elaboración propia).

Tabla 105

Frecuencia Relativa Porcentual de Daños en Camino Vecinal Afirmado. Fuente: (Elaboración Propia).

DAÑOS EN CAMINOS VECINALES					
	Frecuencia	Porcentaje	Porcentaje		Porcentaje acumulado
			válido	acumulado	
Válido	DEFORMACION	42	18,5	18,5	18,5
	EROSION	43	18,9	18,9	37,4
	BACHES	142	62,6	62,6	100,0
	Total	227	100,0	100,0	



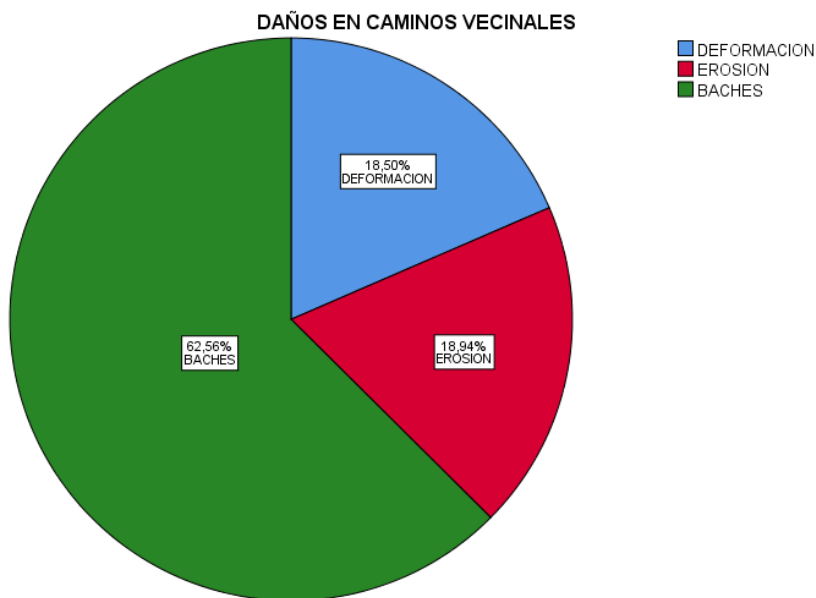


Figura 134. Diagrama circular de daños en caminos vecinales. Fuente: (Elaboración propia).

CAMINOS VECINALES CORRESPONDIENTES A LOS TRAMOS DE LA REGIÓN SIERRA:

Tabla 106

Registro de Datos Estadísticos de Inicialización. Fuente: (Elaboración Propia).

<u>VALORES ESTADÍSTICOS</u>		
Muestra	n	856
Minimo	Xmin	0
Maximo	Xmax	57.82
Rango	R	57.82
Intervalos	Kini.	10.7358
	Kfin.	10
Amplitud	cini.	5.782
	cfin.	6

Tabla 107

Registro de Tabla de Distribución de Frecuencias. Fuente: (Elaboración Propia).



TABLA DE DISTRIBUCIÓN DE FRECUENCIAS
PENDIENTE GEOMETRICA VERTICAL

Límite inferior (%)	Límite superior (%)	Marcas de Clase	Frecuencia absoluta	Frecuencia acumulada	Frecuencia relativa	Frecuencia acumulada relativa	Frecuencia relativa Porcentual	Frecuencia relativa Porcentual acumulada	
Clase	Li	Ls	Xi	f _i	F _i	h _i	H _i	p _i	P _i
1.00	0.00	6.00	3.00	239.00	239.00	0.28	0.28	27.92%	27.92%
2.00	6.00	12.00	9.00	182.00	421.00	0.21	0.49	21.26%	49.18%
3.00	12.00	18.00	15.0	145.00	566.00	0.17	0.66	16.94%	66.12%
4.00	18.00	24.00	21.0	115.00	681.00	0.13	0.80	13.43%	79.56%
5.00	24.00	30.00	27.0	94.00	775.00	0.11	0.91	10.98%	90.54%
6.00	30.00	36.00	33.0	38.00	813.00	0.04	0.95	4.44%	94.98%
7.00	36.00	42.00	39.0	28.00	841.00	0.03	0.98	3.27%	98.25%
8.00	42.00	48.00	45.0	10.00	851.00	0.01	0.99	1.17%	99.42%
9.00	48.00	54.00	51.0	4.00	855.00	0.00	1.00	0.47%	99.88%
10.0	54.00	60.00	57.0	1.00	856.00	0.00	1.00	0.12%	100.00%

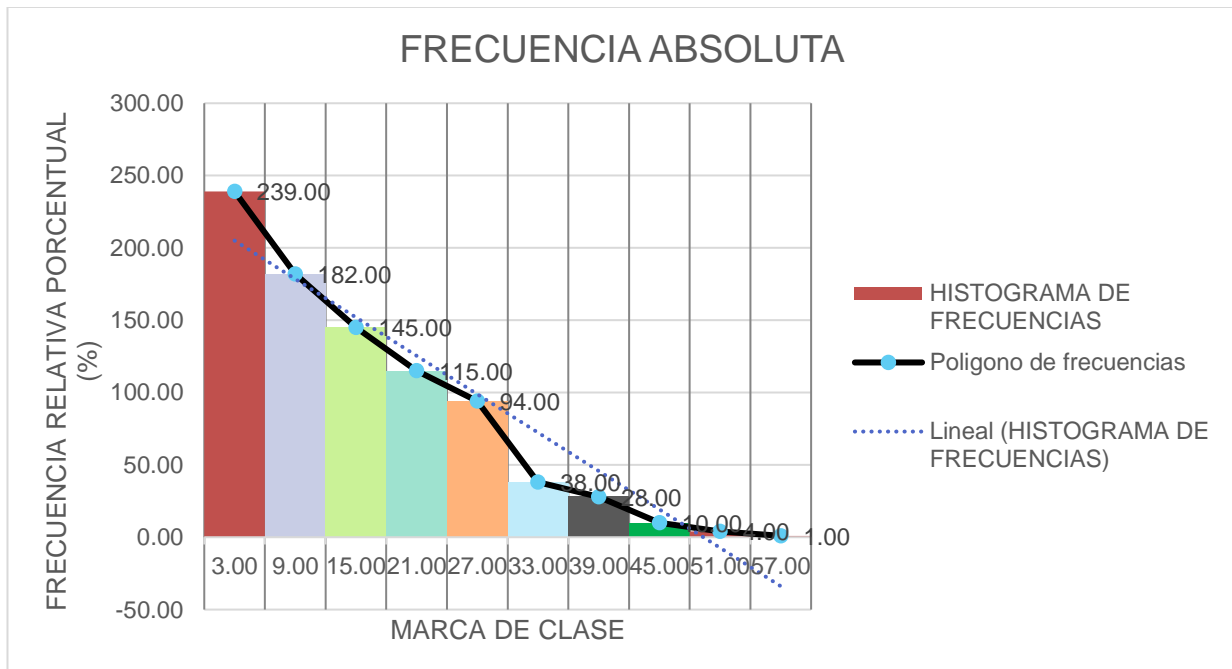


Figura 135. Diagrama de barras de distribución de frecuencias porcentual, relación de daño porcentual en rango de pendiente geométrica vertical. Fuente: (Elaboración propia).



Tabla 108

Registro Medidas de Tendencia Central. Fuente: (Elaboración Propia).

MEDIDAS DE TENDENCIA CENTRAL					
Media	Mediana	Moda	Varianza	Des. Est.	Coef. Var.
\bar{X}	M_e	M_o	s^2	s	C_v
14.68	12.28	0.00	131.07	11.45	0.78

Tabla 109

Registro de Datos Estadísticos de Inicialización. Fuente: (Elaboración Propia).

VALORES ESTADISTICOS		
Muestra	n	856
Minimo	Xmin	0
Maximo	Xmax	57.82
Rango	R	57.82
Intervalos	Kini.	10.7358
	Kfin.	20
Amplitud	cini.	2.891
	cfin.	3

Tabla 110

Registro de Tabla de Distribución de Frecuencias. Fuente: (Elaboración Propia).



TABLA DE DISTRIBUCIÓN DE FRECUENCIAS												DAÑOS EN CAMINOS VECINALES	
PENDIENTE GEOMETRICA VERTICAL												Frecuencia relativa porcentual acumulada (DAÑOS)	Frecuencia relativa porcentual acumulada (DAÑOS)
Límite inferior (%)	Límite superior (%)	Márcade Clase se	Frecuencia absoluta	Frecuencia acumulada	Frecuencia relativa	Daños							
1.0	0.00	3.00	1.5	137.00	137.00	0.16	0.16	16.00%	16.00%	BACHES	16.00%	16.00%	
2.0	3.00	6.00	4.5	102.00	239.00	0.12	0.28	11.92%	27.92%	DEFORMACION	11.92%	27.92%	
3.0	6.00	9.00	7.5	92.00	331.00	0.11	0.39	10.75%	38.67%	EROSION	72.08%	100.00%	
4.0	9.00	12.00	10.5	90.00	421.00	0.11	0.49	10.51%	49.18%	EROSION			
5.0	12.00	15.00	13.5	70.00	491.00	0.08	0.57	8.18%	57.36%	EROSION			
6.0	15.00	18.00	16.5	75.00	566.00	0.09	0.66	8.76%	66.12%	EROSION			
7.0	18.00	21.00	19.5	58.00	624.00	0.07	0.73	6.78%	72.90%	EROSION			
8.0	21.00	24.00	22.5	57.00	681.00	0.07	0.80	6.66%	79.56%	EROSION			
9.0	24.00	27.00	25.5	50.00	731.00	0.06	0.85	5.84%	85.40%	EROSION			
10	27.00	30.00	28.5	44.00	775.00	0.05	0.91	5.14%	90.54%	EROSION			
11	30.00	33.00	31.5	17.00	792.00	0.02	0.93	1.99%	92.52%	EROSION			
12	33.00	36.00	34.5	21.00	813.00	0.02	0.95	2.45%	94.98%	EROSION			
13	36.00	39.00	37.5	17.00	830.00	0.02	0.97	1.99%	96.96%	EROSION			
14	39.00	42.00	40.5	11.00	841.00	0.01	0.98	1.29%	98.25%	EROSION			
15	42.00	45.00	43.5	6.00	847.00	0.01	0.99	0.70%	98.95%	EROSION			
16	45.00	48.00	46.5	4.00	851.00	0.00	0.99	0.47%	99.42%	EROSION			
17	48.00	51.00	49.5	1.00	852.00	0.00	1.00	0.12%	99.53%	EROSION			
18	51.00	54.00	52.5	3.00	855.00	0.00	1.00	0.35%	99.88%	EROSION			
19	54.00	57.00	55.5	0.00	855.00	0.00	1.00	0.00%	99.88%	EROSION			
20	57.00	60.00	58.5	1.00	856.00	0.00	1.00	0.12%	100.00%	EROSION			



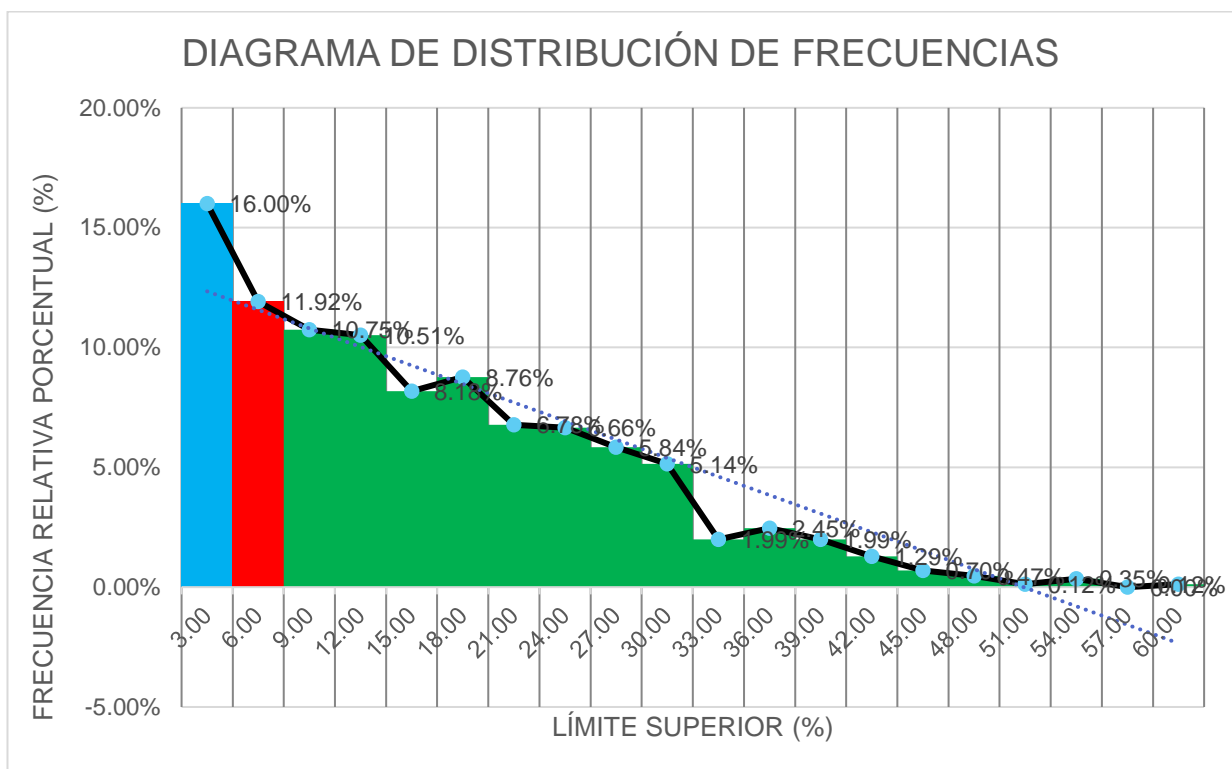


Figura 136. Diagrama de barras de distribución de frecuencias porcentual, relación de daño porcentual en rango de pendiente geométrica vertical. Fuente: (Elaboración propia).



UNIVERSIDAD NACIONAL HERMILIO VALDIZÁN – HUÁNUCO FACULTAD DE INGENIERIA CIVIL Y
ARQUITECTURA E.A.P. INGENIERIA CIVIL

“ESTUDIO DE PENDIENTE GEOMÉTRICA VERTICAL EN DAÑOS DE CAMINOS VECINALES AFIRMADOS A
NIVEL DE PLATAFORMA, REGIÓN HUÁNUCO-2019”

Tesista: Villar Villaueva, Nehemias Fidel



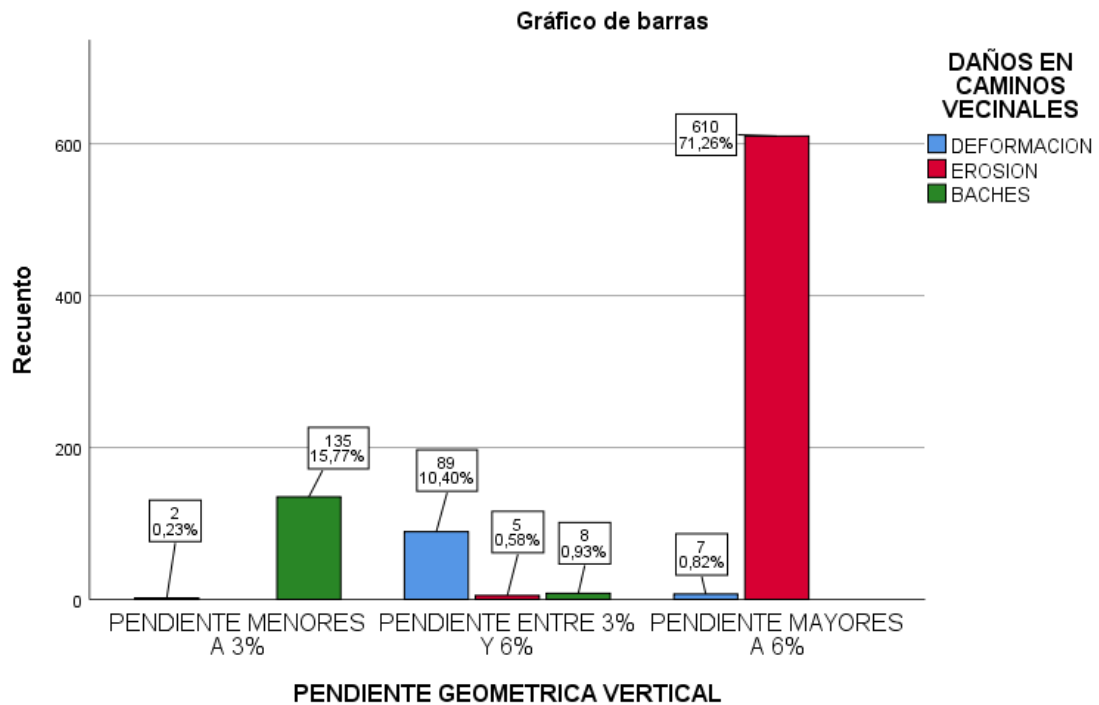


Figura 137. Relación porcentual de variables dependientes e independientes ordinales observadas y esperadas en diagrama de barras. Fuente: Procesamiento en IBM SPSS (Elaboración propia).

Tabla 111

Frecuencia Relativa Porcentual de Pendiente Geométrica Vertical. Fuente: (Elaboración Propria).

PENDIENTE GEOMETRICA VERTICAL					
		Frecuencia	Porcentaje	Porcentaje	Porcentaje
				válido	acumulado
Válido	PENDIENTE MENORES A 3%	137	16,0	16,0	16,0
	PENDIENTE ENTRE 3% Y 6%	102	11,9	11,9	27,9
	PENDIENTE MAYORES A 6%	617	72,1	72,1	100,0
	Total	856	100,0	100,0	



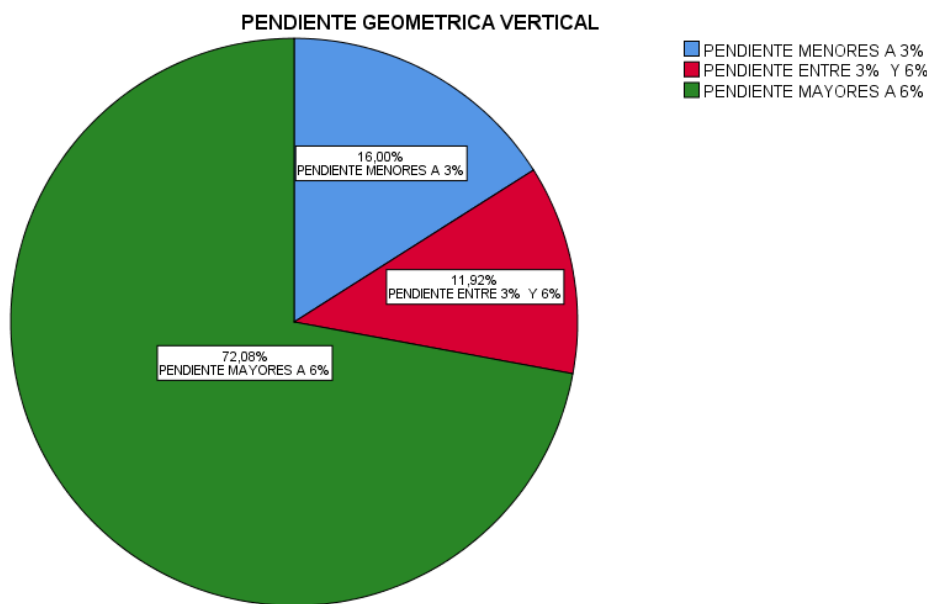


Figura 138. Diagrama circular de pendiente geométrica vertical. Fuente: (Elaboración propia).

Tabla 112

Frecuencia Relativa Porcentual de Daños en Camino Vecinal Afirmado. Fuente: (Elaboración Propia).

DAÑOS EN CAMINOS VECINALES					
	Frecuencia	Porcentaje	Porcentaje		Porcentaje acumulado
			válido	acumulado	
Válido	DEFORMACION	98	11,4	11,4	11,4
	EROSION	615	71,8	71,8	83,3
	BACHES	143	16,7	16,7	100,0
	Total	856	100,0	100,0	



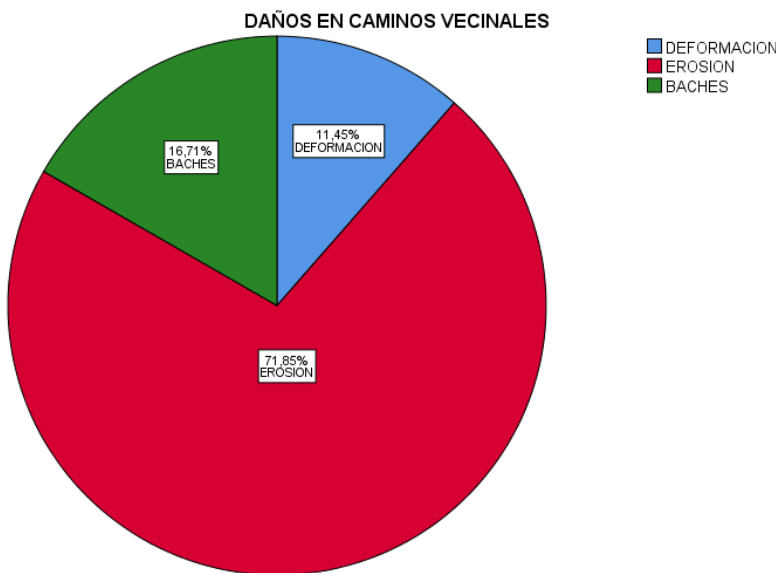


Figura 139. Diagrama circular de daños en caminos vecinales. Fuente: (Elaboración propia).

VERIFICACIÓN E INTERPRETACIÓN DE RESULTADOS OBTENIDOS DE LA SECCIÓN 3.1

Analizando los gráficos de pendiente geométrica vertical y daños en caminos vecinales afirmados, se verifica que los resultados obtenidos son los siguientes:

En región selva:

- ✓ De la tabla 101, tabla 103, tabla 104, la figura 131 y figura 133 se afirma que el 61.67% corresponde a la pendiente geométrica vertical que fluctúa entre 0.00 % y 3.00%, con presencia de daños con mayor incidencia de BACHES.
- ✓ De la tabla 101, tabla 103 y figura 131 se afirma que el 18.50% corresponde a la pendiente geométrica vertical que fluctúa entre 3.00 % y 6.00%, con presencia de daños con mayor incidencia de DEFORMACION.
- ✓ De la tabla 101, tabla 103 y figura 131 se afirma que el 19.82% corresponde a la pendiente geométrica vertical que fluctúa entre 6.00 % y 24.27%, con



presencia de daños con mayor incidencia de EROSION.

- ✓ De la figura 132 se afirma que el daño de BACHES equivale al $61.23\% + 1.32\% = 62.55\%$ comprendido en la PENDIENTE GEOMETRICA VERTICAL de 0.00% a 6.00%.
- ✓ De la figura 132 se afirma que el daño de DEFORMACION equivale al $0.44\% + 16.30\% + 1.76\% = 18.50\%$ comprendido en la PENDIENTE GEOMETRICA VERTICAL de 0.00% a 24.27%.
- ✓ De la figura 132 se afirma que el daño de EROSION equivale al $0.44\% + 18.50\% = 18.940\%$ comprendido en la PENDIENTE GEOMETRICA VERTICAL de 6.00% a 24.27%.
- ✓ De la figura 132 se afirma que en el rango de la PENDIENTE GEOMÉTRICA VERTICAL entre 0.00% y 3.00% se registran DAÑOS equivalentes a 61.23% de BACHES y 0.44% de DEFORMACION.
- ✓ De la figura 132 se afirma que en el rango de la PENDIENTE GEOMÉTRICA VERTICAL entre 3.00% y 6.00% se registran DAÑOS equivalentes a 16.30% de DEFORMACION, 1.32% de BACHES y 0.44% de EROSION.
- ✓ De la figura 132 se afirma que en el rango de la PENDIENTE GEOMÉTRICA VERTICAL entre 6.00% y 24.27% se registran DAÑOS equivalentes a 18.50% de EROSION y 1.76% de DEFORMACION.

En región sierra:

- ✓ De la tabla 110, tabla 111, figura 136 y figura 138 se afirma que el 16.00% corresponde a la pendiente geométrica vertical que fluctúa entre 0.00 % y



3.00%, con presencia de daños con mayor incidencia de BACHES.

- ✓ De la tabla 110, tabla 111, figura 136 y figura 138 se afirma que el 11.920% corresponde a la pendiente geométrica vertical que fluctúa entre 3.00 % y 6.00%, con presencia de daños con mayor incidencia de DEFORMACION.
- ✓ De la tabla 110, tabla 111, figura 136 y figura 138 se afirma que el 72.08% corresponde a la pendiente geométrica vertical que fluctúa entre 6.00 % y 57.82%, con presencia de daños con mayor incidencia de EROSION.
- ✓ De la figura 137 se afirma que el daño de BACHES equivale al 15.77% + 0.93% = 16.70% comprendido en la PENDIENTE GEOMETRICA VERTICAL de 0.00% a 6.00%.
- ✓ De la figura 137 se afirma que el daño de DEFORMACION equivale al 0.23% + 10.40% + 0.82% = 11.45% comprendido en la PENDIENTE GEOMETRICA VERTICAL de 0.00% a 57.82%.
- ✓ De la figura 137 se afirma que el daño de EROSION equivale al 0.58% + 71.26% = 71.84% comprendido en la PENDIENTE GEOMETRICA VERTICAL de 6.00% a 57.82%.
- ✓ De la figura 137 se afirma que en el rango de la PENDIENTE GEOMÉTRICA VERTICAL entre 0.00% y 3.00% se registran DAÑOS equivalentes a 15.77% de BACHES y 0.23% de DEFORMACION.
- ✓ De la figura 137 se afirma que en el rango de la PENDIENTE GEOMÉTRICA VERTICAL entre 3.00% y 6.00% se registran DAÑOS equivalentes a 10.40% de DEFORMACION, 0.93% de BACHES y 0.58% de EROSION.



- ✓ De la figura 137 se afirma que en el rango de la PENDIENTE GEOMÉTRICA VERTICAL entre 6.00% y 57.82% se registran DAÑOS equivalentes a 71.26% de EROSION y 0.82% de DEFORMACION.

3.3. Análisis inferencial.

Se utilizó el software IBM SPSS Stastics 26.0 para formular, contrastar y validar las hipótesis del estudio de investigación.

PRUEBA DE HIPÓTESIS GENERAL Y ESPECÍFICAS

FORMULACIÓN DE LAS HIPÓTESIS ESTADISTICAS

Tratamiento del camino vecinal: Tunya -Pampa Esperanza -Gorgor - Goshay.

Tabla 113

Relación Porcentual de Variables Dependientes e Independientes Ordinales Observadas y Esperadas. Fuente: Procesamiento en IBM SPSS (Elaboración Propia).

Tabla cruzada PENDIENTE GEOMETRICA VERTICAL*DAÑOS EN CAMINOS VECINALES

PENDIENTE	PENDIENTE	Recuento	DAÑOS EN CAMINOS VECINALES			Total
			DEFORMACION	EROSION	BACHES	
GEOMETRICA	MENORES A 3%	Recuento	0	0	21	21
VERTICAL		esperado	2,5	12,3	6,3	21,0
		% del total	0,0%	0,0%	27,3%	27,3%
	PENDIENTE	Recuento	8	0	2	10
	ENTRE 3% Y	Recuento	1,2	5,8	3,0	10,0
	6%	esperado	0,0%	0,0%	0,0%	0,0%
		% del total	10,4%	0,0%	2,6%	13,0%
	PENDIENTE	Recuento	1	45	0	46
	MAYORES A 6%	Recuento	5,4	26,9	13,7	46,0
		esperado	0,0%	0,0%	0,0%	0,0%
		% del total	1,3%	58,4%	0,0%	59,7%
Total		Recuento	9	45	23	77



Recuento esperado	9,0	45,0	23,0	77,0
% del total	11,7%	58,4%	29,9%	100,0%

Tabla 114

Registro Numérico de Prueba de Hipótesis con el Método del Chi Cuadrado para Análisis, Contraste y Validación de Hipótesis Planteada. Procesamiento en IBM SPSS (Elaboración Propia).

Pruebas de chi-cuadrado			
	Valor	df	Significación asintótica (bilateral)
Chi-cuadrado de Pearson	124,911 ^a	4	,000
Razón de verosimilitud	122,920	4	,000
Asociación lineal por lineal	30,878	1	,000
N de casos válidos	77		
a. 3 casillas (33,3%) han esperado un recuento menor que 5. El recuento mínimo esperado es 1,17.			

Interpretación:

De la sección 1.9.2 el error de estimación es equivalente a 0.15.

De la tabla 114 el nivel de significancia es equivalente a 0.00

Ahora planteamos la siguiente equivalencia:

El valor de significación (Valor crítico esperado) es menor que el valor de significación observado (Valor crítico observado), es decir ($0,000 < 0,15$), entonces rechazamos la hipótesis nula e inmediatamente aceptamos la hipótesis alternativa, finalmente interpretamos lo siguiente:



La pendiente geométrica vertical se relaciona significativamente con daños del camino vecinal afirmados a nivel de plataforma en el tramo: Tunya -Pampa Esperanza -Gorgor – Goshay., a un nivel de 85% de confiabilidad y valor de significancia de 0.15.

Tabla 115

Registro de Coeficiente de Contingencia para Validar el Grado de Relación que Existe Entre las Variables Planteadas. Procesamiento en IBM SPSS (Elaboración Propia).

Medidas simétricas		Significación	
		Valor	aproximada
Nominal por Nominal	Coeficiente de contingencia	,787	,000
N de casos válidos		77	

A partir de la significación aproximada efectivamente se corrobora que existe un fuerte grado de relación entre la pendiente geométrica vertical y daños en caminos vecinales afirmados a nivel de plataforma.

Tratamiento del camino vecinal: Mariscal Castilla - Irma Chico.

Tabla 116

Relación Porcentual de Variables Dependientes e Independientes Ordinales Observadas y Esperadas. Fuente: Procesamiento en IBM SPSS (Elaboración Propia).

Tabla cruzada PENDIENTE GEOMETRICA VERTICAL*DAÑOS EN CAMINOS VECINALES

PENDIENTE GEOMETRICA VERTICAL	PENDIENTE MENORES A 3%	Recuento esperado % del total Recuento	DAÑOS EN CAMINOS VECINALES			Total
			DEFORMACION	EROSION	BACHES	
		Recuento	0	0	20	20
		esperado	2,5	12,3	5,3	20,0
		% del total	0,0%	0,0%	25,0%	25,0%
		Recuento	10	0	1	11



	PENDIENTE ENTRE 3% Y 6%	Recuento esperado	1,4	6,7	2,9	11,0
		% del total	12,5%	0,0%	1,3%	13,8%
	PENDIENTE MAYORES A 6%	Recuento esperado	0	49	0	49
		% del total	6,1	30,0	12,9	49,0
Total		Recuento esperado	10	49	21	80
		Recuento esperado	10,0	49,0	21,0	80,0
		% del total	12,5%	61,3%	26,3%	100,0%

Tabla 117

Registro Numérico de Prueba de Hipótesis con el Método del Chi Cuadrado para Análisis, Contraste y Validación de Hipótesis Planteada. Procesamiento en IBM SPSS (Elaboración Propia).

Pruebas de chi-cuadrado			
	Valor	df	Significación asintótica (bilateral)
Chi-cuadrado de Pearson	149,264 ^a	4	,000
Razón de verosimilitud	139,102	4	,000
Asociación lineal por lineal	26,357	1	,000
N de casos válidos	80		

a. 3 casillas (33,3%) han esperado un recuento menor que 5. El recuento mínimo esperado es 1,38.

Interpretación:

De la sección 1.9.2 el error de estimación es equivalente a 0.15.

De la tabla 117 el nivel de significancia es equivalente a 0.00

Ahora planteamos la siguiente equivalencia:



El valor de significación (Valor crítico esperado) es menor que el valor de significación observado (Valor crítico observado), es decir ($0,000 < 0.15$), entonces rechazamos la hipótesis nula e inmediatamente aceptamos la hipótesis alternativa, finalmente interpretamos lo siguiente:

La pendiente geométrica vertical se relaciona significativamente con daños del camino vecinal afirmados a nivel de plataforma en el tramo: Mariscal Castilla - Irma Chico., a un nivel de 85% de confiabilidad y valor de significancia de 0.15.

Tabla 118

Registro de Coeficiente de Contingencia para Validar el Grado de Relación que Existe Entre las Variables Planteadas. Procesamiento en IBM SPSS (Elaboración Propia).

Medidas simétricas		Significación	
		Valor	aproximada
Nominal por Nominal	Coeficiente de contingencia	,807	,000
N de casos válidos		80	

A partir de la significación aproximada efectivamente se corrobora que existe un fuerte grado de relación entre la pendiente geométrica vertical y daños en caminos vecinales afirmados a nivel de plataforma.

Tratamiento del camino vecinal: Huamuco - Madre Mía.

Tabla 119

Relación Porcentual de Variables Dependientes e Independientes Ordinales Observadas y Esperadas. Fuente: Procesamiento en IBM SPSS (Elaboración Propia).



Tabla cruzada PENDIENTE GEOMETRICA VERTICAL*DAÑOS EN CAMINOS VECINALES

			DAÑOS EN CAMINOS VECINALES			
			DEFORMACION	EROSION	BACHES	Total
PENDIENTE	PENDIENTE	Recuento	0	0	19	19
GEOMETRICA	MENORES A 3%	Recuento	,9	1,7	16,4	19,0
VERTICAL		esperado				
		% del total	0,0%	0,0%	86,4%	86,4%
	PENDIENTE	Recuento	1	2	0	3
	MAYORES A 6%	Recuento	,1	,3	2,6	3,0
		esperado				
		% del total	4,5%	9,1%	0,0%	13,6%
Total		Recuento	1	2	19	22
		Recuento	1,0	2,0	19,0	22,0
		esperado				
		% del total	4,5%	9,1%	86,4%	100,0%

Tabla 120

Registro Numérico de Prueba de Hipótesis con el Método del Chi Cuadrado para Análisis, Contraste y Validación de Hipótesis Planteada. Procesamiento en IBM SPSS (Elaboración Propia).

Pruebas de chi-cuadrado			
	Valor	df	Significación asintótica (bilateral)
Chi-cuadrado de Pearson	22,000 ^a	2	,000
Razón de verosimilitud	17,526	2	,000
Asociación lineal por lineal	18,345	1	,000
N de casos válidos	22		
a. 5 casillas (83,3%) han esperado un recuento menor que 5. El recuento mínimo esperado es ,14.			

Interpretación:

De la sección 1.9.2 el error de estimación es equivalente a 0.15.

De la tabla 120 el nivel de significancia es equivalente a 0.00



Ahora planteamos la siguiente equivalencia:

El valor de significación (Valor crítico esperado) es menor que el valor de significación observado (Valor crítico observado), es decir ($0,000 < 0.15$), entonces rechazamos la hipótesis nula e inmediatamente aceptamos la hipótesis alternativa, finalmente interpretamos lo siguiente:

La pendiente geométrica vertical se relaciona significativamente con daños del camino vecinal afirmados a nivel de plataforma en el tramo: Huamuco - Madre Mía., a un nivel de 85% de confiabilidad y valor de significancia de 0.15.

Tabla 121
Registro de Coeficiente de Contingencia para Validar el Grado de Relación que Existe Entre las Variables Planteadas. Procesamiento en IBM SPSS (Elaboración Propia).

Medidas simétricas			
		Significación	
	Valor	aproximada	
Nominal por Nominal	Coeficiente de contingencia	,707	,000
N de casos válidos		22	

A partir de la significación aproximada efectivamente se corrobora que existe un fuerte grado de relación entre la pendiente geométrica vertical y daños en caminos vecinales afirmados a nivel de plataforma.

Tratamiento del camino vecinal: Naranjal – Huamuco.

Tabla 122
Relación Porcentual de Variables Dependientes e Independientes Ordinales Observadas y Esperadas. Fuente: Procesamiento en IBM SPSS (Elaboración Propia).



Tabla cruzada PENDIENTE GEOMETRICA VERTICAL*DAÑOS EN CAMINOS VECINALES

			DAÑOS EN CAMINOS VECINALES			
			DEFORMACION	EROSION	BACHES	Total
PENDIENTE	PENDIENTE	Recuento	0	0	30	30
GEOMETRICA	MENORES A 3%	Recuento	3,3	6,0	20,7	30,0
VERTICAL		esperado				
		% del total	0,0%	0,0%	66,7%	66,7%
	PENDIENTE	Recuento	5	0	1	6
	ENTRE 3% Y 6%	Recuento	,7	1,2	4,1	6,0
		esperado				
		% del total	11,1%	0,0%	2,2%	13,3%
	PENDIENTE	Recuento	0	9	0	9
	MAYORES A 6%	Recuento	1,0	1,8	6,2	9,0
		esperado				
		% del total	0,0%	20,0%	0,0%	20,0%
Total		Recuento	5	9	31	45
		Recuento	5,0	9,0	31,0	45,0
		esperado				
		% del total	11,1%	20,0%	68,9%	100,0%

Tabla 123

Registro Numérico de Prueba de Hipótesis con el Método del Chi Cuadrado para Análisis, Contraste y Validación de Hipótesis Planteada. Procesamiento en IBM SPSS (Elaboración Propia).

Pruebas de chi-cuadrado			
	Valor	df	Significación asintótica (bilateral)
Chi-cuadrado de Pearson	81,290 ^a	4	,000
Razón de verosimilitud	68,641	4	,000
Asociación lineal por lineal	22,930	1	,000
N de casos válidos	45		
a. 6 casillas (66,7%) han esperado un recuento menor que 5. El recuento mínimo esperado es ,67.			



Interpretación:

De la sección 1.9.2 el error de estimación es equivalente a 0.15.

De la tabla 123 el nivel de significancia es equivalente a 0.00

Ahora planteamos la siguiente equivalencia:

El valor de significación (Valor crítico esperado) es menor que el valor de significación observado (Valor crítico observado), es decir ($0,000 < 0.15$), entonces rechazamos la hipótesis nula e inmediatamente aceptamos la hipótesis alternativa, finalmente interpretamos lo siguiente:

La pendiente geométrica vertical se relaciona significativamente con daños del camino vecinal afirmados a nivel de plataforma en el tramo: Naranjal – Huamuco., a un nivel de 85% de confiabilidad y valor de significancia de 0.15.

Tabla 124

Registro de Coeficiente de Contingencia para Validar el Grado de Relación que Existe Entre las Variables Planteadas. Procesamiento en IBM SPSS (Elaboración Propia).

Medidas simétricas			
		Significación	
		Valor	aproximada
Nominal por Nominal	Coeficiente de contingencia	,802	,000
N de casos válidos		45	

A partir de la significación aproximada efectivamente se corrobora que existe un fuerte grado de relación entre la pendiente geométrica vertical y daños en caminos vecinales afirmados a nivel de plataforma.



Tratamiento del camino vecinal: Naranjal – La Morada.

Tabla 125

Relación Porcentual de Variables Dependientes e Independientes Ordinales Observadas y Esperadas. Fuente: Procesamiento en IBM SPSS (Elaboración Propia).

Tabla cruzada PENDIENTE GEOMETRICA VERTICAL*DAÑOS EN CAMINOS VECINALES

		DAÑOS EN CAMINOS VECINALES				Total
		DEFORMACION	EROSION	BACHES		
PENDIENTE	PENDIENTE	Recuento	0	0	24	24
GEOMETRICA	MENORES A 3%	Recuento	5,8	1,9	16,2	24,0
VERTICAL		esperado				
		% del total	0,0%	0,0%	64,9%	64,9%
	PENDIENTE	Recuento	8	0	1	9
	ENTRE 3% Y 6%	Recuento	2,2	,7	6,1	9,0
		esperado				
		% del total	21,6%	0,0%	2,7%	24,3%
	PENDIENTE	Recuento	1	3	0	4
	MAYORES A 6%	Recuento	1,0	,3	2,7	4,0
		esperado				
		% del total	2,7%	8,1%	0,0%	10,8%
Total		Recuento	9	3	25	37
		Recuento	9,0	3,0	25,0	37,0
		esperado				
		% del total	24,3%	8,1%	67,6%	100,0%

Tabla 126

Registro Numérico de Prueba de Hipótesis con el Método del Chi Cuadrado para Análisis, Contraste y Validación de Hipótesis Planteada. Procesamiento en IBM SPSS (Elaboración Propia).

Pruebas de chi-cuadrado			
		Significación	
		asintótica	
		Valor	df
Chi-cuadrado de Pearson		56,697 ^a	4
Razón de verosimilitud		49,345	4



Asociación lineal por lineal	20,677	1	,000
N de casos válidos	37		
a. 6 casillas (66,7%) han esperado un recuento menor que 5. El recuento mínimo esperado es ,32.			

Interpretación:

De la sección 1.9.2 el error de estimación es equivalente a 0.15.

De la tabla 126 el nivel de significancia es equivalente a 0.00

Ahora planteamos la siguiente equivalencia:

El valor de significación (Valor crítico esperado) es menor que el valor de significación observado (Valor crítico observado), es decir ($0,000 < 0,15$), entonces rechazamos la hipótesis nula e inmediatamente aceptamos la hipótesis alternativa, finalmente interpretamos lo siguiente:

La pendiente geométrica vertical se relaciona significativamente con daños del camino vecinal afirmados a nivel de plataforma en el tramo: Naranjal – La Morada., a un nivel de 85% de confiabilidad y valor de significancia de 0.15.

Tabla 127

Registro de Coeficiente de Contingencia para Validar el Grado de Relación que Existe Entre las Variables Planteadas. Procesamiento en IBM SPSS (Elaboración Propia).

Medidas simétricas		
		Significación
	Valor	aproximada
Nominal por Nominal	Coeficiente de contingencia	,778 ,000
N de casos válidos		37



A partir de la significación aproximada efectivamente se corrobora que existe un fuerte grado de relación entre la pendiente geométrica vertical y daños en caminos vecinales afirmados a nivel de plataforma.

Tratamiento del camino vecinal: San Juan de Culebra - Paraiso - Puerto Huallaga.

Tabla 128

Relación Porcentual de Variables Dependientes e Independientes Ordinales Observadas y Esperadas. Fuente: Procesamiento en IBM SPSS (Elaboración Propia).

Tabla cruzada PENDIENTE GEOMETRICA VERTICAL*DAÑOS EN CAMINOS VECINALES

			DAÑOS EN CAMINOS VECINALES			
			DEFORMACION	EROSION	BACHES	Total
PENDIENTE	PENDIENTE	Recuento	1	0	24	25
GEOMETRICA	MENORES A 3%	Recuento	6,3	2,1	16,7	25,0
VERTICAL		esperado				
		% del total	2,8%	0,0%	66,7%	69,4%
	PENDIENTE	Recuento	8	0	0	8
	ENTRE 3% Y 6%	Recuento	2,0	,7	5,3	8,0
		esperado				
		% del total	22,2%	0,0%	0,0%	22,2%
	PENDIENTE	Recuento	0	3	0	3
	MAYORES A 6%	Recuento	,8	,3	2,0	3,0
		esperado				
		% del total	0,0%	8,3%	0,0%	8,3%
Total		Recuento	9	3	24	36
		Recuento	9,0	3,0	24,0	36,0
		esperado				
		% del total	25,0%	8,3%	66,7%	100,0%

Tabla 129

Registro Numérico de Prueba de Hipótesis con el Método del Chi Cuadrado para



Análisis, Contraste y Validación de Hipótesis Planteada. Procesamiento en IBM SPSS (Elaboración Propia).

Pruebas de chi-cuadrado			Significación
	Valor	df	asintótica (bilateral)
Chi-cuadrado de Pearson	66,720 ^a	4	,000
Razón de verosimilitud	50,928	4	,000
Asociación lineal por lineal	17,202	1	,000
N de casos válidos	36		
a. 6 casillas (66,7%) han esperado un recuento menor que 5. El recuento mínimo esperado es ,25.			

Interpretación:

De la sección 1.9.2 el error de estimación es equivalente a 0.15.

De la tabla 129 el nivel de significancia es equivalente a 0.00

Ahora planteamos la siguiente equivalencia:

El valor de significación (Valor crítico esperado) es menor que el valor de significación observado (Valor crítico observado), es decir ($0,000 < 0,15$), entonces rechazamos la hipótesis nula e inmediatamente aceptamos la hipótesis alternativa, finalmente interpretamos lo siguiente:

La pendiente geométrica vertical se relaciona significativamente con daños del camino vecinal afirmados a nivel de plataforma en el tramo: San Juan de Culebra - Paraiso - Puerto Huallaga., a un nivel de 85% de confiabilidad y valor de significancia de 0.15.



Tabla 130

Registro de Coeficiente de Contingencia para Validar el Grado de Relación que Existe Entre las Variables Planteadas. Procesamiento en IBM SPSS (Elaboración Propia).

Medidas simétricas		Significación
		Valor aproximada
Nominal por Nominal	Coeficiente de contingencia	,806 ,000
N de casos válidos		36

A partir de la significación aproximada efectivamente se corrobora que existe un fuerte grado de relación entre la pendiente geométrica vertical y daños en caminos vecinales afirmados a nivel de plataforma.

Tratamiento del camino vecinal: Paraíso - Santa Rosa de Megote - Puerto Río Huallaga.

Tabla 131

Relación Porcentual de Variables Dependientes e Independientes Ordinales Observadas y Esperadas. Fuente: Procesamiento en IBM SPSS (Elaboración Propia).

Tabla cruzada PENDIENTE GEOMETRICA VERTICAL*DAÑOS EN CAMINOS VECINALES

PENDIENTE GEOMETRICA VERTICAL	PENDIENTE MENORES A 3% ENTRE 3% Y 6% MAYORES A 6%	Recuento esperado	DAÑOS EN CAMINOS VECINALES				Total
			DEFORMACION	EROSION	BACHES		
			0	0	18	18	
			2,1	6,7	9,3	18,0	
		% del total	0,0%	0,0%	51,4%	51,4%	
	PENDIENTE ENTRE 3% Y 6%	Recuento esperado	4	1	0	5	
		% del total	,6	1,9	2,6	5,0	
			11,4%	2,9%	0,0%	14,3%	
	PENDIENTE MAYORES A 6%	Recuento esperado	0	12	0	12	
			1,4	4,5	6,2	12,0	



	% del total	0,0%	34,3%	0,0%	34,3%
Total	Recuento	4	13	18	35
	Recuento	4,0	13,0	18,0	35,0
	esperado				
	% del total	11,4%	37,1%	51,4%	100,0%

Tabla 132

Registro Numérico de Prueba de Hipótesis con el Método del Chi Cuadrado para Análisis, Contraste y Validación de Hipótesis Planteada. Procesamiento en IBM SPSS (Elaboración Propia).

Pruebas de chi-cuadrado			
		Significación	
		asintótica	
	Valor	df	(bilateral)
Chi-cuadrado de Pearson	60,846 ^a	4	,000
Razón de verosimilitud	62,038	4	,000
Asociación lineal por lineal	17,415	1	,000
N de casos válidos	35		
a. 6 casillas (66,7%) han esperado un recuento menor que 5. El recuento mínimo esperado es ,57.			

Interpretación:

De la sección 1.9.2 el error de estimación es equivalente a 0.15.

De la tabla 132 el nivel de significancia es equivalente a 0.00

Ahora planteamos la siguiente equivalencia:

El valor de significación (Valor crítico esperado) es menor que el valor de significación observado (Valor crítico observado), es decir ($0,000 < 0,15$), entonces rechazamos la hipótesis nula e inmediatamente aceptamos la hipótesis alternativa, finalmente interpretamos lo siguiente:



La pendiente geométrica vertical se relaciona significativamente con daños del camino vecinal afirmados a nivel de plataforma en el tramo: Paraiso - Santa Rosa de Megote - Puerto Rio Huallaga., a un nivel de 85% de confiabilidad y valor de significancia de 0.15.

Tabla 133

Registro de Coeficiente de Contingencia para Validar el Grado de Relación que Existe Entre las Variables Planteadas. Procesamiento en IBM SPSS (Elaboración Propia).

		Medidas simétricas	
		Valor	Significación aproximada
Nominal por Nominal	Coeficiente de contingencia	,797	,000
N de casos válidos		35	

A partir de la significación aproximada efectivamente se corrobora que existe un fuerte grado de relación entre la pendiente geométrica vertical y daños en caminos vecinales afirmados a nivel de plataforma.

Tratamiento del camino vecinal: Puente frijol-Paraiso- Tres de Mayo- Nuevo Canaan.

Tabla 134

Relación Porcentual de Variables Dependientes e Independientes Ordinales Observadas y Esperadas. Fuente: Procesamiento en IBM SPSS (Elaboración Propia).

Tabla cruzada PENDIENTE GEOMETRICA VERTICAL*DAÑOS EN CAMINOS VECINALES

PENDIENTE GEOMETRICA VERTICAL	PENDIENTE MENORES A 3%	Recuento esperado	DAÑOS EN CAMINOS VECINALES				Total
			DEFORMACION	EROSION	BACHES		
			0	0	24	24	
			6,5	6,0	11,5	24,0	
		% del total	0,0%	0,0%	46,2%	46,2%	



	PENDIENTE	Recuento	12	0	1	13
	ENTRE 3% Y 6%	Recuento esperado	3,5	3,3	6,3	13,0
		% del total	23,1%	0,0%	1,9%	25,0%
	PENDIENTE	Recuento	2	13	0	15
	MAYORES A 6%	Recuento esperado	4,0	3,7	7,2	15,0
		% del total	3,8%	25,0%	0,0%	28,8%
Total		Recuento	14	13	25	52
		Recuento esperado	14,0	13,0	25,0	52,0
		% del total	26,9%	25,0%	48,1%	100,0%

Tabla 135

Registro Numérico de Prueba de Hipótesis con el Método del Chi Cuadrado para Análisis, Contraste y Validación de Hipótesis Planteada. Procesamiento en IBM SPSS (Elaboración Propia).

Pruebas de chi-cuadrado			
		Significación	
		asintótica	
	Valor	df	(bilateral)
Chi-cuadrado de Pearson	85,280 ^a	4	,000
Razón de verosimilitud	90,572	4	,000
Asociación lineal por lineal	21,565	1	,000
N de casos válidos	52		

a. 4 casillas (44,4%) han esperado un recuento menor que 5. El recuento mínimo esperado es 3,25.

Interpretación:

De la sección 1.9.2 el error de estimación es equivalente a 0.15.

De la tabla 135 el nivel de significancia es equivalente a 0.00

Ahora planteamos la siguiente equivalencia:



El valor de significación (Valor crítico esperado) es menor que el valor de significación observado (Valor crítico observado), es decir ($0,000 < 0.15$), entonces rechazamos la hipótesis nula e inmediatamente aceptamos la hipótesis alternativa, finalmente interpretamos lo siguiente:

La pendiente geométrica vertical se relaciona significativamente con daños del camino vecinal afirmados a nivel de plataforma en el tramo: Puente frijol-Paraiso- Tres de Mayo- Nuevo Canaan., a un nivel de 85% de confiabilidad y valor de significancia de 0.15.

Tabla 136

Registro de Coeficiente de Contingencia para Validar el Grado de Relación que Existe Entre las Variables Planteadas. Procesamiento en IBM SPSS (Elaboración Propia).

Medidas simétricas		Significación	
		Valor	aproximada
Nominal por Nominal	Coeficiente de contingencia	,788	,000
N de casos válidos		52	

A partir de la significación aproximada efectivamente se corrobora que existe un fuerte grado de relación entre la pendiente geométrica vertical y daños en caminos vecinales afirmados a nivel de plataforma.

Tratamiento del camino vecinal: Ogoro-Huachumay.

Tabla 137

Relación Porcentual de Variables Dependientes e Independientes Ordinales Observadas y Esperadas. Fuente: Procesamiento en IBM SPSS (Elaboración Propia).



Tabla cruzada PENDIENTE GEOMETRICA VERTICAL*DAÑOS EN CAMINOS VECINALES

			DAÑOS EN CAMINOS VECINALES			
			DEFORMACION	EROSION	BACHES	Total
PENDIENTE	PENDIENTE	Recuento	0	0	28	28
GEOMETRICA	MENORES A 3%	Recuento	6,6	14,0	7,4	28,0
VERTICAL		esperado				
		% del total	0,0%	0,0%	25,5%	25,5%
	PENDIENTE	Recuento	25	0	1	26
	ENTRE 3% Y 6%	Recuento	6,1	13,0	6,9	26,0
		esperado				
		% del total	22,7%	0,0%	0,9%	23,6%
	PENDIENTE	Recuento	1	55	0	56
	MAYORES A 6%	Recuento	13,2	28,0	14,8	56,0
		esperado				
		% del total	0,9%	50,0%	0,0%	50,9%
Total		Recuento	26	55	29	110
		Recuento	26,0	55,0	29,0	110,0
		esperado				
		% del total	23,6%	50,0%	26,4%	100,0%

Tabla 138

Registro Numérico de Prueba de Hipótesis con el Método del Chi Cuadrado para Análisis, Contraste y Validación de Hipótesis Planteada. Procesamiento en IBM SPSS (Elaboración Propia).

Pruebas de chi-cuadrado			
	Valor	df	Significación asintótica (bilateral)
Chi-cuadrado de Pearson	206,165 ^a	4	,000
Razón de verosimilitud	210,065	4	,000
Asociación lineal por lineal	22,872	1	,000
N de casos válidos	110		

a. 0 casillas (0,0%) han esperado un recuento menor que 5. El recuento mínimo esperado es 6,15.



Interpretación:

De la sección 1.9.2 el error de estimación es equivalente a 0.15.

De la tabla 138 el nivel de significancia es equivalente a 0.00

Ahora planteamos la siguiente equivalencia:

El valor de significación (Valor crítico esperado) es menor que el valor de significación observado (Valor crítico observado), es decir ($0,000 < 0.15$), entonces rechazamos la hipótesis nula e inmediatamente aceptamos la hipótesis alternativa, finalmente interpretamos lo siguiente:

La pendiente geométrica vertical se relaciona significativamente con daños del camino vecinal afirmados a nivel de plataforma en el tramo: Ogoro-Huachumay., a un nivel de 85% de confiabilidad y valor de significancia de 0.15.

Tabla 139

Registro de Coeficiente de Contingencia para Validar el Grado de Relación que Existe Entre las Variables Planteadas. Procesamiento en IBM SPSS (Elaboración Propia).

Medidas simétricas			
		Significación	
		Valor	aproximada
Nominal por Nominal	Coeficiente de contingencia	,808	,000
N de casos válidos		110	

A partir de la significación aproximada efectivamente se corrobora que existe un fuerte grado de relación entre la pendiente geométrica vertical y daños en caminos vecinales afirmados a nivel de plataforma.



Tratamiento del camino vecinal: Huacrachuco- Marcopata - Quillabamba – Cajapa – Fin de Camino.

Tabla 140

Relación Porcentual de Variables Dependientes e Independientes Ordinales Observadas y Esperadas. Fuente: Procesamiento en IBM SPSS (Elaboración Propia).

Tabla cruzada PENDIENTE GEOMETRICA VERTICAL*DAÑOS EN CAMINOS VECINALES

		DAÑOS EN CAMINOS VECINALES				Total
PENDIENTE	PENDIENTE	Recuento	DEFORMACION	EROSION	BACHES	
PENDIENTE GEOMETRICA VERTICAL	MENORES A 3%	Recuento	0	0	19	19
		esperado	1,6	14,3	3,1	19,0
		% del total	0,0%	0,0%	15,7%	15,7%
	PENDIENTE	Recuento	10	1	1	12
	ENTRE 3% Y 6%	Recuento	1,0	9,0	2,0	12,0
		esperado	0,0%	0,8%	0,8%	9,9%
	PENDIENTE	Recuento	0	90	0	90
	MAYORES A 6%	Recuento	7,4	67,7	14,9	90,0
		esperado	0,0%	74,4%	0,0%	74,4%
	Total	Recuento	10	91	20	121
		Recuento	10,0	91,0	20,0	121,0
		esperado				
		% del total	8,3%	75,2%	16,5%	100,0%

Tabla 141

Registro Numérico de Prueba de Hipótesis con el Método del Chi Cuadrado para Análisis, Contraste y Validación de Hipótesis Planteada. Procesamiento en IBM SPSS (Elaboración Propia).

Pruebas de chi-cuadrado			
	Valor	df	Significación asintótica
Chi-cuadrado de Pearson	215,069 ^a	4	,000 (bilateral)



Razón de verosimilitud	160,138	4	,000
Asociación lineal por lineal	37,775	1	,000
N de casos válidos	121		
a. 4 casillas (44,4%) han esperado un recuento menor que 5. El recuento mínimo esperado es ,99.			

Interpretación:

De la sección 1.9.2 el error de estimación es equivalente a 0.15.

De la tabla 141 el nivel de significancia es equivalente a 0.00

Ahora planteamos la siguiente equivalencia:

El valor de significación (Valor crítico esperado) es menor que el valor de significación observado (Valor crítico observado), es decir ($0,000 < 0,15$), entonces rechazamos la hipótesis nula e inmediatamente aceptamos la hipótesis alternativa, finalmente interpretamos lo siguiente:

La pendiente geométrica vertical se relaciona significativamente con daños del camino vecinal afirmados a nivel de plataforma en el tramo: Huacrachuco- Marcopata - Quillabamba – Cajapa – Fin de Camino., a un nivel de 85% de confiabilidad y valor de significancia de 0.15.

Tabla 142

Registro de Coeficiente de Contingencia para Validar el Grado de Relación que Existe Entre las Variables Planteadas. Procesamiento en IBM SPSS (Elaboración Propia).

Medidas simétricas



		Valor	Significación aproximada
Nominal por Nominal	Coeficiente de contingencia	,800	,000
N de casos válidos		121	

A partir de la significación aproximada efectivamente se corrobora que existe un fuerte grado de relación entre la pendiente geométrica vertical y daños en caminos vecinales afirmados a nivel de plataforma.

Tratamiento del camino vecinal: Mollepampa- El Progreso – Huaychao.

Tabla 143

Relación Porcentual de Variables Dependientes e Independientes Ordinales Observadas y Esperadas. Fuente: Procesamiento en IBM SPSS (Elaboración Propia).

Tabla cruzada PENDIENTE GEOMETRICA VERTICAL*DAÑOS EN CAMINOS VECINALES

			DAÑOS EN CAMINOS VECINALES				Total
			DEFORMACION	EROSION	BACHES		
PENDIENTE GEOMETRICA VERTICAL	PENDIENTE	Recuento	2 _a	0 _b	10 _c	12	
	MENORES A 3%	Recuento	1,7	9,1	1,2	12,0	
		esperado					
		% del total	2,0%	0,0%	10,1%	12,1%	
	PENDIENTE	Recuento	10 _a	1 _b	0 _b	11	
	ENTRE 3% Y 6%	Recuento	1,6	8,3	1,1	11,0	
Total		esperado					
		% del total	10,1%	1,0%	0,0%	11,1%	
	PENDIENTE	Recuento	2 _a	74 _b	0 _a	76	
	MAYORES A 6%	Recuento	10,7	57,6	7,7	76,0	
		esperado					
		% del total	2,0%	74,7%	0,0%	76,8%	
	Recuento		14	75	10	99	
	Recuento		14,0	75,0	10,0	99,0	
	esperado						
	% del total		14,1%	75,8%	10,1%	100,0%	



Cada letra del subíndice denota un subconjunto de DAÑOS EN CAMINOS VECINALES categorías cuyas proporciones de columna no difieren de forma significativa entre sí en el nivel ,05.

Tabla 144

Registro Numérico de Prueba de Hipótesis con el Método del Chi Cuadrado para Análisis, Contraste y Validación de Hipótesis Planteada. Procesamiento en IBM SPSS (Elaboración Propia).

Pruebas de chi-cuadrado			
	Valor	df	Significación asintótica (bilateral)
Chi-cuadrado de Pearson	145,745 ^a	4	,000
Razón de verosimilitud	106,252	4	,000
Asociación lineal por lineal	4,847	1	,028
N de casos válidos	99		

a. 4 casillas (44,4%) han esperado un recuento menor que 5. El recuento mínimo esperado es 1,11.

Interpretación:

De la sección 1.9.2 el error de estimación es equivalente a 0.15.

De la tabla 144 el nivel de significancia es equivalente a 0.00

Ahora planteamos la siguiente equivalencia:

El valor de significación (Valor crítico esperado) es menor que el valor de significación observado (Valor crítico observado), es decir ($0,000 < 0,15$), entonces rechazamos la hipótesis nula e inmediatamente aceptamos la hipótesis alternativa, finalmente interpretamos lo siguiente:

La pendiente geométrica vertical se relaciona significativamente con daños del



camino vecinal afirmados a nivel de plataforma en el tramo: Mollepampa- El Progreso – Huaychao., a un nivel de 85% de confiabilidad y valor de significancia de 0.15.

Tabla 145

Registro de Coeficiente de Contingencia para Validar el Grado de Relación que Existe Entre las Variables Planteadas. Procesamiento en IBM SPSS (Elaboración Propia).

Medidas simétricas		Significación
		Valor aproximada
Nominal por Nominal	Coeficiente de contingencia	,772 ,000
N de casos válidos		99

A partir de la significación aproximada efectivamente se corrobora que existe un fuerte grado de relación entre la pendiente geométrica vertical y daños en caminos vecinales afirmados a nivel de plataforma.

Tratamiento del camino vecinal: Pinquiray - Challhuayog - Carancho – Panao.

Tabla 146

Relación Porcentual de Variables Dependientes e Independientes Ordinales Observadas y Esperadas. Fuente: Procesamiento en IBM SPSS (Elaboración Propia).

Tabla cruzada PENDIENTE GEOMETRICA VERTICAL*DAÑOS EN CAMINOS VECINALES

PENDIENTE GEOMETRICA VERTICAL	PENDIENTE MENORES A 3% ENTRE 3% Y 6%	Recuento esperado	DAÑOS EN CAMINOS VECINALES				Total
			DEFORMACION	EROSION	BACHES		
			0	0	4	4	
			,1	3,7	,1	4,0	
		% del total	0,0%	0,0%	3,4%	3,4%	
	PENDIENTE	Recuento	3	1	0	4	
	ENTRE 3% Y 6%	Recuento esperado	,1	3,7	,1	4,0	



		% del total	2,6%	0,9%	0,0%	3,4%
PENDIENTE	Recuento	1	107	0	108	
MAYORES A 6%	Recuento esperado	3,7	100,6	3,7	108,0	
	% del total	0,9%	92,2%	0,0%	93,1%	
Total	Recuento	4	108	4	116	
	Recuento esperado	4,0	108,0	4,0	116,0	
	% del total	3,4%	93,1%	3,4%	100,0%	

Tabla 147

Registro Numérico de Prueba de Hipótesis con el Método del Chi Cuadrado para Análisis, Contraste y Validación de Hipótesis Planteada. Procesamiento en IBM SPSS (Elaboración Propia).

Pruebas de chi-cuadrado			
			Significación asintótica
	Valor	df	(bilateral)
Chi-cuadrado de Pearson	179,649 ^a	4	,000
Razón de verosimilitud	53,458	4	,000
Asociación lineal por lineal	19,158	1	,000
N de casos válidos	116		
a. 8 casillas (88,9%) han esperado un recuento menor que 5. El recuento mínimo esperado es ,14.			

Interpretación:

De la sección 1.9.2 el error de estimación es equivalente a 0.15.

De la tabla 147 el nivel de significancia es equivalente a 0.00

Ahora planteamos la siguiente equivalencia:



El valor de significación (Valor crítico esperado) es menor que el valor de significación observado (Valor crítico observado), es decir ($0,000 < 0.15$), entonces rechazamos la hipótesis nula e inmediatamente aceptamos la hipótesis alternativa, finalmente interpretamos lo siguiente:

La pendiente geométrica vertical se relaciona significativamente con daños del camino vecinal afirmados a nivel de plataforma en el tramo: Pinquiray - Challhuayog - Carancho – Panao., a un nivel de 85% de confiabilidad y valor de significancia de 0.15.

Tabla 148

Registro de Coeficiente de Contingencia para Validar el Grado de Relación que Existe Entre las Variables Planteadas. Procesamiento en IBM SPSS (Elaboración Propia).

Medidas simétricas		Significación	
		Valor	aproximada
Nominal por Nominal	Coeficiente de contingencia	,780	,000
N de casos válidos		116	

A partir de la significación aproximada efectivamente se corrobora que existe un fuerte grado de relación entre la pendiente geométrica vertical y daños en caminos vecinales afirmados a nivel de plataforma.

Tratamiento del camino vecinal: Huarichaca - Pucajaga - Shihuapampa.

Tabla 149

Relación Porcentual de Variables Dependientes e Independientes Ordinales Observadas y Esperadas. Fuente: Procesamiento en IBM SPSS (Elaboración Propia).

Tabla cruzada PENDIENTE GEOMETRICA VERTICAL*DAÑOS EN CAMINOS VECINALES



UNIVERSIDAD NACIONAL HERMILIO VALDIZAN – HUÁNUCO FACULTAD DE INGENIERIA CIVIL Y ARQUITECTURA E.A.P. INGENIERIA CIVIL
“ESTUDIO DE PENDIENTE GEOMÉTRICA VERTICAL EN DAÑOS DE CAMINOS VECINALES AFIRMADOS A NIVEL DE PLATAFORMA, REGIÓN HUÁNUCO-2019”
 Tesista: Villar Villaueva, Nehemias Fidel



		DAÑOS EN CAMINOS VECINALES				
			DEFORMACION	EROSION	BACHES	Total
PENDIENTE	PENDIENTE	Recuento	0	0	8	8
GEOMETRICA	MENORES A 3%	Recuento	,6	6,4	1,0	8,0
VERTICAL		esperado				
		% del total	0,0%	0,0%	11,3%	11,3%
	PENDIENTE	Recuento	5	1	1	7
	ENTRE 3% Y 6%	Recuento	,5	5,6	,9	7,0
		esperado				
		% del total	7,0%	1,4%	1,4%	9,9%
	PENDIENTE	Recuento	0	56	0	56
	MAYORES A 6%	Recuento	3,9	45,0	7,1	56,0
		esperado				
		% del total	0,0%	78,9%	0,0%	78,9%
Total		Recuento	5	57	9	71
		Recuento	5,0	57,0	9,0	71,0
		esperado				
		% del total	7,0%	80,3%	12,7%	100,0%

Tabla 150

Registro Numérico de Prueba de Hipótesis con el Método del Chi Cuadrado para Análisis, Contraste y Validación de Hipótesis Planteada. Procesamiento en IBM SPSS (Elaboración Propia).

Pruebas de chi-cuadrado			
	Valor	df	Significación asintótica (bilateral)
Chi-cuadrado de Pearson	113,885 ^a	4	,000
Razón de verosimilitud	77,600	4	,000
Asociación lineal por lineal	18,456	1	,000
N de casos válidos	71		

a. 5 casillas (55,6%) han esperado un recuento menor que 5. El recuento mínimo esperado es ,49.

Interpretación:



De la sección 1.9.2 el error de estimación es equivalente a 0.15.

De la tabla 150 el nivel de significancia es equivalente a 0.00

Ahora planteamos la siguiente equivalencia:

El valor de significación (Valor crítico esperado) es menor que el valor de significación observado (Valor crítico observado), es decir ($0,000 < 0.15$), entonces rechazamos la hipótesis nula e inmediatamente aceptamos la hipótesis alternativa, finalmente interpretamos lo siguiente:

La pendiente geométrica vertical se relaciona significativamente con daños del camino vecinal afirmados a nivel de plataforma en el tramo: Pinquiray - Challhuayog - Carancho – Panao., a un nivel de 85% de confiabilidad y valor de significancia de 0.15.

Tabla 151
Registro de Coeficiente de Contingencia para Validar el Grado de Relación que Existe Entre las Variables Planteadas. Procesamiento en IBM SPSS (Elaboración Propia).

		Medidas simétricas	
		Significación	
		Valor	aproximada
Nominal por Nominal	Coeficiente de contingencia	,785	,000
N de casos válidos		71	

A partir de la significación aproximada efectivamente se corrobora que existe un fuerte grado de relación entre la pendiente geométrica vertical y daños en caminos vecinales afirmados a nivel de plataforma.

Tratamiento del camino vecinal: Purupampa - Tunapuco - Huascapampa.



Tabla 152

Relación Porcentual de Variables Dependientes e Independientes Ordinales Observadas y Esperadas. Fuente: Procesamiento en IBM SPSS (Elaboración Propia).

Tabla cruzada PENDIENTE GEOMETRICA VERTICAL*DAÑOS EN CAMINOS VECINALES

			DAÑOS EN CAMINOS VECINALES			
			DEFORMACION	EROSION	BACHES	Total
PENDIENTE	PENDIENTE	Recuento	0	0	17	17
GEOMETRICA	MENORES A 3%	Recuento	1,9	12,1	3,1	17,0
VERTICAL		esperado				
		% del total	0,0%	0,0%	17,0%	17,0%
	PENDIENTE	Recuento	11	1	1	13
	ENTRE 3% Y 6%	Recuento	1,4	9,2	2,3	13,0
		esperado				
		% del total	11,0%	1,0%	1,0%	13,0%
	PENDIENTE	Recuento	0	70	0	70
	MAYORES A 6%	Recuento	7,7	49,7	12,6	70,0
		esperado				
		% del total	0,0%	70,0%	0,0%	70,0%
Total		Recuento	11	71	18	100
		Recuento	11,0	71,0	18,0	100,0
		esperado				
		% del total	11,0%	71,0%	18,0%	100,0%

Tabla 153

Registro Numérico de Prueba de Hipótesis con el Método del Chi Cuadrado para Análisis, Contraste y Validación de Hipótesis Planteada. Procesamiento en IBM SPSS (Elaboración Propia).

Pruebas de chi-cuadrado			
	Valor	df	Significación asintótica
Chi-cuadrado de Pearson	178,187 ^a	4	,000
Razón de verosimilitud	144,991	4	,000
Asociación lineal por lineal	25,282	1	,000



N de casos válidos	100
a. 4 casillas (44,4%) han esperado un recuento menor que 5. El recuento mínimo esperado es 1,43.	

Interpretación:

De la sección 1.9.2 el error de estimación es equivalente a 0.15.

De la tabla 153 el nivel de significancia es equivalente a 0.00

Ahora planteamos la siguiente equivalencia:

El valor de significación (Valor crítico esperado) es menor que el valor de significación observado (Valor crítico observado), es decir ($0,000 < 0,15$), entonces rechazamos la hipótesis nula e inmediatamente aceptamos la hipótesis alternativa, finalmente interpretamos lo siguiente:

La pendiente geométrica vertical se relaciona significativamente con daños del camino vecinal afirmados a nivel de plataforma en el tramo: Purupampa - Tunapuco - Huascapampa., a un nivel de 85% de confiabilidad y valor de significancia de 0.15.

Tabla 154

Registro de Coeficiente de Contingencia para Validar el Grado de Relación que Existe Entre las Variables Planteadas. Procesamiento en IBM SPSS (Elaboración Propia).

		Medidas simétricas	
		Significación	
		Valor	aproximada
Nominal por Nominal	Coeficiente de contingencia	,800	,000
N de casos válidos		100	



A partir de la significación aproximada efectivamente se corrobora que existe un fuerte grado de relación entre la pendiente geométrica vertical y daños en caminos vecinales afirmados a nivel de plataforma.

Tratamiento del camino vecinal: Huaman – Tipsa - Tipsa Alta.

Tabla 155

Relación Porcentual de Variables Dependientes e Independientes Ordinales Observadas y Esperadas. Fuente: Procesamiento en IBM SPSS (Elaboración Propia).

Tabla cruzada PENDIENTE GEOMETRICA VERTICAL*DAÑOS EN CAMINOS VECINALES

			DAÑOS EN CAMINOS VECINALES				Total
PENDIENTE	PENDIENTE	Recuento	DEFORMACION	EROSION	BACHES		
GEOMETRICA	MENORES A 3%	Recuento	0	0	8	8	8
VERTICAL		esperado	,9	6,2	,9	8,0	
		% del total	0,0%	0,0%	9,8%	9,8%	
	PENDIENTE	Recuento	7	0	1	8	
	ENTRE 3% Y	Recuento	,9	6,2	,9	8,0	
	6%	esperado	8,5%	0,0%	1,2%	9,8%	
		% del total	2	64	0	66	
	PENDIENTE	Recuento	7,2	51,5	7,2	66,0	
	MAYORES A 6%	Recuento					
		esperado	2,4%	78,0%	0,0%	80,5%	
Total		Recuento	9	64	9	82	
		Recuento	9,0	64,0	9,0	82,0	
		esperado					
		% del total	11,0%	78,0%	11,0%	100,0%	

Tabla 156

Registro Numérico de Prueba de Hipótesis con el Método del Chi Cuadrado para Análisis, Contraste y Validación de Hipótesis Planteada. Procesamiento en IBM SPSS (Elaboración Propia).



Pruebas de chi-cuadrado			
	Valor	df	Significación asintótica (bilateral)
Chi-cuadrado de Pearson	127,901 ^a	4	,000
Razón de verosimilitud	87,312	4	,000
Asociación lineal por lineal	13,646	1	,000
N de casos válidos	82		

a. 4 casillas (44,4%) han esperado un recuento menor que 5. El recuento mínimo esperado es ,88.

Interpretación:

De la sección 1.9.2 el error de estimación es equivalente a 0.15.

De la tabla 156 el nivel de significancia es equivalente a 0.00

Ahora planteamos la siguiente equivalencia:

El valor de significación (Valor crítico esperado) es menor que el valor de significación observado (Valor crítico observado), es decir ($0,000 < 0,15$), entonces rechazamos la hipótesis nula e inmediatamente aceptamos la hipótesis alternativa, finalmente interpretamos lo siguiente:

La pendiente geométrica vertical se relaciona significativamente con daños del camino vecinal afirmados a nivel de plataforma en el tramo: Huaman – Tipsa - Tipsa Alta., a un nivel de 85% de confiabilidad y valor de significancia de 0.15.

Tabla 157

Registro de Coeficiente de Contingencia para Validar el Grado de Relación que Existe Entre las Variables Planteadas. Procesamiento en IBM SPSS (Elaboración Propia).



Medidas simétricas		Significación
		Valor aproximada
Nominal por Nominal	Coeficiente de contingencia	,781 ,000
N de casos válidos		82

A partir de la significación aproximada efectivamente se corrobora que existe un fuerte grado de relación entre la pendiente geométrica vertical y daños en caminos vecinales afirmados a nivel de plataforma.

Tratamiento del camino vecinal de la región selva.

Tabla 158

Relación Porcentual de Variables Dependientes e Independientes Ordinales Observadas y Esperadas. Fuente: Procesamiento en IBM SPSS (Elaboración Propia).

Tabla cruzada PENDIENTE GEOMETRICA VERTICAL*DAÑOS EN CAMINOS VECINALES

PENDIENTE GEOMETRICA VERTICAL	PENDIENTE MENORES A 3% ENTRE 3% Y 6% MAYORES A 6%	Recuento esperado % del total	DAÑOS EN CAMINOS VECINALES			Total
			DEFORMACION	EROSION	BACHES	
PENDIENTE GEOMETRICA VERTICAL	MENORES A 3%	Recuento	1 _a	0 _a	139 _b	140
		esperado	25,9	26,5	87,6	140,0
	% del total		0,4%	0,0%	61,2%	61,7%
	PENDIENTE ENTRE 3% Y 6%	Recuento	37 _a	1 _b	3 _b	41
		esperado	7,6	7,8	25,6	41,0
		% del total	16,3%	0,4%	1,3%	18,1%
	PENDIENTE MAYORES A 6%	Recuento	4 _a	42 _b	0 _c	46
		esperado	8,5	8,7	28,8	46,0
		% del total	1,8%	18,5%	0,0%	20,3%
Total		Recuento	42	43	142	227



Recuento	42,0	43,0	142,0	227,0
esperado				
% del total	18,5%	18,9%	62,6%	100,0%

Cada letra del subíndice denota un subconjunto de DAÑOS EN CAMINOS VECINALES categorías cuyas proporciones de columna no difieren de forma significativa entre sí en el nivel ,05.

Tabla 159

Registro Numérico de Prueba de Hipótesis con el Método del Chi Cuadrado para Análisis, Contraste y Validación de Hipótesis Planteada. Procesamiento en IBM SPSS (Elaboración Propia).

Pruebas de chi-cuadrado			
	Valor	df	Significación asintótica (bilateral)
Chi-cuadrado de Pearson	378,922 ^a	4	,000
Razón de verosimilitud	348,275	4	,000
Asociación lineal por lineal	111,101	1	,000
N de casos válidos	227		

a. 0 casillas (0,0%) han esperado un recuento menor que 5. El recuento mínimo esperado es 7,59.

Interpretación:

De la sección 1.9.2 el error de estimación es equivalente a 0.15.

De la tabla 159 el nivel de significancia es equivalente a 0.00

Ahora planteamos la siguiente equivalencia:

El valor de significación (Valor crítico esperado) es menor que el valor de significación observado (Valor crítico observado), es decir ($0,000 < 0,15$), entonces rechazamos la hipótesis nula e inmediatamente aceptamos la hipótesis alternativa, finalmente interpretamos lo siguiente:



H_a: La pendiente geométrica vertical se relaciona significativamente con daños de caminos vecinales afirmados a nivel de plataforma, región Huánuco - 2019., correspondientes a la región selva a un nivel de 85% de confiabilidad y valor de significancia de 0.15.

H_{a1}: La pendiente geométrica vertical en el rango de 0.00% y 3.00% se relaciona significativamente con daños equivalentes a 61.23% de BACHES y 0.44% de DEFORMACION en caminos vecinales afirmados a nivel de plataforma, región Huánuco - 2019., correspondientes a la región selva a un nivel de 85% de confiabilidad y valor de significancia de 0.15.

H_{a2}: La pendiente geométrica vertical en el rango de 3.00% y 6.00% se relaciona significativamente con daños equivalentes a 16.30% de DEFORMACION, 1.32% de BACHES y 0.44% de EROSION en caminos vecinales afirmados a nivel de plataforma, región Huánuco - 2019., correspondientes a la región selva a un nivel de 85% de confiabilidad y valor de significancia de 0.15.

H_{a3}: La pendiente geométrica vertical en el rango de 6.00% y 24.27% se relaciona significativamente con daños equivalentes a 18.50% de EROSION y 1.76% de DEFORMACION en caminos vecinales afirmados a nivel de plataforma, región Huánuco - 2019., correspondientes a la región selva a un nivel de 85% de confiabilidad y valor de significancia de 0.15.

Tabla 160
Registro de Coeficiente de Contingencia para Validar el Grado de Relación que



Existe Entre las Variables Planteadas. Procesamiento en IBM SPSS (Elaboración Propia).

Medidas simétricas		Significación
		Valor aproximada
Nominal por Nominal	Coeficiente de contingencia	,791 ,000
N de casos válidos		227

A partir de la significación aproximada efectivamente se corrobora que existe un fuerte grado de relación entre la pendiente geométrica vertical y daños en caminos vecinales afirmados a nivel de plataforma en la región selva de la región Huánuco.

Tratamiento del camino vecinal de la región sierra.

Tabla 161

Relación Porcentual de Variables Dependientes e Independientes Ordinales Observadas y Esperadas. Fuente: Procesamiento en IBM SPSS (Elaboración Propia).

Tabla cruzada PENDIENTE GEOMETRICA VERTICAL*DAÑOS EN CAMINOS VECINALES

PENDIENTE GEOMETRICA VERTICAL	PENDIENTE MENORES A 3% ENTRE 3% Y 6% MAYORES A 6%	Recuento esperado % del total	DAÑOS EN CAMINOS VECINALES			
			DEFORMACION	EROSION	BACHES	Total
		2	0	135	137	
		15,7	98,4	22,9	137,0	
		0,2%	0,0%	15,8%	16,0%	
	PENDIENTE RECUNTO	89	5	8	102	
	ENTRE 3% Y 6% RECUNTO	11,7	73,3	17,0	102,0	
		0,2%	0,0%	15,8%	16,0%	
		10,4%	0,6%	0,9%	11,9%	
	PENDIENTE RECUNTO	7	610	0	617	
	MAYORES A 6% RECUNTO	70,6	443,3	103,1	617,0	
		0,8%	71,3%	0,0%	72,1%	



Total	Recuento	98	615	143	856
	Recuento	98,0	615,0	143,0	856,0
	esperado				
	% del total	11,4%	71,8%	16,7%	100,0%

Tabla 162

Registro Numérico de Prueba de Hipótesis con el Método del Chi Cuadrado para Análisis, Contraste y Validación de Hipótesis Planteada. Procesamiento en IBM SPSS (Elaboración Propia).

Pruebas de chi-cuadrado			
	Valor	df	Significación asintótica (bilateral)
Chi-cuadrado de Pearson	1463,077 ^a	4	,000
Razón de verosimilitud	1150,609	4	,000
Asociación lineal por lineal	201,758	1	,000
N de casos válidos	856		
a. 0 casillas (0,0%) han esperado un recuento menor que 5. El recuento mínimo esperado es 11,68.			

Interpretación:

De la sección 1.9.2 el error de estimación es equivalente a 0.15.

De la tabla 162 el nivel de significancia es equivalente a 0.00

Ahora planteamos la siguiente equivalencia:

El valor de significación (Valor crítico esperado) es menor que el valor de significación observado (Valor crítico observado), es decir ($0,000 < 0,15$), entonces rechazamos la hipótesis nula e inmediatamente aceptamos la hipótesis alternativa, finalmente interpretamos lo siguiente:



H_a: La pendiente geométrica vertical se relaciona significativamente con daños de caminos vecinales afirmados a nivel de plataforma, región Huánuco - 2019., correspondientes a la región sierra a un nivel de 85% de confiabilidad y valor de significancia de 0.15.

H_{a1}: La pendiente geométrica vertical en el rango de 0.00% y 3.00% se relaciona significativamente con daños equivalentes a 15.77% de BACHES y 0.23% de DEFORMACION en caminos vecinales afirmados a nivel de plataforma, región Huánuco - 2019., correspondientes a la región sierra a un nivel de 85% de confiabilidad y valor de significancia de 0.15.

H_{a2}: La pendiente geométrica vertical en el rango de 3.00% y 6.00% se relaciona significativamente con daños equivalentes a 10.40% de DEFORMACION, 0.93% de BACHES y 0.58% de EROSION en caminos vecinales afirmados a nivel de plataforma, región Huánuco - 2019., correspondientes a la región sierra a un nivel de 85% de confiabilidad y valor de significancia de 0.15.

H_{a3}: La pendiente geométrica vertical en el rango de 6.00% y 24.27% se relaciona significativamente con daños equivalentes a 71.26% de EROSION y 0.82% de DEFORMACION en caminos vecinales afirmados a nivel de plataforma, región Huánuco - 2019., correspondientes a la región sierra a un nivel de 85% de confiabilidad y valor de significancia de 0.15.

Tabla 163
Registro de Coeficiente de Contingencia para Validar el Grado de Relación que



Existe Entre las Variables Planteadas. Procesamiento en IBM SPSS (Elaboración Propia).

Medidas simétricas		Significación
		Valor aproximada
Nominal por Nominal	Coeficiente de contingencia	,794 ,000
N de casos válidos		856

A partir de la significación aproximada efectivamente se corrobora que existe un fuerte grado de relación entre la pendiente geométrica vertical y daños en caminos vecinales afirmados a nivel de plataforma en la región sierra de la región Huánuco.



Conclusiones

- ✓ Se acepta la hipótesis alterna H_{a1} , debido a que la pendiente geométrica vertical en el rango de 0.00% y 3.00% se relaciona significativamente con daños equivalentes a 61.23% de BACHES y 0.44% de DEFORMACION en caminos vecinales afirmados a nivel de plataforma, región Huánuco - 2019., correspondientes a la región selva a un nivel de 85% de confiabilidad y valor de significancia de 0.15.

- ✓ Se acepta la hipótesis alterna H_{a1} , debido a que la pendiente geométrica vertical en el rango de 0.00% y 3.00% se relaciona significativamente con daños equivalentes a 15.77% de BACHES y 0.23% de DEFORMACION en caminos vecinales afirmados a nivel de plataforma, región Huánuco - 2019., correspondientes a la región sierra a un nivel de 85% de confiabilidad y valor de significancia de 0.15.

- ✓ Se acepta la hipótesis alterna H_{a2} , debido a que la pendiente geométrica vertical en el rango de 3.00% y 6.00% se relaciona significativamente con daños equivalentes a 16.30% de DEFORMACION, 1.32% de BACHES y 0.44% de EROSION en caminos vecinales afirmados a nivel de plataforma, región Huánuco - 2019., correspondientes a la región selva a un nivel de 85% de confiabilidad y valor de significancia de 0.15.

- ✓ Se acepta la hipótesis alterna H_{a2} , debido a que la pendiente geométrica vertical en el rango de 3.00% y 6.00% se relaciona significativamente con daños



equivalentes a 10.40% de DEFORMACION, 0.93% de BACHES y 0.58% de EROSION en caminos vecinales afirmados a nivel de plataforma, región Huánuco - 2019., correspondientes a la región sierra a un nivel de 85% de confiabilidad y valor de significancia de 0.15.

- ✓ Se acepta la hipótesis alterna H_{a3} , debido a que la pendiente geométrica vertical en el rango de 6.00% y 24.27% se relaciona significativamente con daños equivalentes a 18.50% de EROSION y 1.76% de DEFORMACION en caminos vecinales afirmados a nivel de plataforma, región Huánuco - 2019., correspondientes a la región selva a un nivel de 85% de confiabilidad y valor de significancia de 0.15.
- ✓ Se acepta la hipótesis alterna H_{a3} , debido a que la pendiente geométrica vertical en el rango de 6.00% y 24.27% se relaciona significativamente con daños equivalentes a 71.26% de EROSION y 0.82% de DEFORMACION en caminos vecinales afirmados a nivel de plataforma, región Huánuco - 2019., correspondientes a la región sierra a un nivel de 85% de confiabilidad y valor de significancia de 0.15.
- ✓ En la región selva el porcentaje de pendiente geométrica vertical es de 61.67% que fluctúa entre 0.00 % y 3.00% con presencia de daños con mayor incidencia de BACHES, 18.50% que fluctúa entre 3.00 % y 6.00% con presencia de daños con mayor incidencia de DEFORMACION y 19.82% que fluctúa entre 6.00 % y 24.27% con presencia de daños con mayor incidencia de EROSION.



- ✓ En la región selva el daño de BACHES equivale al $61.23\% + 1.32\% = 62.55\%$ comprendido en la PENDIENTE GEOMETRICA VERTICAL de 0.00% a 6.00%, daño de DEFORMACION equivale al $0.44\% + 16.30\% + 1.76\% = 18.50\%$ comprendido en la PENDIENTE GEOMETRICA VERTICAL de 0.00% a 24.27% y daño de EROSION equivale al $0.44\% + 18.50\% = 18.940\%$ comprendido en la PENDIENTE GEOMETRICA VERTICAL de 6.00% a 24.27%.

- ✓ En la región selva se concluye que en el rango de la PENDIENTE GEOMÉTRICA VERTICAL entre 0.00% y 3.00% se registran DAÑOS equivalentes a 61.23% de BACHES y 0.44% de DEFORMACION, en el rango de la PENDIENTE GEOMÉTRICA VERTICAL entre 3.00% y 6.00% se registran DAÑOS equivalentes a 16.30% de DEFORMACION, 1.32% de BACHES y 0.44% de EROSION y en el rango de la PENDIENTE GEOMÉTRICA VERTICAL entre 6.00% y 24.27% se registran DAÑOS equivalentes a 18.50% de EROSION y 1.76% de DEFORMACION.

- ✓ En la región sierra el porcentaje de pendiente geométrica vertical es de 16.00% corresponde a la pendiente geométrica vertical que fluctúa entre 0.00 % y 3.00%, con presencia de daños con mayor incidencia de BACHES, 11.920% corresponde a la pendiente geométrica vertical que fluctúa entre 3.00 % y 6.00%, con presencia de daños con mayor incidencia de DEFORMACION y 72.08% corresponde a la pendiente geométrica vertical que fluctúa entre 6.00 % y 57.82%, con presencia de daños con mayor incidencia de EROSION.



- ✓ En la región sierra el daño de BACHES equivale al $15.77\% + 0.93\% = 16.70\%$ comprendido en la PENDIENTE GEOMETRICA VERTICAL de 0.00% a 6.00%, daño de DEFORMACION equivale al $0.23\% + 10.40\% + 0.82\% = 11.45\%$ comprendido en la PENDIENTE GEOMETRICA VERTICAL de 0.00% a 57.82% y daño de EROSION equivale al $0.58\% + 71.26\% = 71.84\%$ comprendido en la PENDIENTE GEOMETRICA VERTICAL de 6.00% a 57.82%.

- ✓ En la región sierra se concluye que en el rango de la PENDIENTE GEOMÉTRICA VERTICAL entre 0.00% y 3.00% se registran DAÑOS equivalentes a 15.77% de BACHES y 0.23% de DEFORMACION, en el rango de la PENDIENTE GEOMÉTRICA VERTICAL entre 3.00% y 6.00% se registran DAÑOS equivalentes a 10.40% de DEFORMACION, 0.93% de BACHES y 0.58% de EROSION y en el rango de la PENDIENTE GEOMÉTRICA VERTICAL entre 6.00% y 57.82% se registran DAÑOS equivalentes a 71.26% de EROSION y 0.82% de DEFORMACION.

- ✓ En la región selva los caminos vecinales afirmados presentan en mayor porcentaje pendiente geométrica vertical inferiores al mínimo de lo señalado por el manual de la norma de diseño geométrico (DG-2018), en consecuencia presentan daños de baches a un 62.55%, deformación a un 18.50% y erosión a un 18.940%.

- ✓ En la región sierra los caminos vecinales afirmados presentan en mayor porcentaje pendiente geométrica vertical superiores al máximo de lo señalado por el manual de la norma de diseño geométrico (DG-2018), en consecuencia presentan daños de erosión a un 71.84%, deformación a un 11.45% y baches a un 16.70%.



Recomendaciones

- ✓ A partir del presente de estudio de investigación se determinó que la pendiente mínima ideal en caminos vecinales afirmados a nivel de plataforma es de 3.01% y la pendiente máxima optima es de 5.99%, en cuyo rango de pendiente geométrica se observó daños de deformación el mismo que no presenta desgaste de material en la capa del afirmado y sin considerar el bombeo, debido a ello se recomienda tomar en consideración e incorporar en la actualización del Manual de Carreteras Diseño Geométrico del Perú, las pendientes descritas.

- ✓ Se recomienda respetar los parámetros de pendiente mínima y máxima del Manual de Carreteras Diseño Geométrico DG 2018, vigente a la fecha para evitar presencia excesiva de daños en caminos vecinales a nivel de plataforma en la región Huánuco.

- ✓ Finalmente se recomienda tomar seriedad y profesionalismo en los tres niveles de gobierno durante las etapas de pre inversión, inversión, ejecución, mantenimiento, rehabilitación, servicios y obras de infraestructura vial el mismo que debe ser desarrollada e inspeccionada por personal técnico capacitado y especializado en la materia, asimismo se sugiere compromiso en trámites administrativos, equipamiento, logística optima y adecuada gestión vial con soluciones inmediatas en atención a caminos vecinales afirmados de la región Huánuco y del Perú.



Referencias Bibliográficas

- Alegría, J. Ayala, R. & Fuentes, C. (2006). *Propuesta de un manual de diseño geométrico de carreteras para el salvador (Tesis de Pregrado)*. Universidad de el Salvador, San Salvador, Salvador.
- Aquino, E. (2015). *Estudio de seguridad vial para caminos vecinales de la provincia de Huánuco (Tesis de Pregrado)*. Universidad Nacional Hermilio Valdizan, Huánuco, Perú.
- Asociación Argentina de carreteras. (2018). *Manual de caminos rurales, comisión de caminos rurales, 1^a edición*. Buenos Aires, Argentina: Ilitia grupo Creativo.
- Alvarado, D. (2017). *Evaluación y alcances técnicos en el diseño, construcción y mantenimiento de caminos vecinales en el distrito de José crespo y castillo (Tesis de Pregrado)*. Universidad de Huánuco, Huánuco, Perú.
- Borja, M. (2016). *Metodología de la investigación científica para ingenieros*. Chiclayo, Perú: (s.e).
- Campos, A. (2019). *Determinación del estado de transitabilidad y nivel de intervención del camino vecinal “Magllanal – loma santa”, distrito de Jaén - Jaén - Cajamarca 2017 (Tesis de Pregrado)*. Universidad Nacional de Cajamarca, Cajamarca, Perú.
- Carciente, J. (2017). *Carreteras estudio y proyecto*. Caracas, Venezuela: Vega.



Cardenas, J. (2013). *Diseño geométrico de carreteras. 2da edición.* Bogotá, Colombia: Ecoe.

Choque, C. (2013). *Análisis comparativo y propuesta de diseños de caminos rurales utilizando métodos informativos* (Tesis de Pregrado). Universidad Nacional del Altiplano, Puno, Perú.

Delzo, F. (2018). *Propuesta de diseño geométrico y señalización del tramo 5 de la red vial vecinal empalme ruta AN-11 – Tingo Chico, provincias de Huamalies y Dos de Mayo, departamento de Huánuco* (Tesis de Pregrado). Pontificia Universidad Católica del Perú, Lima, Perú.

Dirección General de Caminos y Ferrocarriles, MTC (2018). *Manual de carreteras, diseño geométrico, DG 2018.*

Dirección General de Caminos y Ferrocarriles, MTC (2015). *Manual de inventarios viales, parte IV, inventario para la planificación vial estratégica de la red vial vecinal o rural de los gobiernos locales.*

Keller, G. & Sherar, J. (2004). *Ingeniería de caminos rurales, Guía de Campo para las Mejores Prácticas de Administración de Caminos Rurales.* México, México: Usaid.

Kraemer, C. Pardillo, J.M. Rocci, S. Romana, M.G. Sánchez, V. & del Val, M.A. (2003), *Ingeniería de carreteras. Volumen I.* Madrid, España: McGraw-Hill.



Kraemer, C. Pardillo, J.M. Rocci, S. Romana, M.G. Sánchez, V. & del Val, M.A.

(2004), *Ingeniería de carreteras. Volumen II*. Madrid, España: McGraw-Hill.

Menendez, J. R. (2003). *Mantenimiento rutinario de caminos con microempresas*.

Lima, Peru: Art Lautec.

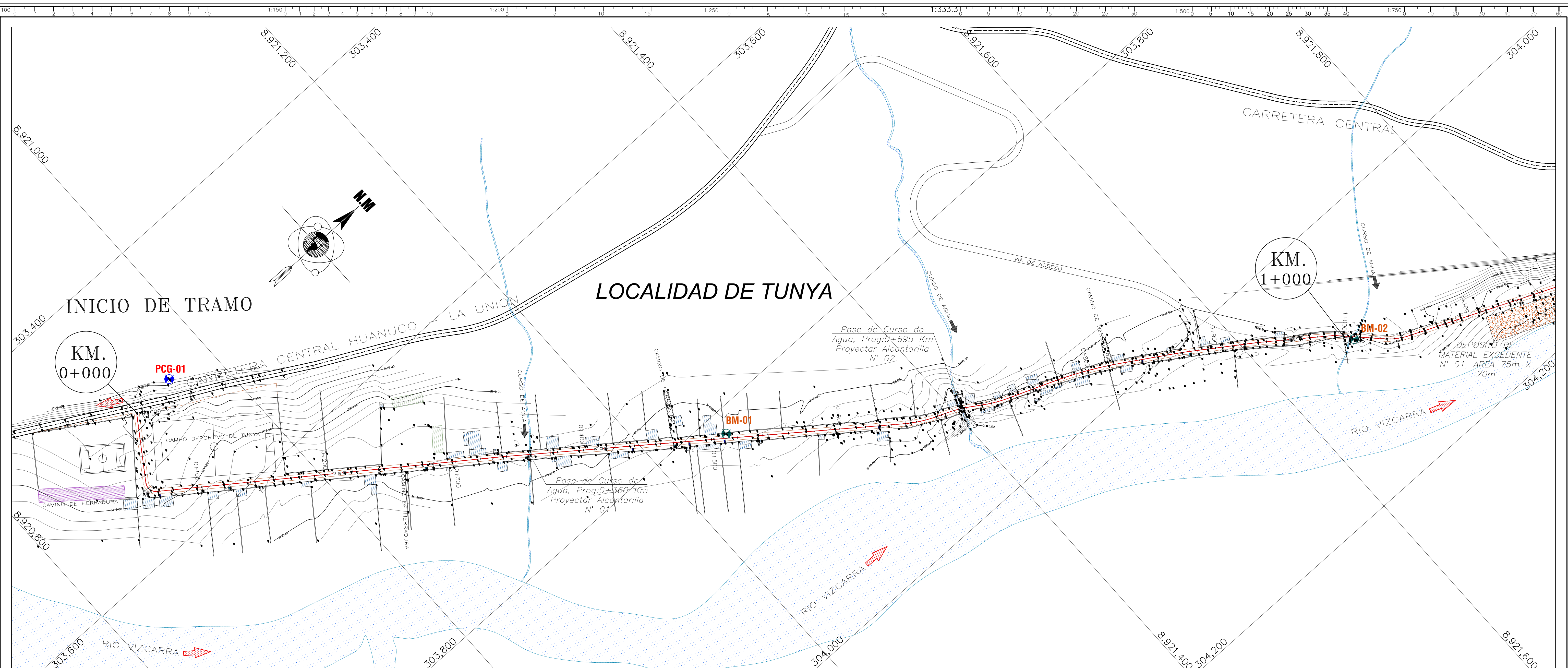
MTC. (2016). *Actualización del clasificador de rutas del sistema nacional de carreteras – SINAC*.

Provias Descentralizado, MTC. (2016). *Guía para el cumplimiento de la meta 40, Determinación del estado de transitabilidad y nivel de intervención de los Caminos Rurales*.

Sánchez, H. & Reyes, C. (2006). *Metodología y diseño en la investigación científica*. Lima, Perú: Visión universitaria.

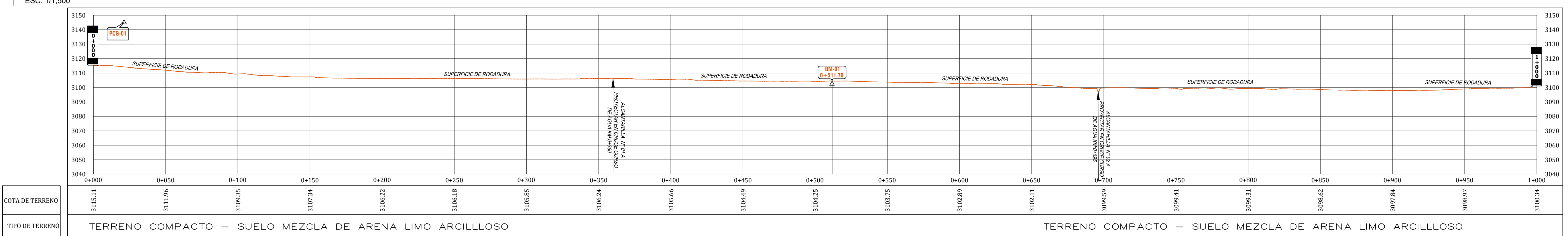
Villanueva, N. (2018). *Propuesta de diseño geométrico en Carreteras de camino vecinal utilizando software AutoCAD civil 3D* (Tesis de Pregrado). Universidad Nacional Hermilio Valdizan, Huánuco, Perú.





PLANIMETRIA DE LEVANTAMIENTO TOPOGRAFICO PROG: 0+000-1+000

ESC: 1/1 500

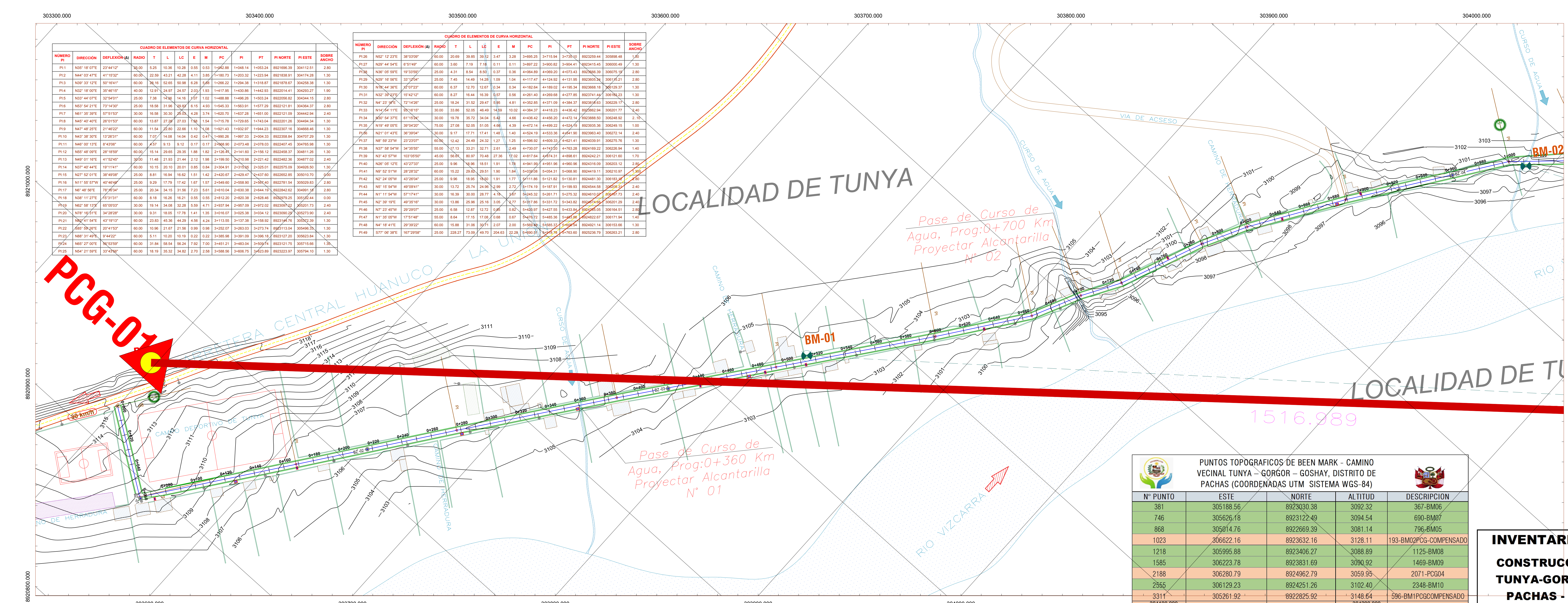


PERFIL LONGITUDINAL PROG: 0+000-1+000

ESC: 1/1,500

CUADRO DEL INVENTARIO DE ALCANTARILLAS PROYECTADAS		
ALC. N°	PROGRESIVA (Km)	PROPIEDADES DE LA OBRA DE DRENAGE TRANSVERSAL
01	0+360	Alcantarilla de Cruce Marco de 1x1 m S/D
02	0+695	Alcantarilla de Cruce Marco de 2x2 m S/D

	<p>PROYECTO:</p> <p>CAMINO VECINAL, TUNYA - GORGOR - GOSHAY DISTRITO DE PACHAS, PROVINCIA DE DOS DE MAYO, DEPARTAMENTO DE HUANUCO"</p>																				
	<p>Punto :</p> <p>PLANO DE PLANIMETRIA Y PERFIL LONGITUDINAL DEL TERRENO KM: 0+000 AL 1+000</p>																				
<p>Especialidad :</p> <p>TOPOGRAFIA</p> <p>Especialista en Topografia :</p>	<table border="1" style="width: 100%; border-collapse: collapse;"> <tr> <td style="width: 25%;">Jefe de Proyecto</td> <td style="width: 25%;">Ubicación :</td> <td style="width: 25%;">Fecha :</td> <td style="width: 25%;">CÓDIGO DE LAMINA:</td> </tr> <tr> <td>Ing:</td> <td>Departamento : HUÁNUCO</td> <td>MARZO 2019</td> <td>PT-PPL-01</td> </tr> <tr> <td>Cip. N°</td> <td>Provincia : DOS DE MAYO</td> <td>Escala :</td> <td>DE 06</td> </tr> <tr> <td>Digitalización:</td> <td>Distrito : PACHAS</td> <td>Indicada</td> <td></td> </tr> <tr> <td></td> <td>Localidades : VARIOS</td> <td></td> <td></td> </tr> </table>	Jefe de Proyecto	Ubicación :	Fecha :	CÓDIGO DE LAMINA:	Ing:	Departamento : HUÁNUCO	MARZO 2019	PT-PPL-01	Cip. N°	Provincia : DOS DE MAYO	Escala :	DE 06	Digitalización:	Distrito : PACHAS	Indicada			Localidades : VARIOS		
Jefe de Proyecto	Ubicación :	Fecha :	CÓDIGO DE LAMINA:																		
Ing:	Departamento : HUÁNUCO	MARZO 2019	PT-PPL-01																		
Cip. N°	Provincia : DOS DE MAYO	Escala :	DE 06																		
Digitalización:	Distrito : PACHAS	Indicada																			
	Localidades : VARIOS																				



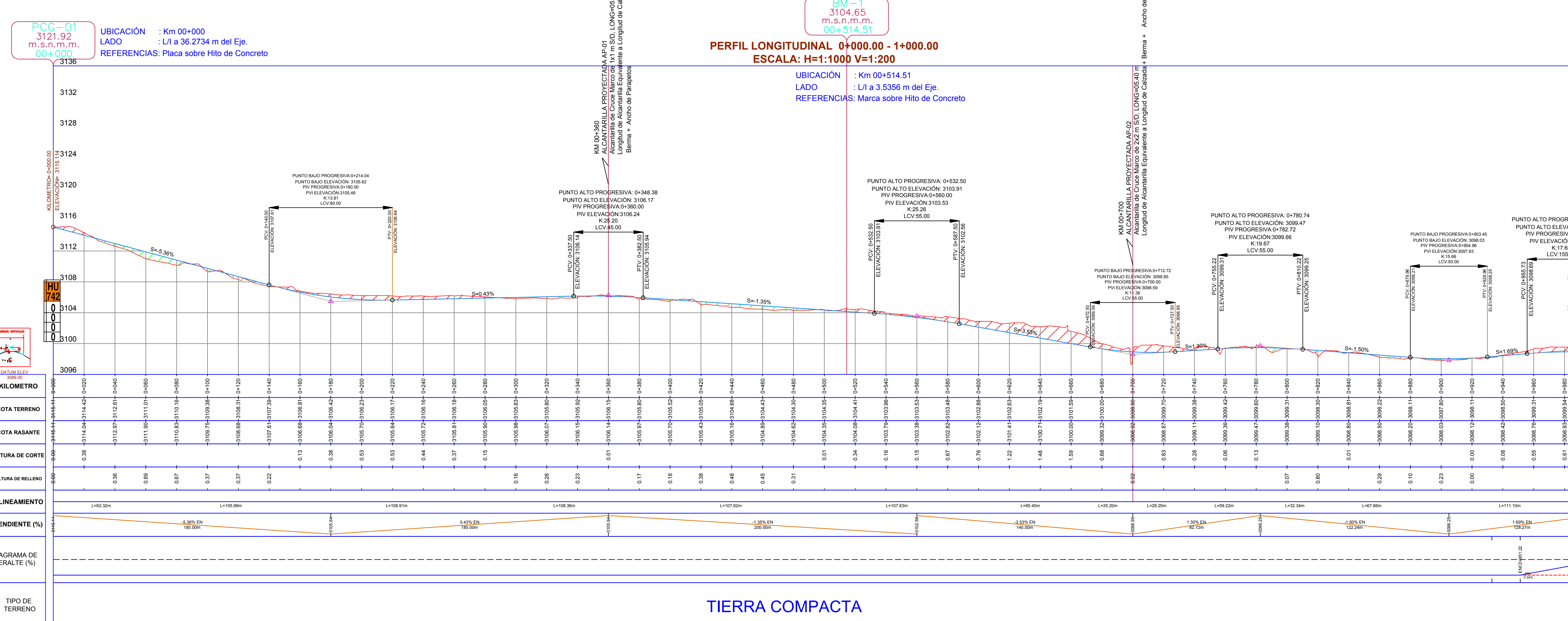
Nº PUNTO	ESTE	NORTE	ALTITUD	DESCRIPCION
381	305188.56	8923030.38	3092.32	367-BM06
746	305626.18	8923122.49	3094.54	690-BM07
868	305014.76	8922669.39	3081.14	796-BM05
1023	306622.16	8923632.16	3128.11	193-BM02PCG-COMPENSADO
1218	305995.88	8923406.27	3088.89	1125-BM08
1585	306223.78	8923831.69	3090.92	1469-BM09
2188	306280.79	8924962.79	3059.95	2071-PCG04
2555	306129.23	8924251.26	3102.40	2348-BM10
3311	305261.92	8922825.92	3148.64	596-BM1PCGCOMPENSADO
304100.000 4651	364560.73	8901782.02	304200.000 1900.95	HC03
4659	306183.04	8924689.02	3086.23	PCG-03
3146	303817.40	8921256.25	3104.65	1171-BM01
3621	304087.72	8921669.08	3100.94	1606-BM02
3915	304691.96	8922334.13	3091.95	276-BM04
4064	304319.73	8922027.06	3104.44	425-BM03
4563	304657.97	8921938.45	3185.29	PCG-02

INVENTARIO VIAL DE PLAZOLETAS

8992150000

CONSTRUCCION DEL CAMINO VECINAL, TUNYA-GORGOR-GOSHAY, DISTRITO DE PACHAS - DOS DE MAYO - HUANUCO

ITEM	PLAZOLETA	INCIO	FIN	LARGO	ANCHO
1	Plazoleta N° 01	01+080.00	01+090.00	10.00	3.00
2	Plazoleta N° 02	01+830.00	01+840.00	10.00	3.00
3	Plazoleta N° 03	02+250.00	02+260.00	10.00	3.00
4	Plazoleta N° 04	02+720.00	02+730.00	10.00	3.00
5	Plazoleta N° 05	03+320.00	03+330.00	10.00	3.00
6	Plazoleta N° 06	03+920.00	03+930.00	10.00	3.00
7	Plazoleta N° 07	04+230.00	04+240.00	10.00	3.00
8	Plazoleta N° 08	04+680.00	04+690.00	10.00	3.00
9	Plazoleta N° 09	04+990.00	05+000.00	10.00	3.00
10	Plazoleta N° 10	05+850.00	05+860.00	10.00	3.00



CAMINO VECINAL, TUNYA - GORGOR - GOSHAY DISTRITO DE PACHAS, PROVINCIA DE DOS DE MAYO, DEPARTAMENTO DE HUANUCO

PLANTA Y PERFIL LONGITUDINAL

	Plano :	PLANTA Y PERFIL LONGITUDINAL		
Especialidad : DISEÑO GEOMÉTRICO(DG)	Ubicación : Departamento : HUÁNUCO Provincia : DOS DE MAYO Distrito : PACHAS Localidades : VARIOS(Ver Plano Clave)	Fecha : FEBRERO 2019 Escala : HORIZ:1/1,000 VERT:1/1,500	CODIGO DE LAMINA: PP	Nº DE LAMINA: 01 DE 06
Digitalización: Villar2019@gmail.com				



ACTA DE SUSTENTACION VIRTUAL DE TESIS
PARA OPTAR EL TÍTULO DE INGENIERO CIVIL

En la ciudad universitaria de Cayhuayna, a los veinte días del mes de mayo de 2021, siendo las 17.00 pm, se dará cumplimiento a la Resolución Virtual N° 398-2021-UNHEVAL-FICA-D (Designando a la Comisión de Revisión y sustentación de tesis), y la Resolución Virtual N°174-2021-UNHEVAL-FICA-D, de fecha 11 de mayo de 2021 (Fijando fecha y hora de sustentación virtual de tesis), en concordancia con el Reglamento de Grados y Títulos de la Facultad de Ingeniería Civil y Arquitectura, para lo cual, en virtud de la Resolución Consejo Universitario N° 0970-2020-UNHEVAL (Aprobando la Directiva de Asesoría y Sustentación Virtual de PPP, Trabajos de Investigación y Tesis), los Miembros del Jurado van a proceder a la evaluación de la sustentación virtual de tesis titulada "**ESTUDIO DE PENDIENTE GEOMÉTRICA VERTICAL EN DAÑOS DE CAMINOS VECINALES AFIRMADOS A NIVEL DE PLATAFORMA, REGIÓN HUÁNUCO - 2019**" para optar el Título de Ingeniero Civil del Bachiller Nehemías Fidel VILLAR VILLANUEVA de la carrera profesional de Ingeniería Civil, a través de la plataforma virtual del Cisco Webex Meetings.

Finalizado el acto de sustentación virtual de tesis, se procedió a deliberar la calificación, obteniendo luego el resultado siguiente:

APELLIDOS Y NOMBRES	DICTAMEN	NOTA	CALIFICATIVO
VILLAR VILLANUEVA Nehemías Fidel	APROBADO	15	BUENO

Dándose por finalizado dicho acto a las: 18:30 horas del mismo día 20 de mayo de 2021 con lo que se dio por concluido, y en fe de lo cual firmamos.

OBSERVACIONES:

.....

Ana María MATOS RAMÍREZ
 PRESIDENTE

Elbio Fernando FELIPE MATIAS
 SECRETARIO

Luis Fernando NARRO JARA
 VOCAL

UNIVERSIDAD NACIONAL HERMILIO VALDIZÁN		REGLAMENTO DE REGISTRO DE TRABAJOS DE INVESTIGACIÓN PARA OPTAR GRADOS ACADÉMICOS Y TÍTULOS PROFESIONALES			
VICERECTOR DE INVESTIGACIÓN		RESPONSABLE DEL REPOSITORIO INSTITUCIONAL UNHEVAL OFICINA DE BIBLIOTECA CENTRAL	VERSIÓN 0.0	FECHA 10.06.21	PAGINA 1 de 2

ANEXO 2

AUTORIZACIÓN PARA LA PUBLICACIÓN DE TESIS ELECTRÓNICA DE PREGRADO

1. IDENTIFICACIÓN PERSONAL (especificar los datos de los autores de la tesis)

Apellidos y Nombres: VILLAR VILLANUEVA NEAEMIAS FIDEL

DNI: 44392915 Correo electrónico: Villar2019@gmail.com

Teléfonos: 910919321 Casa: Celular: 91091932 Oficina:

Apellidos y Nombres:

DNI: Correo electrónico:

Teléfonos: Casa: Celular: Oficina:

2. IDENTIFICAR DE LA TESIS

Pregrado
Facultad de : INGENIERÍA CIVIL Y ARQUITECTURA
E. P. : INGENIERIA CIVIL

Título profesional obtenido:

INGENIERO CIVIL

Título de la tesis:

“ESTUDIO DE PENDIENTE GEOMÉTRICA VERTICAL
EN DANOS DE CAMINOS VECINALES AFIRMADOS
A NIVEL DE PLATAFORMA, REGIÓN HUÁNUCO-2019”

UNIVERSIDAD NACIONAL HERMILIO VALDIZAN		REGLAMENTO DE REGISTRO DE TRABAJOS DE INVESTIGACIÓN PARA OPTAR GRADOS ACÁDEMOS Y TÍTULOS PROFESIONALES			
VICERECTOR DE INVESTIGACIÓN		RESPONSABLE DEL REPOSITORIO INSTITUCIONAL UNHEVAL OFICINA DE BIBLIOTECA CENTRAL	VERSION 0.0	FECHA 10-06-21	PAGINA 1 de 2

Tipo de acceso que autoriza(n) el (los) autor(es):

Marcar "X"	Categoría de Acceso	Descripción del Acceso
X	PÚBLICO	Es público y accesible al documento a texto completo por cualquier tipo de usuario que consulta el repositorio.
	RESTRINGIDO	Solo permite el acceso al registro del metadato con información básica, más no al texto completo.

Al elegir la opción “público”, a través de la presente autorizo o autorizamos de manera gratuita al Repositorio Institucional – UNHEVAL, a publicar la versión electrónica de esta tesis en el Portal Web repositorio.unheval.edu.pe, por un plazo indefinido, consintiendo que con dicha autorización cualquier tercero podrá acceder a dichas páginas de manera gratuita, pudiendo revisarla, imprimirla o grabarla, siempre y cuando se respete la autoría y sea citada correctamente.

En caso haya(n) marcado la opción “Restringido”, por favor detallar las razones por las que se eligió este tipo de acceso:

Asimismo, pedimos indicar el periodo de tiempo en que la tesis tendría el tipo de acceso restringido:

- () 1 año
- () 2 años
- () 3 años
- () 4 años

Luego del periodo señalado por usted(es), automáticamente la tesis pasara a ser de acceso público.

Fecha de firma:

10 DE JUNIO DEL 2021

Firma del autor y/o autores:

